



UNIVERSITAS INDONESIA

**STUDI PENANGGULANGAN PROBLEM SCALE DARI NEAR-WELBORE HINGGA FLOWLINE DI LAPANGAN MINYAK LIMAU**

**SKRIPSI**

**RATNA PERMATA SARI  
0806368130**

**FAKULTAS TEKNIK  
PROGRAM EKSTENSI TEKNIK KIMIA  
DEPOK  
JUNI 2011**



UNIVERSITAS INDONESIA

**STUDI PENANGGULANGAN PROBLEM SCALE DARI NEAR-WELBORE HINGGA FLOWLINE DI LAPANGAN MINYAK LIMAU**

**SKRIPSI**

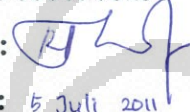
**Diajukan sebagai salah satu syarat memperoleh gelar Sarjana Teknik**

**RATNA PERMATA SARI  
0806368130**

**FAKULTAS TEKNIK  
PROGRAM EKSTENSI TEKNIK KIMIA  
DEPOK  
JUNI 2011**

## HALAMAN PERNYATAAN ORISINALITAS

Skripsi ini adalah hasil karya saya sendiri,  
dan semua sumber baik yang dikutip maupun dirujuk  
telah saya nyatakan dengan benar.

Nama : Ratna Permata Sari  
NPM : 0806368130  
Tanda Tangan :   
Tanggal : 5 Juli 2011

## HALAMAN PENGESAHAN

Skripsi ini diajukan oleh :  
Nama : Ratna Permata Sari  
NPM : 0806368130  
Program Studi : Ekstensi Teknik Kimia  
Judul Skripsi : Studi Penanggulangan Problem *Scale* dari *Near-Wellbore* Hingga *Flowline* di Lapangan Minyak Limau

Telah berhasil dipertahankan di hadapan Dewan Penguji dan diterima sebagai bagian persyaratan yang diperlukan untuk memperoleh gelar Sarjana Teknik pada Program Studi Ekstensi Teknik Kimia, Fakultas Teknik, Universitas Indonesia

### DEWAN PENGUJI

Pembimbing I : Dr. Ir. Asep Handaya Saputra, M.Eng

Pembimbing II : Ir. Sugriwan Soedarmo

Penguji : Ir. Mahmud Sudibandriyo, M.Sc, PhD

Penguji : Dr. Ir. Andy Noorsaman S, DEA

Penguji : Prof. Ir. Sutrasno Kartohardjono, M.Sc, PhD

Ditetapkan di : Depok

Tanggal : 5 Juli 2011

## KATA PENGANTAR

Puji dan syukur penulis panjatkan kepada Allah SWT atas izin-Nya tugas ini dapat diselesaikan tepat pada waktunya. Tak lupa penulis panjatkan shalawat dan salam kepada Nabi Muhammad S.A.W. beserta keluarga, dan pengikut-Nya.

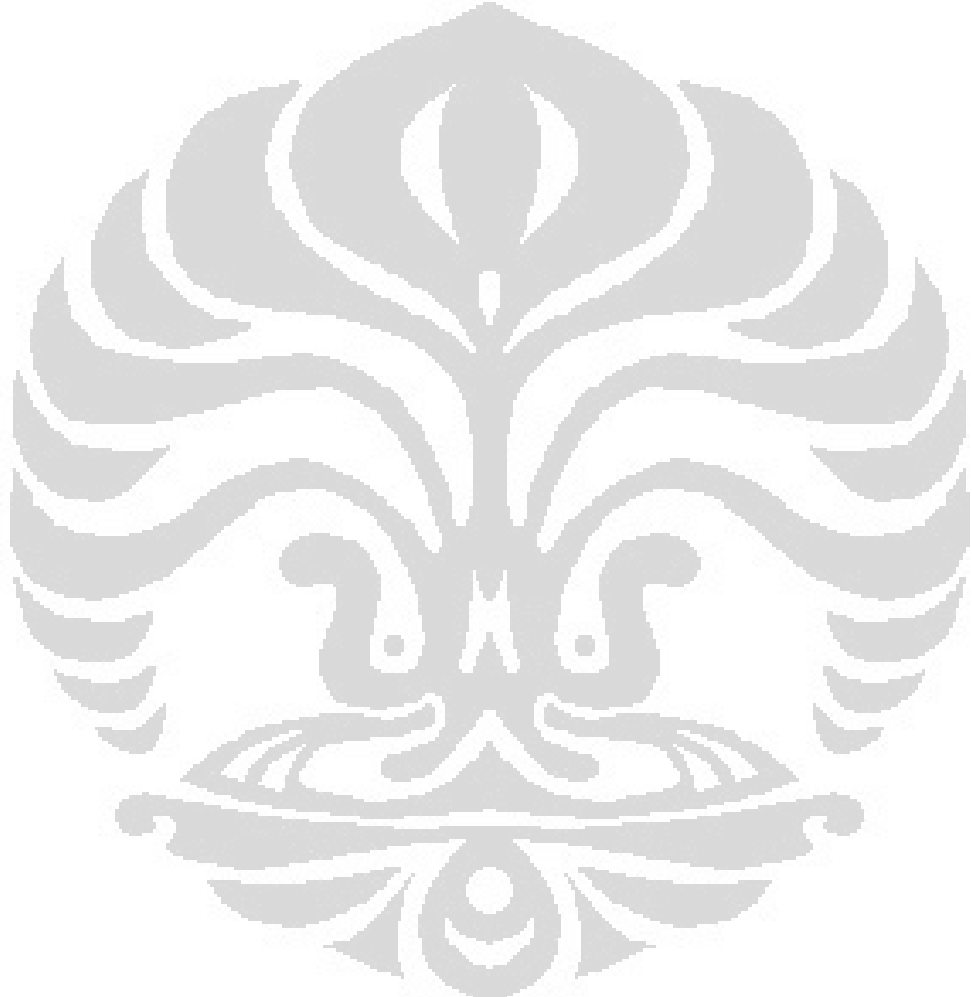
Skripsi dengan judul “Studi Penanggulangan Problem *Scale* Dari *Near-Wellbore* Hingga *Flowline* di Lapangan Minyak Limau” ini disusun untuk mendapatkan batas operasi produksi minyak bumi di suatu sumur minyak agar tidak terjadi pembentukan *scale* dan menentukan langkah yang dilakukan untuk menanggulangi *scale* yang terbentuk di lapangan. Dalam penyusunan skripsi ini, penulis banyak mendapatkan bantuan dan bimbingan dari berbagai pihak. Oleh karena itu, penulis mengucapkan terima kasih yang sebesar-besarnya kepada:

1. Bapak Dr. Ir. Widodo Wahyu Purwanto, DEA, selaku ketua Departemen Teknik Kimia FTUI.
2. Bapak Dr. Ir. Asep Handaya Saputra M.Eng dan Bapak Ir. Sugriwan Soedarmo atas bimbingan yang telah diberikan.
3. Semua dosen Teknik Kimia FTUI, guru-guru di sekolah dan akademi atas ilmu yang telah diberikan.
4. Bapak I Nengah Suabdi dan Bapak I Putu Suarsana yang telah membantu penulis untuk melaksanakan penelitian tugas akhir di Pertamina EP.
5. Bang Nathanael Nainggolan dan Mas Gurmilang Andika serta engineer-engineer di lapangan yang membantu dan memberi banyak masukan dan bimbingan kepada penulis.
6. Bapak Sukriyatno M, Bang Donald Aryanto Tambunan, dan Mas Tunggal Purwoko atas masukan materi dan bimbingan personal yang disampaikan, serta dukungan kepada penulis selama ini.
7. Alm. Ayahku tercinta atas doanya dan selalu memberikan semangat bagi penulis.
8. Ibu dan kakak yang sangat ingin penulis bahagiakan. Terima kasih atas dukungan, kasih sayang, dan doa yang diberikan.
9. Teman-teman Teknik Perminyakan dari UPN dan Trisakti yang telah membantu penulis melalui materi dan diskusi yang diberikan.
10. Teman-teman angkatan 2008 Teknik Kimia Ekstensi atas kebersamaan dan pertemanannya selama ini.
11. Pihak-pihak lain yang telah mendukung dan membantu yang tidak dapat disebutkan satu persatu.

Penulis menyadari masih terdapat banyak kekurangan dalam penulisan tugas skripsi ini. Untuk itu, penulis mengharapkan saran dan kritik dari pembaca untuk memperbaiki penulisan-penulisan lain di masa yang akan datang.

Depok, Juni 2011

Penulis



**HALAMAN PERNYATAAN PERSETUJUAN PUBLIKASI  
TUGAS AKHIR UNTUK KEPENTINGAN AKADEMIS**

---

Sebagai sivitas akademik Universitas Indonesia, saya yang bertanda tangan di bawah ini :

Nama : Ratna Permata Sari  
NPM : 0806368130  
Program Studi : Ekstensi Teknik Kimia  
Departemen : Teknik Kimia  
Fakultas : Teknik  
Jenis Karya : Skripsi

demi pengembangan ilmu pengetahuan, menyetujui untuk memberikan kepada Universitas Indonesia **Hak Bebas Royalti Noneksklusif (Non-exclusive Royalty-Free Right)** atas karya ilmiah saya yang berjudul :

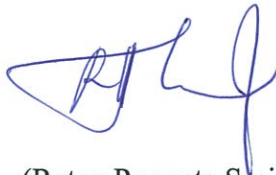
Studi Penanggulangan Problem *Scale* dari *Near-Wellbore* Hingga *Flowline* di Lapangan Minyak Limau.

beserta perangkat yang ada (jika diperlukan). Dengan Hak Bebas Royaliti Noneksklusif ini Universitas Indonesia berhak menyimpan, mengalihmedia/formatkan, mengelola dalam bentuk pangkalan data (*database*), merawat, dan memublikasikan tugas akhir saya selama tetap mencantumkan nama saya sebagai penulis/pencipta dan sebagai pemilik Hak Cipta.

Demikina pernyataan ini saya buat dengan sebenarnya.

Dibuat di : Depok  
Pada tanggal : 5 Juli 2011

Yang menyatakan



(Ratna Permata Sari)

## ABSTRAK

Nama : Ratna Permata Sari  
Program Studi : Teknik Kimia  
Judul : “Studi Penanggulangan Problem *Scale* Dari Near-Wellbore Hingga *Flowline* di Lapangan Minyak Limau”

*Scale* merupakan problem produksi yang terjadi di dalam sistem air. Pembentukan *scale* terjadi dikarenakan adanya inkompatibilitas campuran fluida, perubahan tekanan, temperatur, serta pH. Umumnya *scale* terbentuk di sekitar perforasi, peralatan *subsurface* seperti pada *tubing*, dan pada peralatan produksi di *surface* seperti pada *wellhead* dan *flowline*, sehingga dapat mengakibatkan turunnya laju produksi karena aliran minyak dari formasi ke permukaan terhambat. Oleh karena itu, diperlukan adanya upaya penanganan dari permasalahan *scale* tersebut baik berupa langkah preventif maupun penanggulangan ketika sudah terjadi pengendapan *scale* di lapangan. Langkah preventif merupakan tindakan pencegahan yang dapat dilakukan dengan menggunakan zat kimia pengontrol *scale* (*scale inhibitor*), maupun dengan menjaga komponen ion air yang diinjeksikan ke dalam sumur. Melalui simulasi *OLI ScaleChem 4.0*, didapatkan konsentrasi *scale* yang terbentuk serta laju pertumbuhan *scale*. Selanjutnya, dapat diestimasi ketebalan *scale* yang mungkin terbentuk dengan mengasumsikan kondisi sistem sumur. Langkah penanggulangan yang dapat dilakukan mencakup metode kimia maupun mekanis. *Scale* yang terbentuk pada pori-pori batuan (*near-wellbore*) maupun sumur dilakukan dengan cara kimiawi, yaitu *acidizing*. Sedangkan *scale* yang terbentuk pada sistem perpipaan dapat dibersihkan dengan menggunakan larutan kimia, maupun dengan menggunakan *line scrappers* maupun *pigs*.

Kata kunci :*Scale*, preventif, *scale inhibitor*, *OLI ScaleChem 4.0*, penanggulangan, kimia.

## ABSTRACT

Nama : Ratna Permata Sari  
Program Studi : Chemical Engineering  
Judul : "Study of Scale Problem Handling From Near-Wellbore to Flowline in the Limau Oilfield"

Scale is a production problem happening in the water system. Forming of the scale is happened because of the existing of incompatibility fluid mixture, pressure, temperature and pH changing. Generally, scale is made around perforation, subsurface tools as in tubing and production equipments of surface facilities as like at wellhead and flowline, so that it causes the decline of production rate because the oil flow from the formation to surface is hampered. Therefore, the effort for controlling it is needed, both preventive steps and handling when the problem has happened. Preventive steps are the preventive actions which can be done by using some chemicals of scale inhibitor or keeping the chemical components injecting to the well. Formed scale concentration and scale growth are gotten by *OLI ScaleChem 4.0*. Then it's estimated thickness of scale which may be formed by assuming the condition of well. Handling steps that can be done are chemical and mechanical method. Scale formed in the pores of stone (near-wellbore) or well is taken chemically like acidizing. Whereas scale forming in the piping system could be cleaned using chemical solution both line scrappers.

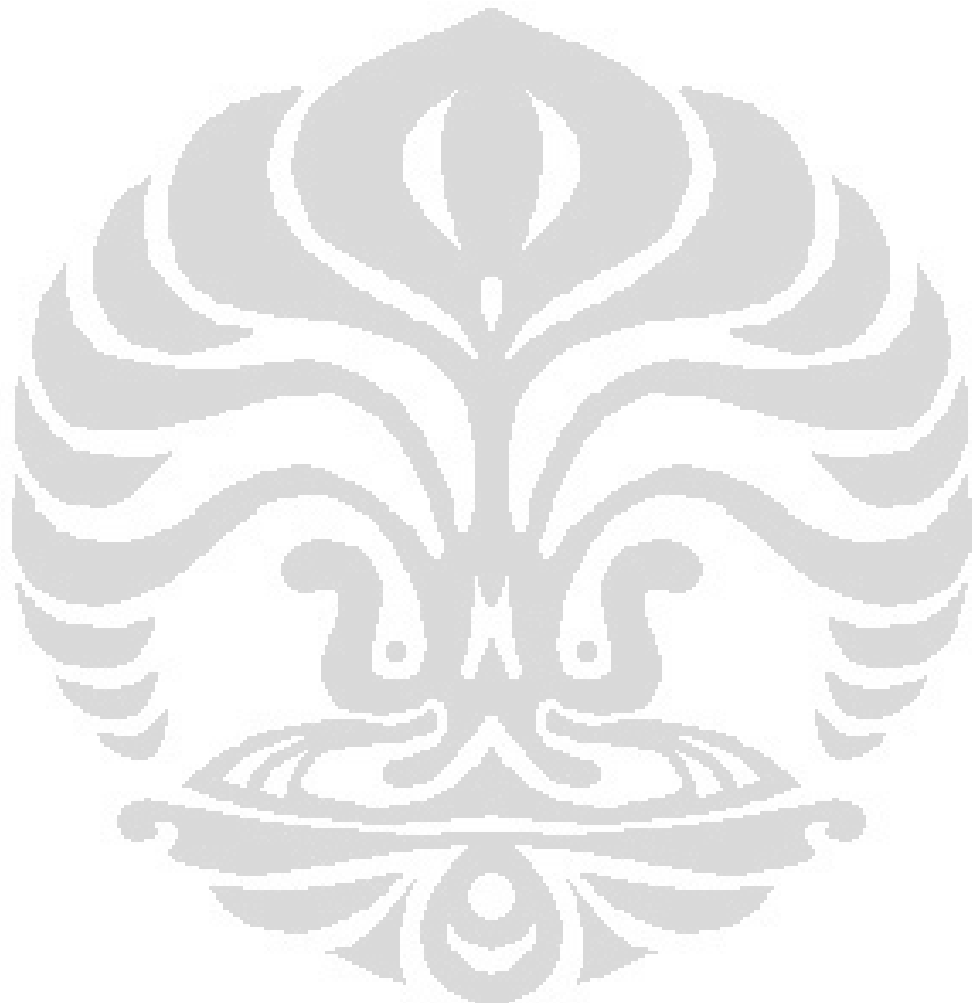
Keyword : Scale, preventive, scale inhibitor, *OLI ScaleChem 4.0*, handling, chemical.

## DAFTAR ISI

<b>HALAMAN JUDUL .....</b>	<b>ii</b>
<b>HALAMAN PERNYATAAN ORISINALITAS .....</b>	<b>iii</b>
<b>HALAMAN PENGESAHAN.....</b>	<b>iv</b>
<b>KATA PENGANTAR.....</b>	<b>v</b>
<b>HALAMAN PERNYATAAN PERSETUJUAN PUBLIKASI .....</b>	<b>vii</b>
<b>ABSTRAK.....</b>	<b>viii</b>
<b>ABSTRACT .....</b>	<b>ix</b>
<b>DAFTAR ISI.....</b>	<b>x</b>
<b>DAFTAR GAMBAR.....</b>	<b>xiii</b>
<b>DAFTAR TABEL .....</b>	<b>xv</b>
<b>DAFTAR LAMPIRAN.....</b>	<b>xvii</b>
<b>BAB 1 PENDAHULUAN .....</b>	<b>1</b>
1.1 Latar Belakang .....	1
1.2 Rumusan Masalah .....	2
1.3 Tujuan Penelitian.....	3
1.4 Ruang Lingkup Masalah .....	3
1.5 Sistematika Penulisan.....	4
<b>BAB 2 TINJAUAN PUSTAKA.....</b>	<b>5</b>
2.1 Reservoir Minyak dan Gas Bumi .....	5
2.1.1 Batuan Reservoir.....	5
2.1.2 Lapisan Penutup.....	6
2.1.3 Batuan Asal.....	6
2.2 Dasar Teknik Reservoir .....	6
2.2.1 Sifat Batuan Reservoir .....	6
2.2.1.1 Porositas ( $\phi$ ) .....	7
2.2.1.2 Permeabilitas ( $k$ ) .....	7
2.2.1.3 Saturasi ( $S$ ) .....	8
2.2.1.4 Kebasahan ( <i>Wettability</i> ).....	8
2.2.2 Karakteristik Fluida Hidrokarbon .....	9
2.2.2.1 Faktor Volume Formasi Gas ( $B_g$ ) .....	9
2.2.2.2 Kelarutan Gas ( $R_s$ ) .....	9
2.2.2.3 Faktor Volume Formasi Minyak ( $B_o$ ) .....	10
2.2.2.4 Faktor Volume Formasi Dwi-Fasa ( $B_t$ ).....	10
2.2.2.5 Viskositas ( $\mu$ ) .....	10
2.2.2.6 Berat Jenis ( $^{\circ}$ API) .....	11
2.2.3 Tekanan Reservoir .....	11
2.2.4 Temperatur Reservoir .....	12
2.3 Perubahan Fasa .....	12
2.4 Produktivitas Sumur .....	13
2.4.1 Aliran Fluida dalam Media Berpori .....	13

2.4.2 Indeks Produktivitas.....	14
2.4.2.1 Faktor-Faktor yang mempengaruhi Indeks Produktivitas .....	16
2.5 Skin Sebagai Efek dari <i>Scale</i> .....	19
2.6 <i>Scale</i> .....	20
2.6.1 Mekanisme Pembentukan <i>Scale</i> .....	21
2.6.2 Komposisi Kimia dan Sifat Fisik Air Formasi .....	24
2.6.3 Jenis <i>Scale</i> Dan Faktor Yang Berpengaruh Terhadap Pembentukannya .....	28
2.6.2.1 Kalsium Karbonat .....	31
2.6.2.2 Kalsium Sulfat .....	35
2.6.2.3 Barium Sulfat .....	38
2.6.2.4 Senyawa Besi .....	41
2.6.2.5 Stronsium Sulfat .....	42
2.6.2.6 Natrium Klorida .....	43
2.6.5 Analisis Problem <i>Scale</i> .....	44
2.6.5.1 Analisis <i>Pressure Drop</i> .....	44
2.6.5.2 Analisis Air Formasi .....	45
2.6.5.3 Analisis <i>Scale Coupon</i> .....	45
2.6.5.4 Penanganan <i>Scale</i> .....	49
<b>BAB 3 METODOLOGI PENELITIAN.....</b>	<b>59</b>
3.1 Rancangan Penelitian.....	59
3.2 Rincian Penelitian .....	61
3.2.1 Investigasi Data Produksi dan <i>Well History</i> .....	61
3.2.2 Uji Laboratorium Air Formasi .....	61
3.2.2.1 Prosedur Pengambilan Sampel .....	61
3.2.3 Perhitungan Kelarutan Kecenderungan <i>Scale</i> .....	65
3.2.3.1 <i>Scale</i> Kalsium Karbonat .....	65
3.2.3.2 <i>Scale</i> Barium Sulfat, Kalsium Sulfat dan Jenis <i>Scale</i> Lainnya .....	69
3.2.4 Prediksi <i>Scale</i> Menggunakan <i>Software</i> .....	73
3.2.4.1 Simulasi <i>Scale Tendency</i> dengan Menggunakan <i>ScaleChem</i> .....	73
3.2.4.2 Simulasi <i>OLI ScaleChem 4.0</i> .....	74
<b>BAB 4 HASIL PENELITIAN DAN PENGOLAHAN DATA .....</b>	<b>76</b>
4.1 Data Produksi Tiap Sumur .....	77
4.2 Kondisi Operasi Produksi Minyak Bumi .....	81
4.3 Data <i>Scale</i> Pada Lapangan Limau-Sumatera Selatan .....	82
4.3.1 Data Air Formasi .....	82
4.3.2 Hasil Simulasi <i>Scaling Tendency</i> dengan <i>OLI ScaleChem4.0</i> . .....	83
4.3.2.1 Sumur Produksi LMC-XXX .....	84
4.3.2.2 Sumur Produksi L5A-YYY .....	86
4.3.2.3 Sumur Produksi L5A-ZZZ .....	90
4.3.2.4 Sumur Produksi L5A-RRR .....	93
4.3.2.5 Sumur Produksi L5A-GGG .....	97
4.4 Evaluasi Pengasaman .....	101
4.4 Penanggulangan <i>Scale</i> di Lapangan .....	108

<b>BAB 5 KESIMPULAN .....</b>	<b>112</b>
5.1 Kesimpulan .....	112
5.2 Saran .....	113
<b>DAFTAR PUSTAKA.....</b>	<b>115</b>



## DAFTAR GAMBAR

Gambar 2.1	Reservoir Minyak dan Gas Bumi .....	4
Gambar 2.2	Diagram P – T untuk Sistem Multikomponen.....	11
Gambar 2.3	Ilustrasi Endapan <i>Scale</i> .....	21
Gambar 2.4	Metode Pembentukan dan Pengendapan <i>Scale</i> .....	23
Gambar 2.5	Ionisasi Asam Karbonat pada Berbagai Harga pH.....	32
Gambar 2.6	Pengaruh Tekanan Parsial CO <sub>2</sub> Terhadap Kelarutan CaCO <sub>3</sub> pada Berbagai Harga Temperatur.....	33
Gambar 2.7	Pengaruh Tekanan Parsial CO <sub>2</sub> terhadap pH Air .....	33
Gambar 2.8	Pengaruh Temperatur Terhadap Kelarutan Kalsium Karbonat.	34
Gambar 2.9	Pengaruh Konsentrasi NaCl Terhadap Kelarutan CaCO <sub>3</sub> pada Temperatur 24°C .....	35
Gambar 2.10	Kadar Kelarutan Kalsium Sulfat pada Air Murni .....	36
Gambar 2.11	Pengaruh Tekanan Terhadap Kelarutan Kalsium Sulfat pada Beberapa Harga Temperatur .....	37
Gambar 2.12	Pengaruh Konsentrasi NaCl Terhadap Kelarutan Gypsum dalam Air .....	38
Gambar 2.13	Pengaruh Temperatur Terhadap Kelarutan BaSO <sub>4</sub> pada Beberapa Harga Tekanan .....	39
Gambar 2.14	Pengaruh Konsentrasi NaCl Terhadap Kelarutan Barium Sulfat dalam Air .....	40
Gambar 2.15	Diagram Stabilitas Senyawa Besi Sulfida.....	41
Gambar 2.16	Pengaruh konsentrasi NaCl Terhadap Kelarutan Stronsium Sulfat dalam Air .....	43
Gambar 2.16	Pengaruh konsentrasi NaCl Terhadap Kelarutan Stronsium Sulfat dalam Air .....	43
Gambar 2.17	<i>Scale Coupon</i> Dengan Tujuh Lubang Pada Masing-Masing Sisinya .....	45
Gambar 3.1	Skema Penelitian Penanganan Problem <i>Scale</i> di Sumur Minyak.....	60
Gambar 3.2	Skema Uji Laboratorium Air Formasi.....	65
Gambar 3.3	Harga “K” pada berbagai Harga <i>Ionic Strength</i> .....	67

Gambar 3.4	Grafik Penentuan Harga pCa dan pAlk .....	68
Gambar 3.5	Skema Langkah Analisa <i>Scale Tendency</i> CaCO <sub>3</sub> dengan Metode <i>Stiff-Davis</i> .....	69
Gambar 3.6	Grafik Kelarutan Barium Sulfat pada Larutan Natrium Klorida	70
Gambar 3.7	Skema Langkah Analisa <i>Scale Tendency</i> dengan Metode <i>Oddy-Tompson</i> .....	72
Gambar 3.8	<i>Main Window Scalechem</i> .....	73
Gambar 3.9	Hasil <i>Scale Prediction</i> Pada Berbagai Tekanan dan Temperatur Operasi.....	75
Gambar 4.1	Grafik Kinerja Sumur LMC-XXX .....	77
Gambar 4.2	Grafik Kinerja Sumur L5A-YYY.....	78
Gambar 4.3	Grafik Kinerja Sumur L5A-ZZZ.....	79
Gambar 4.4	Grafik Kinerja Sumur L5A-RRR .....	80
Gambar 4.5	Grafik Kinerja Sumur L5A-GGG.....	81
Gambar 4.6	Grafik <i>Scale Tendency</i> Sumur Produksi LMC-XXX .....	84
Gambar 4.7	Grafik <i>Scale Tendency</i> Sumur Produksi L5A-YYY .....	87
Gambar 4.8	Grafik <i>Scale Tendency</i> Sumur Produksi L5A-ZZZ .....	90
Gambar 4.9	Grafik <i>Scale Tendency</i> Sumur Produksi L5A-RRR .....	94
Gambar 4.10	Grafik <i>Scale Tendency</i> Sumur Produksi L5A-GGG .....	98
Gambar 4.11	Pengendapan <i>Scale</i> Kalsium Karbonat pada Matriks Bantuan	103
Gambar 4.12	Pemilihan Formula Fluida Pengasaman .....	104
Gambar 4.13	Pemilihan Formula Fluida Pengasaman untuk <i>Acid Preflush</i> ...	105
Gambar 4.14	Pemilihan Formula Fluida Pengasaman untuk Jenis Formasi yang Mengandung <i>Clay</i> .....	105
Gambar 4.15	Pemilihan Formula Fluida Pengasaman untuk Jenis Formasi yang Mengandung <i>Zeolite</i> .....	106
Gambar 4.16	Pemilihan Formula Fluida Pengasaman untuk Jenis Formasi <i>Sandstone</i> yang Mengandung <i>Chlorite</i> .....	106
Gambar 4.17	Padatan <i>Scale</i> di Kepala Sumur.....	109
Gambar 4.18	Contoh Padatan <i>Scale</i> di <i>Tubing</i> dan <i>Flowline</i> .....	109
Gambar 4.19	<i>Continous Treatment</i> pada Sumur <i>Gas Lift</i> L5A-GGG .....	110
Gambar 4.20	Injeksi <i>Scale</i> Inhibitor di Lapangan.....	110

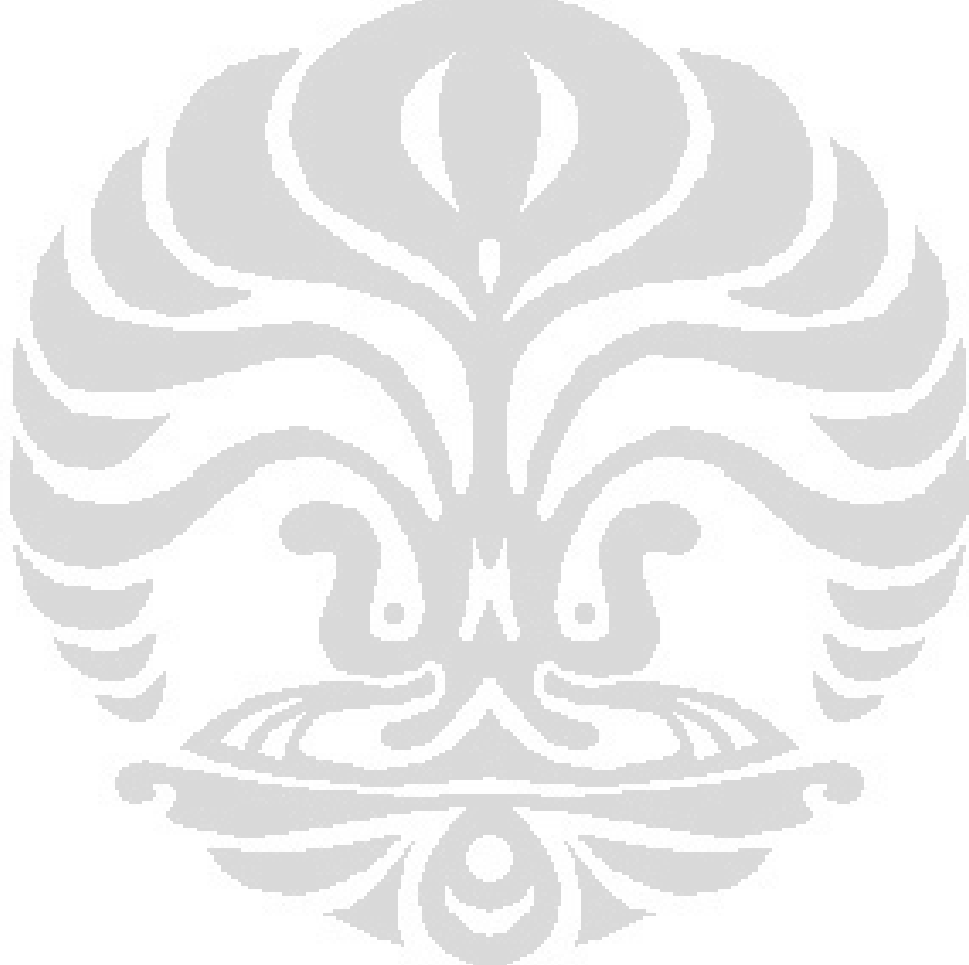
## DAFTAR TABEL

Tabel 2.1 Komponen Utama dan Sifat Fisik Air Formasi .....	24
Tabel 2.2 Sifat Fisik Air Murni .....	24
Tabel 2.3 Jenis Komponen Endapan <i>Scale</i> .....	29
Tabel 2.4 Klasifikasi Pengendapan <i>Scale</i> .....	29
Tabel 2.5 Endapan <i>Scale</i> yang Umum terdapat di Lapangan Minyak.....	30
Tabel 2.6 Perbandingan Kelarutan <i>Scale</i> dalam Air pada Temperatur 25 °C..	38
Tabel 2.7 Pengaruh Temperatur dan Kandungan NaCl pada Kelarutan Barium Sulfat .....	39
Tabel 2.8 Pengaruh Temperatur Terhadap Kelarutan NaCl.....	43
Tabel 2.8 Contoh Komposisi Ion Dalam Air Formasi.....	54
Tabel 3.1 Larutan Titrasi dan Indikator Perubahannya. ....	63
Tabel 3.2 Faktor Konversi Perhitungan <i>Ionic Strength</i> . .....	66
Tabel 3.3 Daftar Konstanta Kesetimbangan Kondisional pada Berbagai Jenis <i>Scale</i> . .....	71
Tabel 4.1 Kandidat Sumur Produksi yang di Evaluasi .....	76
Tabel 4.2 Data Kondisi Operasi Produksi Sumur.....	82
Tabel 4.3 Hasil Analisis Laboratorium Air Formasi .....	83
Tabel 4.4 Hasil Perhitungan <i>Scaling Index</i> pada Tiap Sumur .....	83
Tabel 4.5 Hasil Perhitungan <i>Scaling Tendency</i> pada Berbagai Tekanan dan Temperatur Sumur LMC-XXX. ....	84
Tabel 4.6 Konsentrasi <i>Scale</i> CaCO <sub>3</sub> pada Tekanan dan Temperatur Operasi Produksi Minyak Bumi pada Sumur LMC-XXX.....	85
Tabel 4.7 Pengecilan <i>Inside Diameter</i> Pipa pada Sumur LMC-XXX.....	85
Tabel 4.8 Hasil Perhitungan <i>Scaling Tendency</i> pada Berbagai Tipe <i>Scale</i> yang Mungkin Terbentuk Sumur L5A-YYY. ....	88
Tabel 4.9 Konsentrasi Padatan <i>Scale</i> yang Mungkin Terbentuk pada Tekanan dan Temperatur Operasi Produksi pada Sumur L5A-YYY .....	88
Tabel 4.10 Hasil Estimasi Perhitungan <i>Scale Growth</i> CaCO <sub>3</sub> dan FeCO <sub>3</sub> pada Sumur L5A-YYY.....	88
Tabel 4.11 Pengecilan <i>Inside Diameter</i> Pipa pada Sumur L5A-YYY. ....	89

Tabel 4.12 Hasil Perhitungan <i>Scaling Tendency</i> Sumur Produksi L5A-ZZZ pada Berbagai Tekanan dan Temperatur.....	91
Tabel 4.13 Hasil Estimasi Perhitungan <i>Scale Growth</i> CaCO <sub>3</sub> dan FeCO <sub>3</sub> Sumur L5A-ZZZ .....	91
Tabel 4.14 Pengecilan <i>Inside Diameter</i> Pipa pada Sumur L5A-ZZZ.....	92
Tabel 4.15 Hasil Perhitungan <i>Scaling Tendency</i> Sumur L5A-RRR pada Berbagai Tipe <i>Scale</i> yang Mungkin Terbentuk.....	95
Tabel 4.16 Konsentrasi Padatan <i>Scale</i> yang Mungkin Terbentuk pada Tekanan dan Temperatur Operasi Produksi pada Sumur L5A-RRR	95
Tabel 4.17 Hasil Estimasi Perhitungan <i>Scale Growth</i> pada Sumur L5A-RRR.	95
Tabel 4.18 Pengecilan <i>Inside Diameter</i> Pipa pada Sumur L5A-RRR .....	96
Tabel 4.19 Hasil Perhitungan <i>Scaling Tendency</i> Sumur L5A-GGG pada Berbagai Tekanan dan Temperatur.....	98
Tabel 4.20 Hasil Estimasi Perhitungan <i>Scale Growth</i> pada Sumur L5A-GGG.	98
Tabel 4.21 Pengecilan <i>Inside Diameter</i> Pipa pada Sumur L5A-GGG. ....	99
Tabel 4.22 Evaluasi Pengasaman Sumur .....	101
Tabel 4.23 <i>Acidizing</i> Formula .....	102
Tabel 4.24 Sumber Ion Besi yang Bersumber dari Pipa Produksi dan Formasi .....	107

## **DAFTAR LAMPIRAN**

Lampiran A. Data Produksi Sumur.....	117
Lampiran B. Perhitungan Kecenderungan Pembentukan <i>Scale, Scaling Index</i> Dengan Menggunakan Metode <i>Stiff-Davis</i> dan <i>Oddo-Tompson</i>	140
Lampiran C. Hasil Simulasi <i>OLI ScaleChem 4.0</i> .....	145
Lampiran D. <i>Downhole Diagram</i> Sumur Produksi .....	193



## BAB 1

### PENDAHULUAN

#### 1.1. Latar Belakang

Produksi di suatu lapangan minyak akan mengalami penurunan dari tahun ke tahun seiring dengan semakin menipisnya cadangan minyak di perut bumi. Hal yang lazim dilakukan untuk mempertahankan produksi adalah dengan memperbaiki cara pengangkatan minyak melalui pengangkatan buatan (*artificial lift*), memperbaiki kerusakan reservoir minyak (*reservoir damage*) ataupun memperbaiki sarana pengangkatannya (*tubing* dan *accessory*-nya). Usia sumur-sumur tua di Indonesia berkisar antara 20-35 tahun sehingga menyebabkan banyak *tubing* produksi dan/atau *completion* yang bermasalah secara mekanis, mengalami penuaan, ataupun bermasalah akibat sifat bawaan reservoir masing-masing lapangan seperti kepasiran, sumbatan *deposite scale*, kenaikan kadar air (*water cut*) dan lain-lain, yang mengharuskan kerja-kerja perbaikan sumur minyak ataupun sumur gas secara spesifik. Banyak teknologi mutakhir yang sudah dilakukan baik berupa aplikasi peralatan baru maupun bahan kimia yang diaplikasikan untuk usaha-usaha perbaikan sumur dan menelan biaya yang tidak sedikit untuk mengatasi problem produksi tersebut (PELITA, 2010).

Dalam kegiatan produksi, suatu sumur minyak menghasilkan 3 jenis fluida, yaitu air, minyak, dan gas. Ketiga fluida tersebut mengalir dari reservoir menuju permukaan melalui peralatan *subsurface* (*tubing*, *artificial lift*) kemudian menuju ke peralatan *surface* melalui *flowline* ke sistem pengumpul. Adanya friksi antara fluida dengan dinding pipa baik pada *flowline* maupun *pipeline* selama aliran fluida, dapat mengakibatkan perubahan tekanan dan laju alir fluida. Dari fenomena yang terjadi tersebut, dapat menyebabkan terbentuknya endapan di dinding pipa dan menyebabkan terganggunya aliran dengan pengecilan *inside diameter* pipa yang terjadi. Problem produksi ini umumnya terjadi baik pada lingkungan *subsurface* maupun *surface facilities* di suatu lapangan minyak, diantaranya masalah *scale*, korosi, emulsi, wax, paraffin, dan lainnya (Schlumberger, 2005).

Untuk problem *scale*, terbentuk dari adanya endapan senyawa ion-ion kimia tertentu, baik itu berupa kation ( $\text{Na}^+$ ,  $\text{Ca}^{2+}$ ,  $\text{Mg}^{2+}$ ,  $\text{Ba}^{2+}$ ,  $\text{Sr}^{2+}$  dan  $\text{Fe}^{3+}$ ), maupun anion ( $\text{Cl}^-$ ,  $\text{HCO}_3^-$ ,  $\text{SO}_4^{2-}$  dan  $\text{CO}_3^{2-}$ ) yang terbawa oleh air formasi selama sumur berproduksi. Dengan

meningkatnya *water cut*, adanya perubahan tekanan dan temperatur akan mempercepat terjadinya pembentukan endapan. Problem ini harus ditangani secara efektif dan efisien, karena jika tidak akan mengganggu kinerja produksi minyak dan mengurangi reliabilitas dari *surface facilities* itu sendiri. Dalam Skripsi yang disusun ini akan berusaha dipaparkan tentang penanganan problem *scale* produksi di suatu lapangan minyak di perusahaan **PT Pertamina EP** dengan mengambil studi kasus di Lapangan Limau Sumatera Selatan yang dikelola oleh Unit Bisnis PT Pertamina EP (UBEP) Limau.

*Scale* merupakan suatu presipitan yang berbentuk kristal ataupun kerak yang terbentuk dari ion-ion yang terkandung di dalam air. Problem ini berkaitan erat dengan fluida produksi yang dipengaruhi oleh jenis batuannya, kandungan ion-ion dalam air formasi, perubahan tekanan dan temperatur. Air formasi yang terproduksi mempunyai komposisi kimia yang berbeda-beda antara lain komponen kation dan anion yang terkandung didalamnya. Jika terjadi pencampuran dua jenis fluida yang *incompatible* dan adanya perubahan pH, tekanan, dan temperatur maka akan melewati batas kelarutan senyawa dalam air produksi yang menyebabkan terbentuknya endapan *scale*. Untuk mengidentifikasi jenis *scale* yang terbentuk dapat dilakukan melalui perhitungan dari kecenderungan terbentuknya *scale* yang dinyatakan dengan *Scaling Index* yang dapat dilakukan berdasarkan metode *Stiff-Davis* dan *Oddo-Tompson* ataupun dengan menggunakan simulasi *Scaling Tendency* menggunakan *OLI ScaleChem 4.0*.

Setelah diindikasikan dan diidentifikasi jenis *scale* yang terjadi di sumur produksi tersebut, direncanakan langkah preventif dengan melakukan pengontrolan terhadap peralatan produksi terkait dengan permasalahan *scale* yang terjadi mulai dari *near-wellbore*, *tubing*, *wellhead* hingga *flowline*. Dengan mengetahui permasalahan yang terjadi, diharapkan kita dapat melakukan *maintenance* pada proses produksi minyak bumi. Selain itu, untuk permasalahan yang terjadi pada peralatan produksi yang telah terjadi *scaling*, dilakukan analisis dan evaluasi metode penanggulangan *scale* yang telah ada agar dapat dilakukan perencanaan penanggulangan *scale* dengan meninjau keefektifan dan efisiensi di lapangan.

## 1.2. Rumusan Masalah

Berdasarkan apa yang telah diuraikan pada Latar Belakang diatas, maka jelaslah bahwa problem *scale* merupakan salah satu problem produksi yang harus ditangani secara efektif dan efisien, karena jika tidak, akan mengganggu kinerja produksi minyak dan

mengurangi reliabilitas pada fasilitas permukaan. Maka dalam penelitian ini, rumusan masalah yang akan diajukan adalah bagaimana menangani masalah *scale* yang terjadi dengan melakukan tindakan penanggulangan maupun pencegahan melalui *pengaturan* kondisi operasi dan preventif *maintenance* serta upaya menangani permasalahan *scale* yang sudah terbentuk yang dalam penelitian ini dibatasi hanya dari *near-wellbore*, lubang perforasi, *tubing*, *wellhead*, hingga *flowline* di suatu lapangan minyak.

### 1.3. Tujuan Penelitian

Adapun tujuan dilaksanakannya penelitian ini adalah

1. Memahami proses pembentukan *scale* disuatu lapangan minyak mulai dari *near-wellbore* hingga *flowline*.
2. Mengetahui kecenderungan *scale* yang terbentuk di lapangan (*scaling index*) dengan menggunakan metode *Stiff-Davis* dan *Ondo Tompson* serta menggunakan simulasi *OLI ScaleChem 4.0*.
3. Mengetahui laju pertumbuhan *scale* (*scale growth*) pada masing-masing tipe *scale* yang terbentuk di lapangan dengan bantuan *OLI ScaleChem 4.0*.
4. Mengestimasi ketebalan *scale* anorganik yang terjadi di lapangan dari *near-wellbore* hingga *flowline*.
5. Mencari upaya yang dapat dilakukan untuk menghindari/memiminimalkan terjadinya pembentukan *scale* dan menanggulangi masalah *scale* di lapangan.

### 1.4. Ruang Lingkup Masalah

Ruang lingkup dari permasalahan yang akan dibahas adalah:

1. Menentukan sumur yang mengalami *decline* produksi akibat *scale* selama rentang waktu tertentu dari data produksi dan *well history*.
2. Dilakukan sampling air formasi pada masing-masing sumur di lapangan Limau, untuk mengetahui kandungan kation dan anion yang menjadi penyebab terbentuknya *scale* dalam air formasi dengan konsentrasi dan tingkat kelarutannya masing-masing.
3. Dilakukan identifikasi *scale* yang terbentuk secara kuantitatif di laboratorium kemudian dihitung *Scaling Index* dengan metode *Stiff-Davis* dan *Ondo-Tompson*, untuk dihitung kecenderungan *scale* yang dapat terbentuk di lapangan.

4. Disimulasikan dengan *OLI ScaleChem 4.0* untuk mendapatkan kecenderungan *scale* yang terbentuk dan harga konsentrasi *scale* dengan memasukkan harga kation dan anion di dalam sistem air serta data dan riwayat sumur.
5. Mengevaluasi metode-metode penanggulangan *scale* yang telah diterapkan di lapangan dengan mengkaji kelebihan dan keterbatasan metode yang ada terhadap permasalahan *scale* di lapangan.
6. Menentukan langkah-langkah preventif agar pembentukan *scale* dapat diminimalisir dan penanggulangan *scale* baik secara kimia maupun mekanik dari *scale* yang telah terbentuk.
7. Menentukan langkah-langkah penanganan untuk mengatasi *scale* yang sudah terlanjur terbentuk.
8. Membuat usulan perencanaan penanganan *scale* pada lapangan minyak UBEP Limau.

### **1.5. Sistematika Penulisan**

- BAB I PENDAHULUAN, dalam bagian ini terkandung gambaran umum tentang permasalahan yang diangkat meliputi latar belakang masalah, rumusan masalah, tujuan penelitian yang akan dilakukan, ruang lingkup dan sistematika penulisan.
- BAB II TINJAUAN PUSTAKA, bagian ini berisi tentang teori-teori yang akan dijadikan sebagai landasan dan dasar acuan yang mendukung penelitian yang akan dilakukan.
- BAB III METODOLOGI PENELITIAN, bagian ini berisi mengenai tahap dan langkah kerja yang akan dilakukan selama penelitian.
- BAB IV HASIL PENELITIAN DAN PENGOLAHAN DATA, bagian ini berisi mengenai data hasil penelitian dan pengolahan data selama proses penelitian.
- BAB V KESIMPULAN DAN SARAN, bagian ini berisi mengenai kesimpulan akhir yang didapatkan selama penelitian dan saran yang mungkin berguna pada penelitian selanjutnya.

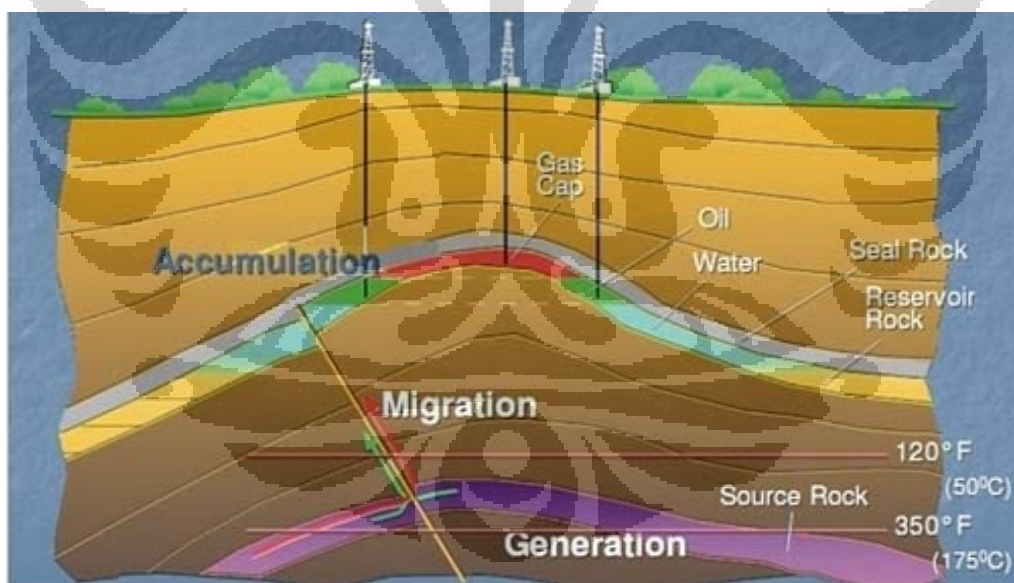
## BAB 2

### TINJAUAN PUSTAKA

#### 2.1 Reservoir Minyak Dan Gas Bumi<sup>[12]</sup>

Reservoir minyak dan gas bumi merupakan batuan berpori dan permeabel tempat minyak dan/atau gas bergerak serta berakumulasi. Melalui batuan reservoir ini fluida dapat bergerak ke arah titik serap (sumur-sumur produksi) dibawah pengaruh tekanan yang dimilikinya atau tekanan yang diberikan dari luar. Seperti digambarkan pada Gambar 2.1, suatu reservoir dapat mengandung minyak dan/atau gas harus memiliki beberapa syarat yang terdiri dari:

1. Batuan reservoir (*reservoir rocks*)
2. Lapisan penutup (*sealing cap rocks*)
3. Batuan asal (*source rock*)



Gambar 2.1 Reservoir Minyak dan Gas Bumi<sup>[7]</sup>

##### 2.1.1 Batuan Reservoir

Didefinisikan sebagai suatu wadah yang diisi dan dijenuhi minyak dan gas, yang merupakan suatu lapisan berongga/berpori. Secara teoritis semua batuan, baik batuan beku

maupun batuan metamorf dapat bertindak sebagai batuan reservoir, tetapi pada kenyataan ternyata 99% batuan reservoir adalah batuan sedimen.

Jenis batuan reservoir ini akan berpengaruh terhadap besarnya porositas dan permeabilitas. Porositas merupakan perbandingan volume pori-pori terhadap volume batuan keseluruhan, sedangkan permeabilitas merupakan kemampuan dari medium berpori untuk mengalirkan fluida yang dipengaruhi oleh ukuran butiran, bentuk butiran serta distribusi butiran. Disamping itu, batuan reservoir akan dipengaruhi juga oleh fasa fluida yang mengisi pori-pori tersebut berhubungan atau tidak satu sama lainnya.

### 2.1.2 Lapisan Penutup

Minyak dan/atau gas terdapat didalam reservoir. Untuk dapat menahan dan melindungi fluida tersebut, lapisan reservoir ini harus mempunyai penutup di bagian luar lapisannya. Sebagai penutup lapisan reservoir biasanya merupakan lapisan batuan yang mempunyai sifat kedap (*impermeable*), yaitu sifat yang tidak dapat meloloskan fluida yang dibatasinya.

Jadi lapisan penutup didefinisikan sebagai lapisan yang berada di bagian atas dan tepi reservoir yang dapat dan melindungi fluida yang berada didalam lapisan dibawahnya, hal ini akan mengakumulasikan minyak dalam reservoir.

### 2.1.3 Batuan Asal

Pada saat terjadinya minyak dan/atau gas yang berasal dari organisme purba terdapat dalam batuan asal (*source rock*), dengan kondisi tekanan dan temperature tertentu kemudian berubah menjadi minyak atau gas bumi, kemudian bermigrasi dan terperangkap pada batuan berpori yang disebut batuan reservoir.

## 2.2 Dasar Teknik Reservoir<sup>[2], [3], [4], [8], [12]</sup>

Dalam teknik permifyakan, dikenal adanya teknik reservoir, dimana didalam teknik reservoir ini diantaranya mencakup sifat-sifat batuan dan fluida yang terdapat di reservoir.

### 2.2.1 Sifat Batuan Reservoir<sup>[2],[12]</sup>

Batuhan merupakan bahan alamiah yang terdiri dari satu mineral maupun sekelompok mineral. Sedangkan yang dimaksud dengan batuan reservoir disini adalah sifat yang dimiliki oleh formasi batuan suatu reservoir minyak dan gas bumi yang berhubungan dengan ilmu mekanika, kelistrikan, kemagnetan, dan sebagainya. Setiap batuan reservoir, mempunyai sifat fisik yang berbeda-beda. Bergantung dari waktu dan proses pembentukan batuan tersebut. Adapun sifat-sifat fisik yang ada antara lain adalah sebagai berikut:

#### 2.2.1.1 Porositas ( $\phi$ )

Porositas didefinisikan sebagai perbandingan antara volume batuan yang tidak terisi oleh padatan (pori-pori) terhadap volume batuan secara keseluruhan (bulk volume). Sehingga dapat dikatakan bahwa porositas merupakan ukuran yang menunjukkan besarnya rongga pori didalam batuan tersebut.

$$\phi = \frac{\text{pore volume}}{\text{bulk volume}} \quad (2.1)$$

Dimana:  $\phi$  = porositas

Berdasarkan sifat-sifat batuan reservoir, maka porositas dapat dibagi lagi menjadi porositas efektif dan porositas absolut. Porositas efektif yaitu perbandingan volume pori-pori yang saling berhubungan terhadap volume batuan secara keseluruhan. Porositas absolut adalah perbandingan volume pori-pori total tanpa memandang saling berhubungan atau tidak, terhadap volume batuan secara keseluruhan.

#### 2.2.1.2 Permeabilitas ( $k$ )

Permeabilitas batuan didefinisikan sebagai kemampuan batuan tersebut untuk melewatkannya fluida dalam medium berpori-pori yang saling berhubungan tanpa merusak partikel pembentuk atau kerangka batuan tersebut. Permeabilitas merupakan hal penting yang digunakan untuk menunjukkan mudah tidaknya fluida mengalir didalam batuan reservoir seperti ditunjukkan pada persamaan berikut:

$$v = \frac{k}{\mu} \frac{\partial P}{\partial L} \quad (2.2)$$

Dimana:

$v$  = kecepatan alir fluida (cm/detik)

$k$  = permeabilitas (*Darcy*)

$\mu$  = viskositas fluida (cp)

$\frac{\partial P}{\partial L}$  = penurunan tekanan setiap satuan panjang (psi/cm)

Permeabilitas dikenal dengan tiga istilah, yaitu permeabilitas absolut, permeabilitas efektif, dan permeabilitas relatif. Permeabilitas absolut dipakai untuk aliran fluida satu fasa. Permeabilitas efektif digunakan untuk aliran yang terdiri dari dua fasa atau lebih dikenal sebagai:  $k_o$ ,  $k_w$ ,  $k_g$ . Sedangkan permeabilitas relatif adalah perbandingan permeabilitas efektif terhadap permeabilitas absolut, hal ini bergantung pada jenis fluidanya.

### 2.2.1.3 Saturasi ( $S$ )

Reservoir mengandung fluida-fluida berupa minyak, gas, dan air. Saturasi didefinisikan sebagai fraksi salah satu fluida terhadap pori-pori dari batuan.

Disini dikenal  $S_o$ ,  $S_w$ , dan  $S_g$ , dimana:

$$S_o = \frac{\text{volume minyak dalam pori - pori}}{\text{volume pori - pori keseluruhan}} \quad (2.3)$$

$$S_w = \frac{\text{volume air dalam pori - pori}}{\text{volume pori - pori keseluruhan}} \quad (2.4)$$

$$S_g = \frac{\text{volume gas dalam pori - pori}}{\text{volume pori - pori keseluruhan}} \quad (2.5)$$

Sehingga:  $S_o + S_w + S_g = 1,0$

Untuk mendapatkan harga saturasi dapat dilakukan di laboratorium dengan prinsip penguapan air dan pelarutan minyak.

### 2.2.1.4 Kebasahan (*Wettability*)

Kebasahan didefinisikan sebagai suatu kecenderungan suatu fluida untuk menyebar atau menempel pada permukaan padatan dengan adanya fluida lain yang *immiscible*. Kecenderungan untuk menyebar atau menempel ini karena adanya gaya adhesi yang

merupakan faktor tegangan permukaan. Faktor ini pula yang menentukan fluida mana yang akan lebih membasahi suatu padatan.

$$\sigma_{os} - \sigma_{ws} = \sigma_{ow} \cos \theta_c \quad (2.6)$$

Dimana:

$\sigma_{os}$  = energi antar muka antara minyak dengan padatan, (dyne/cm)

$\sigma_{ws}$  = energi antar muka antara air dengan padatan, (dyne/cm)

$\sigma_{ow}$  = energi antar muka antara minyak dengan air, (dyne/cm)

$\theta_c$  = sudut pada antar muka antara minyak, air, dan padatan (derajat)

Untuk menentukan energi antar muka sistem diatas, biasanya dapat dilakukan di laboratorium secara langsung. Harga  $\theta$  disebut sebagai sudut kontak, berkisar antara  $0^\circ$ - $180^\circ$ . Untuk  $\theta > 90^\circ$ , sifat kebasahan batuan reservoir disebut sebagai basah minyak (*oil-wet*), sedangkan untuk  $\theta < 90^\circ$ , sifat kebasahan batuan reservoir disebut sebagai basah air (*water-wet*).

### 2.2.2 Karakteristik Fluida Hidrokarbon<sup>[3],[12]</sup>

Fluida reservoir umumnya terdiri dari minyak, gas, dan air formasi. Minyak dan gas kebanyakan merupakan campuran yang rumit berbagai senyawa hidrokarbon, yang terdiri dari golongan *naphthene*, *paraffin*, aromatik dan sejumlah kecil gabungan oksigen, nitrogen, dan sulfur. Karakteristik-karakteristik fluida hidrokarbon yang berhubungan dengan sifat fisis, dinyatakan dalam berbagai besaran, diantaranya:

1. Faktor volume formasi gas
2. Kelarutan gas
3. Faktor volume formasi minyak
4. Faktor volume formasi dwi-fasa
5. Viskositas
6. Berat jenis (<sup>o</sup>API)

#### 2.2.2.1 Faktor Volume Formasi Gas ( $B_g$ )

Faktor volume formasi gas didefinisikan sebagai volume (dalam barrel) yang ditempati oleh suatu standar kubik *feet* gas ( $60^\circ\text{F}$ ; 14,7 Psi) bila dikembalikan pada keadaan temperatur dan tekanan reservoir. Hubungan faktor volume formasi gas ( $B_g$ ) sebagai fungsi tekanan dan temperatur, digambarkan sebagai berikut:

$$B_g = 0,00504 \frac{Z_o T_o}{P_o} \text{ bbl/scf} \quad (2.7)$$

Dimana:

$B_g$  = faktor volume formasi gas, bbl/scf

$P_o$  = tekanan reservoir, psia

$T_o$  = temperatur reservoir, °F

$Z_o$  = kompresibilitas, *dimensionless*

### 2.2.2.2 Kelarutan Gas ( $R_s$ )

Klarutan gas ( $R_s$ ) didefinisikan sebagai banyaknya volume gas yang terbebaskan (kubik feet gas pada tekanan dan temperatur standard) dari suatu minyak mentah di dalam reservoir yang dipermukaan volumenya sebesar tangki satu barrel.

$R_s$  merupakan fungsi dari tekanan, untuk minyak mentah yang jenuh, penurunan tekanan akan mengakibatkan klarutan gas menurun karena gas yang semula larut dalam minyak mentah pada tekanan yang lebih rendah. Untuk minyak mentah yang tak jenuh, penurunan tekanan sampai tekanan gelembung, tidak akan menurunkan klarutan gas, tetapi setelah melewati tekanan gelembung, penurunan tekanan mengakibatkan menurunnya klarutan gas.

### 2.2.2.3 Faktor Volume Formasi Minyak ( $B_o$ )

Faktor volume formasi minyak ( $B_o$ ) didefinisikan sebagai perbandingan  $V_1$  barrel minyak pada keadaan reservoir terhadap  $V_2$  barrel minyak pada tangki pengumpul (60°F, 14.7 psi). Dimana,  $V_1 - V_2$  berupa gas yang dibebaskan karena penurunan tekanan dan temperatur.

### 2.2.2.4 Faktor Volume Formasi Dwi-Fasa ( $B_t$ )

Faktor volume formasi dwi-fasa ( $B_t$ ) didefinisikan sebagai volume yang ditempati oleh minyak sebanyak satu barrel tangki pengumpul ditambah dengan gas bebas yang semula larut dalam sejumlah minyak tersebut. Harga  $B_t$  dapat ditentukan dan karakteristik cairan reservoir yang disebutkan terdahulu, yang digambarkan sebagai:

$$B_t = B_o + (R_{si} - R_s)B_g \quad (2.8)$$

Dimana:

$B_t$  = faktor volume formasi dwi-fasa

$B_o$  = faktor volume formasi minyak

$B_g$  = faktor volume formasi gas

$R_s$  = kelarutan gas

$i$  = keadaan mula-mula

#### 2.2.2.5 Viskositas ( $\mu$ )

Viskositas suatu cairan adalah suatu ukuran tentang besarnya keengganan cairan untuk mengalir. Viskositas didefinisikan sebagai besarnya gaya yang harus bekerja pada satu satuan luas bidang horizontal yang terpisah sejauh satu satuan jarak dan suatu bidang horizontal lain, agar relative terhadap bidang kedua ini, bidang pertama bergerak sebesar satu satuan kecepatan. Diantara kedua bidang horizontal ini terdapat cairan yang dimaksud.

Umumnya viskositas dipengaruhi langsung oleh tekanan dan temperatur. Hubungan tersebut adalah:

- Viskositas akan menurun dengan naiknya temperatur.
- Viskositas akan naik dengan naiknya tekanan, dimana tekanan tersebut semata-mata untuk pemanfaatan cairan.
- Viskositas akan naik dengan bertambahnya gas dalam larutan.

#### 2.2.2.6 Berat Jenis ( $^{\circ}$ API)

Berat jenis ( $^{\circ}$ API) minyak menunjukkan kualitas fluida hidrokarbon. Apakah hidrokarbon tersebut termasuk minyak ringan, gas, atau minyak berat. Besaran ini dinyatakan dalam:

$$^{\circ}API = \frac{141.5}{\text{spesific gravity minyak pada } 60^{\circ}F} - 131,5 \quad (2.9)$$

Semakin besar harga  $^{\circ}$ API berarti berat jenis minyak semakin kecil dan sebaliknya.

### 2.2.3 Tekanan Reservoir

Tekanan reservoir didefinisikan sebagai tekanan fluida didalam pori-pori reservoir yang berada dalam keadaan setimbang, baik sebelum maupun sesudah dilakukannya suatu proses produksi. Berdasarkan hasil penyelidikan, besarnya tekanan reservoir mengikuti suatu

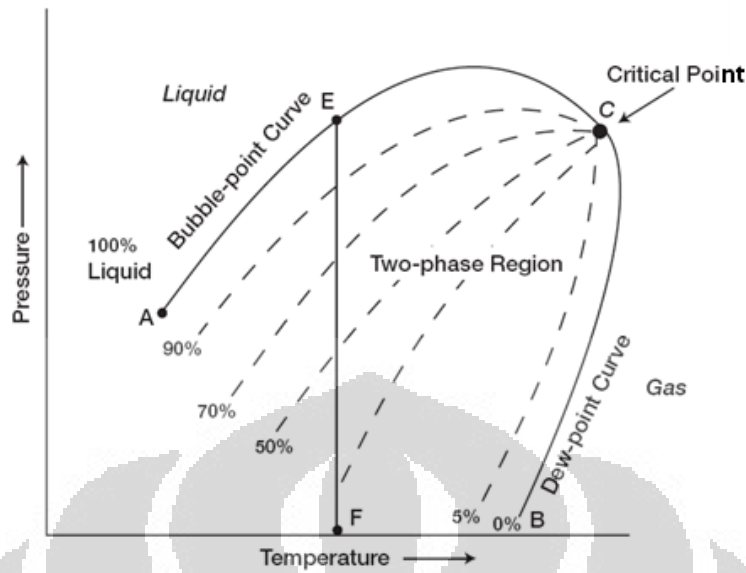
hubungan yang linier dengan kedalaman reservoir tersebut ke permukaan, sehingga reservoir menerima tekanan hidrostatik fluida pengisi formasi. Berdasarkan ketentuan ini, maka pada umumnya *gradient* tekanan berkisar antara 0,435 psi/ft. Dengan adanya tekanan *overburden* dari batuan atasnya, gradient tekanan dapat lebih besar dari harga tersebut diatas, hal ini tergantung pada kedalaman reservoir. Dengan adanya kebocoran gas sebelum/selama umur geologi migrasi minyak, dapat mengakibatkan tekanan reservoir akan lebih rendah. <sup>[12]</sup>

#### 2.2.4 Temperatur Reservoir <sup>[12]</sup>

Temperatur reservoir merupakan fungsi dari kedalaman. Hubungan ini dinyatakan oleh *gradient geothermal*. Harga *gradient geothermal* tersebut berkisar antara 0,3°F/100 ft sampai dengan 4°F/100 ft.

### 2.3 Perubahan Fasa<sup>[4]</sup>

Perubahan fasa sistem hidrokarbon dalam bentuk cairan dan gas merupakan fungsi dari tekanan, temperatur, dan komposisinya (Gambar 2.2). Menurut Hawkin NF, fasa adalah bagian dan sistem yang sifat-sifatnya homogen dalam komposisi, memiliki batas permukaan secara fisik serta terpisah secara mekanis dengan fasa lainnya yang mungkin ada. Fluida hidrokarbon suatu sistem yang heterogen, sangat dipengaruhi oleh jumlah komponen yang ada didalamnya. Untuk itu analisa fasa fluida hidrokarbon dilakukan dalam berbagai komponen yang kemudian diinterpretasikan dalam diagram tekanan dan temperatur. Berdasarkan posisi tekanan dan temperatur pada diagram fasa, kita dapat membedakan berbagai tipe reservoir, misalnya gas kondensat reservoir, gas reservoir, dan lainnya. Berdasarkan fenomena perubahan fasa fluida ini, kita dapat merencanakan fasilitas yang baik untuk sistem produksi, separator, pemipaan, serta *storage* atau cara penyimpanannya.



Gambar 2.2. Diagram P – T untuk Sistem Multikomponen<sup>[4]</sup>

## 2.4. Produktivitas Sumur<sup>[1]</sup>

Sebelum membicarakan parameter produktivitas sumur seperti laju produksi, *productivity index*, terlebih dahulu akan dibicarakan mengenai aliran fluida dalam media berpori.

### 2.4.1. Aliran Fluida Dalam Media Berpori<sup>[1]</sup>

Fluida akan mengalir dalam media berpori apabila media tersebut mempunyai permeabilitas yang searah dengan arah tenaga pendorong dan dipengaruhi oleh beberapa faktor yaitu :

1. Sifat fisik dari formasi.
2. Geometri sumur dan daerah pengurasan.
3. Sifat fisik fluida yang mengalir.
4. Perbedaan tekanan antara formasi dan lubang sumur pada saat terjadinya aliran.

Persamaan yang menggambarkan mengenai aliran fluida dalam media berpori pertama kali dikembangkan oleh *Henry Darcy* (1856). Persamaan tersebut merupakan persamaan yang menunjukkan kecepatan aliran fluida dengan permeabilitas batuan, viskositas fluida serta gradien tekanan antar jarak tempuh aliran (Persamaan 2.2).

#### **2.4.2. Indeks Produktivitas**

Produktivitas formasi merupakan kemampuan suatu formasi untuk memproduksikan fluida yang dikandungnya pada kondisi tertentu. Untuk mengetahui kemampuan suatu sumur berproduksi pada setiap saat, maka digunakan konsep "*Productivity Index*" (Indeks Produktivitas) dimana dengan diketahuinya indeks produktivitas tersebut diharapkan masa hidup dari suatu reservoir dapat diketahui.

Indeks Produktivitas (*PI*) didefinisikan sebagai angka atau indeks yang menyatakan besarnya kemampuan suatu sumur/reservoir untuk memproduksi fluida pada kondisi tertentu, atau dapat pula didefinisikan sebagai perbandingan antara laju produksi (*q*) yang dihasilkan oleh suatu sumur tertentu dengan perbedaan tekanan dasar sumur dalam keadaan statik ( $P_s$ ) dan tekanan dasar sumur dalam keadaan terjadi aliran ( $P_{wf}$ ). Dalam bentuk persamaan, definisi tersebut dapat dinyatakan sebagai :

$$PI = \frac{q_o}{(P_s - P_{wf})} \quad (2.10)$$

dimana :

*PI* = Indeks Produktivitas, bbl/hari/psi

$q_o$  = laju produksi minyak, bbl/hari

$P_s - P_{wf}$  = perbedaan tekanan atau "draw down", psi

Persamaan (2-10) di atas didapat berdasarkan data test tekanan dan hanya digunakan untuk satu macam cairan (dalam hal ini hanya minyak).

Sedangkan untuk dua macam cairan (minyak dan air), maka Persamaan (2.10) menjadi :

$$PI = \frac{q_o + q_w}{(P_s - P_{wf})} \quad (2.11)$$

dimana :

$q_w$  = laju produksi air, bbl/hari

Bilamana didalam suatu reservoir minyak terdapat *plugging* akibat dari *scale*, maka perlu diperhitungkan faktor skin yang akan mempengaruhi besarnya *Productivity Index* (PI) akibat dari kerusakan formasi:

dimana:

- S = faktor skin
- k = permeabilitas absolut formasi
- $k_s$  = permeabilitas absolut formasi yang rusak
- $r_s$  = jari-jari formasi yang mengalami kerusakan
- $r_w$  = jari-jari sumur

sehingga harga PI dengan penentuan berdasarkan persamaan aliran radial dari *Darcy*, maka akan didapat :

$$PI = \frac{7,082 h}{\ln\left(\frac{r_e}{r_w} + S\right)} \left[ \frac{k_o}{\mu_o B_o} + \frac{k_w}{\mu_w B_w} \right] \quad (2.13)$$

dimana :

- $h$  = ketebalan lapisan reservoir, ft
- $k_w$  = permeabilitas batuan terhadap air, D
- $k_o$  = permeabilitas batuan terhadap minyak, D
- $\mu_w$  = viskositas air, cp
- $\mu_o$  = viskositas minyak, cp
- $B_w$  = faktor volume formasi air, bbl/STB
- $B_o$  = faktor volume formasi minyak, bbl/STB
- $r_e$  = jari-jari pengurasan, ft
- $r_w$  = jari-jari sumur, ft
- S = faktor skin

#### 2.4.2.1. Faktor-Faktor yang Mempengaruhi PI

Faktor-faktor yang mempengaruhi besar kecilnya harga PI, antara lain :

- Sifat fisik batuan reservoir

Sifat fisik batuan reservoir yang mempengaruhi besar kecilnya PI, yaitu :

- Permeabilitas batuan

Permeabilitas batuan merupakan kemampuan batuan untuk mengalirkan fluida. Dengan turunnya permeabilitas maka fluida akan sulit mengalir, sehingga kemampuan berproduksi atau PI menjadi turun.

- Saturasi fluida

Saturasi fluida adalah ukuran kejemuhan fluida di dalam pori-pori batuan. Pada proses produksi, saturasi minyak berkurang dengan naiknya produksi kumulatif minyak dan pori-pori yang kosong diganti oleh air atau gas bebas. Disamping itu, berlangsungnya proses produksi disertai dengan penurunan tekanan dan bila melewati tekanan titik gelembung akan mengakibatkan munculnya fasa gas yang mengakibatkan saturasi gas bertambah dan saturasi minyak berkurang. Hal ini akan mengurangi permeabilitas efektif batuan terhadap minyak, sehingga dapat menurunkan PI.

b. Sifat fisik fluida reservoir

Beberapa sifat fisik fluida reservoir yang mempengaruhi besar kecilnya PI, yaitu :

- Kelarutan gas dalam minyak

Dalam proses produksi, penurunan tekanan di bawah tekanan saturasi (tekanan titik gelembung) dapat menyebabkan bertambahnya gas yang membebaskan diri dari larutan. Hal ini akan menyebabkan turunnya harga PI akibat berkurangnya permeabilitas efektif batuan terhadap minyak karena naiknya saturasi gas.

- Faktor Volume Formasi

Faktor volume formasi minyak ( $B_o$ ) juga berpengaruh terhadap besar kecilnya harga PI. Di atas harga tekanan saturasi  $B_o$  turun dengan cepat karena penyusutan volume minyak akibat dibebaskannya gas yang terlarut. Dari Persamaan 2.12 dapat diketahui bahwa kenaikan  $B_o$  akan menurunkan harga PI.

- Viskositas Fluida

Viskositas adalah ukuran ketahanan fluida terhadap pengaliran. Bila tekanan reservoir sudah berada di bawah tekanan saturasi, maka pernurunan tekanan selanjutnya akan mengakibatkan bertambahnya gas yang dibebaskan dari larutan sehingga akan menaikkan harga viskositas minyak. Hal ini akan menyulitkan proses produksi, sehingga akan menurunkan harga PI.

c. Ketebalan lapisan formasi

Semakin tebal lapisan atau zona produktif semakin besar pula harga PI, seperti yang ditunjukkan oleh Persamaan 2.12 yang berarti laju produksinya juga dapat naik, tetapi lapisan

tersebut bisa diselingi oleh sub-sub lapisan tipis dari air atau gas sehingga laju produksinya akan berkurang.

Terproduksinya air dapat juga menyebabkan terjadinya *scale* yang dapat mengurangi kapasitas kerja dari alat-alat produksi atau terjadinya korosi pada alat-alat produksi. Pencegahan hal ini antara lain juga dilakukan dengan memasang casing sehingga menembus zona produktif, kemudian diperforasi pada interval-interval minyak.

#### *d. Draw-down*

Semakin besar *draw-down* semakin besar pula laju produksinya, sehingga PI akan naik, tetapi dengan semakin besarnya *draw-down* yang diakibatkan oleh mengecilnya  $P_{wf}$  hingga di bawah tekanan saturasi akan mengakibatkan terbebasnya gas yang semula sehingga PI turun. Dengan dibebaskannya gas yang semula terlarut di dalam minyak akan mengakibatkan kehilangan tekanan (*pressure loss*) yang besar pada aliran vertikal ke permukaan, sehingga tekanan ke tubing (*tubing head pressure/THP*) yang dihasilkan akan kecil dan ini akan mengurangi kemampuan fluida untuk mengalir ke separator karena tidak dapat mengatasi tekanan balik (*back pressure*) yang terjadi. Di samping itu, laju produksi minyak akan turun karena terhambat aliran gas. Perlu diperhatikan juga bahwa dengan membesarkan *draw-down* untuk formasi yang kurang kompak dapat mengakibatkan terproduksinya pasir.

#### e. Mekanisme pendorong reservoir

Kecepatan perubahan tekanan suatu reservoir akibat proses produksi sangat dipengaruhi oleh jenis mekanisme pendorong yang dimilikinya.

- *Solution gas drive*

Pada reservoir dengan tipe pendorongan *solution gas drive*, energi yang menyebabkan minyak bergerak ke sumur produksi berasal dari ekspansi volumetrik larutan gas yang berada dalam minyak dan pendesakan minyak akibat berkurangnya tekanan karena produksi. Hal ini akan menyebabkan gas yang larut didalam minyak akan keluar berupa gelembung-gelembung yang tersebar merata didalam fasa minyak. Penurunan tekanan selanjutnya akan menyebabkan gelembung-gelembung gas tadi akan berkembang, sehingga mendesak minyak untuk mengalir ke daerah yang bertekanan rendah.

Pada kurva riwayat produksi suatu lapangan yang reservoirnya memiliki mekanisme pendorong *solution gas drive* akan memperlihatkan bahwa pada saat produksi baru

dimulai, tekanan turun dengan perlahan dan selanjutnya menurun dengan cepat. Hal ini disebabkan karena pada saat pertama, gas belum bias bergerak, karena saturasinya masih berada dibawah saturasi kritis, setelah saturasi kritis dilampaui, barulah tekanan turun dengan cepat.

Pada *solution gas drive* semakin rendah tekanan akan semakin banyak gas yang dibebaskan dari larutan, sehingga saturasi gas naik dan saturasi minyak turun. Hal ini akan mengakibatkan turunnya harga permeabilitas efektif batuan terhadap minyak ( $k_o$ ), sehingga harga PI-nya juga akan turun. Bila tekanan masih berada di atas tekanan saturasi, maka PI konstan karena belum ada yang yang dibebaskan.

- *Gas cap drive*

Pada reservoir dengan mekanisme pendorongan *gas cap drive*, energi pendorongan berasal dari ekspansi gas bebas yang terdapat pada gas bebas (*gas cap*). Hal ini akan mendorong minyak ke arah posisi yang bertekanan rendah yaitu ke arah bawah struktur dan selanjutnya ke arah sumur produksi. Gas yang berada di *gas cap* ini sudah ada sejak reservoir itu ditemukan atau bias juga berasal dari gas yang terlarut dalam minyak dan akan keluar dari zona minyak bila tekanan reservoir dibawah *bubble point pressure*.

Penurunan tekanan pada *gas cap drive* agak lambat bila dibandingkan dengan *solution gas drive*. Hal ini disebabkan disamping akibat pengembangan gas yang terlarut juga diakibatkan pendesakan *gas cap*, sehingga penurunan PI tidak secepat pada *solution gas drive*.

- *Water drive*

Pada reservoir dengan tipe pendorongan *water drive*, energi yang menyebabkan perpindahan minyak dari reservoir ke sumur minyak adalah disebabkan oleh pengembangan air, penyempitan pori-pori dari lapisan dan sumber air di permukaan bumi yang berhubungan dengan formasi yang mengandung 100% air (*aquifer*) sebagai akibat adanya penurunan tekanan selama produksi.

Air sebagai suatu fasa yang sering berasa bersama-sama dengan minyak dan gas dalam suatu reservoir yang mengandung hidrokarbon tersebut seringkali merupakan suatu fasa kontinu dalam suatu formasi sedimen yang berdekatan dengan reservoir tersebut. Setiap perubahan tekanan dalam reservoir minyak sebagai akibat dan pada produksi minyak melalui sumur akan diteruskan kedalam *aquifer*. Terbentuknya gradien tekanan ini akan mengakibatkan air mengalir kedalam lapisan minyak (merembes) bila

permeabilitas disekitarnya memungkinkan. Secara umum, dapat dikatakan bahwa *aquifer* merupakan suatu tenaga yang membantu dalam hal pendorongan minyak.

Dalam pendorongan *water drive* ini, karena dalam pengosongan minyak dari reservoir diimbangi oleh perembesan air, maka PI-nya relatif konstan. Tetapi bila *water drive* sangat lemah dan tidak dapat mengimbangi pengosongan, maka tekanan akan turun di bawah tekanan saturasi dan fasa gas akan terbentuk. Dalam kondisi seperti ini terjadi aliran minyak, air dan gas, dimana PI akan turun selama produksi.

## 2.5 Skin Sebagai Efek dari *Scale*

Dalam suatu proses produksi pengangkatan minyak bumi, selain jumlah fasa yang mengalir, faktor lain yang perlu diperhatikan pula adalah adanya hambatan aliran di sekitar lubang sumur atau dalam media berpori. Hambatan tersebut dinyatakan sebagai efek skin, *dimensionless*. Sumber terjadinya hambatan aliran di sekitar lubang bor adalah<sup>[1]</sup> :

1. Adanya invasi filtrat lumpur pemboran ke formasi produktif
2. Adanya partikel lumpur pemboran yang menutup pori-pori batuan di sekitar lubang sumur
3. Lubang *perforasi*, dan *gravel pack*
4. Hambatan aliran minyak yang disebabkan oleh penurunan saturasi minyak di sekitar lubang bor, sebagai akibat peningkatan saturasi gas
5. Aliran berkecepatan tinggi.

Pengaruh skin ini menimbulkan tambahan penurunan tekanan di sekitar lubang sumur, yang memperkecil laju produksi. Dibawah ini adalah beberapa hal umum yang dapat menyebabkan terjadinya efek skin yang terjadi pada formasi (*formation damage*), yaitu sebagai berikut<sup>[6]</sup>:

1. Kerusakan ketika operasi pengeboran sumur:
  - a. Solids (padatan) dari lumpur bor.
  - b. Invasi filtrat lumpur bor kedalam formasi, menyebabkan *oil-wetted formation*, terbentuk emulsi, dan flokulasi *clay*.
2. Kerusakan ketika pemasangan dan *cementing* pada pipa selubung:
  - a. Kebuntuan dari partikel semen yang dipengaruhi bahan-bahan kimia (*cement additives* merubah sifat-sifat dan bentuk dari partikel *clay*)
  - b. Invasi filtrat dari adonan semen dengan *high fluid loss*.

3. Kerusakan ketika *completion well* (penyelesaian sumur):

- a. Ketika melakukan perforasi:
    - Kebuntuan lubang perforasi oleh sisa tembakan/fluida.
    - Formasi yang hancur dan terkompaksi disekitar lubang.
  - b. Ketika menurunkan *tubing* dan *packer*:
    - Bila terjadi *fluid loss*
    - Ada perbedaan tekanan hidrostatik dan invasi lumpur.
  - c. Ketika awal pengaliran produksi: kerusakan dari fluida sirkulasi yang tidak kompatibel dan hasil pengendapan kotoran seperti *paraffin*, *asphaltene*, *scale*, populasi bakteri, dan sebagainya.
4. Kerusakan ketika stimulasi sumur:
- a. Fluida sirkulasi, *killing fluids* dan invasi filtrat ke formasi mengandung solid.
  - b. Pengasaman batu pasir dengan *hydraulic acid fracture* yang meninggalkan partikel-partikel.
  - c. Perengkahan hidrolik: rekahan tersumbat oleh solid/pasir dan fluida *fracturing* dengan viskositas tinggi.
  - d. Pengasaman (*acidizing*) adanya fluida tercampur dan tidak kompatibel.

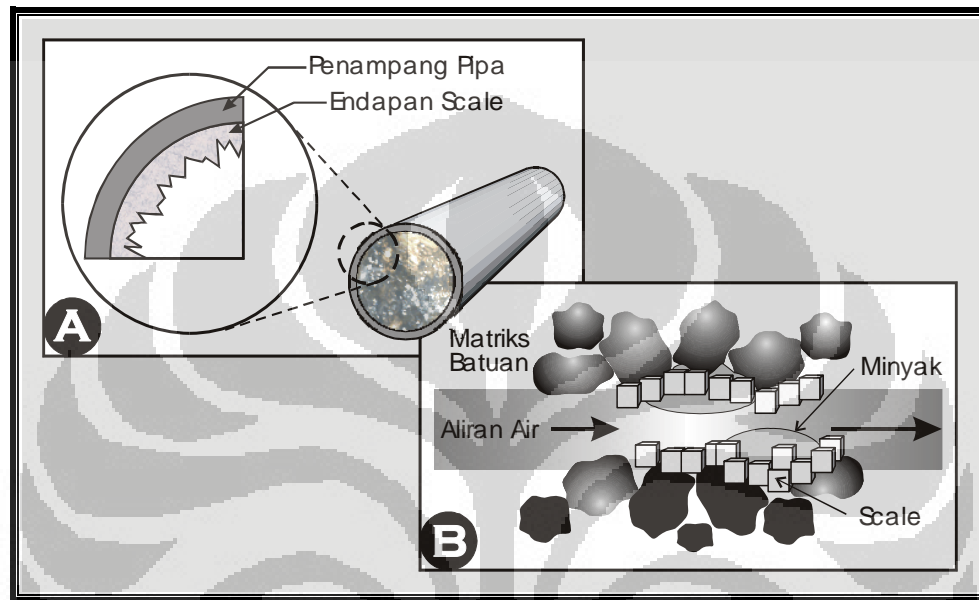
Dari keterangan diatas, dapat diketahui bahwa *skin damage* merupakan kerusakan formasi yang salahsatunya disebabkan oleh endapan *scale*, dan endapan *scale* tidak disebabkan oleh skin.

## 2.6 *Scale*<sup>[17]</sup>

*Scale* merupakan endapan yang terbentuk dari proses kristalisasi dan pengendapan mineral yang terkandung dalam air formasi. Pembentukan *scale* biasanya terjadi pada bidang-bidang yang bersentuhan secara langsung dengan air formasi selama proses produksi, seperti pada matrik dan rekahan formasi, lubang sumur, rangkaian pompa dalam sumur (*downhole pump*), pipa produksi, pipa selubung, pipa alir, serta peralatan produksi di permukaan (*surface facilities*).

Adanya endapan *scale* pada komponen-komponen tersebut diatas, dapat menghambat aliran fluida baik dalam formasi, lubang sumur maupun pada pipa-pipa di permukaan. Pada

matriks formasi, endapan *scale* akan menyumbat aliran dan menurunkan permeabilitas batuan. Sedangkan pada pipa, hambatan aliran terjadi karena adanya penyempitan volume alir fluida serta penambahan kekasaran permukaan pipa bagian dalam, seperti yang terlihat pada Gambar 2.3.



**Gambar 2.3** Ilustrasi Endapan *Scale*.

a. Pada Pipa    b. Pada Matriks Formasi<sup>[17]</sup>

### 2.6.1 Mekanisme Pembentukan *Scale*<sup>[17]</sup>

Faktor utama yang berpengaruh terhadap pembentukan, pertumbuhan kristal serta pengendapan *scale* antara lain adalah perubahan kondisi reservoir (penurunan tekanan reservoir dan perubahan temperatur), percampuran dua jenis fluida yang mempunyai susunan mineral tidak sesuai, adanya supersaturasi, penguapan (akibat dari perubahan konsentrasi), pengadukan (agitasi, pengaruh dari turbulensi), waktu kontak antara padatan dengan permukaan media pengendapan serta perubahan pH.

Mekanisme pembentukan endapan *scale* berkaitan erat dengan komposisi air di dalam formasi. Secara umum, air mengandung ion-ion terlarut, baik itu berupa kation ( $\text{Na}^+$ ,  $\text{Ca}^{2+}$ ,  $\text{Mg}^{2+}$ ,  $\text{Ba}^{2+}$ ,  $\text{Sr}^{2+}$  dan  $\text{Fe}^{3+}$ ), maupun anion ( $\text{Cl}^-$ ,  $\text{HCO}_3^-$ ,  $\text{SO}_4^{2-}$  dan  $\text{CO}_3^{2-}$ ). Kation dan anion yang terlarut dalam air akan membentuk senyawa yang mengakibatkan terjadinya proses kelarutan (*solubility*). Kelarutan didefinisikan sebagai batas/limit suatu zat yang dapat

dilarutkan dalam zat pelarut pada kondisi fisik tertentu. Proses terlarutnya ion-ion dalam air formasi merupakan fungsi dari tekanan, temperatur serta waktu kontak (*contact time*) antara air dengan media pembentukan. Air mempunyai batas kemampuan dalam menjaga senyawa ion-ion tersebut tetap dalam larutan, sehingga pada kondisi tekanan dan temperatur tertentu, dimana harga kelarutan terlampaui, maka senyawa tersebut tidak akan terlarut lagi, melainkan terpisah dari pelarutnya dalam bentuk padatan.

Dalam proses produksi, perubahan kelarutan terjadi seiring dengan penurunan tekanan dan perubahan temperatur selama produksi. Perubahan angka kelarutan pada tiap zat terlarut dalam air formasi akan menyebabkan terganggunya keseimbangan dalam air formasi, sehingga akan terjadi reaksi kimia antara ion positif (kation) dan ion negatif (anion) dengan membentuk senyawa endapan yang berupa kristal.

Dari penjelasan diatas, kondisi-kondisi yang mendukung pembentukan dan pengendapan *scale* antara lain adalah sebagai berikut :

- Air mengandung ion-ion yang memiliki kecenderungan untuk membentuk senyawa-senyawa yang mempunyai angka kelarutan rendah.
- Adanya perubahan kondisi fisik atau komposisi air yang akan menurunkan kelarutan lebih rendah dari konsentrasi yang ada.
- Kenaikan temperatur akan menyebabkan terjadinya proses penguapan, sehingga akan terjadi perubahan kelarutan.
- Air formasi yang mempunyai derajat keasaman (pH) besar akan mempercepat terbentuknya endapan *scale*.
- Pengendapan *scale* akan meningkat dengan lamanya waktu kontak dan ini akan mengarah pada pembentukan *scale* yang lebih padat dan keras.

Proses pembentukan endapan *scale* dapat dikategorikan dalam tiga tahapan pokok, yaitu:

1. Tahap Pembentukan Inti (nukleasi)

Pada tahap ini ion-ion yang terkandung dalam air formasi akan mengalami reaksi kimia untuk membentuk inti kristal. Inti kristal yang terbentuk sangat halus sehingga tidak akan mengendap dalam proses aliran.

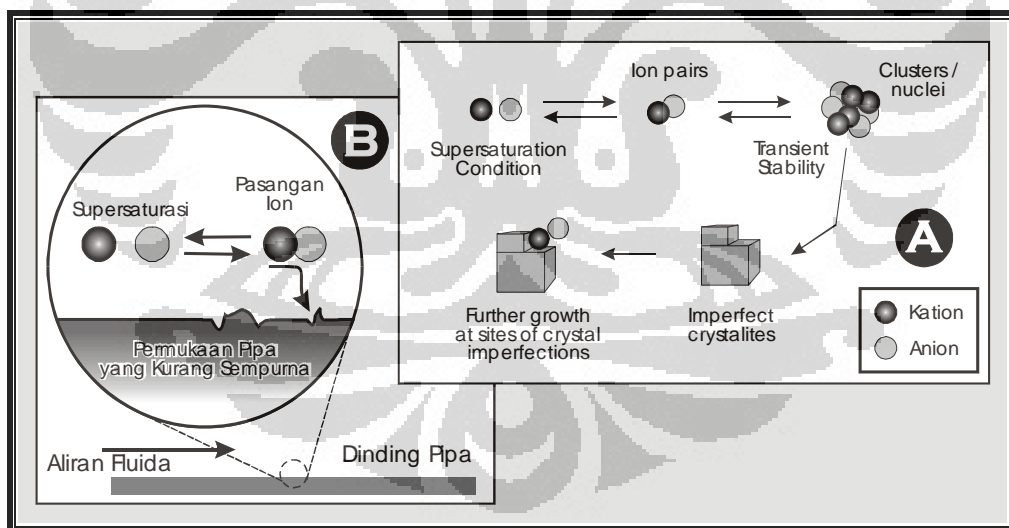
## 2. Tahap Pertumbuhan Inti

Pada tahap pertumbuhan inti kristal akan menarik molekul-molekul yang lain, sehingga inti akan tumbuh menjadi butiran yang lebih besar, dengan diameter  $0,001 - 0,1 \mu$  (ukuran koloid), kemudian tumbuh lagi sampai diameter  $0,1 - 10 \mu$  (kristal halus). Kristal akan mulai mengendap saat pertumbuhannya mencapai diameter  $> 10 \mu$  (kristal kasar).

## 3. Tahap Pengendapan

Kecepatan pengendapan kristal dipengaruhi oleh ukuran dan berat jenis kristal yang membesar pada tahap sebelumnya. Selain itu proses pengendapan juga dipengaruhi oleh aliran fluida pembawa, dimana kristal akan mengendap apabila kecepatan pengendapan lebih besar dari kecepatan aliran fluida.

Sedangkan berdasarkan metode pembentukannya, pembentukan *scale* dapat dibedakan menjadi dua jenis, yaitu secara homogen (*homogeneous nucleation*) dan heterogen (*heterogeneous nucleation*), seperti yang terlihat pada Gambar 2.4.



**Gambar 2.4** Metode Pembentukan dan Pengendapan *Scale*

a. *Homogeneous Nucleation* b. *Heterogeneous Nucleation*<sup>[17]</sup>

### 2.6.2. Komposisi Kimia dan Sifat Fisik Air Formasi

*Scale* terbentuk pada sistem air yang memiliki komponen utama yang harus diketahui antara lain adalah ion-ion yang terkandung di dalam air, serta sifat fisik air yang berhubungan dengan proses pembentukan *scale*. Tabel 2.1 berikut ini menunjukkan komponen utama serta sifat fisik dari air formasi, sedangkan Tabel 2.2 menunjukkan sifat fisik air dalam keadaan murni.

**Tabel 2.1.** Komponen Utama dan Sifat Fisik Air Formasi<sup>[17]</sup>

Ion-ion	Sifat lainnya
<b>Kation</b>	
Kalsium (Ca)	• Keasaman (pH)
Magnesium (Mg)	• Padatan Tersuspensi jumlah, ukuran, bentuk, komposisi kimia
Natrium (Na)	• Turbiditas
Besi (Fe)	• Temperatur
Barium (Ba)	• <i>Specific Gravity</i>
Stronsium (Sr)	• Gas Terlarut
<b>Anion</b>	oksidigen, karbon dioksida
Klorida (Cl)	• Sulfida (pada H <sub>2</sub> S)
Karbonat (CO <sub>3</sub> )	• Populasi Bakteri
Bikarbonat (HCO <sub>3</sub> )	• Kandungan Minyak
Sulfat (SO <sub>4</sub> )	

**Tabel 2.2.** Sifat Fisik Air Murni<sup>[17]</sup>

Berat molekul	18
Densitas @ 4°C	1 mg/lt
Titik beku	0 °C
Titik didih	100°C

Kation-kation yang terkandung dalam air antara lain adalah sebagai berikut :

a. Kalsium (Ca)

Kalsium umumnya merupakan komponen terbesar dalam air formasi, dengan konsentrasi yang mencapai 30.000 mg Ca/lt air. Kalsium juga merupakan komponen pembentuk *scale* yang paling dominan, karena dapat bereaksi baik dengan ion karbonat maupun sulfat dan mengendap untuk membentuk *scale* maupun padatan tersuspensi.

b. Magnesium (Mg)

Konsentrasi magnesium dalam air biasanya lebih rendah jika dibandingkan dengan kalsium, meskipun demikian seperti halnya kalsium, keberadaan magnesium juga akan menimbulkan permasalahan. Reaksi antara magnesium dengan ion karbonat dan sulfat akan menyebabkan pengendapan *scale* ataupun penyumbatan matriks batuan. Padatan yang terbentuk dari reaksi dengan ion karbonat antara magnesium dan kalsium mempunyai perbedaan, dimana  $MgSO_4$  bersifat dapat larut (*soluble*) sementara  $CaSO_4$  tidak. Demikian juga jika bereaksi dengan ion sulfat.

c. Natrium (Na)

Natrium juga merupakan komponen yang dominan dalam air, tetapi keberadaannya tidak menimbulkan masalah yang berhubungan dengan pengendapan *scale* yang tidak dapat larut, kecuali pengendapan natrium klorida ( $NaCl$ ) yang bersifat mudah larut, yang biasanya terjadi pada air formasi dengan pH yang tinggi.

d. Besi (Fe)

Besi biasanya terkandung dalam air dengan konsentrasi yang relatif rendah (kurang dari 1000 mg/l), yang berupa *ferric* ( $Fe^{3+}$ ) dan *ferro* ( $Fe^{2+}$ ) ataupun dalam suatu suspensi yang berupa senyawa besi yang terendapkan. Ion besi dengan konsentrasi yang tinggi biasanya menunjukkan adanya problem korosi. Selain itu adanya pengendapan senyawa besi juga dapat mengakibatkan penyumbatan.

e. Barium (Ba)

Konsentrasi barium dalam air cenderung rendah, meskipun demikian reaksi barium dengan ion sulfat akan menimbulkan permasalahan besar, karena padatan bentukan yang terendapkan berupa barium sulfat ( $BaSO_4$ ) bersifat tidak larut.

### f. Stronsium (Sr)

Seperti halnya kalsium dan barium, reaksi stronsium dengan ion sulfat akan membentuk *scale* stronsium sulfat yang juga bersifat tidak larut. Meskipun stronsium sulfat memiliki kadar kelarutan yang lebih besar dari barium sulfat, seringkali kedua jenis *scale* ini terendapkan secara bersama dan membentuk endapan *scale* campuran.

Anion-anion yang terkandung dalam air antara lain adalah sebagai berikut :

#### a. Klorida (Cl)

Klorida merupakan jenis anion yang paling dominan dalam air formasi maupun dalam air tawar. Ion klorida pada umumnya membentuk senyawa dengan natrium sehingga dijadikan sebagai indikator harga salinitas dari air. Kandungan ion klorida pada air tawar mencapai 3000 mg/L, sedangkan pada air formasi dapat mencapai 20.000 sampai 30.000 mg/L. Meskipun kandungan klorida yang besar dapat menyebabkan terjadinya endapan natrium klorida, hal ini tidak akan menimbulkan masalah karena bersifat mudah larut. Akan tetapi besarnya kandungan klorida menunjukkan tingginya salinitas air, dan air dengan harga salinitas yang tinggi cenderung menimbulkan korosi.

#### b. Karbonat ( $\text{CO}_3^{2-}$ ) dan Bikarbonat ( $\text{HCO}_3^-$ )

Ion-ion ini dapat membentuk endapan *scale* yang tidak larut jika bereaksi dengan kalsium, dan membentuk *scale* yang larut dengan magnesium. Kandungan ion bikarbonat juga berpengaruh terhadap derajat keasaman (pH) larutan. Konsentrasi ion karbonat sering disebut sebagai *phenolphthalein alkalinity*, sedangkan konsentrasi ion bikarbonat disebut *methyl orange alkalinity*.

#### c. Sulfat ( $\text{SO}_4^{2-}$ )

Kandungan ion sulfat dapat menjadi masalah jika bereaksi dengan kalsium, barium ataupun stronsium. Reaksi dari ion-ion tersebut akan membentuk endapan *scale* yang bersifat tidak larut. Selain itu ion sulfat juga merupakan sumber makanan untuk jenis bakteri tertentu.

Sifat-sifat air formasi yang lain adalah sebagai berikut :

#### a. Derajat Keasaman (pH)

Derajat keasaman merupakan salah satu sifat air yang penting jika dikaitkan dengan terbentuknya *scale*. Besarnya pH air berpengaruh terhadap kadar kelarutan beberapa jenis

*scale*. Semakin tinggi pH air, semakin besar pula kecenderungan terbentuknya *scale*. Jika harga pH semakin kecil (lebih asam) kecenderungan terbentuknya *scale* akan menurun, sebaliknya kecenderungan terjadinya korosi (*corrosivity*) akan meningkat. Air formasi biasanya mempunyai pH pada kisaran 4 sampai 8. Selain itu pH larutan juga dipengaruhi oleh gas terlarut, dimana kandungan H<sub>2</sub>S dan CO<sub>2</sub> yang terlarut dalam larutan akan menurunkan pH larutan.

b. Kandungan Padatan Tersuspensi

Kandungan padatan merupakan jumlah padatan yang tersaring dari sejumlah sampel air formasi dengan menggunakan saringan membran, yang menunjukkan perkiraan kecenderungan penyumbatan. Besar pori saringan yang biasanya digunakan berukuran 0,45 µm. Padatan tersuspensi dapat berupa padatan organik maupun inorganik. Padatan organik antara lain adalah titik-titik minyak dalam air, asphalt, titik-titik emulsi serta parafin, sedangkan padatan inorganik dapat berupa pasir, lempung, silt, serta endapan *scale*. Selain jumlah, hal lain yang perlu diketahui dari padatan tersuspensi adalah distribusi ukuran partikel, bentuk serta komposisi kimianya.

c. Turbiditas

Turbiditas air formasi dapat disebut sebagai derajat kekotoran air formasi, yang merupakan ukuran dari kandungan padatan tersuspensi dan hidrokarbon dalam air formasi. Turbiditas dapat digunakan sebagai indikator kecenderungan terjadinya penyumbatan, terutama pada air injeksi.

d. Temperatur

Besarnya temperatur air formasi berpengaruh terhadap pH dan *specific gravity* air formasi, kecenderungan pembentukan *scale*, serta kadar kelarutan padatan dan gas dalam air formasi tersebut.

e. *Specific Gravity*

*Specific gravity* didefinisikan sebagai perbandingan antara densitas sampel air dengan densitas air murni, dengan satuan berat per unit volume (gr/ml). Air murni mempunyai harga berat sebesar 1,0 gr/lit, sehingga air formasi dengan *specific gravity* lebih besar dari 1,0 menunjukkan bahwa air formasi mengandung zat-zat terlarut (anion, kation, gas dan sebagainya). Semakin besar harga *specific gravity* air formasi, maka semakin besar juga zat-zat yang terlarut didalamnya. Sebagai perbandingan, *specific gravity* dari air formasi

dengan kandungan 2% KCl adalah sebesar 1,010 dengan densitas 8,42 lbs/gal, sedangkan untuk air formasi yang terjenuhi kalsium klorida mempunyai *specific gravity* 1,410 dengan densitas 11,76 lbs/gas. [12]

#### f. Kandungan Gas Terlarut (Oksigen dan Karbon Dioksida)

Kandungan oksigen terlarut akan meningkatkan kecenderungan terjadinya korosi, dan adanya kandungan ion besi akan menyebabkan terbentuknya endapan senyawa besi yang bersifat tidak larut. sedangkan kandungan karbon dioksida akan berpengaruh terhadap pH air, kecenderungan terbentuknya *scale* dan korosi. Apabila air yang mengandung karbon dioksida mengalami penurunan tekanan, maka karbon dioksida akan cenderung terlepas dari larutan dan membentuk endapan berupa *scale* karbonat.

#### g. Kandungan Hidrogen Sulfida ( $H_2S$ )

Kandungan  $H_2S$  akan berpengaruh secara langsung terhadap kecenderungan terjadinya korosi. Hidrogen sulfida dapat terbentuk secara alami ataupun secara biologis dihasilkan dari kegiatan bakteri penghasil sulfat.

#### h. Populasi Bakteri

Keberadaan bakteri dalam air formasi kemungkinan besar menyebabkan terjadinya penyumbatan akibat pengendapan zat-zat yang dihasilkannya.

### 2.6.3. Jenis *Scale* dan Faktor yang Berpengaruh Terhadap Pembentukannya<sup>[5],[17],[18]</sup>

Senyawa-senyawa yang berbentuk padatan dan mempunyai kecenderungan untuk membentuk endapan *scale* antara lain adalah kalsium karbonat ( $CaCO_3$ ), gipsum atau kalsium sulfat ( $CaSO_4 \cdot 2H_2O$ ), dan barium sulfat ( $BaSO_4$ ). Endapan *scale* yang lain adalah stronium sulfat ( $SrSO_4$ ) yang mempunyai intensitas pembentukan rendah dan kalsium sulfat ( $CaSO_4$ ), yang biasa terbentuk pada peralatan pemanas, yaitu *boilers* dan *heater traters*, serta *scale* dengan komponen besi, seperti *iron carbonate* ( $FeCO_3$ ), *iron sulfide* ( $FeS$ ) dan *iron oxide* ( $Fe_2O_3$ ), seperti yang terlihat pada Tabel 2.3.

**Tabel 2.3.** Jenis Komponen Endapan *Scale*<sup>[17]</sup>

<i>Chemical Name</i>	<i>Chemical Formula</i>	<i>Mineral Name</i>
<i>Water Soluble Scale</i>		
Natrium Chloride	NaCl	Halite
<i>Acid Soluble Scales</i>		
Calcium Carbonate	CaCO <sub>3</sub>	Calcite
Iron Carbonate	FeCO <sub>3</sub>	Siderite
Iron Sulfide	FeS <sub>7</sub>	Trolite
Iron Oxide	Fe <sub>2</sub> O <sub>3</sub>	Hematite
Iron Oxide	Fe <sub>2</sub> O <sub>4</sub>	Magnetit
Magnesium Hydroxide	Mg(OH) <sub>2</sub>	Brucite
<i>Acid Insoluble Scales</i>		
Calcium Sulfate	CaSO <sub>4</sub>	
Calcium Sulfate	CaSO <sub>4</sub> . 2H <sub>2</sub> O	Anhydrite
Barium Sulfate	BaSO <sub>4</sub>	Gypsum
Strontium Sulfate	SrSO <sub>4</sub>	Barite
Barium-Strontium Sulfate	BaSr(SO <sub>4</sub> ) <sub>2</sub>	Celestite

*Scale* dapat dikenali dengan mengklasifikasikannya berdasarkan komposisi yang membentuk *scale* dan jenis pengendapannya. Berdasarkan komposisinya, secara umum *scale* dibedakan menjadi *scale* karbonat, *scale* sulfat, serta campuran dari keduanya. Sedangkan berdasarkan jenis pengendapannya, klasifikasi *scale* dapat dilihat pada Tabel 2.4.

**Tabel 2.4.** Klasifikasi Pengendapan *Scale*<sup>[17]</sup>

Jenis	Sifat Utama	Komponen	Reaksi Kimia
<i>Hard Scale</i>	Umumnya berwarna terang, dan apabila terdapat pengotor (minyak atau oksida besi) akan menjadi agak gelap. Hampir tidak larut dalam asam	BaSO <sub>4</sub> , SrSO <sub>4</sub> , CaSO <sub>4</sub> , dan 2 H <sub>2</sub> O, ataupun kombinasi dari keempatnya, serta kecenderungan terdapatnya SiO <sub>2</sub> .	BaCl <sub>2</sub> + Na <sub>2</sub> SO <sub>4</sub> → BaSO <sub>4</sub> ↓ + 2NaCl SrCl <sub>2</sub> + CaSO <sub>4</sub> → SrSO <sub>4</sub> ↓ + CaCl <sub>2</sub>

Jenis	Sifat Utama	Komponen	Reaksi Kimia
<i>Soft Scale</i>	Umumnya terang atau agak gelap (jika mengandung pengotor). Larut dalam asam. Mengandung CO <sub>2</sub> .	CaCO <sub>3</sub> dengan kandungan sedikit MgCO <sub>3</sub> , FeCO <sub>3</sub> , SiO <sub>2</sub> , CaSO <sub>4</sub> .2H <sub>2</sub> O, FeS dan S.	$\text{Ca}(\text{HCO}_3)_2 \rightarrow \text{CaCO}_3 \downarrow + \text{CO}_2 + \text{H}_2\text{O}$
<i>Misc</i>	Tidak mudah larut dalam asam. Mengandung H <sub>2</sub> S. Berwarna coklat tua sampai hitam.	FeS, Fe <sub>2</sub> O <sub>3</sub> , H <sub>2</sub> O, S	$\text{Fe} + \text{H}_2\text{S} \rightarrow \text{FeS} \downarrow + \text{H}$ $\text{Fe}_2\text{O}_3 + 3\text{H}_2\text{S} \rightarrow 2\text{FeS} \downarrow + 3\text{H}_2\text{O} + \text{S}$ $2\text{Fe}_2\text{O}_3 + 6\text{H}_2\text{S} \rightarrow 2\text{FeS}_3 \downarrow + 6\text{H}_2\text{O}$ $2\text{Fe}_2\text{S}_3 + 3\text{O}_2 \rightarrow 2\text{Fe}_2\text{O}_3 \downarrow + 6\text{S}$ $6\text{H}_2\text{S} + 3\text{O}_2 \rightarrow 6\text{H}_2\text{O} + 6\text{S} \downarrow$

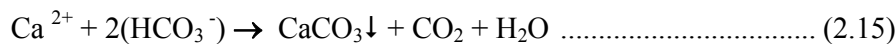
Dari sekian banyak jenis *scale* yang dapat terbentuk, hanya sebagian kecil yang seringkali dijumpai pada industri permifyakan. Tabel 2.5 menunjukkan jenis-jenis *scale* yang umum terdapat dilapangan.

**Tabel 2.5.** Endapan *Scale* yang Umum terdapat di Lapangan Minyak<sup>[5]</sup>

Jenis <i>Scale</i>	Rumus Kimia	Faktor yang Berpengaruh
Kalsium Karbonat (Kalsit)	CaCO <sub>3</sub>	<ul style="list-style-type: none"> <li>• Penurunan Tekanan (CO<sub>2</sub>)</li> <li>• Perubahan Temperatur</li> <li>• Kandungan Garam Terlarut</li> <li>• Perubahan Keasaman (pH)</li> </ul>
<i>Kalsium Sulfat</i> <i>Gypsum</i> (sering) <i>Hemi-Hydrate</i> <i>Anhydrite</i>	CaSO <sub>4</sub> . 2 H <sub>2</sub> O CaSO <sub>4</sub> . ½ H <sub>2</sub> O CaSO <sub>4</sub>	<ul style="list-style-type: none"> <li>• Perubahan Tekanan dan Temperatur</li> <li>• Kandungan Garam Terlarut</li> </ul>
<i>Barium Sulfate</i> <i>Strontium Sulfate</i>	BaSO <sub>4</sub> SrSO <sub>4</sub>	<ul style="list-style-type: none"> <li>• Perubahan Tekanan dan Temperatur</li> <li>• Kandungan Garam Terlarut</li> </ul>
Komponen Besi Besi Karbonat Sulfida Besi <i>Ferrous Hydroxide</i> <i>Ferric Hydroxide</i> Oksida Besi	FeCO <sub>3</sub> FeS Fe(OH) <sub>2</sub> Fe(OH) <sub>3</sub> Fe <sub>2</sub> O <sub>3</sub>	<ul style="list-style-type: none"> <li>• Korosi</li> <li>• Kandungan Gas Terlarut</li> <li>• Derajat Keasaman (pH)</li> </ul>

### 2.6.3.1 Kalsium Karbonat

*Scale* kalsium karbonat merupakan endapan senyawa  $\text{CaCO}_3$  (kalsit) yang terbentuk dari hasil reaksi antara ion kalsium ( $\text{Ca}^{2+}$ ) dengan ion karbonat ( $\text{CO}_3^{2-}$ ) ataupun dengan ion bikarbonat ( $\text{HCO}_3^-$ ), dengan reaksi pembentukan sebagai berikut:



Kondisi yang mempengaruhi pembentukan *scale* kalsium karbonat antara lain adalah perubahan kondisi reservoir (tekanan dan temperatur), alkalinitas air, serta kandungan garam terlarut, dimana kecenderungan terbentuknya *scale* kalsium karbonat akan meningkat dengan:

- Meningkatnya temperatur
- Penurunan tekanan parsial  $\text{CO}_2$
- Peningkatan pH
- Penurunan kandungan gas terlarut secara keseluruhan

Selain hal-hal yang telah disebutkan diatas, turbulensi aliran dan lamanya waktu kontak (*contact time*) juga berpengaruh terhadap kecepatan pengendapan dan tingkat kekerasan kristal yang terbentuk.

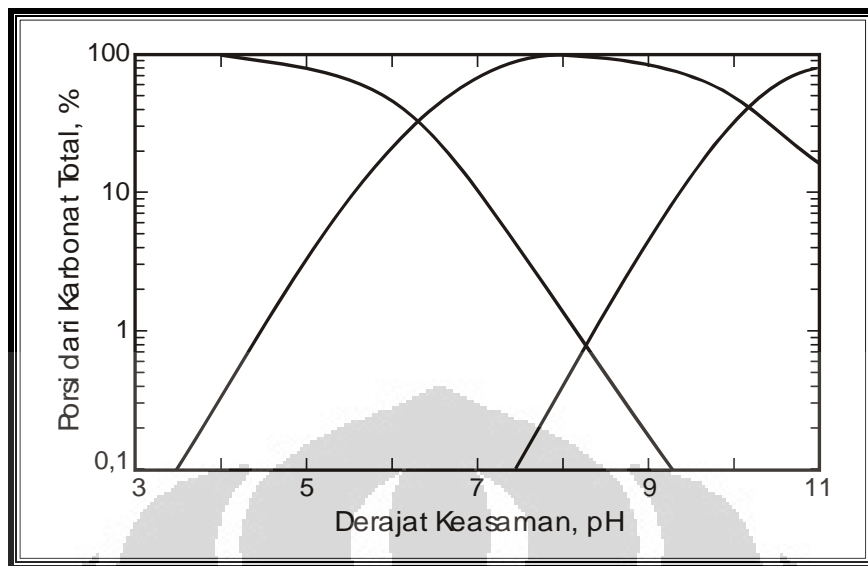
Berikut adalah faktor-faktor yang mempengaruhi pembentukan *scale* kalsium karbonat:

#### 1. Pengaruh $\text{CO}_2$

Keberadaan  $\text{CO}_2$  dalam air akan meningkatkan kelarutan  $\text{CaCO}_3$  dalam air. Pada waktu  $\text{CO}_2$  terlarut dalam air, senyawa tersebut akan membentuk asam karbonat, dengan reaksi ionisasi sebagai berikut:

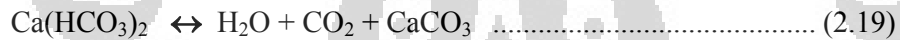


Prosentase ionisasi asam karbonat dalam pembentukan ion  $\text{H}^+$  dan  $\text{CO}_3^{2-}$  pada berbagai harga pH dapat dilihat pada Gambar 2.5.

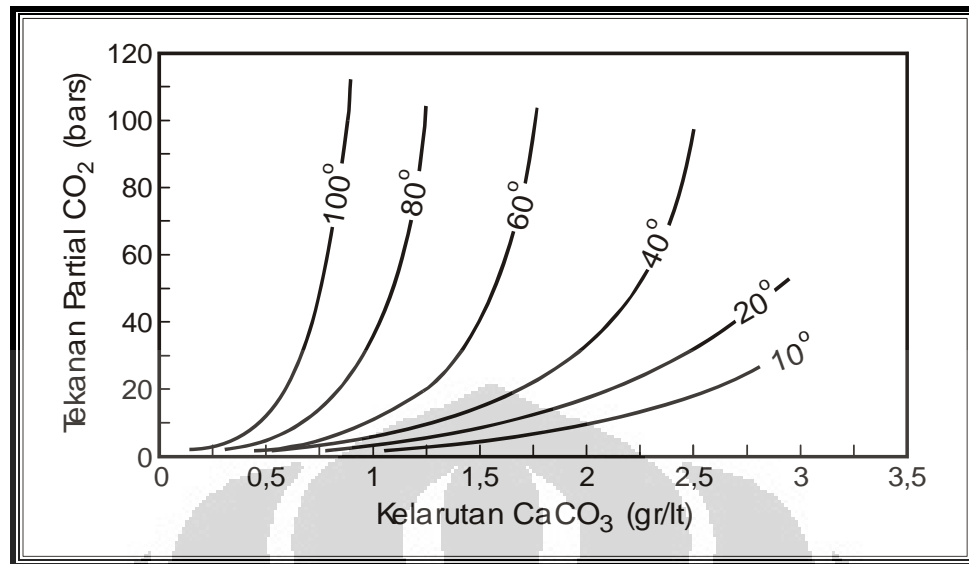


Gambar 2.5. Ionisasi Asam Karbonat pada Berbagai Harga pH<sup>[17]</sup>

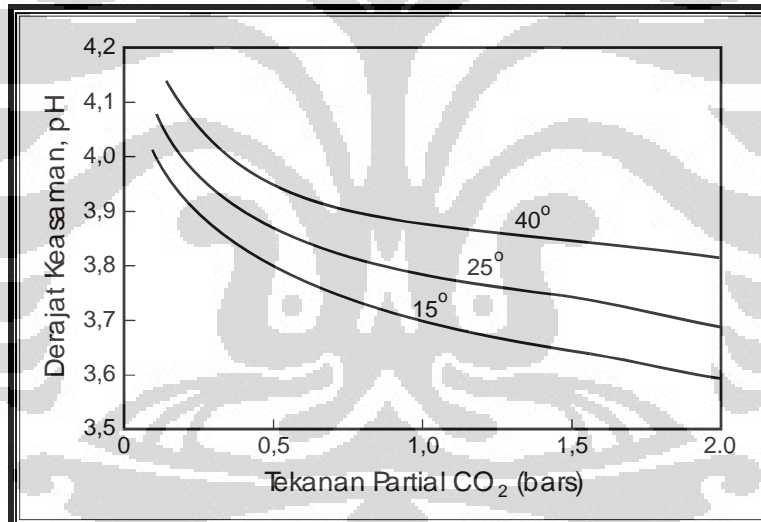
Pengaruh lain CO<sub>2</sub> adalah meningkatnya tekanan dalam sistem, yang besarnya dipengaruhi oleh tekanan parsial CO<sub>2</sub>. Besarnya tekanan parsial CO<sub>2</sub> sendiri sebanding dengan fraksi mol CO<sub>2</sub> dalam gas dikalikan dengan tekanan total dalam sistem. Apabila terdapat perubahan tekanan dalam sistem maka jumlah CO<sub>2</sub> yang larut dalam air akan semakin banyak, sesuai dengan reaksi pada (2.15), sebagai berikut :



Apabila konsentrasi CO<sub>2</sub> dalam larutan bertambah, maka reaksi diatas akan bergeser ke kiri dan air akan menjadi lebih asam (pH turun) serta pembentukan CaCO<sub>3</sub> akan berkurang. Sedangkan apabila tekanan dalam sistem turun, maka CO<sub>2</sub> akan terbebaskan dari larutan. Pada kondisi yang demikian, tekanan parsial CO<sub>2</sub> akan berkurang, sehingga reaksi akan bergeser ke arah kanan, yang menyebabkan pH air akan meningkat dan terjadi pengendapan CaCO<sub>3</sub>. Besarnya kelarutan CaCO<sub>3</sub> akan bertambah dengan meningkatnya tekanan partial CO<sub>2</sub>, dimana pengaruh tersebut akan berkurang dengan adanya kenaikan temperatur, seperti yang terlihat pada Gambar 2.6. Sedangkan pengaruh tekanan parsial CO<sub>2</sub> terhadap pH air dapat dilihat pada Gambar 2.7.



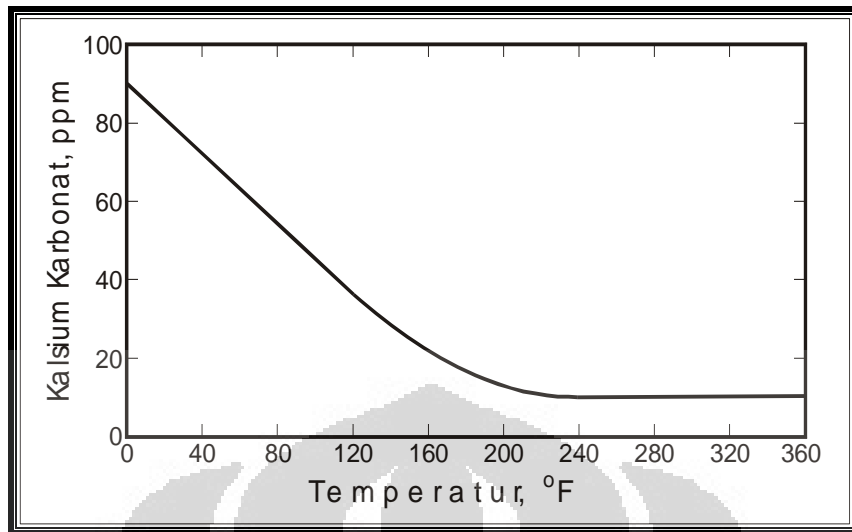
Gambar 2.6 Pengaruh Tekanan Parsial CO<sub>2</sub> Terhadap Klarutan CaCO<sub>3</sub> pada Berbagai Harga Temperatur<sup>[17]</sup>



Gambar 2.7. Pengaruh Tekanan Parsial CO<sub>2</sub> terhadap pH Air<sup>[17]</sup>

## 2. Pengaruh Temperatur

Klarutan kalsium karbonat akan semakin berkurang dengan bertambahnya temperatur, sehingga semakin besar temperatur air maka tingkat kecenderungan terbentuknya *scale* CaCO<sub>3</sub> akan semakin besar. Pengaruh tersebut dapat dilihat pada Gambar 2.8.



Gambar 2.8. Pengaruh Temperatur Terhadap Kelarutan Kalsium Karbonat<sup>[17]</sup>

Pengaruh tersebut dapat terjadi karena kenaikan temperatur air akan menyebabkan adanya penguapan sehingga jumlah dalam air akan berkurang, sehingga berdasarkan reaksi pada (2.19) maka reaksi akan bergeser ke arah kanan dan *scale* kalsium karbonat akan terbentuk.

Fenomena ini dapat digunakan untuk menjelaskan terbentuknya *scale* pada formasi sumur-sumur injeksi yang mempunyai tekanan dasar sumur yang cukup tinggi, serta *scale* yang terjadi pada dinding tabung alat pemanas.

### 3. Pengaruh pH

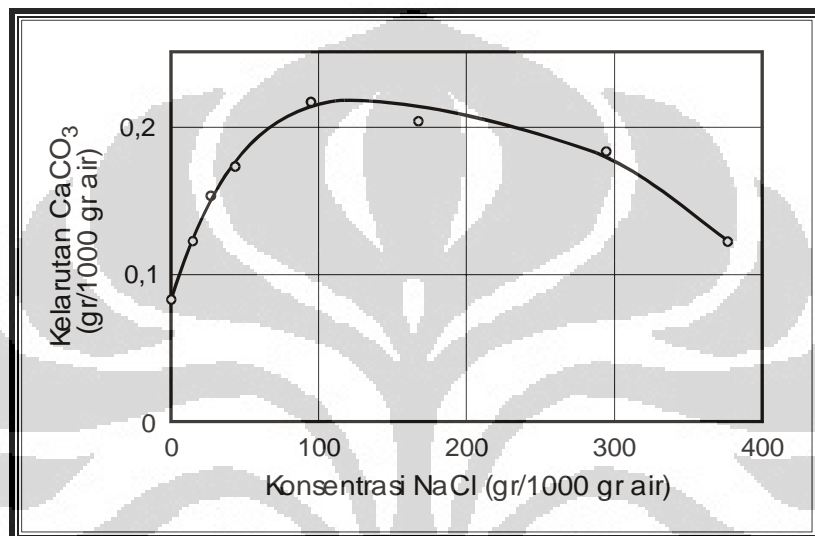
Seperti telah dijelaskan diatas, kandungan  $\text{CO}_2$  dalam air akan berpengaruh terhadap pH air dan kadar kelarutan  $\text{CaCO}_3$ . Apabila pH air meningkat, maka semakin besar pula kecenderungan terbentuknya *scale* kalsium karbonat, demikian juga sebaliknya, semakin rendah harga pH air, kecenderungan tersebut akan semakin kecil.

### 4. Pengaruh Garam Terlarut

Kadar kelarutan  $\text{CaCO}_3$  akan meningkat dengan bertambahnya kandungan garam terlarut dalam air, tetapi apabila garam-garam tersebut sudah mencapai batas kelarutannya, yaitu suatu kondisi dimana hasil kali kelarutan zat-zat semula sama dengan hasil kali

kelarutan zat-zat yang terbentuk, maka kadar kelarutan  $\text{CaCO}_3$  akan menurun (untuk  $\text{NaCl}$  pada konsentrasi 120 gr  $\text{NaCl}$  / 1000 gr air). Hubungan ini dapat dilihat pada Gambar 2.9.

Pada kenyataannya, semakin besar jumlah padatan yang terlarut dalam air (kecuali ion  $\text{Ca}^{2+}$  dan ion  $\text{CO}_3^{2-}$ ), kadar kelarutan  $\text{CaCO}_3$  dalam air akan semakin besar pula, sehingga  $\text{CaCO}_3$  cenderung tidak terbentuk. Batas maksimum padatan yang terlarut (tidak termasuk ion  $\text{Ca}^{2+}$  dan ion  $\text{CO}_3^{2-}$ ) adalah 200 gr/lt air.



Gambar 2.9. Pengaruh Konsentrasi  $\text{NaCl}$  Terhadap Kelarutan  $\text{CaCO}_3$  pada Temperatur  $24^\circ\text{C}$ <sup>[17]</sup>

### 2.6.3.2 Kalsium Sulfat

Scale kalsium sulfat terbentuk dari pengendapan padatan berdasarkan pada persamaan reaksi sebagai berikut :

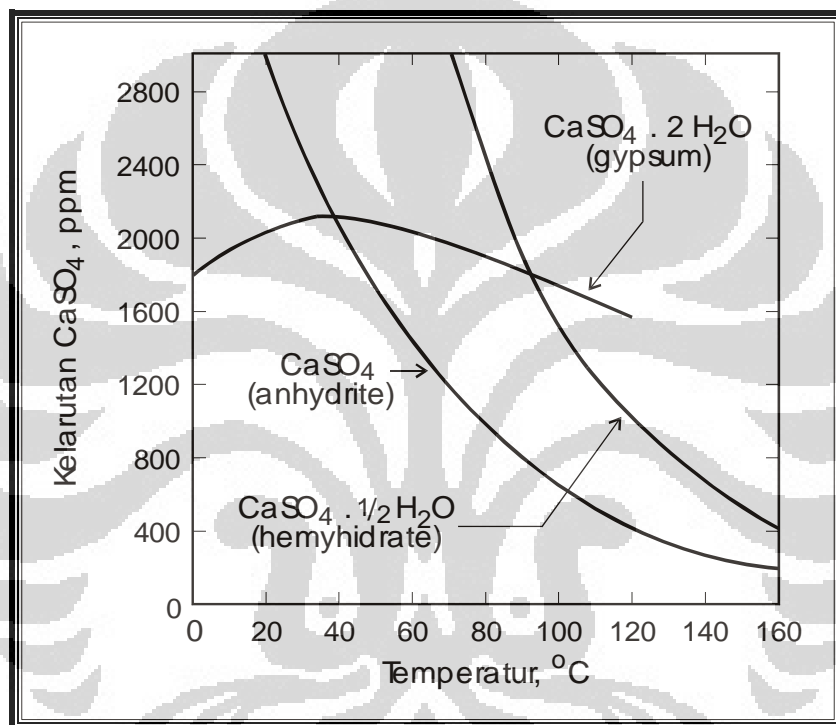


Jenis scale kalsium sulfat pada umumnya berupa *gypsum* atau *hydrous calcium sulfate* ( $\text{CaSO}_4 \cdot 2\text{H}_2\text{O}$ ) yang bersifat stabil pada kondisi temperatur  $40^\circ\text{C}$  dan tekanan yang lemah kecil dari tekanan atmosfer. Pada kondisi temperatur yang lebih tinggi, akan terbentuk *anhydrite* ( $\text{CaSO}_4$ ) ataupun hemi-hidrat ( $\text{CaSO}_4 \cdot \frac{1}{2}\text{H}_2\text{O}$ ), dimana  $\text{CaSO}_4$  hanya terbentuk pada temperatur tinggi, seperti boiler ataupun *heater treater* di permukaan, dan tidak mengendap pada formasi ataupun peralatan bawah permukaan.

Faktor ataupun kondisi yang berpengaruh dalam pembentukan *scale* kalsium sulfat antara lain adalah perubahan kondisi reservoir (tekanan dan temperatur), serta kandungan garam terlarut dalam air.

### 1. Pengaruh Temperatur

Pengaruh temperatur terhadap kadar kelarutan *gypsum* ( $\text{CaSO}_4 \cdot 2\text{H}_2\text{O}$ ) dan *anhydrite* ( $\text{CaCO}_3$ ) mempunyai perbedaan, seperti yang terlihat pada Gambar 2.10.



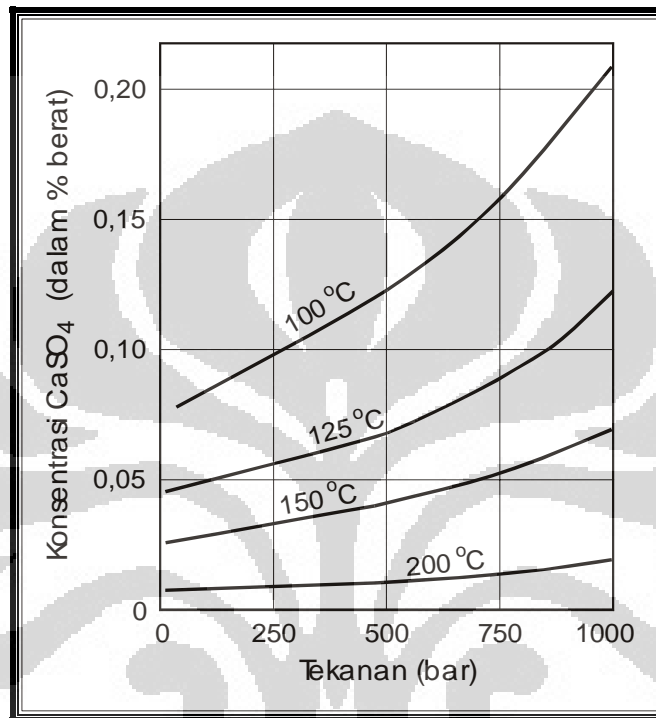
Gambar 2.10. Kadar Kelarutan Kalsium Sulfat pada Air Murni<sup>[17]</sup>

Pada *gypsum*, kadar kelarutannya dalam air akan meningkat dengan bertambahnya temperatur air sampai pada temperatur 40 °C, dan setelah melewati batas temperatur tersebut kelarutan gypsum akan menurun. Sedangkan untuk *anhydrite*, kadar kelarutannya akan turun dengan bertambahnya temperatur.

### 2. Pengaruh Tekanan

Kadar kelarutan kalsium sulfat dalam air akan bertambah dengan adanya kenaikan tekanan. Hal ini terjadi karena kenaikan tekanan akan menyebabkan ukuran molekul kalsium sulfat menjadi semakin kecil. Pengaruh ini biasanya terjadi pada sumur-sumur injeksi yang

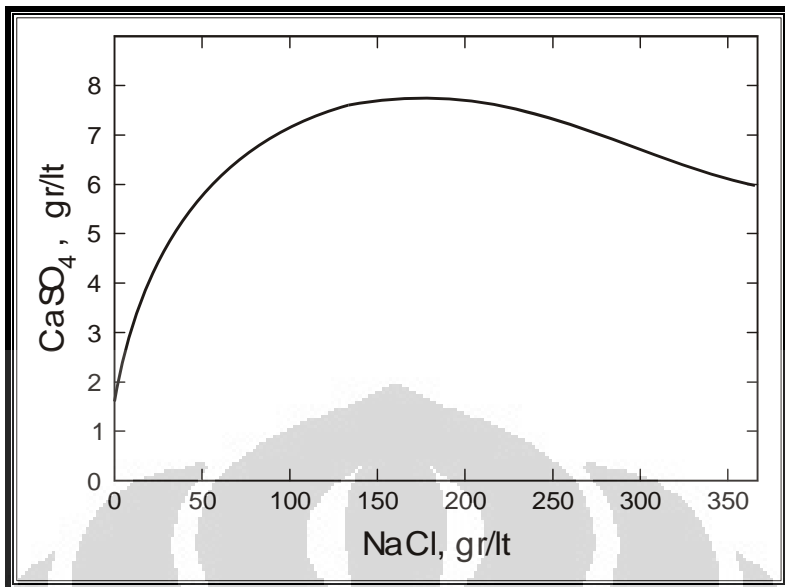
pada umumnya menggunakan tekanan tinggi. Pengaruh tekanan terhadap kelarutan kalsium sulfat dalam air dapat dilihat pada Gambar 2.11, dimana pengaruh tekanan akan meningkat dengan adanya penurunan temperatur reservoir. Oleh karena itu scale kalsium sulfat seringkali terbentuk pada zona-zona yang mengalami penurunan tekanan (*pressure drop*) yang berlebihan.



Gambar 2.11. Pengaruh Tekanan Terhadap Kelarutan Kalsium Sulfat pada Beberapa Harga Temperatur<sup>[17]</sup>

### 3. Pengaruh Garam Terlarut

Seperti halnya pada kalsium karbonat, keberadaan NaCl ataupun garam-garam terlarut lainnya, selain ion kalsium dan sulfat sendiri, akan menyebabkan kenaikan harga kelarutan kalsium sulfat dalam air, dengan batas konsentrasi garam 150 gram garam per liter air. Akan tetapi setelah batas tersebut terlampaui, penambahan konsentrasi garam terlarut akan menurunkan kelarutan, seperti terlihat pada Gambar 2.12. Pada kondisi yang demikian, *scale* kalsium sulfat cenderung terbentuk.



Gambar 2.12. Pengaruh Konsentrasi NaCl Terhadap Kelarutan Gypsum dalam Air [17]

### 2.6.3.3 Barium Sulfat

*Scale* barium sulfat merupakan jenis *scale* yang mempunyai kadar kelarutan kecil, sehingga tidak mudah untuk larut, seperti yang terlihat pada Tabel 2.6, yang menunjukkan harga kelarutan macam-macam *scale* dalam air pada temperatur 25 °C. Barium sulfat terbentuk dari pengendapan padatan berdasarkan pada persamaan reaksi sebagai berikut :



Kecilnya harga kelarutan barium sulfat serta besarnya perbedaan dengan kelarutan *scale* yang lain, menjadikan *scale* jenis ini memiliki kecenderungan yang cukup besar untuk terbentuk jika kedua ion pembentuknya ( $\text{Ba}^{2+}$  dan  $\text{SO}_4^{2-}$ ) terkandung dalam air.

Seperti halnya kalsium karbonat dan kalsium sulfat, pembentukan barium sulfat dipengaruhi oleh perubahan kondisi reservoir (tekanan dan temperatur), serta kandungan garam terlarut dalam air.

Tabel 2.6. Perbandingan Kelarutan *Scale* dalam Air pada Temperatur 25 °C [17]

Jenis <i>Scale</i>	Kelarutan (mg/L)
Natrium Klorida	318300
Gypsum	2080
Kalsium Karbonat	53
Barium Sulfat	2,3

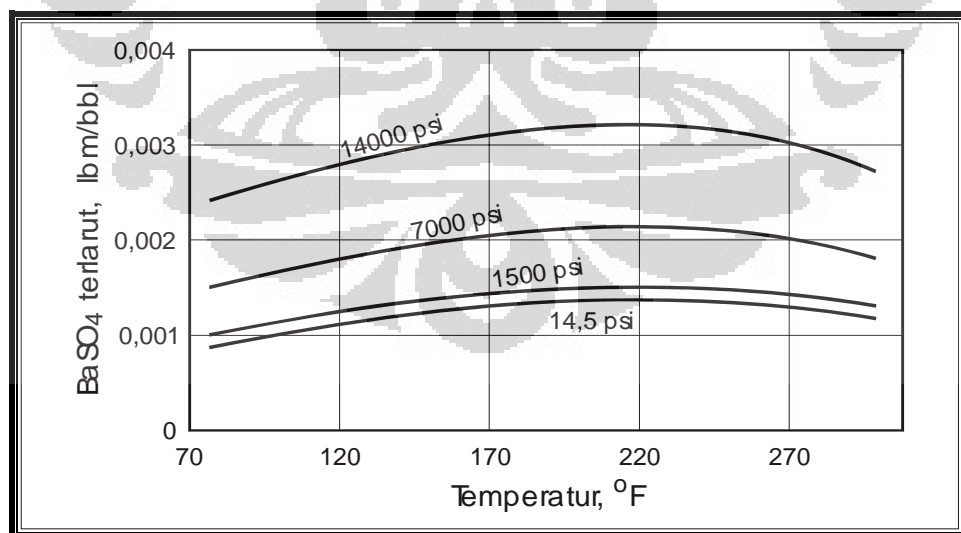
## 1. Pengaruh Temperatur

Kenaikan temperatur air dari 25°C sampai pada temperatur batas (100°C) akan menyebabkan bertambahnya kelarutan barium sulfat dalam air tersebut, akan tetapi setelah melewati temperatur 100 °C, kelarutan barium sulfat akan berkurang kembali. Hal ini dapat dilihat pada Tabel 2.7, yang menunjukkan perbandingan kelarutan barium sulfat pada temperatur tertentu serta pengaruh kandungan NaCl pada air dan Gambar 2.13, yang menunjukkan pengaruh temperatur terhadap kelarutan barium sulfat pada beberapa harga tekanan.

Meskipun demikian hal ini masih tergantung pada pengaruh kandungan garam terlarut dalam air, yang akan dijelaskan kemudian.

**Tabel 2.7.** Pengaruh Temperatur dan Kandungan NaCl pada Kelarutan Barium Sulfat<sup>[18]</sup>

Temperatur (°C)	Kandungan NaCl (mg/L)	Kelarutan BaSO <sub>4</sub> (mg/L)
25	0	2,3
95	0	3,9
25	100000	30
95	100000	65



**Gambar 2.13.** Pengaruh Temperatur Terhadap Kelarutan BaSO<sub>4</sub> pada Beberapa Harga Tekanan<sup>[17]</sup>

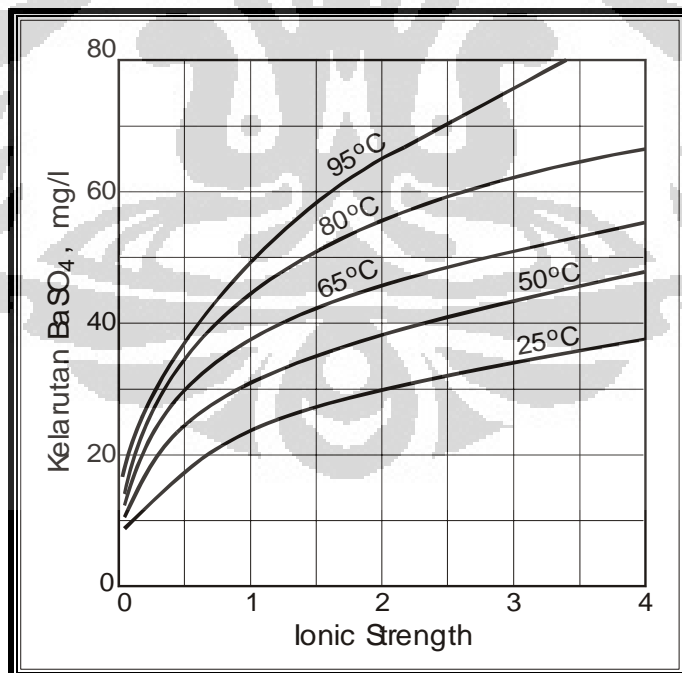
## 2. Pengaruh Tekanan

Seperti halnya pengaruh temperatur, kadar kelarutan barium sulfat dalam air akan bertambah dengan adanya kenaikan tekanan. Mekanisme kenaikan kelarutan tersebut sama dengan mekanisme bertambahnya kelarutan kalsium sulfat karena kenaikan tekanan akan menyebabkan ukuran molekul barium sulfat menjadi semakin kecil. Hal ini dapat dilihat pada Gambar 2.13 diatas.

## 3. Pengaruh Garam Terlarut

Kadar kelarutan barium sulfat dalam air akan bertambah dengan penambahan kandungan garam terlarut lainnya pada air tersebut. Seperti ditunjukkan pada Tabel 2-5 diatas, penambahan 100000 mg/l NaCl pada air akan menaikkan kelarutan barium sulfat dari 2,3 mg/l menjadi 30 mg/l (pada temperatur 25 °C).

Gambar 2.14 berikut menunjukkan pengaruh NaCl terhadap kelarutan barium sulfat dalam air pada beberapa harga temperatur, yang merupakan fungsi dari *ionic strength* dari konsentrasi natrium klorida (NaCl) terhadap kelarutan barium sulfat.



**Gambar 2.14.** Pengaruh Konsentrasi NaCl Terhadap Kelarutan Barium Sulfat dalam Air<sup>[17]</sup>

#### **2.6.3.4 Senyawa Besi**

Kandungan besi dalam air dapat terjadi secara alamiah ataupun dihasilkan dari proses korosi, yang berupa besi oksida ataupun besi sulfida.. Pada umumnya, air formasi memiliki kandungan senyawa besi alamiah tidak lebih dari 100 mg/L. Pembentukan senyawa besi dipengaruhi oleh keberadaan  $\text{CO}_2$ ,  $\text{H}_2\text{S}$  dan  $\text{O}_2$  dalam air.

### 1. Pengaruh CO<sub>2</sub>

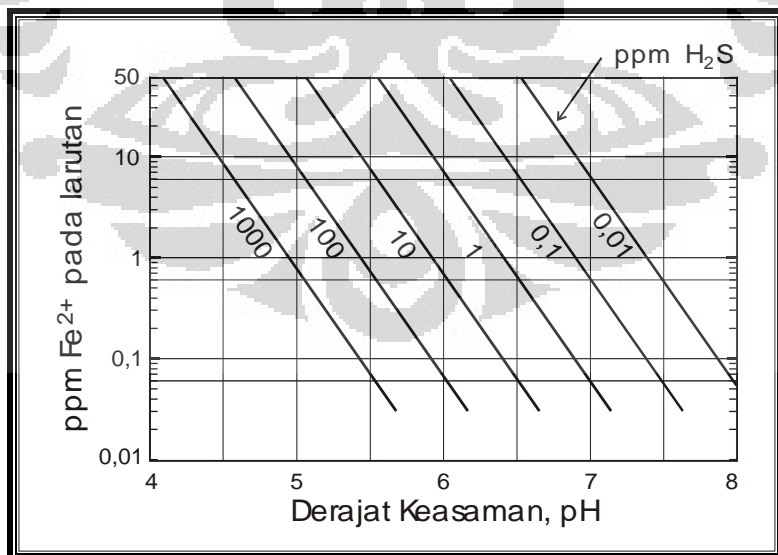
Keberadaan CO<sub>2</sub> dalam air akan bereaksi dengan besi dan membentuk padatan scale besi karbonat. Pembentukan *scale* besi karbonat dipengaruhi pH sistem, dimana scale hanya akan terbentuk jika pH sistem lebih dari 7.

## 2. Pengaruh H<sub>2</sub>S

$\text{H}_2\text{S}$  akan membentuk besi sulfida ( $\text{FeS}$ ) berdasarkan reaksi, dengan besi yang terkandung dalam air, sebagai berikut:



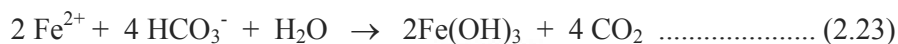
Besi sulfida yang terbentuk dari reaksi diatas bersifat sukar larut yang biasanya membentuk lapisan scale yang relatif tipis. Gambar 2.15 berikut merupakan diagram stabilitas senyawa besi sulfida, yang menunjukkan konsentrasi ion ferro ( $\text{Fe}^{2+}$ ) pada berbagai harga pH larutan dan konsentrasi kandungan  $\text{H}_2\text{S}$  dalam larutan.



**Gambar 2.15** Diagram Stabilitas Senyawa Besi Sulfida<sup>[17]</sup>

### 3. Pengaruh O<sub>2</sub>

Reaksi antara besi dengan  $O_2$  dapat menghasilkan beberapa senyawa besi, antara lain adalah ferro hidroksida ( $Fe(OH)_2$ ), ferri hidroksida ( $Fe(OH)_3$ ) dan ferri oksida ( $Fe_2O_3$ ). Apabila air mengalami kontak dengan udara, maka Ion ferro ( $Fe^{2+}$ ) yang teroksidasi akan membentuk ion  $Fe^{3+}$  yang akan bereaksi dengan  $O_2$  yang akan menghasilkan ferri hidroksida. Reaksi yang terjadi adalah sebagai berikut :



Senyawa besi yang terbentuk dari reaksi diatas mempunyai sifat yang tidak akan terlarut pada larutan dengan pH lebih dari 4.

Selain dari reaksi dengan senyawa-senyawa diatas, senyawa besi juga dapat terbentuk dari kinerja biologis suatu bakteri (*gallionella ferruginea*) yang hidup dalam air yang mengandung udara. Bakteri tersebut akan memisahkan ion ferro ( $\text{Fe}^{2+}$ ) dari air dan membentuk senyawa *ferri hydroxide*.

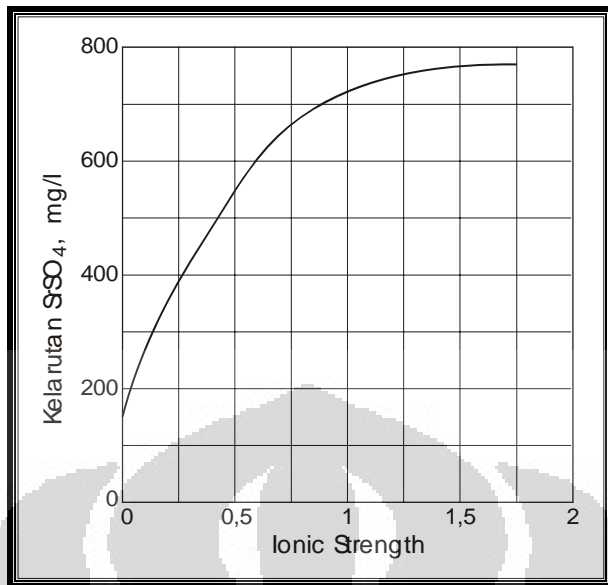
### 2.6.3.5 Strontium Sulfat

Stronsium sulfat terbentuk dari pengendapan padatan berdasarkan pada persamaan reaksi sebagai berikut :



Perilaku kelarutan stronsium sulfat dalam air hampir sama dengan kelarutan barium sulfat, akan tetapi kelarutan stronsium sulfat lebih besar dibandingkan dengan kelarutan barium sulfat. Pada temperatur 25°C, kelarutan stronsium sulfat dalam air mencapai 114 mg/lt, sedangkan pada temperatur yang sama kelarutan barium sulfat hanya 2,3 mg/L.

Secara umum kelarutan stronsium sulfat dalam air dipengaruhi oleh perubahan temperatur serta besarnya kandungan garam terlarut dalam air. Hal ini dapat dilihat pada Gambar 2.16, yang menunjukkan kelarutan stronsium sulfat pada air yang mengandung NaCl pada temperatur 25 °C dan tekanan atmosfer.



Gambar 2.16. Pengaruh konsentrasi NaCl Terhadap Kelarutan Stronsium Sulfat dalam Air<sup>[17]</sup>

#### 2.6.3.6 Natrium Klorida

Terlepasnya natrium klorida dari larutan dan pengendapannya biasanya terjadi pada kondisi supersturasi (akibat dari adanya evaporasi dan penurunan temperatur). Hal ini terlihat pada Tabel 2.8 yang menunjukkan pengaruh penurunan temperatur terhadap kelarutan natrium klorida dalam larutan.

Pada tabel tersebut, terlihat bahwa 4000 mg/L NaCl akan mengendapkan *supersaturated salt water* bila temperatur berkurang dari 60°C menjadi 30°C.

Pengendapan natrium klorida dapat terjadi pada *tubing* bagian bawah maupun dalam lubang sumur yang mempunyai perbandingan minyak-gas (GOR) tinggi, dengan produksi air sangat kecil ataupun tanpa produksi air di permukaan. Pengendapan tersebut juga dapat terjadi sebagai akibat dari penurunan tekanan dan temperatur pada formasi ataupun dalam *tubing*.

Tabel 2.8. Pengaruh Temperatur Terhadap Kelarutan NaCl<sup>[18]</sup>

Temperatur °C	NaCl dalam Larutan		
	% berat	Ppm	mg/L
0	25,9	259000	310000
30	26,8	268000	323000
60	27,1	271000	327000
80	27,7	277000	335000
100	28,5	285000	346000

#### 2.6.4. Analisis Problem Scale<sup>[20],[23],[16]</sup>

Seiring waktu berjalan, laju produksi minyak makin menurun dan *water cut* makin meninggi. *Water cut* yang makin tinggi, cenderung untuk meningkatkan terjadinya pembentukan endapan *scale*. Jika hal ini terjadi, tentu saja akan menghabiskan biaya penanggulangan *scale* yang tidak sedikit, baik untuk menghilangkan *scale* maupun untuk biaya penggantian peralatan yang mungkin rusak akibat adanya *scale*. Analisis masalah *scale* dan upaya penanggulangannya akan penulis uraikan dibawah ini, antara lain:

- Analisis *Pressure drop*
- Analisis air formasi
- Pemasangan instalasi *scale coupon*
- Evaluasi *scale coupon*
- Identifikasi *scale* dari analisis sampling air formasi dan *scale coupon*
- Pencegahan dan penanggulangan *scale* antara lain:
  - Penginjeksian *scale* inhibitor dengan memonitor efektifitas inhibitor dari sampling air formasi dan *scale coupon*
  - Pekerjaan *pigging* dan *line scrapper*
  - *Acidizing*
  - *Scale cleaner*
  - Metode pencegahan alternatif

##### 2.6.4.1 Analisis *Pressure Drop*<sup>[23]</sup>

Data *pressure drop* dapat mengindikasikan ada tidaknya *scale* di sepanjang aliran produksi. Dari analisis *pressure drop* pada sistem sumur dan peralatan permukaan, dapat menunjukkan bahwa terjadi perubahan tekanan yang berelasi terhadap perubahan laju alir pada *wellhead*, sebelum dan sesudah penggantian *flowline* ataupun sebelum dan sesudah *acid job*.

Pengamatan ini bertujuan untuk mengetahui adanya perubahan tekanan antara *wellhead* (*flowline upstream*) dan *manifold* (*flowline downstream*). Apabila ada kecenderungan meningkatnya *pressure drop* dan penurunan laju alir produksi, maka diindikasikan adanya *scale* yang terbentuk pada pipa *tubing* maupun *flowline*. Hal ini dapat disebabkan karena adanya penumpukan endapan di dinding pipa yang menyebabkan *inside diameter* (ID) pipa mengecil, sehingga menyebabkan penurunan aliran laju produksi akibat naiknya *pressure drop*.

#### 2.6.4.2 Analisis Air Formasi<sup>[16]</sup>

Analisis air formasi bertujuan untuk mengetahui kandungan kation dan anion yang terlarut di air formasi didalam proses produksi yang diambil dari kran pada *wellhead*. Dari data kandungan kation dan anion dengan metode-metode perhitungan kecenderungan pembentukan *scale* dapat diketahui kecenderungan terbentuknya berbagai *scale* yang akan dijelaskan pada Bab 3. Selain itu, analisis air formasi dapat pula digunakan untuk memonitor *performance* dari *scale* inhibitor.

#### 2.6.4.3 Analisis Scale Coupon<sup>[20],[23]</sup>

Evaluasi *scale coupon* dilakukan secara kualitatif dan kuantitatif yang bertujuan untuk memprediksi pertumbuhan *scale* (*scale growth*). Evaluasi *scale coupon* secara kualitatif dilakukan secara visual di lapangan. Dan evaluasi *scale coupon* secara kuantitatif dilakukan di laboratorium. *Scale coupon* yang digunakan hampir sama seperti *corrosion coupon*, dengan 6-8 lubang pada berbagai skala ukuran (Gambar 2.17).



**Gambar 2.17.** *Scale Coupon* Dengan Tujuh Lubang Pada Masing-Masing Sisinya

*Coupon* yang dipasang pada *flowline* di dekat *wellhead* dan dilengkapi *flat side facing* untuk mengatur aliran. Dalam penggunaannya, *coupon* ditimbang sebelum dan sesudah pemasangan sehingga berat *scale* yang terbentuk dapat diketahui dari selisih keduanya. Dan untuk menghitung *scale growth*, perlu dilakukan analisis lebih lanjut melalui prosedur-prosedur tertentu, diantaranya adalah sebagai berikut.

1. Pencatatan semua informasi tentang *scale coupon*, diantaranya adalah tipe *coupon*, tanggal pemasangan, tanggal pencabutan, dan berat awal *coupon*.
2. Setelah masa pemasangan *coupon* selesai, dilakukan pencabutan *coupon* dan diamati serta dicatat penampakan dan kondisi *coupon* yang digunakan. Selain itu, dikumpulkan pula data-data produksi selama pemasangan *coupon* tersebut untuk nantinya dapat digunakan untuk analisis *pressure drop* pada sistem perpipaan tersebut.
3. Analisis penentuan hidrokarbon pada komponen *scale* yang terbentuk pada *coupon*, dilakukan di laboratorium dengan prosedur sebagai berikut.
  - a. Ditimbang *beaker glass* dengan timbangan analitis dan dicatat beratnya
  - b. Diletakkan *coupon* dalam *beaker glass* kemudian ditimbang keduanya dan dicatat beratnya. Dicari berat *coupon* dengan menghitung selisihnya terhadap berat *beaker glass* pada langkah 3.a.
  - c. Diisi *beaker glass* dengan *xylene* hingga *coupon* terendam seluruhnya, kemudian dipanaskan perlahan pada *hot plate* hingga mendidih dan seluruh material hidrokarbon larut dalam *xylene*.
  - d. Dilakukan pengulangan langkah 3.c jika perlu hingga *xylene* tidak berubah warna setelah proses pemanasan.
  - e. Dikeringkan *beaker glass* yang berisi *coupon* dengan oven lalu didinginkan pada suhu ruang dalam desikator. Ditimbang berat *beaker glass* yang berisi *coupon* dan dicatat beratnya. Kurangi dengan berat *beaker glass* pada langkah 3.a untuk mengetahui berat *coupon* tanpa adanya komponen hidrokarbon dalam *scale*. Dan kurangi dengan langkah 3.b untuk mengetahui berat hidrokarbon yang terkandung pada *scale*.
4. Analisis penentuan karbonat pada komponen *scale* yang terbentuk pada *coupon*, dilakukan di laboratorium dengan prosedur sebagai berikut.
  - a. Diisi *beaker glass* dari langkah 3.e diatas dengan larutan asam asetat hingga *coupon* terendam seluruhnya, kemudian dipanaskan perlahan pada *hot plate* hingga mendidih dan seluruh material hidrokarbon larut dalam asam asetat.

- b. Dilakukan pengulangan langkah 4.a jika perlu hingga larutan asam asetat tidak berubah warna setelah proses pemanasan.
  - c. Dikeringkan *beaker glass* yang berisi *coupon* dengan oven lalu didinginkan pada suhu ruang dalam desikator. Ditimbang berat *beaker glass* yang berisi *coupon* dan dicatat beratnya. Lalu kurangi dengan berat *beaker glass* pada langkah 3.a untuk mengetahui berat *coupon* tanpa adanya komponen hidrokarbon dan karbonat dalam *scale*. Dan kurangi dengan langkah 3.e untuk mengetahui berat karbonat yang terkandung pada *scale*.
5. Analisis penentuan *iron compound* pada komponen *scale* yang terbentuk pada *coupon*, dilakukan di laboratorium dengan prosedur sebagai berikut.
    - a. Diisi *beaker glass* dari langkah 4.c diatas dengan larutan 15% HCl yang mengandung 5% *corrosion inhibitor* hingga *coupon* terendam seluruhnya, kemudian dipanaskan perlahan pada *hot plate* hingga mendidih dan seluruh material hidrokarbon larut dalam asam asetat.
    - b. Dilakukan pengulangan langkah 4.b diatas jika perlu hingga larutan asam tidak berubah warna.
    - c. Dikeringkan *beaker glass* yang berisi *coupon* dengan oven lalu didinginkan pada suhu ruang dalam desikator. Ditimbang berat *beaker glass* yang berisi *coupon* dan dicatat beratnya. Kurangi dengan berat *beaker glass* pada langkah 3.a untuk mengetahui berat *coupon* tanpa adanya komponen hidrokarbon, karbonat, dan *iron compound* dalam *scale*. Dan kurangi dengan langkah 4.e untuk mengetahui berat kandungan besi yang terkandung pada *scale*.
  6. Analisis penentuan *total solid* pada komponen *scale* yang terbentuk pada *coupon*, dilakukan di laboratorium dengan prosedur sebagai berikut.
    - a. Dari langkah 5.c diatas, dibilas *coupon* dalam *beaker glass* dengan menggunakan *isopropyl alcohol* kemudian dikeringkan dengan oven dan didinginkan dalam desikator pada suhu ruang.
    - b. Ditimbang berat *beaker glass* yang berisi *coupon* dan dicatat beratnya. Kurangi dengan berat *beaker glass* pada langkah 3.a untuk mengetahui berat *coupon*.

- c. Dilakukan perhitungan *scale growth* berikut untuk mengetahui laju pertumbuhan *scale*.

 *Total scale deposit*

$$\text{Total deposite scale (mg)} = [\text{berat langkah 3.b (gram)}] - \text{berat pada langkah 6.b (gram)} \times 1000 \quad \dots \dots \dots \quad (2.25)$$

 *mg scale per square inch*

$$\frac{\text{mg}}{\text{sq inch}} = \frac{\text{mg scale deposite}}{750} \quad \dots \dots \dots \quad (2.26)$$

 *Scale growth (g per square inch per year)*

$$\frac{\text{g / sq inch}}{\text{year}} = \frac{(\text{mg / sq.in})(10)(365)}{\text{total days in system}} \quad \dots \dots \dots \quad (2.27)$$

 *Corrosion rate (mpy)*

$$\text{corrosion rate (mpy)} = \frac{[\text{berat langkah 3.b} - \text{berat langkah 6.b}] \times \text{factor area}}{\text{total days in system}} \quad \dots \dots \dots \quad (2.28)$$

Dalam pemasangan dan pencabutan *scale coupon* terlebih dahulu sumur dimatikan. Hal ini dapat mengurangi hasil produksi kumulatif suatu lapangan minyak. Maka, sebaiknya dilakukan pemrograman secara terencana dan dapat dilakukan pemantauan terhadap kehilangan produksi per jamnya ketika sumur dimatikan. Seiring naiknya *water cut*, evaluasi ini sebaiknya dilakukan secara kontinyu tiap 3 bulan sekali.

Dari identifikasi *scale coupon* diatas, dapat pula dilakukan dan didapatkan analisis secara kualitatif, diantaranya sebagai berikut:

1. Perendaman terhadap sampel *scale* pada suatu pelarut, jika didapatkan warna larutan yang gelap, maka dapat diperkirakan endapan yang terbentuk adalah endapan organik hidrokarbon, seperti senyawaan *wax*, dan *paraffin*.
2. Dengan memeriksa kadar kemagnetan suatu sampel *scale*, dapat diketahui kandungan *iron compound* di dalamnya. Jika kadar kemagnetannya kuat, diperkirakan *scale* yang dianalisis adalah besi oksida seperti  $Fe_3O_4$ , sedangkan jika kemagnetannya lemah, maka *scale* tersebut dapat berupa *scale FeS*.

3. Perendaman sampel *scale* dalam larutan HCl 15%, kemudian diamati perubahan yang terjadi, terutama kekuatan reaksi (efek *efferversant*), bau, serta perubahan warna yang terjadi. Apabila warna larutan HCl berubah menjadi kuning, diperkirakan pada *scale* tersebut terdapat komponen besi.
4. Memeriksa kadar kelarutan sampel *scale* dalam air. Jika sampel larut dalam air, maka endapan tersebut kemungkinan adalah endapan garam NaCl.

Selain dari analisis kualitatif diatas, dapat pula dilakukan identifikasi dengan menggunakan metode *X-Ray Diffraction*. Metode ini merupakan metode yang dilakukan dengan melakukan penyinaran sinar X terhadap sampel dari kristal *scale* yang sudah berbentuk bubuk. Identifikasi dilakukan terhadap pantulan cahaya dari komposisi kimia komponen *scale* yang terdifraksi oleh sinar X, yang menunjukkan karakteristik dari masing-masing komponen tersebut.

#### **2.6.4.4 Penanganan *Scale*<sup>[23]</sup>**

Penanganan masalah *scale* meliputi upaya pencegahan terhadap pembentukan maupun pengendapan *scale* serta penanggulangan atau pembersihan *scale* yang telah terbentuk. Program penanganan didesain berdasarkan pada data hasil identifikasi mekanisme dan kondisi pembentukan, lokasi terbentuknya *scale* serta komposisi endapan yang terbentuk.

Upaya pencegahan yang seringkali dilakukan adalah dengan meninjeksikan zat kimia pengontrol *scale* (*scale inhibitor*), baik pada formasi maupun pada pipa-pipa dan peralatan produksi. Zat kimia tersebut bekerja dengan cara menjaga partikel pembentuk *scale* tetap dalam larutan, sehingga diharapkan tidak terjadi pengendapan.

Selain penggunaan *scale inhibitor*, dengan mempertimbangkan pengaruh tekanan pada penurunan kelarutan, *pressure maintenance* baik dengan injeksi air ataupun injeksi gas, dapat berperan dalam upaya pencegahan terbentuknya *scale*. Sedangkan pada program injeksi air untuk meningkatkan perolehan minyak (*waterflooding*), upaya pencegahan diterapkan pada perencanaan air yang akan diinjeksikan. Air yang akan diinjeksikan dirancang sifat fisiknya dan kandungan kimia tertentu, sehingga kemungkinan adanya reaksi pembentukan padatan *scale* dapat dieliminasi.

Penanggulangan masalah *scale* bertujuan untuk menghilangkan endapan *scale* baik *scale* yang menyumbat pada matriks batuan formasi ataupun *scale* yang menempel pada

dinding pipa. Hal pokok yang perlu dipertimbangkan dalam perencanaan program penanggulangan adalah kecepatan proses, pengaruh terhadap adanya kerusakan pada peralatan produksi, tubing ataupun formasi yang akan dibersihkan, serta kemampuan untuk mencegah terbentuknya endapan lanjutan (*re-precipitation*).

Berdasarkan metode yang digunakan, penanggulangan *scale* dapat dibedakan menjadi dua macam, yaitu penanggulangan secara mekanik dan kimiawi. Pemilihan metode mekanik yang digunakan pada program penanggulangan *scale* didasarkan pada lokasi terbentuknya *scale*, sedangkan pemilihan metode kimia didasarkan pada jenis *scale* yang terbentuk. *Scale* yang terbentuk pada formasi dapat dibersihkan secara kimiawi dengan pengasaman (*acidizing*). Untuk endapan *scale* pada sistem perpipaan baik pada *tubing* ataupun peralatan produksi, dapat digunakan dengan cara mekanik ataupun kimia atau merupakan kombinasi dari keduanya, yaitu dengan menggunakan zat kimia dan dengan cara mekanis seperti *coiled tubing*, *line scrappers*, *pigs* ataupun *cathodic protection* pada *surface line*.

## 1. Pencegahan Terbentuknya Endapan *Scale*<sup>[23]</sup>

Pencegahan terbentuknya *scale* adalah usaha preventif yang dilakukan sebelum terbentuknya endapan *scale*. Pada kenyataannya proses pembentukan *scale* sama sekali tidak dapat dicegah, sehingga upaya yang dilakukan semata-mata hanyalah meminimalisasi pembentukan dan terutama pengendapan *scale*, sehingga permasalahan yang terjadi sebagai akibat dari pengendapan tersebut dapat dicegah dan diminimalisir.

### a. Menggunakan Zat-zat Kimia Pengontrol *Scale*<sup>[23]</sup>

Salah satu cara untuk mencegah terjadinya *scale* yaitu dengan cara menjaga kation-kation pembentuk *scale* tetap berada dalam larutannya. Zat-zat kimia yang ditambahkan dalam air berfungsi sebagai pencegah terbentuknya *scale* (*scale inhibitor*) di dalam larutan tersebut.

*Scale* inhibitor merupakan suatu bahan kimia yang berfungsi untuk menjaga anion-kation pembentuk *scale* tetap berada dalam larutannya. Untuk memenuhi kebutuhan tersebut, diperlukan kecepatan injeksi yang didasarkan pada jumlah produksi fluida total dan bahan kimianya yang harus dipompakan sedemikian rupa, sehingga konsentrasi tidak kurang dari batas minimum yang diijinkan dan dosis yang digunakan. Setelah penentuan jenis *scale* inhibitor, perlu diperhatikan beberapa hal berikut agar diperoleh hasil yang maksimal, yaitu:

- *Scale* inhibitor harus ditambahkan pada titik dimana kristal *scale* mulai terbentuk. Ini berarti bahwa inhibitor harus diinjeksikan pada *upstream* area yang bermasalah. Dalam hal ini adalah pada sumur produksi.
- *Scale* inhibitor harus diinjeksikan secara kontinyu agar selalu mencegah terbentuknya kristal *scale* dalam air terproduksi.

Ada beberapa metode *treatment* yang dapat dilakukan untuk menginjeksikan *scale* inhibitor, yaitu :

#### ■ *Squeeze Treatment*

*Squeeze treatment* ini merupakan suatu cara menginjeksikan inhibitor ke dalam formasi dengan tekanan injeksi tertentu dibawah tekanan rekah formasi dan diatas tekanan formasi.

Inhibitor dilarutkan dalam fluida pembawa yang disertai dengan zat aktif permukaan untuk memperbaiki kebasahan batuan formasi. Dengan adanya inhibitor ini, maka terbentuklah lapisan pelindung (*protective film*) pada permukaan pipa selama operasi injeksi dan selama aliran fluida produksi mengandung inhibitor dengan konsentrasi yang cukup tinggi.

#### ■ *Batch Treatment*

*Batch treatment* merupakan suatu cara dengan menempatkan *scale* inhibitor ke dalam sumur melalui *tubing* dalam jumlah yang hampir sama dengan jumlah air yang diproduksikan per hari. Dengan adanya aliran fluida dari reservoir yang mengalir ke lubang sumur, maka fluida akan bercampur dengan *scale* inhibitor yang ada. Akibatnya *scale* inhibitor bercampur dengan fluida produksi dan selanjutnya akan terbawa ke atas melalui peralatan-peralatan produksi.

*Scale* inhibitor ditempatkan pada beberapa kaki (ft) dibawah lubang sumur, ketika fluida mengalir ke lubang sumur. Namun demikian, ternyata *scale* inhibitor yang ditempatkan di dasar sumur ini tidak dapat bertahan lama, sehingga *scale* inhibitor hanya berguna dalam waktu yang relatif singkat.

#### ■ *Continous Treatment*

*Continous treatment* merupakan suatu *treatment* dengan jalan menginjeksikan *scale* inhibitor ke dalam sumur melalui *annulus* oleh *chemical injection pump*. Dengan cara tersebut dapat menyebabkan zat kimia tersebut menyembur ke bawah (ke dasar sumur) dan

dengan segera dapat menjaga kelarutan. Untuk memenuhi kebutuhan di atas diperlukan kecepatan injeksi yang didasarkan pada jumlah produksi fluida total dan bahan kimianya harus dipompakan sedemikian rupa, sehingga konsentrasinya tidak kurang dari batas minimum yang diijinkan.

Selain itu, sebelum dilakukan injeksi inhibitor harus dipersiapkan instrument dan komponennya, antara lain *chemical tank*, *chemical pump*, *atomizer*, dan *chemical* yang akan digunakan. Jenis *scale* inhibitor yang biasa digunakan di lapangan adalah *inorganic polyphosphate*, *organic scale control chemical* (*organic phosphate* dan *phosphonate*) dan *Polyorganic acid*. Selain itu adanya polimer sebagai *additive* juga digunakan untuk mencegah atau menghambat pembentukan *scale*.

### **b. Metode Pengujian *Scale Inhibitor*<sup>[13],[23]</sup>**

Metode ini dilakukan pengujian efektifitas *scale* inhibitor secara laboratorium dengan menggunakan *Static Beaker Test* dan *Dynamic Tube Blocking Test*. *Static Beaker Test* atau *NACE Test* dilakukan di laboratorium dengan melakukan uji coba *scale* inhibitor dengan konsentrasi berbeda. *NACE Test* adalah metode perhitungan efektifitas *scale* inhibitor dengan memantau kandungan terlarut dalam air formasi.<sup>[13]</sup>

Faktor-faktor yang harus diperhatikan dalam pemilihan *scale* inhibitor adalah jenis *scale*, laju produksi, *water cut*, komposisi kimia didalam *scale*, dosis bahan kimia pada inhibitor, laju pembentukan *scale* (*scale growth*), temperatur, reaksi dengan ion-ion dalam air, dan reaksi dengan senyawaan kimia lain yang mungkin terjadi. Perkembangan *scale* didalam sumur dan konsentrasi *scale* inhibitor yang efektif dapat dimonitor dengan beberapa metode, yaitu<sup>[23]</sup>:

1. Analisis *scale coupon*, melalui penentuan besar laju pembentukan *scale* (*scale growth*)
2. *Residual phosphonate*, melalui penentuan harga *residual phosphonate* yang merupakan sisa *scale* inhibitor yang tidak bereaksi dengan kation dan anion pembentuk *scale*.
3. *Turbidity*, melalui penentuan harga kadar kekeruhan dalam air yang telah bereaksi dengan *scale* inhibitor.
4. Kelarutan *Hardness* (Ca dan Mg), melalui penentuan harga kelarutan konsentrasi Ca dan Mg terhadap kalsium karbonat yang bereaksi dengan *scale* inhibitor.

### c. Metode Pencegahan Alternatif<sup>[23],[17]</sup>

Selain dengan menginjeksikan zat-zat kimia pencegah *scale*, upaya pencegahan lain yang bersifat tidak langsung dan dapat dipertimbangkan penggunaannya adalah program *pressure maintenance* pada formasi, *temperature maintenance* pada instalasi pemipaan dipermukaan, serta perencanaan air yang sesuai pada program injeksi air untuk meningkatkan perolehan minyak (*water flooding*).

Berdasarkan pada besarnya pengaruh penurunan tekanan selama proses produksi berlangsung terhadap kelarutan komponen dalam air formasi, maka upaya untuk menjaga tekanan formasi (*pressure maintenance*) dapat berfungsi sebagai upaya pencegahan terendapkannya partikel *scale*.

Penurunan temperatur yang sangat besar akan terjadi pada saat fluida mengalir dipermukaan. Hal ini dapat menyebabkan mengendapnya partikel *scale* pada bagian-bagian pipa yang memungkinkan, seperti pada sambungan-sambungan pipa, belokan yang menyebabkan adanya perubahan arus, serta pada bagian pipa dengan permukaan dalam yang kurang sempurna. Untuk mengatasi ini dapat diterapkan metode untuk menjaga agar penurunan temperatur tidak terlalu tinggi, baik itu dengan menggunakan pemanas (*heater*) ataupun melapisi pipa dengan peredam panas.

Pembentukan *scale* akibat dari tercampurnya dua jenis air yang tidak kompatibel biasanya terjadi pada sumur injeksi pada proses injeksi air (*water flooding*). Tercampurnya dua jenis air yang tidak kompatibel akan menimbulkan reaksi antar ion-ion terlarut, sehingga akan memungkinkan terbentuknya endapan *scale*. Sebagai contoh, jika air yang mengandung ion  $\text{Ca}^{2+}$  bercampur dengan air yang mengandung ion  $\text{CO}_3^{2-}$  maka kondisi ini cenderung menyebabkan terbentuknya endapan  $\text{CaCO}_3$ .

Berdasarkan pada keterangan diatas, maka dalam perencanaan air untuk injeksi, pencampuran dua jenis air harus dihindari, karena hal tersebut akan menimbulkan masalah apabila kedua jenis air tersebut tidak kompatibel. Permasalahan akan menjadi semakin kompleks apabila air injeksi juga tidak kompatibel dengan air formasi, yang dapat dipastikan akan saling kontak pada formasi, walaupun dengan bidang kontak yang terbatas. Akan tetapi keadaan menjadi lain setelah air injeksi menerobos (*breakthrough*) dan ikut terproduksi, dimana bidang kontak antara air injeksi dengan air formasi akan semakin luas, sehingga reaksi yang terjadi antara ion-ion komponen pembentuk *scale* akan semakin sering terjadi.

Untuk menghindari hal tersebut, dalam perencanaan air injeksi perlu diperkirakan kompatibilitas masing-masing jenis air. Metode yang paling sederhana untuk memperkirakan derajat kompatibilitas dua jenis air adalah dengan membandingkan komposisi kimia dari masing-masing jenis air tersebut, kemudian diperkirakan reaksi antar ion yang akan terjadi. Sebagai contoh adalah data komposisi kimia dua jenis air hasil analisis sebagai berikut:

**Tabel 2.9.** Contoh Komposisi Ion Dalam Air Formasi<sup>[17]</sup>

Komponen	Air I	Air II
Ca <sup>2+</sup>	ada	tidak ada
HCO <sub>3</sub> <sup>-</sup>	tidak ada	ada
SO <sub>4</sub> <sup>2-</sup>	tidak ada	ada
Ba <sup>2+</sup>	ada	tidak ada
Fe <sup>2+</sup> atau Fe <sup>3+</sup>	tidak ada	ada
H <sub>2</sub> S	ada	tidak ada

Dari data-data diatas, serta konsentrasi tiap komponen, pH, temperatur dan perbandingan pencampuran air, dapat diperkirakan endapan yang mungkin terbentuk adalah kalsium karbonat, kalsium sulfat, barium sulfat dan besi sulfida.

Dalam merencanakan air injeksi yang kompatibel dengan air formasi, upaya yang dapat dilakukan adalah dengan mengubah komposisi air dan menghilangkan zat-zat yang memungkinkan untuk terbentuknya komponen *scale*.

#### Mengubah Komposisi Air<sup>[23]</sup>

Setelah memperkirakan derajat kompatibilitas air yang akan dicampur, koreksi ataupun perbaikan dapat dilakukan dengan mengubah komposisi air. Metode yang dapat dilakukan untuk merubah komposisi air adalah:

- Pengenceran air (*water dilution*)

Pengenceran air injeksi dimaksudkan untuk membuat campuran baru dari air injeksi yang telah diketahui komposisinya, dengan ditambah air lain, sehingga menghasilkan komposisi campuran air dengan konsentrasi yang tidak membentuk *scale* pada kondisi sistem.

- Mengontrol pH

Adanya penurunan harga pH, maka akan menaikkan kelarutan komponen besi dan menurunkan kecenderungan pembentukan *scale* karbonat. Tetapi hal ini akan membuat air semakin korosif, yang akan menimbulkan problem korosi, sehingga perlu di kontrol pH larutan mendekati harga pH normal dan dilakukan optimasi injeksi scale inhibitor dan *corrosion inhibitor*.

#### Menghilangkan Zat-zat yang membentuk *Scale*<sup>[23]</sup>

Zat-zat pembentuk *scale* yang dapat dieliminir keberadaannya antara lain adalah gas terlarut yang mendukung terbentunya *scale*, serta ion  $\text{Ca}^{2+}$ ,  $\text{Mg}^{2+}$ ,  $\text{SO}_4^{2-}$ , dan  $\text{HCO}_3^-$ . Gas-gas yang terlarut, seperti  $\text{H}_2\text{S}$ ,  $\text{CO}_2$  dan  $\text{O}_2$ , dapat dihilangkan dari air dengan cara kimia atau mekanis. Sedangkan untuk menghilangkan ion-ion seperti  $\text{Ca}^{2+}$ ,  $\text{Mg}^{2+}$ ,  $\text{SO}_4^{2-}$ , dan  $\text{HCO}_3^-$ , dapat dilakukan dengan proses pelunakan air (*water softening process*), yang terdiri dari *ion exchange*, *precipitation softening* serta *destilation*). Proses-proses di atas dapat dilakukan secara kombinasi atau sendiri-sendiri.

## 2. Penanggulangan Endapan *Scale*<sup>[23],[13],[15]</sup>

Secara langsung timbulnya problem *scale* ini dapat menyebabkan kapasitas produksi menurun, proses pengolahan selanjutnya menjadi lebih sulit, terjadinya kerusakan peralatan produksi, tidak optimalnya sumur dalam berproduksi dan biaya yang diperlukan untuk pengolahan menjadi lebih besar. Oleh karena itu *scale* perlu segera dibersihkan. Pembersihan *scale* ini dapat dilakukan secara mekanik, kimia dan gabungan dari mekanik-kimia.

Untuk menanggulangi *scale* yang dilakukan secara kimia, dapat dibedakan menjadi dua tempat, yaitu *scale* yang terdapat pada pipa-pipa dan peralatan produksi di permukaan serta *scale* yang terbentuk pada dasar sumur atau formasi. Untuk itu semua digunakan zat kimia yang dapat melarutkannya.

### a. Endapan *Scale* dalam Pipa

Untuk menghilangkan *scale* pada pipa-pipa di permukaan dilakukan dengan kombinasi penggunaan zat kimia dan *line scrappers* atau *pigs*.

### b. Scale Kalsium Karbonat

Untuk menanggulangi *scale*  $\text{CaCO}_3$  pada berbagai kondisi, cara yang paling mudah dan murah adalah menggunakan HCl dengan konsentrasi 5%, 10% atau 15%.

Reaksi kimia yang terjadi adalah :



*Corrosion inhibitor* juga harus ditambahkan ke dalam asam untuk menjaga agar tidak molarutkan besi. Sering juga ditambahkan surfaktan untuk menghilangkan film minyak dari *scale* yang mengandung deposit organik.

### c. Scale Kalsium Sulfat

Karena  $\text{CaSO}_4$  bereaksi dengan HCl, maka digunakan fluida pengubah (*converter*). *Inorganic converter* biasanya karbonat ( $\text{CO}_3^{2-}$ ) atau hidroksida ( $\text{OH}^-$ ) akan bereaksi dengan  $\text{CaSO}_4$  dan mengubahnya menjadi  $\text{CaCO}_3$  atau  $\text{Ca}(\text{OH})_2$  yang akan larut dalam asam. *Conversion treatment* tersebut diikuti dengan pengasaman untuk molarutkan  $\text{CaCO}_3$  atau  $\text{Ca}(\text{OH})_2$ .

Reaksi kimia yang terjadi adalah sebagai berikut :



Kemudian  $\text{CaCO}_3$  yang terbentuk dilarutkan oleh HCl, dengan reaksi sebagai berikut :



$\text{CO}_2$  yang terbentuk akan membantu melepaskan endapan yang sangat padat. Dalam menghilangkan endapan  $\text{CaSO}_4$  digunakan *organic converter*, seperti natrium sitrat, kalium glikolat, dan kalium asetat. Zat-zat tersebut dapat bereaksi dengan endapan  $\text{CaSO}_4$  dan akan menyebabkan endapan tersebut membengkak (*swell*), sehingga menjadi lunak dan mudah dihilangkan dengan cara mendorong dengan air. Zat kimia ini mahal dan membutuhkan waktu kontak beberapa jam untuk endapan yang tebal, sehingga sebaiknya dicoba terlebih dahulu pada laboratorium sebelum digunakan.

Selain zat-zat di atas, juga digunakan EDTA (*Etylene Diamine Tetra Acetit Acid*), natrium hidroksida (*caustic*) yaitu 10% NaOH akan molarutkan 12.5% berat *scale*. Juga digunakan air asin yang mengandung 55.000 mg/L NaCl akan molarutkan gipsum pada 100°F, yang besar kelarutannya tiga kali lebih besar dibandingkan dengan air tawar pada temperatur yang sama.

#### d. *Scale Barium Sulfat*

Metode yang dapat digunakan untuk mengatasi endapan *scale* barium sulfat dalam pipa adalah sebagai berikut :

##### Penambahan EDTA

Penambahan *ethylene diamene tetra acetic acid* (EDTA) akan melarutkan  $\text{BaSO}_4$  secara fisik, yaitu akan memisahkan ion barium dengan ion sulfat, kemudian ion barium akan bereaksi dengan ion lain menjadi campuran kimia yang baru, karena larutan barium sangat stabil. Tetapi sebelum membentuk campuran yang baru, barium sempat bereaksi lagi dengan sulfat sehingga *scale* barium sulfat baru dapat terbentuk lagi.

##### Penambahan NaCl

Penambahan garam  $\text{NaCl}$  yang akan melarutkan  $\text{BaSO}_4$ . Tenaga melarutkannya naik dengan naiknya temperatur.

#### e. *Scale Komponen Besi*

Untuk melarutkan komponen besi biasanya digunakan HCl. Apabila HCl digunakan, maka harus ditambahkan *corrosion inhibitor* untuk mencegah korosi pada pipa. Sering juga ditambahkan *iron squeeztering agent* yang akan mencegah pengendapan besi kembali. Pembentukan *scale* ini dapat terjadi apabila asam habis dan pH naik tinggi.

### 3. Endapan *Scale* dalam Sumur dan Formasi<sup>[23]</sup>

Penghilangan *scale* dalam sumur dan formasi terdiri dari pembersihan *scale* di *tubing* maupun permukaan formasi, yaitu ruang pori dan rekahan. Pembersihan *scale* di *tubing* pada dasarnya hanya dapat dilakukan dengan cara kimia. Jika *scale* di *tubing* sulit dihilangkan, maka *tubing* harus dikeluarkan dan dibersihkan di permukaan.

Pembersihan *scale* di lubang perforasi, di permukaan formasi, atau di pori-pori atau rekahan pada matriks formasi, biasanya dilakukan operasi perendaman. Jika *scale* terbentuk pada pori-pori batuan, maka cara yang efektif adalah dengan menggunakan *acidizing*. Prinsip dasar dari metode ini adalah melarutkan batuan dari material-material yang menghambat aliran dalam reservoir dengan cara menginjeksikan sejumlah asam kedalam lubang sumur atau lapisan produktif. *Acidizing* bertujuan untuk menghilangkan pengaruh

penurunan permeabilitas formasi disekitar lubang sumur (zona skin) dengan cara memperbesar pori-pori batuan dan melarutkan partikel-partikel penyumbat pori batuan antara lain *scale*. Material kimia yang digunakan untuk pembersihan *scale* yang dilakukan kurang lebih hampir sama dengan pembersihan *scale* pada pipa disesuaikan dengan jenis *scale* yang terbentuk pada lapisan produktif. Namun, sebaiknya terlebih dahulu melalui uji laboratorium untuk memastikan kecocokan dari fluida asam yang diinjeksikan ke sumur terhadap batuan dan fluida reservoir. Selain material asam yang digunakan diperlukan senyawa aditif yang ditambahkan untuk menghindari faktor korosi, foam, ataupun kejadian lain yang justru dapat menyebabkan terjadinya kerusakan formasi yang lebih parah. *Acidizing* ini biasanya dilakukan setelah melakukan PBU Test (*Pressure Build Up Test*) yang terbukti adanya *skin damage* dengan harga skin faktornya positif.

## **BAB 3**

### **METODOLOGI PENELITIAN**

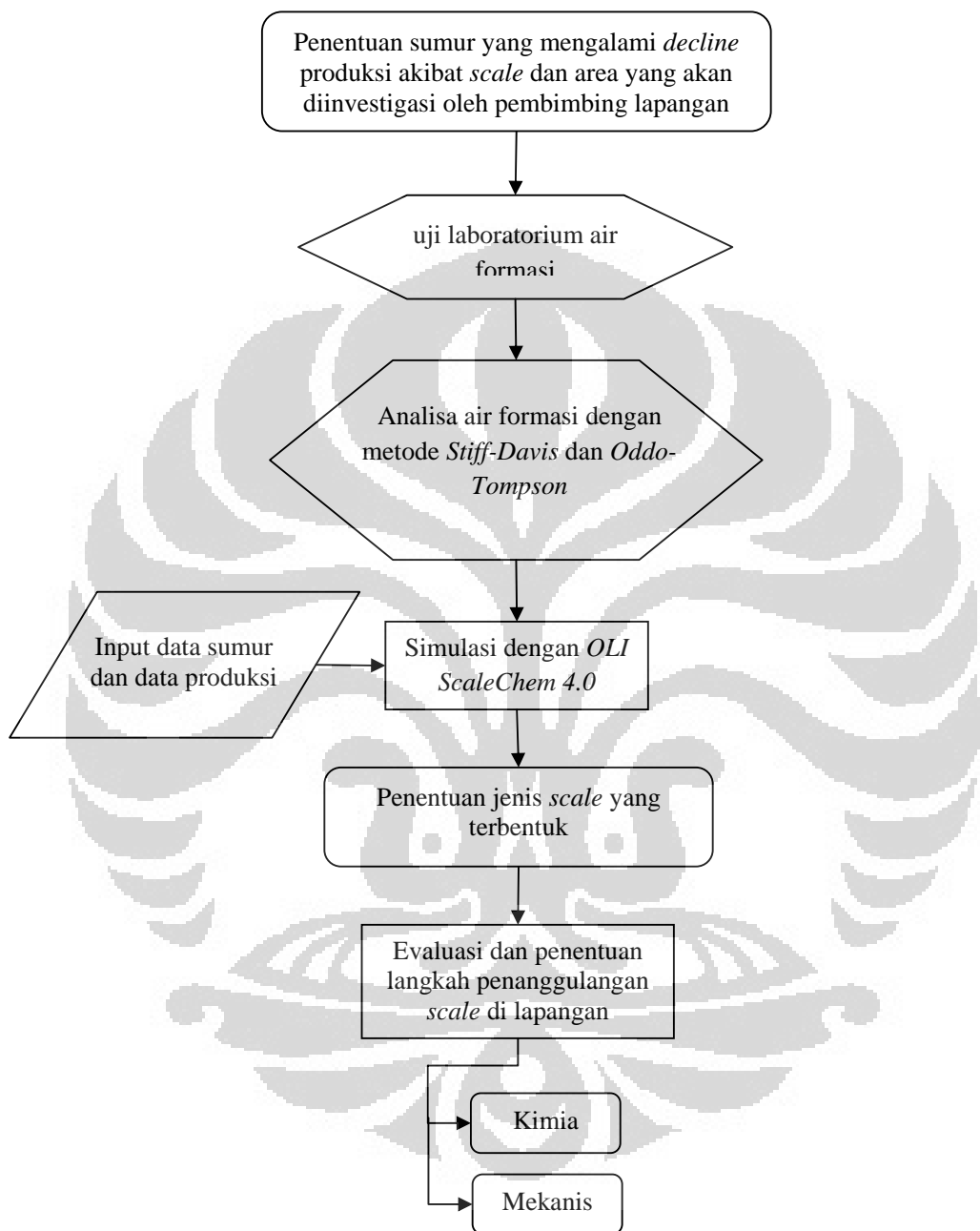
Dalam Bab 3 ini akan dibahas mengenai beberapa hal yang berhubungan dengan alur penelitian, diantaranya rancangan penelitian dan rincian kegiatan penelitian.

#### **3.1 Rancangan Penelitian**

Kegiatan penelitian terhadap perkembangan pembentukan *scale* yang mungkin terjadi di suatu sumur minyak, dapat dilakukan melalui tujuh tahapan berikut:

1. Investigasi data-data produksi dan *well history*  
Dengan melakukan investigasi data-data produksi dan *well history*, dapat dilakukan analisa penurunan kurva produksi dari suatu sumur minyak yang mengalami *decline* produksi akibat pengaruh *scale*.
2. Sampling air formasi dari sumur minyak yang mengalami *decline* produksi akibat *scale*. Kemudian dilakukan uji laboratorium untuk mengetahui kandungan ion apa saja yang dapat menyebabkan terbentuknya *scale*.
3. Analisa air formasi dengan menghitung *Scaling Index* (SI) dengan menggunakan metode *Stiff-Davis* dan *Ondo-Tompson*.
4. Simulasi dengan menggunakan *OLI ScaleChem 4.0* untuk memprediksi kondisi batas tekanan dan temperatur *growth scale* di suatu sistem sumur.
5. Melakukan tindakan preventif dengan menentukan limit tekanan dan temperatur operasi agar *decline* produksi akibat *scale* dapat diminimalisir.
6. Mengevaluasi metode penanggulangan *scale* yang telah diterapkan di lapangan.
7. Menentukan langkah penanggulangan dari *scale* yang terbentuk di lapangan ditinjau dari lokasi, jenis *scale*, dan metode yang digunakan.

Untuk lebih jelasnya, lima tahapan diatas beserta alurnya dapat dilihat pada Gambar 3.1 berikut.



**Gambar 3.1** Skema Penelitian Penanganan Problem *Scale* di Suatu Lapangan Minyak

## 3.2 Rincian Penelitian

### 3.2.1 Investigasi Data Produksi dan *Well History*

Tahap ini dilakukan oleh pihak perusahaan dengan mengumpulkan data-data produksi dan riwayat sumur di suatu lapangan minyak. Dari data yang ada, di analisa dan dilihat penurunan produksi yang terjadi akibat *scale* untuk nantinya dilakukan evaluasi terhadap metode penanggulangan *scale* dilapangan.

### 3.2.2 Uji Laboratorium Air Formasi

Dilakukan pengambilan sampel fluida reservoir dari dalam sumur yang terdiri dari air dan minyak dari sumur yang telah ditetapkan oleh petugas *sampling*. Air dengan kandungan mineral didalamnya yang dapat menyebabkan terbentuknya *scale* dipisahkan dari campurannya dengan minyak secara gravimetri. Berikut ini adalah prosedur pengambilan sampel.

#### 3.2.2.1 Prosedur Pengambilan Sampel

Satu hal yang menentukan keberhasilan dalam analisa air formasi adalah pemilihan dan pengambilan sampel air yang akan dianalisa. Penentuan sampel yang tidak representatif dalam mendeskripsikan sistem secara keseluruhan akan menggiring hasil analisa ke arah kesimpulan yang menyimpang atau bahkan bertentangan dengan kondisi yang sebenarnya. Selain itu keberhasilan juga dipengaruhi oleh keakuratan pengukuran, pengamatan dan penilaian terhadap obyek yang dianalisa.

Prosedur pengambilan sampel untuk analisa air formasi meliputi media penyimpanan sampel, volume sampel serta prosedur pengambilan serta kaitannya dengan jenis analisa yang dilakukan.

##### 1. Media Penyimpanan Sampel

Untuk media penyimpanan yang biasa digunakan adalah botol plastik dengan volume 500 ml yang disertai tutup. Jika sampel yang diambil digunakan untuk menganalisa kandungan minyak ataupun konsentrasi dari komponen yang berupa zat organik, sebaiknya digunakan botol gelas. Pada botol plastik, minyak ataupun zat-zat organik akan menempel atau bahkan terserap pada dinding botol. Untuk menyimpan sampel tidak boleh menggunakan tempat dari bahan logam baik untuk botol maupun tutupnya, karena akan menyebabkan terjadinya korosi dan air sampel akan terkontaminasi.

Pada prosedur pengambilan, botol diisi dengan air kemudian ditutup dengan rapat dan pastikan tutup botol tidak terlepas ataupun bocor. Selanjutnya label keterangan sampel ditempelkan pada botol (jangan pada tutupnya) sehingga sampel akan mudah dikenali. Diukur dan dicatat temperatur sampel yang diambil.

## 2. Volume Sampel

Pada dasarnya volume sampel disesuaikan dengan kebutuhan analisa, terutama untuk analisa ditempat secara personal. Akan tetapi untuk analisa di laboratorium, biasanya diambil sampel sejumlah 500 ml, dan untuk cadangan paling tidak 2,5 liter.

## 3. Prosedur Pengambilan

Pada umumnya sampel air diambil atau dialirkan melalui katup pengambilan sampel (*sampling valve*) melalui selang penghubung. Pada saat mengalirkan air kedalam botol diamati adanya perubahan warna air, jika terdapat perubahan warna, ditunggu sampai warna sampel konstan.

Berkaitan dengan jenis analisa, prosedur khusus yang dianjurkan adalah sebagai berikut :

### a. Sampel untuk Analisa Rutin

Dalam pengambilan sampel untuk analisa rutin, ujung selang sebaiknya ditempatkan pada bagian dasar dari botol dan setelah mencukupi, selang dicabut dengan perlahan dan botol secepatnya ditutup. Hal ini dimaksudkan untuk mengurangi kontaminasi oksigen serta meminimalkan menguapnya gas-gas terlarut dalam air.

### b. Sampel untuk Analisa Kandungan Minyak

Untuk menampung sampel digunakan botol gelas, dan air dialirkan langsung dari selang dan secepatnya botol ditutup. Selang atau penghubung sebaiknya juga terbuat dari gelas agar minyak tidak menempel pada dinding penghubung.

Selain prosedur diatas, beberapa hal yang harus diperhatikan dalam pengambilan sampel antara lain adalah sebagai berikut :

1. Sampel air formasi dipermukaan harus diambil dari *wellhead*, dan jangan mengambil sampel dari *heater-treater*, tangki ataupun peralatan permukaan yang lain setelah *wellhead*.
2. Sedangkan khusus untuk sampel pada tangki, se bisa mungkin diambil sampel dari beberapa bagian tangki, misalnya pada dasar tangki, tengah maupun pada bagian atas dari tangki.
3. Pengambilan sampel sebaiknya dilakukan pada sistem yang sedang berjalan secara normal, terutama laju alir dari fluida produksinya. Meskipun pengambilan sampel akan mudah pada sistem yang sedang dihentikan (*shutdown*), namun sampel yang tidak murni lagi berkaitan dengan kemungkinan terjadinya pengendapan dan sebagainya.
4. Jika sampel yang diambil diperkirakan berasal dari air injeksi, data-data sifat fisik, terutama turbiditas, konsentrasi oksigen terlarut serta populasi bakteri, harus diperbaharui. Pengambilan sampel ini dianjurkan dilakukan secara periodik untuk mengamati perubahan sifat-sifat tertentu yang memungkinkan untuk menganalisa pengaruh perubahan tersebut.

Setelah didapatkan sampel berupa air formasi, dilakukan uji laboratorium, dimana dicari kandungan ion yang terdapat pada air formasi tersebut dengan metode titrasi oleh praktikan (penulis). Analisa dengan menggunakan metode titrasi dilakukan dengan meneteskan larutan indikator (*titrant*) pada sampel air yang dianalisa. Penambahan *titrant* dilakukan sampai air sampel berubah warna, atau disebut juga ‘*end-point*’. Volume larutan indikator yang ditambahkan dicatat dan digunakan untuk menentukan volume zat yang terbentuk. Tabel 3.1 berikut ini menunjukkan jenis *titrant* berdasarkan komponen yang dianalisa serta indikator perubahan warna.<sup>[19]</sup>

**Tabel 3.1.** Larutan Titrasi dan Indikator Perubahannya<sup>[19]</sup>

Ions	Titrant	Indikator
$\text{CO}_3^{2-}$	$\text{H}_2\text{SO}_4$ atau $\text{HCl}$	<i>Phenolphthalein</i>
$\text{HCO}_3^-$	$\text{H}_2\text{SO}_4$ atau $\text{HCl}$	<i>Methyl Purple</i>
$\text{Ca}^{2+}$	EDTA	<i>Cal-Red, Calcon, Murexide</i>
$\text{Mg}^{2+}$	EDTA	<i>Eriochrome Black T</i>
$\text{Cl}^-$	$\text{AgNO}_3$ ( <i>Silver Nitrate</i> )	<i>Potassium Chromate</i>

Hasil dari analisa yang berupa konsentrasi berbagai komponen obyek analisis dapat dinyatakan dengan beberapa satuan, sebagai berikut :

1. Hasil dari analisa titrasi dinyatakan dalam mg / L dari masing-masing komponen.
2. Selain satuan diatas, hasil suatu analisa juga dapat dinyatakan secara khusus dengan satuan sebagai berikut :

a. meq/L

$$\text{dimana meq/L} = \frac{\text{mg / L}}{\text{berat ekivalen}}$$

b. Grains / US Gallon

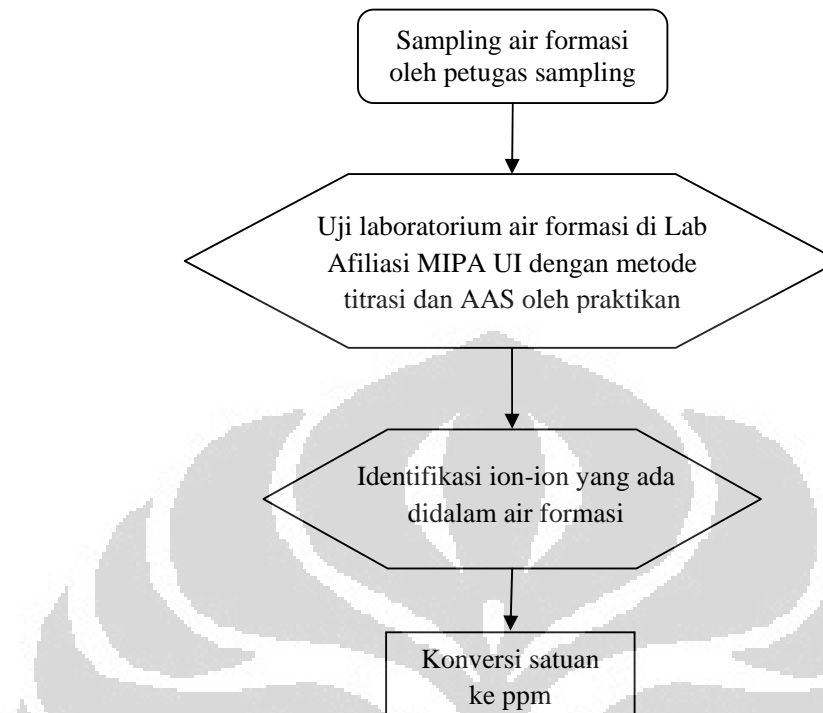
$$\text{dimana grn/US gal} = \frac{\text{mg / L}}{17,1}$$

c. ppm  $\text{CaCO}_3$

Satuan ini dihitung dengan mengalikan konsentrasi ion dengan perbandingan berat ekivalen  $\text{CaCO}_3$  dengan berat ekivalen ion tersebut. Sebagai contoh adalah sebagai berikut :

$$\begin{aligned}\text{ppm Ca}^{2+} - \text{CaCO}_3 &= \text{ppm Ca}^{2+} \times \frac{\text{berat ekivalen CaCO}_3}{\text{berat ekivalen Ca}^{2+}} \\ &= \text{ppm Ca}^{2+} \times \frac{50}{20} \\ &= 2,5 \text{ (ppm Ca}^{2+}).\end{aligned}$$

Untuk lebih jelasnya, input dan output yang akan diperoleh pada tahapan ini dapat dilihat pada Gambar 3.2 berikut.



Gambar 3.2 Skema Uji Laboratorium Air Formasi

### 3.2.3 Perhitungan Kelarutan Kecenderungan Scale

#### 3.2.3.1 Scale Kalsium Karbonat<sup>[16, 18]</sup>

Untuk memperkirakan kecenderungan pembentukan scale kalsium karbonat dapat dilakukan dengan menggunakan metode *Stiff-Davis*.

#### Metode Stiff-Davis

*Stiff-Davis* telah mengembangkan metode analisa air formasi untuk dapat digunakan pada air garam (*brine*), yaitu dengan cara memasukkan parameter kekuatan ion (*ionic strength*,  $\mu$ ), sebagai koreksi terhadap total konsentrasi garam dan temperatur. Persamaan yang digunakan untuk menentukan harga *ionic strength* adalah sebagai berikut<sup>[16]</sup> :

$$\mu = 0.5 \left( C_1 Z_1^2 + C_2 Z_2^2 + C_3 Z_3^2 + \dots + C_n Z_n^2 \right) \dots \quad (3.1)$$

dimana :

$C$  = konsentrasi ion, mol/1000 gram air.

$Z$  = valensi ion

Untuk mempermudah perhitungan *ionic strength*, dapat dibuat tabel faktor konversi untuk mengkonversikan hasil dari analisis contoh air formasi ke *ionic strength*, yang merupakan jumlah dari hasil perkalian antara masing-masing konsentrasi ion dengan faktor konversi. Besarnya faktor konversi masing-masing komponen ion dapat dilihat di Tabel 3.2.

**Tabel 3.2 Faktor Konversi Perhitungan *Ionic Strength*<sup>[18]</sup>**

<b>Ion</b>	<b>Faktor Konversi, <math>\mu</math></b>		
	<b>dari ppm</b>		<b>dari meq/L</b>
Na <sup>+</sup>	2,20	$\times 10^{-5}$	5,0 $\times 10^{-4}$
Ca <sup>2+</sup>	5,00	$\times 10^{-5}$	1,0 $\times 10^{-3}$
Mg <sup>2+</sup>	8,20	$\times 10^{-5}$	1,0 $\times 10^{-3}$
Fe <sup>3+</sup>	8,10	$\times 10^{-5}$	1,5 $\times 10^{-3}$
Cl <sup>-</sup>	1,40	$\times 10^{-5}$	5,0 $\times 10^{-4}$
HCO <sub>3</sub> <sup>-</sup>	0,82	$\times 10^{-5}$	5,0 $\times 10^{-4}$
SO <sub>4</sub> <sup>2-</sup>	2,10	$\times 10^{-5}$	1,0 $\times 10^{-3}$
CO <sub>3</sub> <sup>2-</sup>	3,30	$\times 10^{-5}$	1,0 $\times 10^{-3}$

Untuk memperkirakan kecenderungan pembentukan *scale* CaCO<sub>3</sub>, *Stiff* dan *Davis* menggunakan harga indeks stabilitas sistem (*stability index*, SI) berdasarkan persamaan sebagai berikut :

$$pHs = K - pCa - pAlk \quad \dots \dots \quad (3.2)$$

sehingga

$$SI = pH - (K - pCa - pAlk) \quad \dots \dots \quad (3.3)$$

dimana :

SI = *stability index*

pH = pH air sebenarnya

K = konstantan yang merupakan fungsi dari komposisi, salinitas dan temperatur air.

Harga K ini diperoleh dari grafik pada Gambar 3.3, yang merupakan grafik hubungan antara *ionic strength* dengan temperatur.

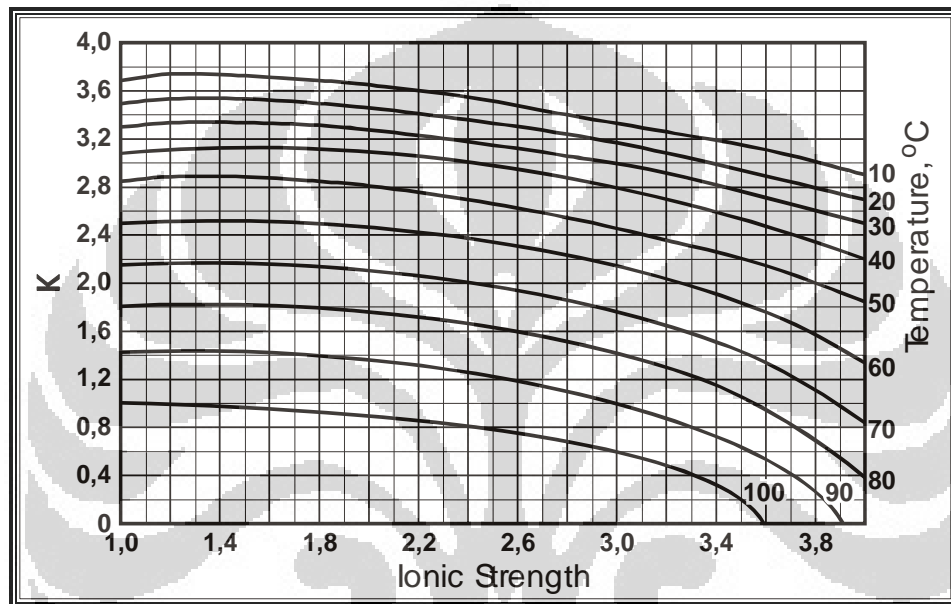
Sedangkan harga pCa dan pAlk ditentukan dengan menggunakan persamaan-persamaan sebagai berikut :

$$p\text{Ca} = \log \left( \frac{1}{\text{mol Ca}^{2+} / \text{liter}} \right) \quad \dots \dots \dots \quad (3.4)$$

$$\text{atau } p\text{Ca} = 4.5977 - 0.4327 \ln(\text{Ca}^{2+}) \quad \dots \dots \dots \quad (3.5)$$

$$\text{dan } p\text{Alk} = \log \left( \frac{1}{\text{equivalent total alkalinity/liter}} \right) \quad \dots \dots \dots \quad (3.6)$$

$$\text{atau } p\text{Alk} = 4.8139 - 0.4375 \ln(\text{CO}_3^{2-} + \text{HCO}_3^-) \quad \dots \dots \dots \quad (3.7)$$

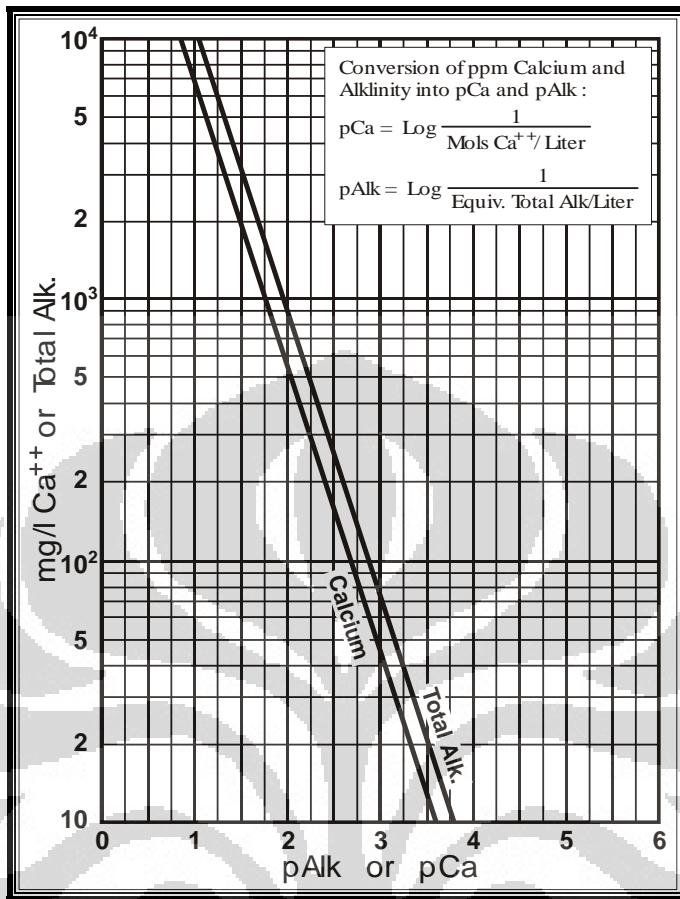


Gambar 3.3 Harga "K" pada berbagai Harga *Ionic Strength*<sup>[16]</sup>

Untuk menentukan harga SI dengan persamaan-persamaan diatas, maka terlebih dahulu harus diketahui data-data mengenai konsentrasi dari ion-ion  $\text{Na}^+$ ,  $\text{Ca}^{2+}$ ,  $\text{Mg}^{2+}$ ,  $\text{Cl}^-$ ,  $\text{CO}_3^{2-}$ ,  $\text{HCO}_3^-$  dan  $\text{SO}_4^{2-}$ , serta pH dan temperatur air.

Besarnya harga K tergantung pada temperatur dan konsentrasi total garam dan air. Pada kondisi dimana air dalam keadaan setimbang dengan kalsium karbonat, maka harga K dapat diketahui dengan menentukan pH kalsium dan alkalinitasnya. Terdapatnya kandungan garam terlarut yang berbeda akan mempengaruhi harga K. Pada air tawar, pengaruh ini dapat diabaikan, akan tetapi dalam air garam, khususnya air formasi, pengaruh ini harus diperhitungkan, yaitu dengan memasukkan parameter *ionic strength* sebagai koreksi terhadap total konsentrasi garam dan temperatur.

Selain perhitungan dengan menggunakan Persamaan (3.5) sampai Persamaan (3.7), harga  $p\text{Ca}$  dan  $p\text{Alk}$  dapat ditentukan dengan grafik pada Gambar 3.4.



Gambar 3.4 Grafik Penentuan Harga pCa dan pAlk [16]

Metode *Stiff-Davis* akan memberikan hasil yang maksimal apabila data pH air yang digunakan merupakan data yang akurat.

Perkiraan kecenderungan pembentukan *scale* kalsium karbonat ditentukan berdasarkan harga SI dengan ketentuan sebagai berikut :

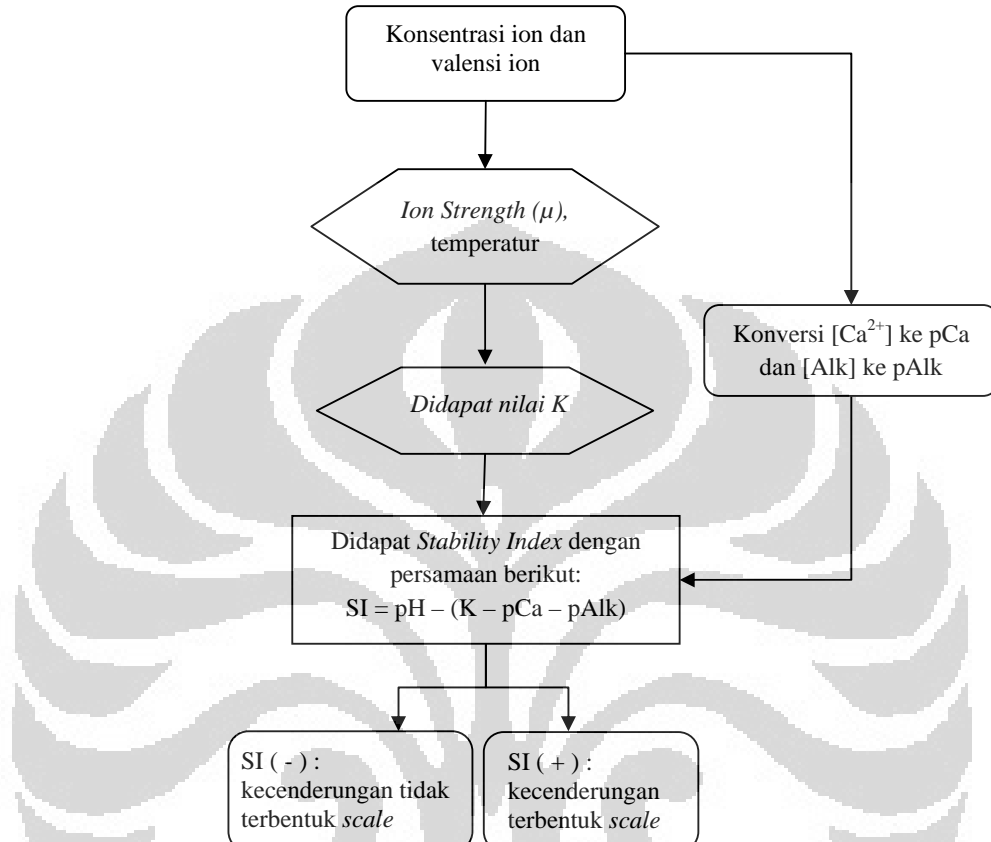
- Jika  $SI < 0$  (negatif), maka sistem tidak terjenuhi oleh  $CaCO_3$  dan *scale* cenderung tidak terbentuk.
- Jika  $SI > 0$  (positif), maka sistem telah terjenuhi oleh  $CaCO_3$  dan terdapat kecenderungan pengendapan *scale*.
- Jika  $SI = 0$  (negatif), maka sistem berada pada titik jenuh (*saturation point*), dan *scale* tidak akan terbentuk. Pada kondisi ini Persamaan 3.3 akan berubah menjadi

$$pH - pCa - pAlk - K = 0 \quad \dots \dots \dots \quad (3.8)$$

sehingga

$$K = pH - pCa - pAlk \quad \dots \dots \dots \quad (3.9)$$

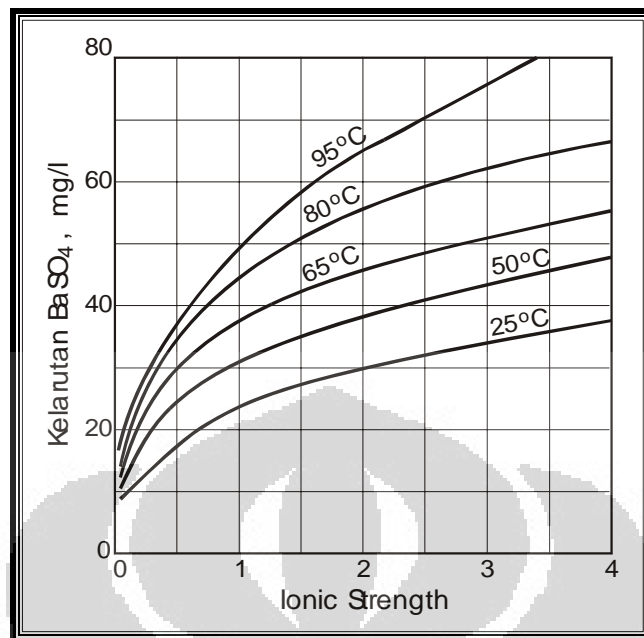
Dibawah ini adalah langkah-langkah yang dilakukan pada tahapan penentuan *Stability Index* dengan menggunakan metode *Stiff-Davis* yang dapat dilihat pada Gambar 3.5 berikut.



**Gambar 3.5** Skema Langkah Analisa Scale Tendency  $\text{CaCO}_3$  dengan Metode *Stiff-Davis*

### 3.2.3.2 Scale Barium Sulfat, Kalsium Sulfat dan Jenis Scale Lainnya <sup>[13], [14], [16]</sup>

Perkiraan terhadap kecenderungan terbentuknya *scale* barium sulfat dapat dilakukan terhadap air yang mengandung dominasi ion natrium dan klorida, serta sedikit magnesium ataupun calcium, dengan menggunakan grafik untuk larutan natrium klorida, seperti yang terlihat pada Gambar 3.6. Meskipun demikian, barium sulfat merupakan senyawa yang bersifat sukar larut, sehingga keberadaan ion  $\text{Ba}^{2+}$  dan ion  $\text{SO}_4^{2-}$  dalam air sudah dapat digunakan sebagai indikator terbentuknya *scale* barium sulfat.



**Gambar 3.6.** Grafik Kelarutan Barium Sulfat Pada Larutan Natrium Klorida<sup>[16]</sup>

### Metode *Oddy- Thompson*

Untuk mencari kecenderungan pembentukan *scale* barium sulfat dan jenis *scale* lainnya juga dapat dilakukan dengan menggunakan metode *Oddy-Tompson* yang merupakan penyempurnaan dari metode lainnya. Besarnya harga pH suatu sistem larutan, terutama pada air, dipengaruhi oleh adanya kandungan gas  $\text{CO}_2$  yang merupakan fungsi dari tekanan. Hal ini juga akan berpengaruh terhadap perhitungan kecenderungan pembentukan *scale*. Selain hal tersebut masih ada beberapa faktor yang berpengaruh terhadap perhitungan *scaling index*. Faktor-faktor tersebut antara lain adalah sebagai berikut<sup>[16]</sup> :

- Variasi persen mol  $\text{CO}_2$  terhadap perbandingan tekanan gas dari volume total gas, air formasi dan minyak yang terproduksi setiap harinya.
- Kompresibilitas gas tertentu pada volume gas total yang terproduksi ( $\text{CO}_2$  pada volume gas total).
- Parameter sistem dibawah permukaan, diantaranya : aliran, komposisi mineral reservoir dan kondisi reservoir.

Metode *Oddy-Tompson* merupakan penyempurnaan dari metode perhitungan sebelumnya dengan memasukkan pertimbangan adanya faktor-faktor seperti tersebut diatas. Keberadaan kandungan gas yang terlarut didalam air formasi dan minyak serta terjadinya perubahan kondisi, yang berupa penurunan tekanan dan bertambahnya temperatur, pada saat

fluida mengalir dari formasi menuju lubang sumur sampai ke permukaan akan mempengaruhi dalam perhitungan *Saturation Index* seperti dibawah ini<sup>[13]</sup>:

$$Is = \log \left[ \frac{[cation][anion]}{K_C} \right] \dots \dots \dots \quad (3.10)$$

Dimana:  $Is = Saturation Index$

[ ] = konsentrasi molar dalam satuan mol/liter

$K_c$  = Tetapan kesetimbangan kondisional, dengan persamaan seperti dibawah ini:

$$-\log(K_c) = a + bT + cT^2 + dP + e\mu^{0.5} + f\mu^{1.5} + hT\mu^{0.5} \dots \quad (3.11)$$

Dimana :

T = temperatur ( $^{\circ}\text{F}$ ),

**P** = tekanan (Psi)

$\mu$  = ion strength (mol/L)

Dengan nilai dari variabel-variabel diatas berbeda-beda pada jenis *scale*, diantaranya seperti pada Tabel 3.3 berikut:

**Table 3.3.** Daftar Konstanta Kesetimbangan Kondisional pada Berbagai Jenis Scale<sup>[14]</sup>

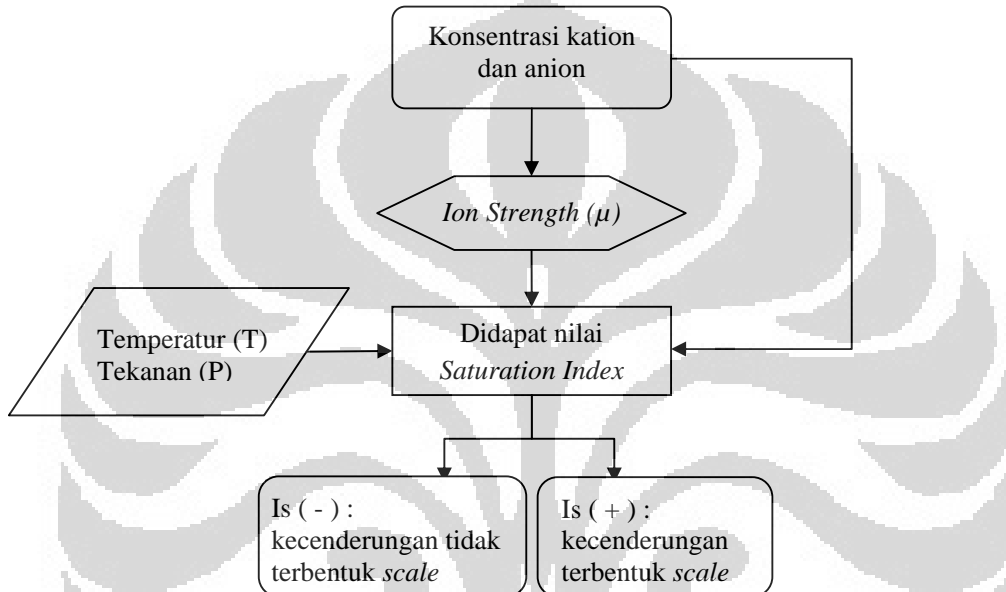
Konstanta (K <sub>c</sub> )	a	b	c	d	e	f	G	h
CaCO <sub>3</sub> (kalsit)	7,981	4,820 x 10 <sup>-3</sup>	11,183 x 10 <sup>-6</sup>	-6,973 x 10 <sup>-5</sup>	-2,725	1,183	-0,1207	-2,904 x 10 <sup>-4</sup>
BaSO <sub>4</sub> (Barit)	10,147	-4,946 x 10 <sup>-3</sup>	11,650x10 <sup>-6</sup>	-5,315x10 <sup>-5</sup>	-4,003	2,787	-0,619	-1,850 x 10 <sup>-3</sup>
SrSO <sub>4</sub> (celestit)	6,090	2,237 x10 <sup>-3</sup>	5,739x10 <sup>-6</sup>	-4,197x10 <sup>-5</sup>	-2,082	0,944	-8,650x10 <sup>-2</sup>	-1,873x10 <sup>-3</sup>
Gypsum	3,599	-0,266x10 <sup>-3</sup>	9,029x10 <sup>-6</sup>	-5,586x10 <sup>-5</sup>	-0,847	5,240x10 <sup>-2</sup>	8,520x10 <sup>-2</sup>	-2,090x10 <sup>-3</sup>
Hemihidrat	4,053	-1,792x10 <sup>-3</sup>	11,400x10 <sup>-6</sup>	-7,070x10 <sup>-5</sup>	-1,734	-0,562	-2,170x10 <sup>-2</sup>	-6,436x10 <sup>-4</sup>
CaSO <sub>4</sub> (Anhidrat)	2,884	9,327x10 <sup>-3</sup>	0,188x10 <sup>-6</sup>	-3,4x10 <sup>-5</sup>	-1,994	1,267	-0,190	3,195x10 <sup>-3</sup>

Perkiraan kecenderungan pembentukan *scale* dengan metode *Oddo-Tompson* ditentukan berdasarkan harga Is dengan ketentuan sebagai berikut<sup>[13]</sup> :

- Jika  $Is$  berharga negatif,  $scale$  cenderung tidak terbentuk.

- Jika  $Is$  berharga positif, maka air diatas kejemuhan dan mengindikasikan terbentuknya *scale*.
- Jika  $Is$  sama dengan nol, maka air pada titik kejemuhan dan tidak terbentuk *scale*.

Dibawah ini adalah langkah-langkah yang dilakukan pada tahapan penentuan *Index Saturation* dengan menggunakan metode *Oddo-Tompson* yang dapat dilihat pada Gambar 3.7 berikut.

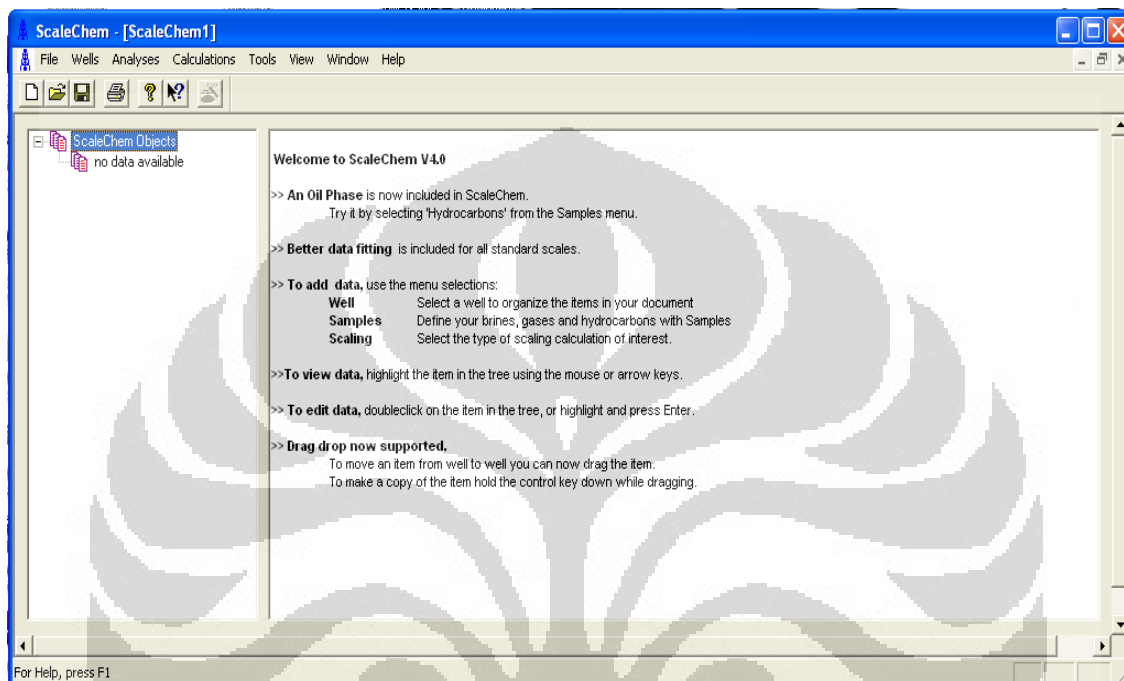


**Gambar 3.7** Skema Langkah Analisa *Scale Tendency* dengan Metode *Oddo-Tompson*

Harga *Scaling Index* pada metode *Stiff-Davis (SI)* dan *Oddo-Tompson (Is)* didapatkan berdasarkan tingkat kestabilan dan kelarutan suatu senyawaan dari ion-ion di dalam sistem air. Air mempunyai batas kemampuan dalam menjaga senyawa ion-ion tersebut tetap dalam larutan, sehingga pada kondisi tekanan dan temperatur tertentu, dimana harga kelarutan terlampaui, maka senyawa tersebut tidak akan terlarut lagi, melainkan terpisah dari pelarutnya dalam bentuk padatan. Harga *Scaling Index* yang didapatkan pada masing-masing metode menunjukkan kecenderungan suatu senyawaan presipitan yang mungkin terbentuk pada suatu kondisi operasi yang terjadi di lapangan. Untuk selanjutnya, harga *Scaling Index* yang didapatkan pada metode *Stiff-Davis* dibandingkan dengan metode *Oddo-Tompson* dan dilihat seberapa besar kecenderungan pembentukan *scale* di lapangan.

### 3.2.4. Prediksi Scale Dengan Menggunakan Software

Dalam memprediksi pengendapan *scale*, dapat pula digunakan program simulasi salah satunya adalah *OLI ScaleChem*. Pada tugas akhir ini *software* yang digunakan sebagai alat bantu adalah *OLI ScaleChem 4.0* seperti pada Gambar 3.8.



Gambar 3.8. Main Window Scalechem

#### 3.2.4.1 Simulasi Scaling Tendency dengan Menggunakan ScaleChem<sup>[13]</sup>

*Scalechem* pertama kali dikembangkan oleh *Shell Oil* untuk membantu operator mereka untuk menjaga dan mengatur laju alir operasi produksi minyak dan gas bumi dengan kandungan mineral air yang dapat menyebabkan masalah *scaling*. Perangkat ini merupakan alat yang memudahkan untuk mempelajari mineral air formasi terhadap masalah *scale* dan solusi atas berbagai kondisi yang diamati dalam proses eksplorasi produksi pada industri minyak di seluruh dunia.

*ScaleChem* mampu melakukan prediksi pembentukan *scale* sampai dengan 600°F (315°C) dengan 22.000 dan 700.000 ppm TDS. Jadi, hampir semua operasi produksi dapat dimodelkan.

*Software* ini memodelkan lingkungan air untuk memprediksi spesies distribusi dari berbagai model kimia di dalam air. Model kimia yang ada meliputi fasa uap, fasa cair, dan

sejumlah fasa padat. Fasa cair berisi semua elemen yang terkandung dalam air (kation, anion), fasa uap terdiri dari H<sub>2</sub>S, CO<sub>2</sub>, CH<sub>4</sub>, dan fasa padat mengandung sebagian besar *scale*, diantaranya anhidrit CaSO<sub>4</sub>, barit BaSO<sub>4</sub>, kalsit CaCO<sub>3</sub>, gipsum CaSO<sub>4</sub>.2H<sub>2</sub>O, siderit FeCO<sub>3</sub>, besi sulfida FeS, halit NaCl, celestit SrSO<sub>4</sub>, dan lainnya.

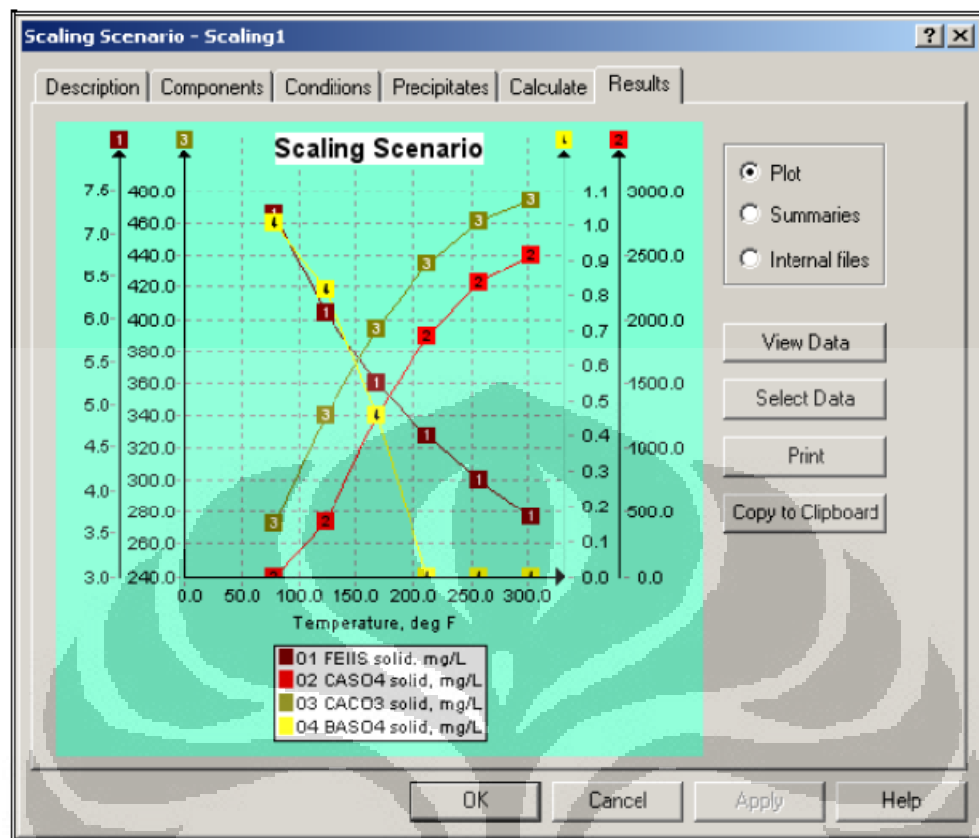
*Software* ini memerlukan dua jenis analisa, yaitu *brine* (air formasi), dan gas. Setiap jenis analisa harus saling berhubungan. *Brine* yang digunakan bisa merupakan air permukaan, injeksi air, air formasi, air produksi, ataupun lainnya. Komposisi *brine* yang dimasukkan adalah konsentrasi ion yang terkandung didalamnya. Selain itu, pH air, densitas, dan alkalinitas juga ditentukan<sup>[10]</sup>.

### 3.2.4.2 Simulasi *OLI ScaleChem 4.0*

Simulasi prediksi pembentukan *scale* dimulai dengan memasukkan data sumur dan kondisi fluida reservoir diantaranya adalah:

1. Konsentrasi kation dan anion yang terdapat pada air formasi
2. pH air formasi
3. Kedalaman sumur
4. Tipe batuan
5. Produksi minyak, gas dan air
6. *Temperature*, baik BHT maupun WHT
7. *Pressure*, baik BHP maupun WHP
8. Kandungan CO<sub>2</sub> dan H<sub>2</sub>S

Hasil *running software* tersebut menghasilkan suatu data *scaling index* dan prediksi perkembangan pembentukan *scale* dari suatu sumur pada temperatur dan tekanan tertentu seperti ditunjukkan pada Gambar 3.9 dibawah ini.



Gambar 3.9 Hasil Scale Prediction Pada Berbagai Tekanan dan Temperatur Operasi

Dengan diketahuinya nilai *scaling index* pada tekanan dan temperatur tertentu, dapat diperkirakan pada rentang tekanan dimana *scale* tidak terbentuk atau dapat diminimalisir pembentukan *scale* dalam suatu sistem sumur. Selain itu, besar konsentrasi dan *scale growth* yang ada dapat dicari besar ketebalan *scale* yang mungkin terjadi pada tubing maupun sistem perpipaan.

## **BAB 4**

### **HASIL PENELITIAN DAN PENGOLAHAN DATA**

Permasalahan *scale* pada lapangan Limau-Sumatera Selatan dipengaruhi oleh jenis batuan, kandungan ion-ion dalam air formasi, perubahan tekanan dan temperatur. Pada lapangan Limau, sebagian besar sumurnya berproduksi dengan bantuan *Electric Submersible Pump* (ESP) dan *gas lift* dengan tipe batuan karbonat (*sandstone*). Mekanisme pembentukan kristal-kristal pembentuk *scale* berhubungan dengan sejumlah ion-ion yang terlarut didalam air formasi, sedangkan kecepatan pembentukan *scale* dipengaruhi oleh kondisi sistem air formasi, pH, tekanan, dan temperatur.

Adanya endapan *scale* mengakibatkan pengecilan *inside diameter* (ID) baik pada lubang perforasi, *tubing*, maupun *flowline* yang dapat menghambat aliran produksi atau volume aliran fluida selama proses produksi. Sedangkan pada lubang perforasi atau matriks batuan formasi, endapan *scale* akan menyumbat aliran fluida dan menurunkan permeabilitas reservoir. Pembentukan endapan *scale* terjadi pada bidang-bidang yang bersentuhan secara langsung dengan air formasi selama proses produksi, seperti pada matriks batuan formasi, lubang perforasi, rangkaian pipa produksi maupun pada pompa ataupun *gas lift* dalam sumur (*downhole equipment*), hingga *flowline* dan peralatan fasilitas produksi di pemukaan (*surface facilities*).

Dari serangkaian kegiatan penelitian yang dilakukan, diketahui bahwa dari sekian banyak sumur minyak yang terdapat di lapangan minyak Unit Bisnis Pertamina EP (UBEP) Limau, hanya beberapa sumur yang dibahas oleh penulis terkait penanggulangan problem *scale* di lapangan. Berikut adalah sumur-sumur yang akan dievaluasi.

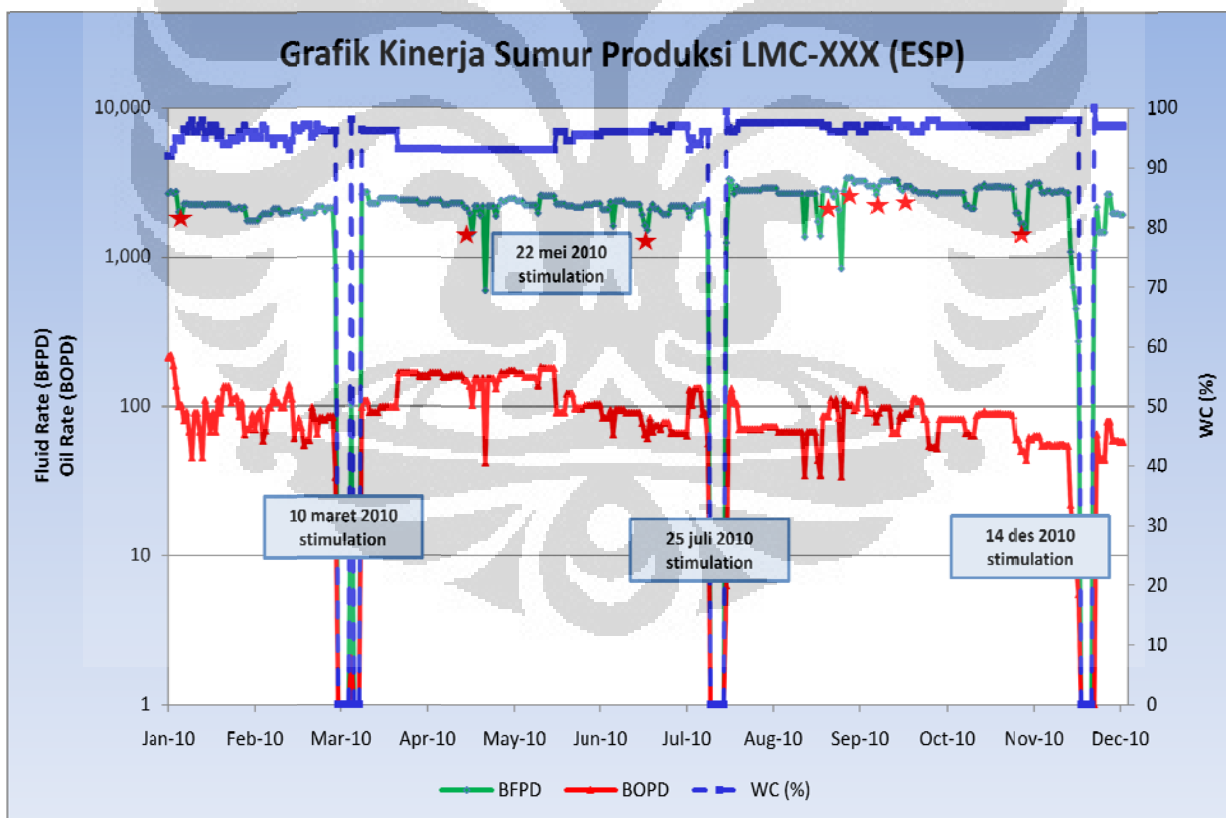
**Tabel 4.1.** Kandidat Sumur Produksi Lapangan Limau yang Dievaluasi

No.	Nama Sumur	Area	Teknologi Produksi
1.	Sumur LMC-XXX	Niru	ESP
2.	Sumur L5A-YYY	Niru	ESP
3.	Sumur L5A-ZZZ	Niru	ESP
4.	Sumur L5A-RRR	Seksi Q-51	ESP
5.	Sumur L5A-GGG	Seksi Q-51	Gas Lift

Dibawah ini adalah data-data yang penulis peroleh dan dibutuhkan untuk menganalisis dan mengkaji lebih lanjut mengenai metode penanggulangan problem *scale* yang diterapkan di lapangan.

#### 4.1. Data Produksi Tiap Sumur

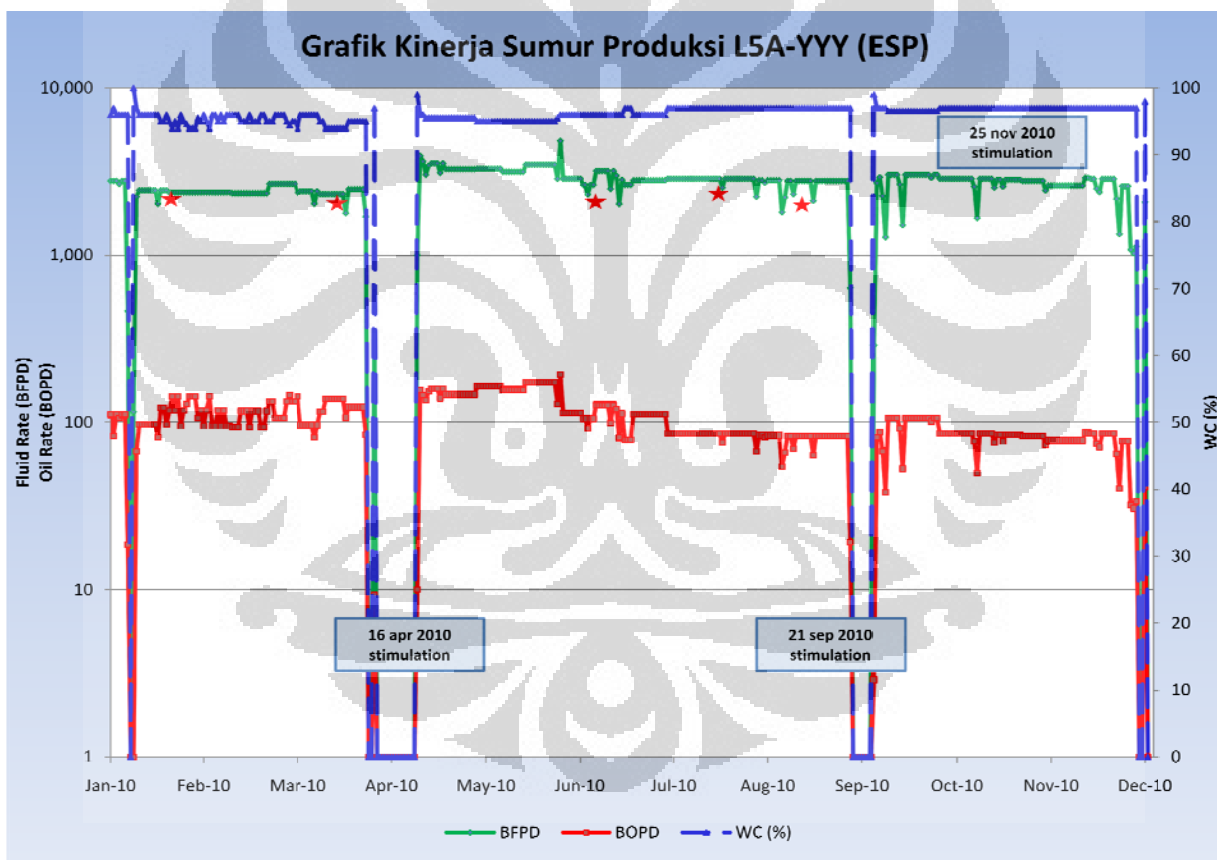
Berikut adalah data produksi masing-masing sumur minyak yang dievaluasi dan dianalisis permasalahan *scalenya* dalam rentang periode waktu selama 1 (satu) tahun. Data produksi pada tiap sumur dapat dilihat pada Lampiran A.1. hingga Lampiran A.5. dengan data grafik ditampilkan pada gambar dibawah ini pada masing-masing sumur dengan keterangan yang terdapat pada gambar, sehubungan waktu pelaksanaan *acidizing* baik di sumur maupun *acid wash* pada *flowline*. Injeksi *acid* di *flowline* pada gambar, ditandai dengan bintang berwarna merah, sedangkan *acidizing* pada sumur ditandai dengan keterangan waktu yang tertera di Gambar.



**Gambar 4.1.** Grafik Kinerja Produksi Sumur LMC-XXX

Pada sumur produksi LMC-XXX dilakukan *lifting* dengan menggunakan *Electric Submersible Pump* (ESP) dengan laju fluida produksi berkisar antara 1500 BFPD hingga 3200 BFPD dengan laju minyaknya sebesar 40 BOPD hingga 180 BOPD. Laju alir fluida rata-rata sebesar 2.247 BFPD. Selama 1 (satu) tahun terakhir, dilakukan stimulasi berupa *acidizing* pada sumur minyak sebanyak 4 (empat) kali pada tanggal 10 Maret 2010, 22 Mei 2010, 25 Juli 2010, dan 14 Desember 2010. Selain itu, dilakukan 8 (delapan) kali injeksi *acid* pada *flowline* sebagai langkah penanggulangan *scale* baik pada sumur maupun *flowline*.

Injeksi *acid* pada *flowline* biasanya dilakukan jika di lapangan ditemukan padatan *scale* ataupun pada peralatan permukaan yang macet akibat adanya padatan *scale* diantara sambungan, baik pada *wellhead* maupun di *flowline*.



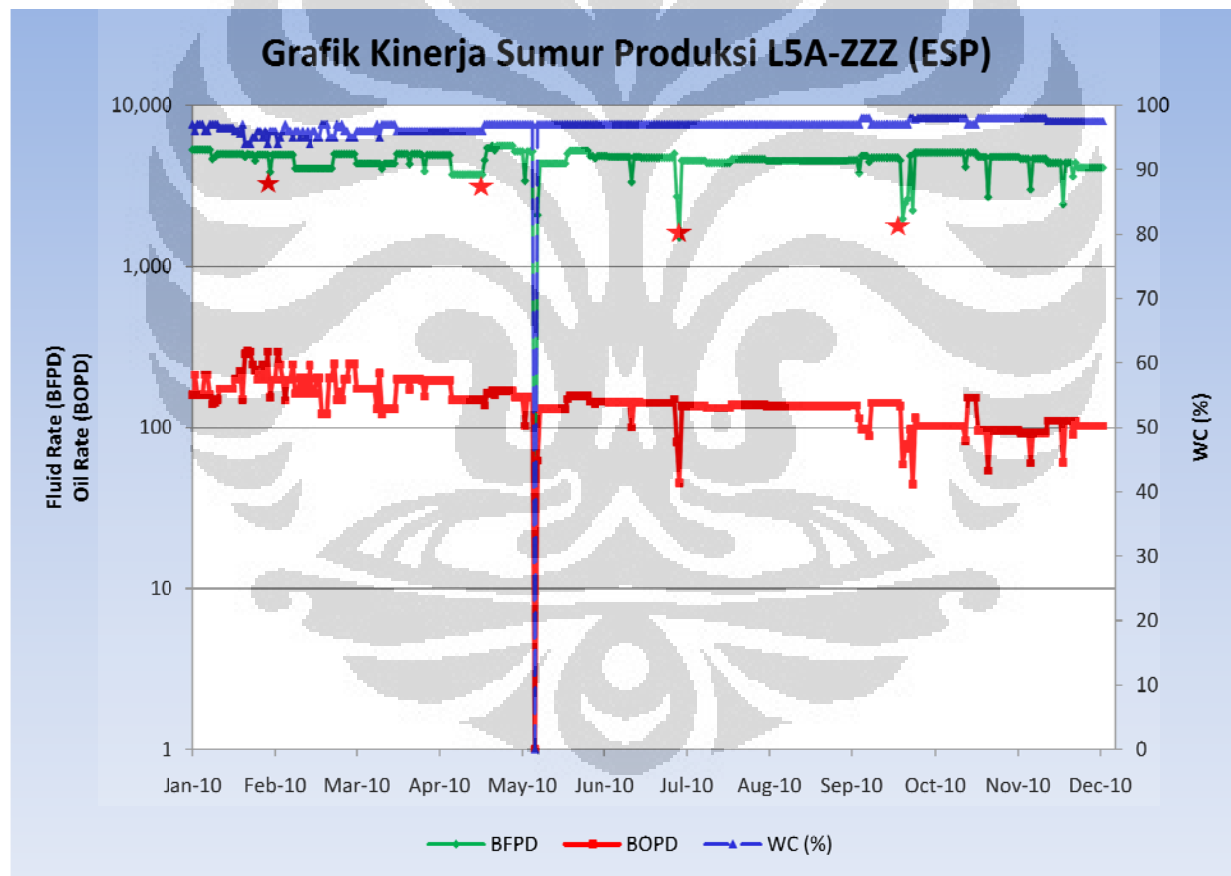
**Gambar 4.2.** Grafik Kinerja Produksi Sumur L5A-YYY

Pada sumur produksi L5A-YYY dilakukan *lifting* dengan menggunakan *Electric Submersible Pump* (ESP) dengan laju fluida produksi berkisar antara 2.300 BFPD hingga 3.500 BFPD dengan laju minyaknya sebesar 40 BOPD hingga 180 BOPD. Laju alir fluida

rata-rata sebesar 2.499 BFPD. Selama 1 (satu) tahun terakhir, dilakukan stimulasi berupa *acidizing* pada sumur minyak sebanyak 3 (tiga) kali dan 5 (lima) kali injeksi *acid* pada *flowline* dalam rangka penanggulangan *scale*.

Pada tanggal 5 April 2010 adanya *scale* pada sumur L5A-YYY menyebabkan pompa ESP *stuck* sehingga tidak dapat bekerja dan produksi terhenti. Dengan matinya pompa ESP, perlu dilakukan *maintenance* pada pompa tersebut dan tindakan berupa *acidizing* pada sumur yang membutuhkan waktu sekitar 13 hari.

Injeksi *acid* pada *flowline* biasanya dilakukan jika di lapangan ditemukan padatan *scale* ataupun pada peralatan permukaan yang macet akibat adanya padatan *scale* diantara sambungannya, baik pada *wellhead* maupun di *flowline*.

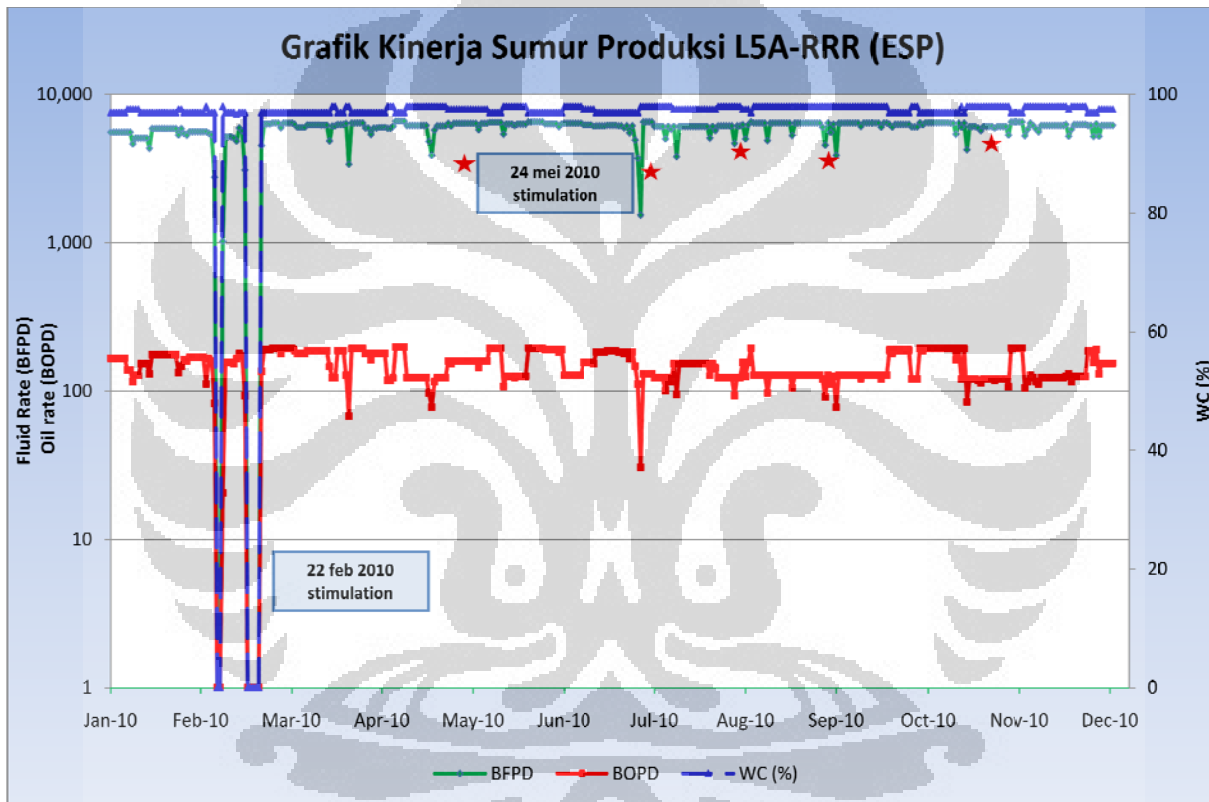


Gambar 4.3. Grafik Kinerja Produksi Sumur L5A-ZZZ

Pada sumur produksi L5A-ZZZ dilakukan *lifting* dengan menggunakan *Electric Submersible Pump* (ESP) dengan laju fluida produksi berkisar antara 3.750 BFPD hingga

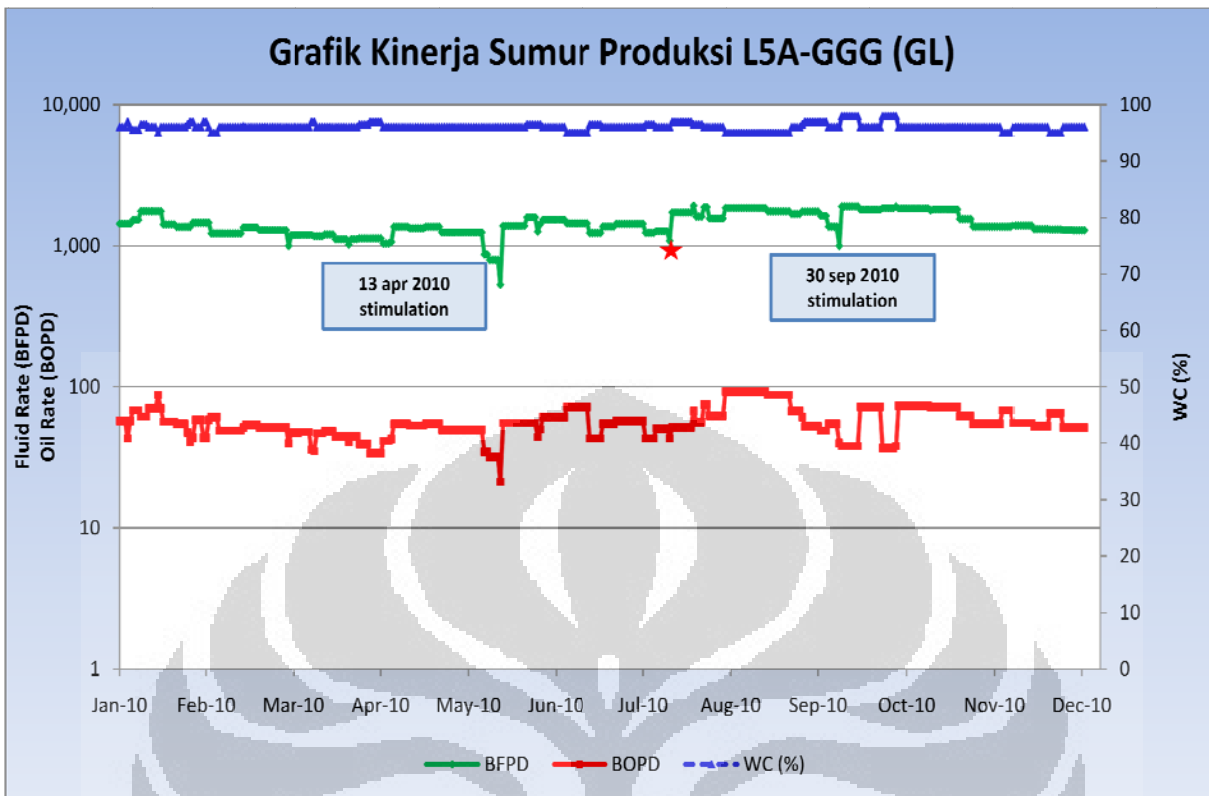
5.500 BFPD dengan laju minyaknya sebesar 44 BOPD hingga 290 BOPD. Laju alir fluida rata-rata sebesar 4.586 BFPD. Selama 1 (satu) tahun terakhir, tidak dilakukan stimulasi dan hanya dilakukan injeksi *acid* sebanyak 4 (empat) kali pada *flowline* dengan tujuan menanggulangi masalah *scale* tersebut.

Dari grafik produksi, diketahui bahwa hasil produksi pada sumur L5A-ZZZ cenderung stabil, sehingga sebagian besar penanganan *scale* hanya dilakukan di *flowline* setiap ±2,5 bulan sekali.



**Gambar 4.4.** Grafik Kinerja Produksi Sumur L5A-RRR

Pada sumur produksi L5A-RRR dilakukan *lifting* dengan menggunakan *Electric Submersible Pump* (ESP) dengan laju fluida produksi berkisar antara 5000 BFPD hingga 6500 BFPD dengan laju alir minyak sebesar 100 BOPD hingga 198 BOPD. Laju alir fluida rata-rata sebesar 4.586 BFPD. Selama 1 (satu) tahun terakhir, dilakukan stimulasi berupa *acidizing* pada sumur minyak sebanyak 2 (dua) kali dan 5 (lima) kali injeksi *acid* pada *flowline* dalam rangka penanggulangan *scale*.



Gambar 4.5. Grafik Kinerja Produksi Sumur L5A-GGG

Pada sumur produksi L5A-GGG dilakukan *lifting* secara *gas lift* dengan laju fluida produksi berkisar antara 1100 BFPD hingga 1850 BFPD dengan laju minyaknya sebesar 40 BOPD hingga 90 BOPD. Laju alir fluida rata-rata sebesar 1.451 BFPD. Selama 1 (satu) tahun terakhir, dilakukan stimulasi berupa *acidizing* pada sumur minyak sebanyak 2 (dua) kali dan 1 (satu) kali injeksi *acid* pada *flowline* dengan tujuan menanggulangi *scale* di sumur maupun di *flowline*.

#### 4.2. Kondisi Operasi Produksi Minyak Bumi

Pada proses produksi minyak bumi, diketahui tekanan dan temperatur operasi selama sumur berproduksi. Berikut ini adalah kondisi pengoperasian produksi minyak bumi pada masing-masing sumur dengan tekanan dan temperatur tertentu.

**Tabel 4.2.** Data Kondisi Operasi Produksi Sumur Minyak

No.	Sumur	Tekanan (Psi)					Temperatur (°C)	
		PBHP	CHP	THP	FLP	SEP	ambient	DHT
1	LMC-XXX	765	190	190	190	40	>50	114
2	L5A-YYY	417,6	95	95	95	50	>50	106
3	L5A-ZZZ	830,6	150	150	150	50	>50	111
4	L5A-RRR	1.313,4	180	180	180	56	>50	105
5	L5A-GGG	-	530	120	120	56	>50	105

Keterangan:

PBHP : *Production Bottom Hole Pressure*

FLP : *Flowline Pressure*

CHP : *Casing Head Pressure*

SEP : *Separator Pressure*

THP : *Tubing Head Pressure*

DHT : *Downhole Temperature*

Pemeriksaan tekanan pada tiap unit dan bagian yang berhubungan pada proses produksi sangat penting dilakukan untuk mengetahui seberapa besar penurunan tekanan yang terjadi, dan kemampuan suatu sumur untuk berproduksi. Selain itu, tekanan dan temperatur sangat erat kaitannya dengan pembentukan *scale* maupun deposit-deposit organik pada sistem perpipaan. Sehingga dengan informasi tekanan dan temperatur tersebut, dapat diketahui kecenderungan *scale* yang mungkin terbentuk mulai dari *near-wellbore* hingga *flowline*.

Namun, pengukuran dan pendataan tekanan pada *flowline* masih jarang untuk dilakukan secara berkala, terutama sebelum dan sesudah pelaksanaan *acid wash* pada *flowline*, sehingga untuk mengevaluasi keberhasilannya agak sulit untuk dilakukan.

### 4.3. Data Scale Pada Lapangan Limau-Sumatera Selatan

#### 4.3.1. Data Air Formasi

Data air formasi yang didapatkan berasal dari analisis laboratorium Pertamina EP Region Sumatra, penulis, maupun vendor dari Unit Bisnis Pertamina EP (UBEP) Limau. Data ini memberikan sejumlah hasil analisis kandungan kation dan anion air formasi yang diambil dari beberapa sumur di Lapangan Limau seperti ditunjukkan pada Tabel 4.3 dengan hasil perhitungan *Scaling Index* dari Lampiran B dapat dilihat pada Tabel 4.4 berikut ini.

**Tabel 4.3.** Hasil Analisis Laboratorium Air Formasi

No.	Parameter	Satuan	Hasil Analisis Sumur				
			LMC-XXX	L5A-YYY	L5A-ZZZ	L5A-RRR	L5A-GGG
1.	TDS	mg/L	19.890	19.300	12.400	19.040	11.600
2.	Density	g/L	1,0141	1,0134	1,0210	1,0119	1,0160
3.	Fe	mg/L	0,01	0,31	0,71	0,95	0,81
4.	Na	mg/L	7.177,5	6.685	7.024,59	7.035	4.685,48
5.	Ca	mg/L	413	109,9	80	131,4	180
6.	Mg	mg/L	28,7	27,1	72,96	31,8	48,64
7.	K	mg/L	242,9	120,2	213	150,6	89
8.	Ba	mg/L	1,16	23,6	17,3	28,7	11,1
9.	Sr	mg/L	1,11	94,83	33,9	90,33	25,8
10.	C <sup>l-</sup>	mg/L	9.984,19	9.907,5	9.743,15	10.102,72	6.097,48
11.	SO <sub>4</sub> <sup>2-</sup>	mg/L	45,35	3,3	0	20,93	0
12.	CO <sub>3</sub> <sup>2-</sup>	mg/L	606	1.247,35	90	828,3	270
13.	HCO <sub>3</sub> <sup>-</sup>	mg/L	739,32	1.521,77	2.318	1.022,73	2.196
14.	pH	-	9	9,2	8,18	8,9	7,967
15.	R	Ω	63,21	62,7	0,33	62,46	0,49

**Tabel 4.4.** Hasil Perhitungan *Scaling Index* pada Tiap Sumur

No.	Nama Sumur	Metode Stiff-Davis (SI)	Metode Oddo Tompson (Is)					
			CaCO <sub>3</sub>	CaCO <sub>3</sub>	BaSO <sub>4</sub>	SrSO <sub>4</sub>	CaSO <sub>4</sub> .2H <sub>2</sub> O	CaSO <sub>4</sub> .1/2H <sub>2</sub> O
1.	LMC-XXX	5,25	4,8434	-1,3001	-3,07	-2,5457	-2,8356	-1,0856
2.	L5A-YYY	4,79	4,4094	-0,9909	-2,3718	-4,3318	-4,6847	-2,9352
3.	L5A-ZZZ	3,62	3,1614	-	-	-	-	-
4.	L5A-RRR	4,63	4,2684	0,2713	-1,5949	-3,4667	-3,7897	-2,1192
5.	L5A-GGG	3,68	4,0032	-	-	-	-	-

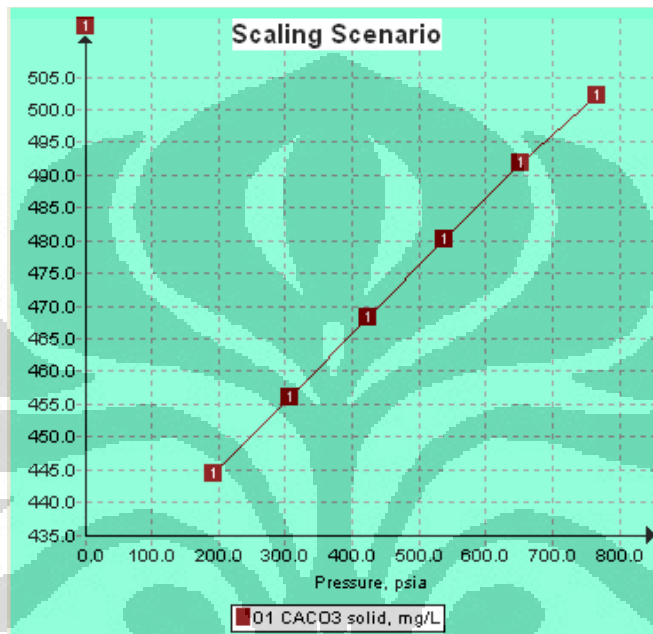
Dari hasil perhitungan *Scaling Index* diatas, baik dengan menggunakan metode *Stiff-Davis* maupun *Oddo-Tompson*, didapatkan nilai yang tidak begitu signifikan diantara keduanya. Seluruh sumur didapati *scale* yang terbentuk adalah kalsium karbonat dengan nilai *scaling index* yang cukup besar. Pada sumur L5A-RRR juga ditemukan kecenderungan terbentuknya *scale* barium sulfat dengan nilai yang relatif kecil.

#### 4.3.2. Hasil Simulasi *Scaling Tendency* Dengan *OLI ScaleChem 4.0*

Simulasi *Scaling Tendency* dengan menggunakan *OLI ScaleChem 4.0* seperti terdapat pada Lampiran C1 hingga Lampiran C.5, dengan ringkasan hasil dan pengolahan data simulasi tersebut pada masing-masing sumur pada temperatur dan tekanan tertentu adalah sebagai berikut.

#### 4.3.2.1 Sumur Produksi LMC-XXX

Hasil simulasi *scaling tendency* pada sumur produksi LMC-XXX diketahui bahwa kemungkinan *scale* yang dapat terbentuk adalah tipe *scale* kalsium karbonat ( $\text{CaCO}_3$ ) seperti ditunjukkan pada Gambar 4.6 dengan hasil *scaling index* pada Tabel 4.5 dan konsentrasi padatan *scale* yang terbentuk serta laju pertumbuhan *scale* seperti terdapat pada Tabel 4.6.



Gambar 4.6. Grafik *Scaling Tendency* Sumur Produksi LMC-XXX

Tabel 4.5. Hasil Perhitungan *Scaling Tendency* pada Berbagai Tekanan dan Temperatur

Tekanan (Psia)	$\text{CaCO}_3$		$\text{BaCO}_3$		$\text{BaSO}_4$		$\text{CaSO}_4 \cdot 2\text{H}_2\text{O}$		$\text{CaSO}_4$		$\text{SrSO}_4$	
	ScalTend	SI	ScalTend	SI	ScalTend	SI	ScalTend	SI	ScalTend	SI	ScalTend	SI
190	361,53	2,56	0,02	-1,7	0,51	-0,29	6,40E-03	-2,19	8,40E-03	-2,08	1,30E-03	-2,89
305	386,64	2,59	0,02	-1,7	0,39	-0,41	6,40E-03	-2,19	0,01	-2,00	1,30E-03	-2,89
420	425,57	2,63	0,02	-1,7	0,33	-0,48	6,90E-03	-2,16	0,01	-2,00	1,40E-03	-2,85
535	469,94	2,67	0,02	-1,7	0,28	-0,55	7,40E-03	-2,13	0,02	-1,70	1,50E-03	-2,82
650	519,77	2,72	0,02	-1,7	0,25	-0,60	7,80E-03	-2,11	0,02	-1,70	1,50E-03	-2,82
765	575,14	2,76	0,02	-1,7	0,22	-0,66	8,20E-03	-2,09	0,03	-1,52	1,60E-03	-2,80

Dari hasil *scaling index* diatas, didapatkan jenis *scale* yang terbentuk adalah sama dengan hasil perhitungan pada metode *Stiff-Davis* dan metode *Oddy Tompson* yaitu *scale* kalsium karbonat. Namun hasil *Scaling Index* pada metode *Stiff Davis* dan *Oddy-Tompson* 2 kali lebih besar daripada dengan menggunakan bantuan *OLI ScaleChem*.

**Tabel 4.6.** Konsentrasi *Scale* CaCO<sub>3</sub> pada Tekanan dan Temperatur Operasi Produksi Minyak Bumi Pada Sumur LMC-XXX

Temperatur (°F)	Tekanan (Psia)	CaCO <sub>3</sub> solid (mg/L)	Scale Growth CaCO <sub>3</sub> (mg/in <sup>2</sup> /day)	Scale Growth CaCO <sub>3</sub> (g/in <sup>2</sup> /year)
140	190	444,48	25,49	9,30
159,44	305	456,02	26,15	9,55
178,88	420	468,13	26,85	9,80
198,32	535	480,24	27,54	10,05
217,76	650	491,76	28,20	10,29
237,2	765	502,18	28,80	10,51

Dari hasil perhitungan diatas, didapatkan estimasi laju pertumbuhan *scale* CaCO<sub>3</sub> dari kecenderungan konsentrasi CaCO<sub>3</sub> yang terbentuk, berkisar antara 9 g/sq in/year hingga 11 g/sq in/year. Seperti ditunjukkan pada Gambar 2.8, bahwa semakin besar temperatur, menyebabkan kelarutan CaCO<sub>3</sub> semakin kecil, sehingga besar konsentrasi *scale* CaCO<sub>3</sub> pada kondisi dalam sumur lebih besar daripada kondisi permukaan yang lebih rendah temperaturnya.

Dari hasil perhitungan diatas, dengan estimasi laju pertumbuhan *scale* CaCO<sub>3</sub> yang berkisar antara 9 g/sq in/year hingga 11 g/sq in/year. Dari hasil *scale growth* tersebut, dapat diestimasi perkiraan besar pengecilan *inside diameter* pipa *tubing* maupun *flowline*. Dengan diameter pipa sebesar 3,5 in dengan *inside diameter* pipa 2,992 in, seperti dijabarkan pada Lampiran B-1, maka didapatkan luas penampang pipa adalah 7,0274 in<sup>2</sup>. Dari laju pertumbuhan *scale* yang terbentuk diatas, dengan mengasumsikan densitas CaCO<sub>3</sub> sebesar 2,71 g/cm<sup>3</sup> maka diperkirakan pengecilan ID pipa seperti hasil perhitungan pada Tabel 4.7 dibawah ini.

**Tabel 4.7.** Pengecilan *Inside Diameter* Pipa Pada Sumur LMC-XXX

Temperatur (°F)	Tekanan (Psia)	mass scale CaCO <sub>3</sub> (gram)	volume CaCO <sub>3</sub> (in <sup>3</sup> )	thickness scale CaCO <sub>3</sub> (in/year)
140	190	65,3894	1,4724	0,2095
159,44	305	67,0871	1,5107	0,2150
178,88	420	68,8687	1,5508	0,2207
198,32	535	70,6502	1,5909	0,2264
217,76	650	72,3450	1,6291	0,2318
237,2	765	73,8779	1,6636	0,2367

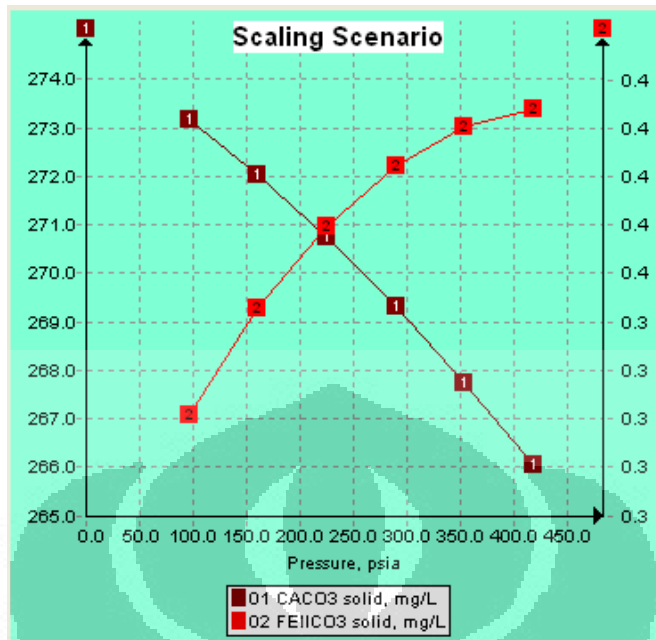
Dari Tabel 4.7 diatas, dapat diketahui bahwa pada sumur LMC-XXX selama 1 tahun ketebalan *scale* yang terbentuk pada sistem sumur sebesar 0,21 in/year hingga 0,24 in/year. Dimana nilai ini hanya berlaku untuk kondisi dan lapisan reservoir tertentu yang dibahas oleh penulis. Nilai yang didapatkan sewaktu-waktu dapat berubah seiring dengan kondisi sistem sumur yang berubah. Besarnya ketebalan *scale* tersebut selain dipengaruhi oleh kondisi kimia air, juga sangat dipengaruhi oleh pH larutan dan kondisi operasi produksi yang berubah-ubah. Sebagaimana diketahui bahwa selama produksi berlangsung, akan terjadi perubahan temperatur dan tekanan yang semakin turun nilainya dari lubang sumur hingga permukaan. Perubahan tekanan dan temperatur yang terjadi dapat mengganggu kesetimbangan kimia pada sistem air formasi yang terproduksi dari dalam sumur menuju fasilitas produksi.

Pembentukan *scale* CaCO<sub>3</sub> akan meningkat dengan meningkatnya temperatur, penurunan tekanan parsial CO<sub>2</sub> (alkalinitas sumur), peningkatan pH. Selain itu, turbulensi aliran dan lamanya waktu kontak (*contact time*) juga berpengaruh terhadap kecepatan pengendapan dan tingkat kekerasan kristal yang terbentuk.

Selain itu, adanya kemungkinan deposit organik seperti senyawaan *asphaltene* diantaranya *wax* dan *paraffin* dapat berikatan dengan *scale* anorganik tersebut baik secara langsung maupun tidak langsung pada proses pembentukannya, yang menyebabkan penambahan skala ukuran dari ketebalan *scale* didalam sistem pipa.

#### 4.3.2.2 Sumur Produksi L5A-YYY

Dibawah ini adalah hasil simulasi perhitungan *Scaling Tendency* pada sumur produksi L5A-YYY dengan menggunakan *OLI ScaleChem 4.0*.



Gambar 4.7. Grafik Scaling Tendency Sumur Produksi L5A-YYY

Hasil simulasi *scaling tendency* pada sumur produksi L5A-YYY diketahui bahwa kemungkinan *scale* yang dapat terbentuk adalah tipe *scale* kalsium karbonat ( $\text{CaCO}_3$ ) dan  $\text{FeCO}_3$  seperti ditunjukkan pada Gambar 4.7 diatas. *Scale* kalsium karbonat semakin lama akan mengerak di dinding-dinding pipa yang memperkecil *inside diameter* pipa dan menghambat aliran mulai dari *wellbore* hingga *flowline* dan fasilitas permukaan. Selain itu, *scale* ini juga dapat menyebabkan pompa ESP *stuck* dan tidak dapat berfungsi, sehingga diperlukan *maintenance* lebih lanjut terhadap pompa dan peralatan *downhole* lainnya yang menyita waktu yang tidak sebentar. Adanya besi karbonat mengindikasikan terjadinya korosi pada *equipment* di sekitar *near-wellbore* hingga *wellhead*. Pengerajan *acidizing* di lapangan juga dapat menjadi salah satu pemicu terbentuknya *scale* ini. Karena *acid* yang digunakan dalam konsentrasi yang cukup besar, yaitu 15%, maka perlu ditambahkan *corrosion inhibitor* ke dalam formulasi *acidizing* yang akan diinjeksikan ke dalam sumur.

Pada Tabel 4.8 dapat dilihat besar *Scaling Tendency* yang didapatkan dari berbagai tipe *scale* yang memiliki kecenderungan pembentukan *scale*. Sedangkan pada Tabel 4.9 ditampilkan data konsentrasi padatan dari kedua tipe *scale* tersebut. Dari data konsentrasi *scale* tersebut dapat diestimasi *scale growth* seperti ditunjukkan pada Tabel 4.10.

**Tabel 4.8.** Hasil Perhitungan *Scaling Tendency* pada Berbagai Tipe *Scale* yang Mungkin Terbentuk

Tekanan (psia)	CaCO <sub>3</sub>		BaSO <sub>4</sub>		SrSO <sub>4</sub>		CaSO <sub>4</sub>		CaSO <sub>4.2H<sub>2</sub>O</sub>	
	ScalTend	SI	ScalTend	SI	ScalTend	SI	ScalTend	SI	ScalTend	SI
50	239,38	2,3791	0,73	-0,1367	9,20E-03	-2,04	1,10E-04	-3,9586	8,10E-05	-4,0915
123,52	255,92	2,4081	0,57	-0,2441	9,10E-03	-2,04	1,20E-04	-3,9208	8,10E-05	-4,0915
197,04	282,84	2,4515	0,49	-0,3098	9,80E-03	-2,01	1,50E-04	-3,8239	8,50E-05	-4,0706
270,56	313,64	2,4964	0,43	-0,3665	0,01	-2	1,90E-04	-3,7212	8,90E-05	-4,0506
344,08	348,55	2,5423	0,39	-0,4089	0,01	-2	2,40E-04	-3,6198	9,30E-05	-4,0315
417,6	387,78	2,5886	0,36	-0,4437	0,01	-2	3,10E-04	-3,5086	9,90E-05	-4,0044

**Tabel 4.9.** Konsentrasi Padatan *Scale* yang Mungkin Terbentuk pada Berbagai Tekanan dan Temperatur Operasi Produksi Sumur L5A-YYY

Temperatur (°F)	Tekanan (psia)	CaCO <sub>3</sub> solid (mg/L)	FeCO <sub>3</sub> solid (mg/L)
140	50	273,16	0,3
156,56	123,52	272,01	0,35
173,12	197,04	270,72	0,38
189,68	270,56	269,29	0,4
206,24	344,08	267,74	0,42
222,8	417,6	266,06	0,43

**Tabel 4.10.** Hasil Estimasi Perhitungan *Scale Growth* CaCO<sub>3</sub> dan FeCO<sub>3</sub>

Temperatur (°F)	Tekanan (psia)	Scale Growth CaCO <sub>3</sub>		Scale Growth FeCO <sub>3</sub>	
		(mg/in <sup>2</sup> /day)	(g/in <sup>2</sup> /year)	(mg/in <sup>2</sup> /day)	(g/in <sup>2</sup> /year)
140	50	15,67	5,72	0,0172	0,0063
156,56	123,52	15,60	5,69	0,0201	0,0073
173,12	197,04	15,53	5,67	0,0218	0,0080
189,68	270,56	15,45	5,64	0,0229	0,0084
206,24	344,08	15,36	5,61	0,0241	0,0088
222,8	417,6	15,26	5,57	0,0247	0,0090

Dari hasil perhitungan diatas, didapatkan estimasi laju pertumbuhan *scale* CaCO<sub>3</sub> dari kecenderungan konsentrasi CaCO<sub>3</sub> yang terbentuk, berkisar antara 5-6 g/sq in/year. Sedangkan laju pertumbuhan *scale* FeCO<sub>3</sub> sebesar 0,0063 hingga 0,009 g/sq in/year. Dari nilai *scale growth* tersebut, dapat diestimasi pengecilan *inside diameter* pipa *tubing* maupun *flowline*. Dengan diameter pipa sebesar 3,5 in dengan *inside diameter* pipa 2,992 in, seperti dijabarkan pada Lampiran B-1, maka didapatkan luas penampang pipa adalah 7,0274 in<sup>2</sup>. Dari laju pertumbuhan *scale* yang terbentuk diatas, dengan mengasumsikan densitas CaCO<sub>3</sub>

sebesar  $2,71 \text{ g/cm}^3$  dan densitas  $\text{FeCO}_3$  sebesar  $3,8 \text{ g/cm}^3$ , maka diperkirakan pengecilan ID pipa seperti hasil perhitungan pada Tabel 4.11 dibawah ini.

**Tabel 4.11.** Pengecilan *Inside Diameter* Pipa Pada Sumur L5A-YYY

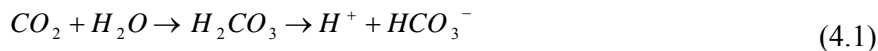
<b>Temperatur (°F)</b>	<b>Tekanan (psia)</b>	<b>Scale <math>\text{FeCO}_3</math></b>			<b>Scale <math>\text{CaCO}_3</math></b>		
		<b>Mass scale (gram)</b>	<b>Volume (in<math>^3</math>)</b>	<b>Thickness (in/year)</b>	<b>Mass scale (gram)</b>	<b>Volume (in<math>^3</math>)</b>	<b>Thickness (in/year)</b>
140	50	0,0441	0,0007	0,0001	40,1858	0,9049	0,1288
156,56	123,52	0,0515	0,0008	0,0001	40,0166	0,9011	0,1282
173,12	197,04	0,0559	0,0009	0,0001	39,8268	0,8968	0,1276
189,68	270,56	0,0588	0,0009	0,0001	39,6164	0,8921	0,1269
206,24	344,08	0,0618	0,0010	0,0001	39,3884	0,8869	0,1262
222,8	417,6	0,0633	0,0010	0,0001	39,1413	0,8814	0,1254

Dari Tabel 4.11 diatas, dapat diketahui bahwa pada sumur L5A-YYY selama 1 tahun ketebalan *scale*  $\text{CaCO}_3$  yang terbentuk pada sistem sumur adalah berada di kisaran 0,13 in/year dan ketebalan *scale*  $\text{FeCO}_3$  sebesar 0,0001 in/year. Dimana nilai ini hanya berlaku untuk kondisi dan lapisan reservoir tertentu yang dibahas oleh penulis. Nilai yang didapatkan sewaktu-waktu dapat berubah seiring dengan perubahan pada kondisi sistem sumur. Besarnya ketebalan *scale* tersebut selain dipengaruhi oleh kondisi kimia air, juga sangat dipengaruhi oleh pH larutan dan kondisi operasi produksi yang berubah-ubah. Sebagaimana diketahui bahwa selama produksi berlangsung, akan terjadi perubahan temperatur dan tekanan yang semakin turun nilainya dari lubang sumur hingga permukaan. Perubahan tekanan dan temperatur yang terjadi dapat mengganggu kesetimbangan kimia pada sistem air formasi yang terproduksi dari dalam sumur menuju fasilitas produksi.

Pembentukan *scale*  $\text{CaCO}_3$  akan meningkat dengan meningkatnya temperatur, penurunan tekanan parsial  $\text{CO}_2$  (alkalinitas sumur), peningkatan pH. Selain itu, turbulensi aliran dan lamanya waktu kontak (*contact time*) juga berpengaruh terhadap kecepatan pengendapan dan tingkat kekerasan kristal yang terbentuk.

*Scale*  $\text{FeCO}_3$  atau besi karbonat dapat dilihat dari tampilan luarnya yang berwarna coklat atau berwarna gelap. Dimana kandungan besi ( $\text{Fe}^{2+}$ /ferrous) dapat berasal dari air formasi, korosi, ataupun lainnya.  $\text{CO}_2$  pada fluida formasi akan bereaksi dengan ion  $\text{Fe}^{2+}$  dan membentuk *scale*  $\text{FeCO}_3$ . Kecenderungan kelarutan *scale* ini hampir sama dengan *scale*  $\text{CaCO}_3$  dan dipengaruhi pula oleh pH, temperatur, dan *ionic strength*, hanya saja kelarutan

*scale*  $\text{FeCO}_3$  lebih rendah 100 kalinya. Mekanisme reaksi yang terjadi pada pembentukan *scale*  $\text{FeCO}_3$  adalah sebagai berikut.



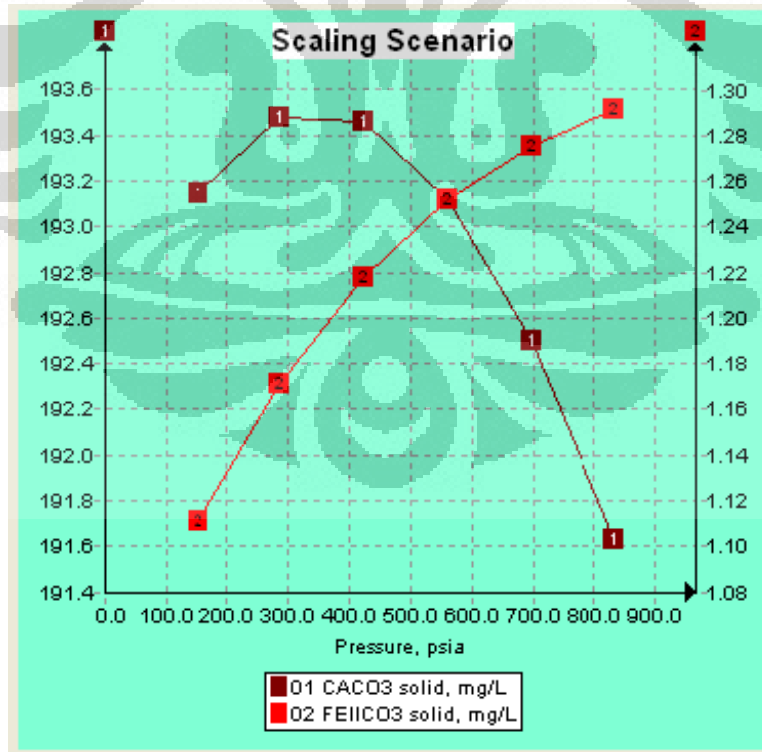
Dimana asam karbonat kontak dengan komponen besi, dengan reaksi:



Selain itu, adanya kemungkinan deposit organik seperti senyawaan *asphaltene* diantaranya *wax* dan *paraffin* dapat berikatan dengan *scale* anorganik tersebut baik secara langsung maupun tidak langsung pada proses pembentukannya, yang menyebabkan penambahan skala ukuran dari ketebalan *scale* didalam sistem pipa.

#### 4.3.2.3 Sumur Produksi L5A-ZZZ

Dibawah ini adalah hasil simulasi perhitungan *Scaling Tendency* pada sumur produksi L5A-ZZZ dengan menggunakan *OLI ScaleChem 4.0*.



Hasil simulasi *scaling tendency* pada sumur produksi L5A-ZZZ diketahui bahwa kemungkinan *scale* yang dapat terbentuk adalah tipe *scale* kalsium karbonat ( $\text{CaCO}_3$ ) dan besi karbonat ( $\text{FeCO}_3$ ). *Scale* kalsium karbonat akan mengerak di dinding-dinding pipa yang memperkecil *inside diameter* pipa dan menghambat aliran mulai dari *wellbore* hingga *flowline* dan fasilitas permukaan. Selain itu, *scale* ini juga dapat menyebabkan pompa ESP *stuck* dan tidak dapat berfungsi, sehingga diperlukan *maintenance* lebih lanjut terhadap pompa dan peralatan *downhole* lainnya yang menyita waktu yang tidak sebentar. Adanya besi karbonat mengindikasikan terjadinya korosi pada *equipment* di sekitar *near-wellbore* hingga *wellhead*.

Pada Tabel 4.12 ditampilkan data *scaling index* dan konsentrasi padatan dari kedua tipe *scale* tersebut. Dari data konsentrasi *scale* tersebut dapat diestimasi *scale growth* seperti ditunjukkan pada Tabel 4.13.

**Tabel 4.12.** Hasil Perhitungan *Scaling Tendency* Sumur Produksi L5A-ZZZ Pada Berbagai Tekanan dan Temperatur

<b>Temperatur (°F)</b>	<b>Tekanan (psia)</b>	<b><math>\text{CaCO}_3</math> solid (mg/L)</b>	<b><math>\text{FeCO}_3</math> solid (mg/L)</b>	<b><math>\text{CaCO}_3</math></b>		<b><math>\text{FeCO}_3</math></b>	
				<b>pScalTend</b>	<b>SI</b>	<b>pScalTend</b>	<b>SI</b>
140	150	193,15	1,11	72,15	1,8582	4,5	0,6532
158,36	286,12	193,48	1,17	79,77	1,9018	5,46	0,7372
176,72	422,24	193,46	1,22	92,71	1,9671	6,56	0,8169
195,08	558,36	193,12	1,25	108,45	2,0352	7,82	0,8932
213,44	694,48	192,5	1,28	127,48	2,1054	9,25	0,9661
231,8	830,6	191,62	1,29	150,33	2,1770	10,79	1,0330

**Tabel 4.13.** Hasil Estimasi Perhitungan *Scale Growth*  $\text{CaCO}_3$  dan  $\text{FeCO}_3$  Sumur L5A-ZZZ

<b>Temperatur</b>	<b>Tekanan</b>	<b><i>Scale Growth</i> <math>\text{CaCO}_3</math></b>		<b><i>Scale Growth</i> <math>\text{FeCO}_3</math></b>	
		<b>(°F)</b>	<b>(psia)</b>	<b>(mg/in<sup>2</sup>/day)</b>	<b>(g/in<sup>2</sup>/year)</b>
140	150			11,08	4,04
					0,0637
					0,0232
158,36	286,12			11,10	4,05
					0,0671
					0,0245
176,72	422,24			11,10	4,05
					0,0700
					0,0255
195,08	558,36			11,08	4,04
					0,0717
					0,0262
213,44	694,48			11,04	4,03
					0,0734
					0,0268
231,8	830,6			10,99	4,01
					0,0740
					0,0270

Dari hasil perhitungan diatas, didapatkan estimasi laju pertumbuhan *scale* CaCO<sub>3</sub> dari kecenderungan konsentrasi CaCO<sub>3</sub> yang terbentuk, sebesar  $\pm 11$  g/sq in/year. Sedangkan *scale* FeCO<sub>3</sub> relatif kecil, yaitu sebesar 0,02-0,03 g/sq in/year. Dari hasil *scale growth* tersebut, dapat diestimasi pengecilan *inside diameter* pipa *tubing* maupun *flowline*. Dengan diameter pipa sebesar 3,5 in dengan *inside diameter* pipa 2,992 in, seperti dijabarkan pada Lampiran B-1, seperti dijabarkan pada Lampiran B-1, maka didapatkan luas penampang pipa adalah 7,0274 in<sup>2</sup>. Dari laju pertumbuhan *scale* yang terbentuk diatas, dengan mengasumsikan densitas CaCO<sub>3</sub> sebesar 2,71 g/cm<sup>3</sup> dan densitas FeCO<sub>3</sub> sebesar 3,8 g/cm<sup>3</sup>, maka diperkirakan pengecilan ID pipa seperti hasil perhitungan pada Tabel 4.14 dibawah ini.

**Tabel 4.14.** Pengecilan *Inside Diameter* Pipa Pada Sumur L5A-ZZZ

Temperatur (°F)	Tekanan (psia)	<i>Scale FeCO<sub>3</sub></i>			<i>Scale CaCO<sub>3</sub></i>		
		<i>Mass scale</i> (gram)	<i>Volume</i> (in <sup>3</sup> )	<i>Thickness</i> (in/year)	<i>Mass scale</i> (gram)	<i>Volume</i> (in <sup>3</sup> )	<i>Thickness</i> (in/year)
140	150	0,1633	0,0037	0,0005	28,4151	0,6399	0,0911
158,36	286,12	0,1721	0,0039	0,0006	28,4637	0,6409	0,0912
176,72	422,24	0,1795	0,0040	0,0006	28,4608	0,6409	0,0912
195,08	558,36	0,1839	0,0041	0,0006	28,4107	0,6398	0,0910
213,44	694,48	0,1883	0,0042	0,0006	28,3195	0,6377	0,0907
231,8	830,6	0,1898	0,0043	0,0006	28,1901	0,6348	0,0903

Dari Tabel 4.14 diatas, dapat diketahui bahwa pada sumur L5A-ZZZ selama 1 tahun ketebalan *scale* CaCO<sub>3</sub> yang terbentuk pada sistem sumur adalah sekitar 0,09 in/year dan ketebalan *scale* FeCO<sub>3</sub> sebesar 0,0006 in/year. Dimana nilai ini hanya berlaku untuk kondisi dan lapisan reservoir tertentu yang dibahas oleh penulis. Nilai yang didapatkan sewaktu-waktu dapat berubah seiring dengan perubahan pada kondisi sistem sumur. Besarnya ketebalan *scale* tersebut selain dipengaruhi oleh kondisi kimia air, juga sangat dipengaruhi oleh pH larutan dan kondisi operasi produksi yang berubah-ubah. Sebagaimana diketahui bahwa selama produksi berlangsung, akan terjadi perubahan temperatur dan tekanan yang semakin turun nilainya dari lubang sumur hingga permukaan. Perubahan tekanan dan temperatur yang terjadi dapat mengganggu kesetimbangan kimia pada sistem air formasi yang terproduksi dari dalam sumur menuju fasilitas produksi.

Pembentukan *scale* CaCO<sub>3</sub> akan meningkat dengan meningkatnya temperatur, penurunan tekanan parsial CO<sub>2</sub> (alkalinitas sumur), peningkatan pH. Selain itu, turbulensi

aliran dan lamanya waktu kontak (*contact time*) juga berpengaruh terhadap kecepatan pengendapan dan tingkat kekerasan kristal yang terbentuk.

*Scale* FeCO<sub>3</sub> atau besi karbonat dapat dilihat dari tampilan luarnya yang berwarna coklat atau berwarna gelap. Dimana kandungan besi (Fe<sup>2+</sup>/ferrous) dapat berasal dari air formasi, korosi, ataupun lainnya. CO<sub>2</sub> pada fluida formasi akan bereaksi dengan ion Fe<sup>2+</sup> dan membentuk *scale* FeCO<sub>3</sub>. Kecenderungan kelarutan *scale* ini hampir sama dengan *scale* CaCO<sub>3</sub> dan dipengaruhi pula oleh pH, temperatur, dan *ionic strength*, hanya saja kelarutan *scale* FeCO<sub>3</sub> lebih rendah 100 kaliannya. Mekanisme reaksi yang terjadi pada pembentukan *scale* FeCO<sub>3</sub> adalah sebagai berikut.



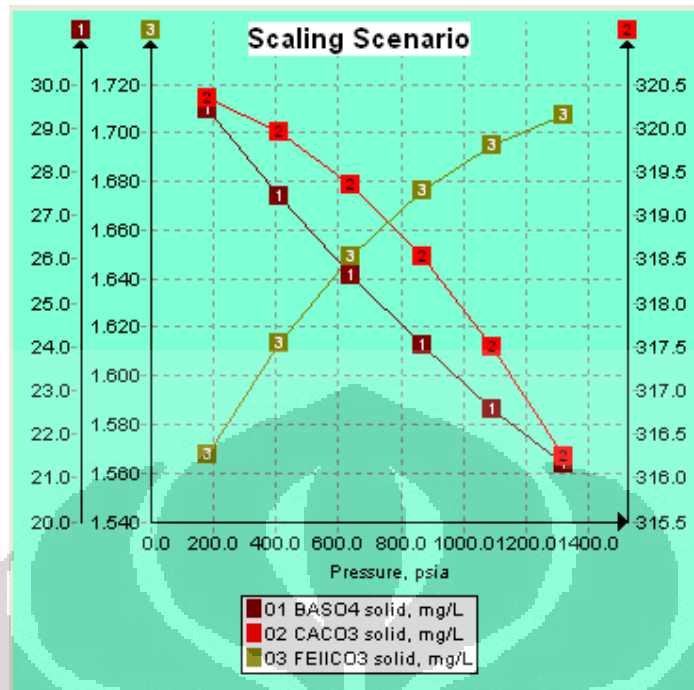
Dimana asam karbonat kontak dengan komponen besi, dengan reaksi:



Selain itu, adanya kemungkinan deposit organik seperti senyawaan *asphaltene* diantaranya *wax* dan *paraffin* dapat berikatan dengan *scale* anorganik tersebut baik secara langsung maupun tidak langsung pada proses pembentukannya, yang menyebabkan penambahan skala ukuran dari ketebalan *scale* didalam sistem pipa.

#### 4.3.2.4 Sumur Produksi L5A-RRR

Dibawah ini adalah hasil simulasi perhitungan *Scaling Tendency* pada sumur produksi L5A-RRR dengan menggunakan *OLI ScaleChem 4.0*.



Gambar 4.9. Hasil Scaling Tendency Sumur L5A-RRR

Hasil simulasi *scaling tendency* pada sumur produksi L5A-RRR diketahui bahwa kemungkinan *scale* yang dapat terbentuk adalah tipe *scale* kalsium karbonat ( $\text{CaCO}_3$ ), barium sulfat ( $\text{BaSO}_4$ ) dan besi karbonat ( $\text{FeCO}_3$ ). Ketika *scale* tersebut akan mengerak di dinding-dinding pipa yang memperkecil *inside diameter* pipa dan menghambat aliran mulai dari *wellbore* hingga *flowline* dan fasilitas permukaan. Selain itu, *scale* ini juga dapat menyebabkan pompa ESP *stuck* dan tidak dapat berfungsi, sehingga diperlukan *maintenance* lebih lanjut terhadap pompa dan peralatan *downhole* lainnya yang menyita waktu yang tidak sebentar. Adanya besi karbonat mengindikasikan terjadinya korosi pada *equipment* di sekitar *near-wellbore* hingga *wellhead*.

Pada Tabel 4.15 ditampilkan data *scalling index* dan konsentrasi padatan dari *scale* kemungkinan terbentuk pada Tabel 4.16. Dari data konsentrasi *scale* tersebut dapat diestimasi *scale growth* seperti ditunjukkan pada Tabel 4.17.

**Tabel 4.15.** Hasil Perhitungan *Scaling Tendency* Sumur L5A-RRR pada Berbagai Tipe *Scale* yang Mungkin Terbentuk

$\text{BaSO}_4$		$\text{CaCO}_3$		$\text{SrSO}_4$		$\text{CaSO}_4 \cdot 2\text{H}_2\text{O}$		$\text{CaSO}_4$		$\text{FeCO}_3$	
ScalTend	SI	ScalTend	SI	ScalTend	SI	ScalTend	SI	ScalTend	SI	ScalTend	SI
5,82	0,7649	170,48	2,2317	0,05	-1,30	8,40E-04	-3,08	1,10E-03	-2,96	5,78	0,7619
4,6	0,6628	178,68	2,2521	0,05	-1,30	8,40E-04	-3,08	1,30E-03	-2,89	6,62	0,8209
3,94	0,5955	195,27	2,2906	0,05	-1,30	8,80E-04	-3,06	1,60E-03	-2,80	7,45	0,8722
3,46	0,5391	214,06	2,3305	0,06	-1,22	9,40E-04	-3,03	2,00E-03	-2,70	8,26	0,9170
3,11	0,4928	235,1	2,3713	0,06	-1,22	1,00E-03	-3,00	2,50E-03	-2,60	8,98	0,9533
2,84	0,4533	258,37	2,4122	0,06	-1,22	1,10E-03	-2,96	3,20E-03	-2,49	9,53	0,9791

Hasil *scaling tendency* diatas dengan masing-masing nilai *scale index* didapatkan scale yang terbentuk adalah kalsium karbonat dan barium sulfat. Hal ini sama dengan hasil yang didapatkan dari perhitungan secara manual dengan menggunakan metode *Stiff-Davis* dan metode *Oddy-Tompson*.

**Tabel 4.16** Konsentrasi Padatan *Scale* yang Mungkin Terbentuk pada berbagai Tekanan dan Temperatur Operasi Produksi Sumur L5A-RRR

Temperatur ( $^{\circ}\text{F}$ )	Tekanan (psia)	$\text{BaSO}_4$ solid (mg/L)	$\text{CaCO}_3$ solid (mg/L)	$\text{FeCO}_3$ solid (mg/L)
140	180	29,41	320,33	1,57
156,2	406,68	27,44	319,94	1,61
172,4	633,36	25,64	319,34	1,65
188,6	860,04	24,01	318,52	1,68
204,8	1.086,72	22,58	317,48	1,69
221	1.313,4	21,33	316,23	1,71

**Tabel 4.17.** Hasil Estimasi Perhitungan *Scale Growth*

Temperatur ( $^{\circ}\text{F}$ )	Tekanan (psia)	<i>Scale Growth</i> $\text{CaCO}_3$		<i>Scale Growth</i> $\text{FeCO}_3$		<i>Scale Growth</i> $\text{BaSO}_4$	
		(mg/in <sup>2</sup> /day)	(g/in <sup>2</sup> /year)	(mg/in <sup>2</sup> /day)	(g/in <sup>2</sup> /year)	(mg/in <sup>2</sup> /day)	(g/in <sup>2</sup> /year)
140	180	18,37	6,71	0,0900	0,0329	1,69	0,62
156,2	406,68	18,35	6,70	0,0923	0,0337	1,57	0,57
172,4	633,36	18,32	6,69	0,0946	0,0345	1,47	0,54
188,6	860,04	18,27	6,67	0,0964	0,0352	1,38	0,50
204,8	1.086,72	18,21	6,65	0,0969	0,0354	1,30	0,47
221	1.313,4	18,14	6,62	0,0981	0,0358	1,22	0,45

Dari hasil perhitungan diatas, didapatkan estimasi laju pertumbuhan  $\text{CaCO}_3$  dari kecenderungan konsentrasi  $\text{CaCO}_3$  yang terbentuk, sebesar  $\pm 7$  g/sq in/year. Sedangkan  $\text{scale}$

$\text{BaSO}_4$  relatif kecil, yaitu sebesar 0,5-0,6 g/sq in/year. Dari hasil *scale growth* tersebut, dapat diestimasi pengecilan *inside diameter* pipa *tubing* maupun *flowline*. Dengan diameter pipa sebesar 3,5 in dengan *inside diameter* pipa 2,992 in, seperti dijabarkan pada Lampiran B-1, maka didapatkan luas penampang pipa adalah 7,0274 in<sup>2</sup>. Dari laju pertumbuhan *scale* yang terbentuk diatas, dengan mengasumsikan densitas  $\text{CaCO}_3$  sebesar 2,71 g/cm<sup>3</sup>, densitas  $\text{FeCO}_3$  sebesar 3,8 g/cm<sup>3</sup>, dan densitas  $\text{BaSO}_4$  sebesar 4,3 g/cm<sup>3</sup>, maka diperkirakan pengecilan ID pipa seperti pada Tabel 4.18 dibawah ini.

Tabel 4.18. Pengecilan *Inside Diameter* Pipa Pada Sumur L5A-RRR

Temperatur (°F)	Tekanan (psia)	Scale $\text{FeCO}_3$			Scale $\text{CaCO}_3$			Scale $\text{BaSO}_4$		
		Mass scale (gram)	Volume (in <sup>3</sup> )	Thickness (in/year)	Mass scale (gram)	Volume (in <sup>3</sup> )	Thickness (in/year)	Mass scale (gram)	Volume (in <sup>3</sup> )	Thickness (in/year)
140	180	0,23	0,0052	0,0007	47,13	1,06	0,1510	4,33	0,0087	0,0012
156,2	406,68	0,24	0,0053	0,0008	47,07	1,06	0,1508	4,04	0,0082	0,0012
172,4	633,36	0,24	0,0055	0,0008	46,98	1,06	0,1505	3,77	0,0076	0,0011
188,6	860,04	0,25	0,0056	0,0008	46,86	1,06	0,1502	3,53	0,0071	0,0010
204,8	1.086,72	0,25	0,0056	0,0008	46,71	1,05	0,1497	3,32	0,0067	0,0010
221	1.313,4	0,25	0,0057	0,0008	46,52	1,05	0,1491	3,14	0,0063	0,0009

Dari Tabel 4.18 diatas, dapat diketahui bahwa pada sumur L5A-RRR selama 1 tahun ketebalan *scale*  $\text{CaCO}_3$  yang terbentuk pada sistem sumur adalah sekitar 0,15 in/year dan ketebalan *scale*  $\text{FeCO}_3$  sebesar 0,0008 in/year serta ketebalan *scale*  $\text{BaSO}_4$  sebesar 0,001 in/year. Dimana nilai ini hanya berlaku untuk kondisi dan lapisan reservoir tertentu yang dibahas oleh penulis. Nilai yang didapatkan sewaktu-waktu dapat berubah seiring dengan perubahan pada kondisi sistem sumur. Besarnya ketebalan *scale* tersebut selain dipengaruhi oleh kondisi kimia air, juga sangat dipengaruhi oleh pH larutan dan kondisi operasi produksi yang berubah-ubah. Sebagaimana diketahui bahwa selama produksi berlangsung, akan terjadi perubahan temperatur dan tekanan yang semakin turun nilainya dari lubang sumur hingga permukaan. Perubahan tekanan dan temperatur yang terjadi dapat mengganggu kesetimbangan kimia pada sistem air formasi yang terproduksi dari dalam sumur menuju fasilitas produksi.

Pembentukan *scale*  $\text{CaCO}_3$  akan meningkat dengan meningkatnya temperatur, penurunan tekanan parsial  $\text{CO}_2$  (alkalinitas sumur), peningkatan pH. Selain itu, turbulensi

aliran dan lamanya waktu kontak (*contact time*) juga berpengaruh terhadap kecepatan pengendapan dan tingkat kekerasan kristal yang terbentuk.

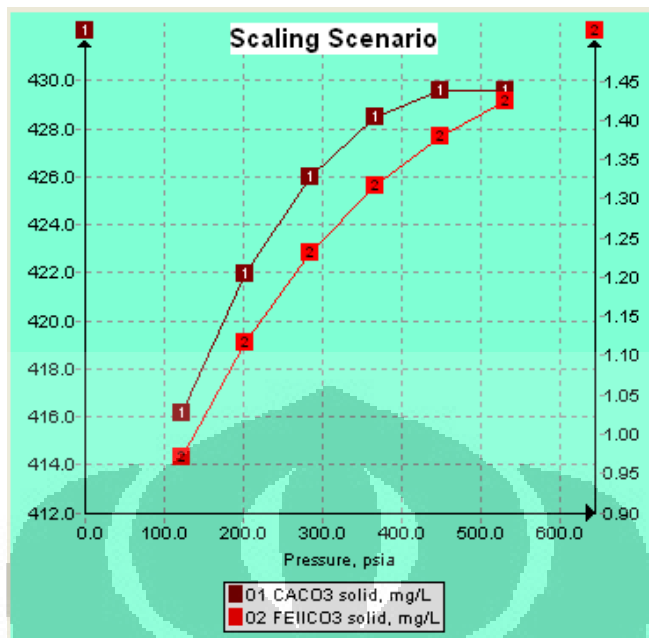
*Scale* FeCO<sub>3</sub> atau besi karbonat dapat dilihat dari tampilan luarnya yang berwarna coklat atau berwarna gelap. Dimana kandungan besi (Fe<sup>2+</sup>/ferrous) dapat berasal dari air formasi, korosi, ataupun lainnya. CO<sub>2</sub> pada fluida formasi akan bereaksi dengan ion Fe<sup>2+</sup> dan membentuk *scale* FeCO<sub>3</sub>. Kecenderungan kelarutan *scale* ini hampir sama dengan *scale* CaCO<sub>3</sub> dan dipengaruhi pula oleh pH, temperatur, dan *ionic strength*, hanya saja kelarutan *scale* FeCO<sub>3</sub> lebih rendah 100 kalinya.

Barium sulfat (BaSO<sub>4</sub>) memiliki kelarutan yang sangat rendah jika dibandingkan dengan CaCO<sub>3</sub>. Kelarutan BaSO<sub>4</sub> pada kondisi *ambient* sebesar ±2 mg/lt dimana kelarutannya tidak berpengaruh pada pH. *Scale* BaSO<sub>4</sub> sangat keras dan akan membentuk *scale* pada kondisi tertentu saja dengan sifat *insolubility* yang tinggi, konsentrasi padatan *scale* yang rendah pun akan relatif sulit untuk dihilangkan.

Selain itu, adanya kemungkinan deposit organik seperti senyawaan *asphaltene* diantaranya *wax* dan *paraffin* dapat berikatan dengan *scale* anorganik tersebut baik secara langsung maupun tidak langsung pada proses pembentukannya, yang menyebabkan penambahan skala ukuran dari ketebalan *scale* didalam sistem pipa.

#### 4.3.2.4 Sumur Produksi L5A-GGG

Dibawah ini adalah hasil simulasi perhitungan *Scaling Tendency* pada sumur produksi L5A-GGG dengan menggunakan *OLI ScaleChem 4.0*.



Gambar 4.10. Grafik Scaling Tendency Sumur Produksi L5A-GGG

Hasil simulasi *scaling tendency* pada sumur produksi L5A-GGG diketahui bahwa kemungkinan scale yang dapat terbentuk adalah tipe *scale* kalsium karbonat (CaCO<sub>3</sub>) dan FeCO<sub>3</sub>. *Scale* kalsium karbonat akan mengerak di dinding-dinding pipa yang memperkecil *inside diameter* pipa dan menghambat aliran dari *wellbore* hingga *flowline* dan fasilitas permukaan. Selain itu, *scale* ini juga dapat menyebabkan pompa ESP *stuck* dan tidak dapat berfungsi, sehingga diperlukan *maintenance* lebih lanjut terhadap pompa dan peralatan *downhole* lainnya yang menyita waktu yang tidak sebentar. Adanya besi karbonat mengindikasikan terjadinya korosi pada *equipment* di sekitar *near-wellbore* hingga *wellhead*.

Pada Tabel 4.19 ditampilkan data *Scaling Index* dan konsentrasi padatan dari kedua tipe *scale* tersebut. Dari data konsentrasi *scale* tersebut dapat diestimasi *scale growth* seperti ditunjukkan pada Tabel 4.20.

Tabel 4.19. Hasil Perhitungan Scaling Tendency Pada Berbagai Tekanan dan Temperatur

Temperatur (°F)	Tekanan (psia)	CaCO <sub>3</sub> solid (mg/L)	FeCO <sub>3</sub> solid (mg/L)	CaCO <sub>3</sub>	
				pScalTend	SI
140	120	416,12	0,97	117,85	2,0713
156,2	202	421,97	1,12	130,27	2,1148
172,4	284	426,03	1,23	150,4	2,1772
188,6	366	428,49	1,32	174,83	2,2426
204,8	448	429,59	1,38	204,35	2,3104
221	530	429,56	1,42	239,85	2,3799

**Tabel 4.20.** Hasil Estimasi Perhitungan *Scale Growth* CaCO<sub>3</sub> dan FeCO<sub>3</sub>

<b>Temperatur</b>	<b>Tekanan</b>	<b>Scale Growth CaCO<sub>3</sub></b>		<b>Scale Growth FeCO<sub>3</sub></b>	
(°F)	(psia)	(mg/in <sup>2</sup> /day)	(g/in <sup>2</sup> /year)	(mg/in <sup>2</sup> /day)	(g/in <sup>2</sup> /year)
140	120	23,87	8,71	0,06	0,02
156,2	202	24,20	8,83	0,06	0,02
172,4	284	24,43	8,92	0,07	0,03
188,6	366	24,58	8,97	0,08	0,03
204,8	448	24,64	8,99	0,08	0,03
221	530	24,64	8,99	0,08	0,03

Dari hasil perhitungan diatas, didapatkan estimasi laju pertumbuhan *scale* CaCO<sub>3</sub> dari kecenderungan konsentrasi CaCO<sub>3</sub> yang terbentuk, berkisar antara 9 g/sq in/year hingga 11 g/sq in/year.

Dari hasil *scale growth* tersebut, dapat diestimasi pengecilan *inside diameter* pipa *tubing* maupun *flowline*. Dengan diameter pipa sebesar 3,5 in dengan *inside diameter* pipa 2,992 in, seperti dijabarkan pada Lampiran B-1, maka didapatkan luas penampang pipa adalah 7,0274 in<sup>2</sup>. Dari laju pertumbuhan *scale* yang terbentuk diatas, dengan mengasumsikan densitas CaCO<sub>3</sub> sebesar 2,71 g/cm<sup>3</sup> dan FeCO<sub>3</sub> sebesar 3,8 g/cm<sup>3</sup>, maka diperkirakan pengecilan ID pipa seperti hasil perhitungan pada Tabel 4.21 dibawah ini.

**Tabel 4.21.** Pengecilan *Inside Diameter* Pipa Pada Sumur L5A-GGG

<b>Temperatur</b> (°F)	<b>Tekanan</b> (psia)	<b>Scale FeCO<sub>3</sub></b>			<b>Scale CaCO<sub>3</sub></b>		
		<b>Mass scale</b> (gram)	<b>Volume</b> (in <sup>3</sup> )	<b>Thickness</b> (in/year)	<b>Mass scale</b> (gram)	<b>Volume</b> (in <sup>3</sup> )	<b>Thickness</b> (in/year)
140	120	0,1427	0,0032	0,0005	61,2172	1,3785	0,1962
156,2	202	0,1648	0,0037	0,0005	62,0779	1,3979	0,1989
172,4	284	0,1810	0,0041	0,0006	62,6752	1,4113	0,2008
188,6	366	0,1942	0,0044	0,0006	63,0371	1,4195	0,2020
204,8	448	0,2030	0,0046	0,0007	63,1989	1,4230	0,2025
221	530	0,2089	0,0047	0,0007	63,1945	1,4230	0,2025

Dari Tabel 4.21 diatas, dapat diketahui bahwa pada sumur L5A-GGG selama 1 tahun ketebalan *scale* CaCO<sub>3</sub> yang terbentuk pada sistem sumur adalah sekitar 0,2 in/year dan ketebalan *scale* FeCO<sub>3</sub> sebesar 0,0007 in/year. Dimana nilai ini hanya berlaku untuk kondisi dan lapisan reservoir tertentu yang dibahas oleh penulis. Nilai yang didapatkan sewaktu-waktu dapat berubah seiring dengan perubahan pada kondisi sistem sumur. Besarnya

ketebalan *scale* tersebut selain dipengaruhi oleh kondisi kimia air, juga sangat dipengaruhi oleh pH larutan dan kondisi operasi produksi yang berubah-ubah. Sebagaimana diketahui bahwa selama produksi berlangsung, akan terjadi perubahan temperatur dan tekanan yang semakin turun nilainya dari lubang sumur hingga permukaan. Perubahan tekanan dan temperatur yang terjadi dapat mengganggu kesetimbangan kimia pada sistem air formasi yang terproduksi dari dalam sumur menuju fasilitas produksi.

Pembentukan *scale*  $\text{CaCO}_3$  akan meningkat dengan meningkatnya temperatur, penurunan tekanan parsial  $\text{CO}_2$  (alkalinitas sumur), peningkatan pH. Selain itu, turbulensi aliran dan lamanya waktu kontak (*contact time*) juga berpengaruh terhadap kecepatan pengendapan dan tingkat kekerasan kristal yang terbentuk.

*Scale*  $\text{FeCO}_3$  atau besi karbonat dapat dilihat dari tampilan luarnya yang berwarna coklat atau berwarna gelap. Dimana kandungan besi ( $\text{Fe}^{2+}$ /*ferrous*) dapat berasal dari air formasi, korosi, ataupun lainnya.  $\text{CO}_2$  pada fluida formasi akan bereaksi dengan ion  $\text{Fe}^{2+}$  dan membentuk *scale*  $\text{FeCO}_3$ . Kecenderungan kelarutan *scale* ini hampir sama dengan *scale*  $\text{CaCO}_3$  dan dipengaruhi pula oleh pH, temperatur, dan *ionic strength*, hanya saja kelarutan *scale*  $\text{FeCO}_3$  lebih rendah 100 kalinya.

Selain itu, adanya kemungkinan deposit organik seperti senyawaan *asphaltene* diantaranya *wax* dan *paraffin* dapat berikatan dengan *scale* anorganik tersebut baik secara langsung maupun tidak langsung pada proses pembentukannya, yang menyebabkan penambahan skala ukuran dari ketebalan *scale* didalam sistem pipa.

#### 4.4. Evaluasi Pengasaman

Data hasil pekerjaan pengasaman pada masing-masing sumur produksi dapat dilihat pada Tabel 4.22 dibawah ini.

**Tabel 4.22.** Evaluasi Stimulasi Sumur

Nama Sumur	Tanggal	PBHP		SBHP	Pre-Job		Post Job (7 Days)		Post Job (30 Days)		PI			Gain (BOPD)	Ket
		Pre-job	Post-job		BOPD	BFPD	BOPD	BFPD	BOPD	BFPD	Pre	Post	Delta		
LMC-XXX	10/03/10	-	-	-	84	2109	90	2260	166	2377	-	-	-	82	Tanpa data PBHP
	22/05/10	-	402	1889	156	2234	181	2581	94	2360	-	1.59	-	-62	!!!
	31/07/10	402.4	710.1	1638	90	2243	-	-	67	2678	1.82	2.89	1.07	-23	!!
	14/12/10	829	1652	1900	9	452	79	2645	64	2143	0.42	10.66	10.23	70	***
L5A-YYY	16/04/10	-	471	1369	95	1700	136	3030	164	3285	-	3.66	-	69	Tanpa data PBHP pre-job
	21/09/10	444.6	461.7	1745.2	83	2780	106	3025	86	2862	2.14	2.23	0.09	3	*
	25/11/10	554	423	1369	83	2781	78	2802	86	2855	3.41	2.75	-0.66	3	*
L5A-RRR	22/02/10	-	-	-	93	3096	193	6417	188	6271	-	-	-	95	Tanpa data PBHP
	24/05/10	759	1374	1889	194	6480	126	6520	128	6387	5.73	12.40	6.67	-66	WC increment
L5A-GGG	8/04/10	-	-	-	34	1127	34	1127	50	1242	-	-	-	16	Gas Lift
	30/09/10	-	-	-	69	3437	51	5122	-	-	-	-	-	-18	Gas Lift

Pekerjaan *acidizing* yang dilakukan terdiri atas komposisi bahan kimia seperti dibawah ini:

**Tabel 4.23. Acidizing Formula**

**Pickle Tubing String**

**420 Gals**

**10 bbls**

Product	Concentration	Total
Fresh Water	718 Gpt	302 Gals
HCl 32%	282 Gpt	119 Gals

**Xylene (pre-Flush)**

**4000 Gals**

**95 bbls**

Product	Concentration	Total
Fresh Water	790 Gpt	3160 Gals
Xylene	210 Gpt	840 Gals

**Main Acid (15% HCl)**

**4000 Gals**

**95 bbls**

Product	Concentration	Total
Fresh Water	459 Gpt	1836 Gals
Corr.Inhibitor	4 Gpt	16 Gals
Mutual Solvent	75 Gpt	300 Gals
An-Ionic Surfactant	150 Gpt	600 Gals
Citric Acid	30 Pptg	120 Lbs
HCl 32%	282 Gpt	1128 Gals

**2% KCl Solution**

**4200 Gals**

**100 bbls**

Product	Concentration	Total
Fresh Water	794 Gpt	3335 Gals
KCl	169 Pptg	710 Lbs

Keterangan:

Gpt : gallon per thousand gallon

Pptg : pound per thousand gallon

ppg : pound per gallon

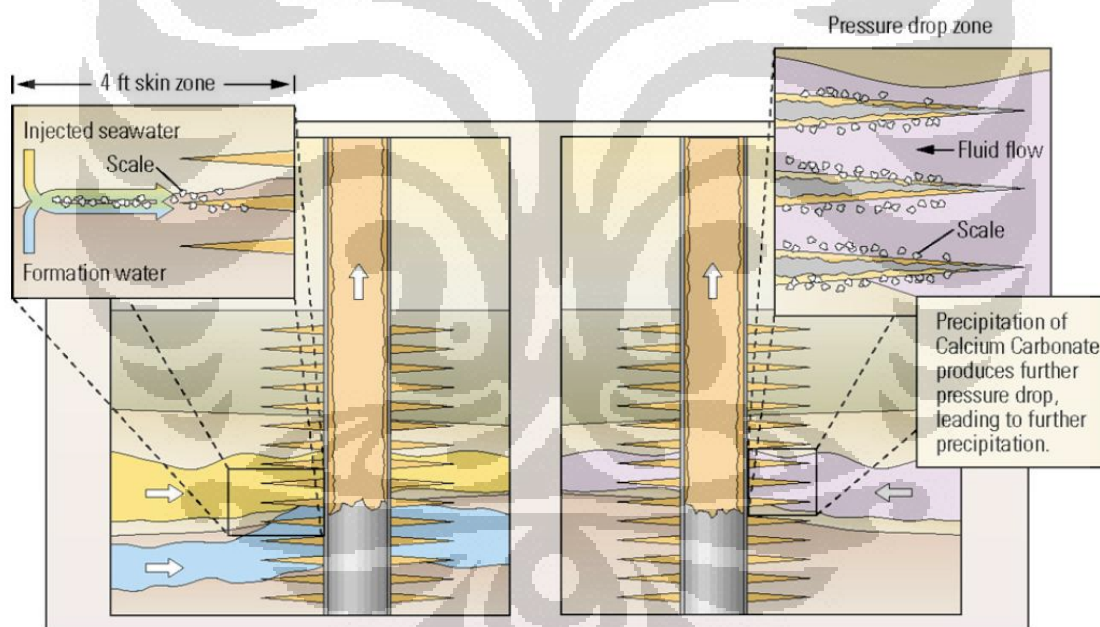
Kegiatan *acidizing* yang dilakukan diasumsikan untuk menghilangkan *scale* kalsium karbonat ( $\text{CaCO}_3$ ). Untuk menanggulangi *scale*  $\text{CaCO}_3$  pada berbagai kondisi, cara yang paling mudah dan murah adalah menggunakan HCl dimana pada lapangan Limau menggunakan HCl 15%.

Reaksi kimia yang terjadi ketika dilakukan tahap injeksi asam adalah sebagai berikut.



*Corrosion inhibitor* juga turut ditambahkan ke dalam formulasi asam untuk menjaga agar tidak melarutkan besi. Selain itu juga terdapat surfaktan untuk meningkatkan wettability fluida terhadap matriks batuan dan juga dapat menghilangkan film minyak dari *scale* yang mengandung deposit organik.

Pada tahap *pickle tubing string*, dilakukan untuk menghilangkan komponen *scale*  $\text{CaCO}_3$  yang terdapat pada daerah pipa produksi. Sedangkan ketika *xylene* diinjeksikan ke sumur, digunakan untuk melarutkan deposit organik hidrokarbon yang turut terendapkan pula pada tubing pipa produksi dan menghilangkan lapisan film minyak pada tubing produksi. Kegiatan utama dari pekerjaan *acidizing* adalah untuk menghilangkan padatan *scale* yang terendapkan pada lapisan produktif batuan reservoir sumur, dimana dilakukan pada zona perforasi dan *near-wellbore* yang berjarak setidaknya 4 ft dari lubang perforasi yang merupakan zona skin (Gambar 4.11).

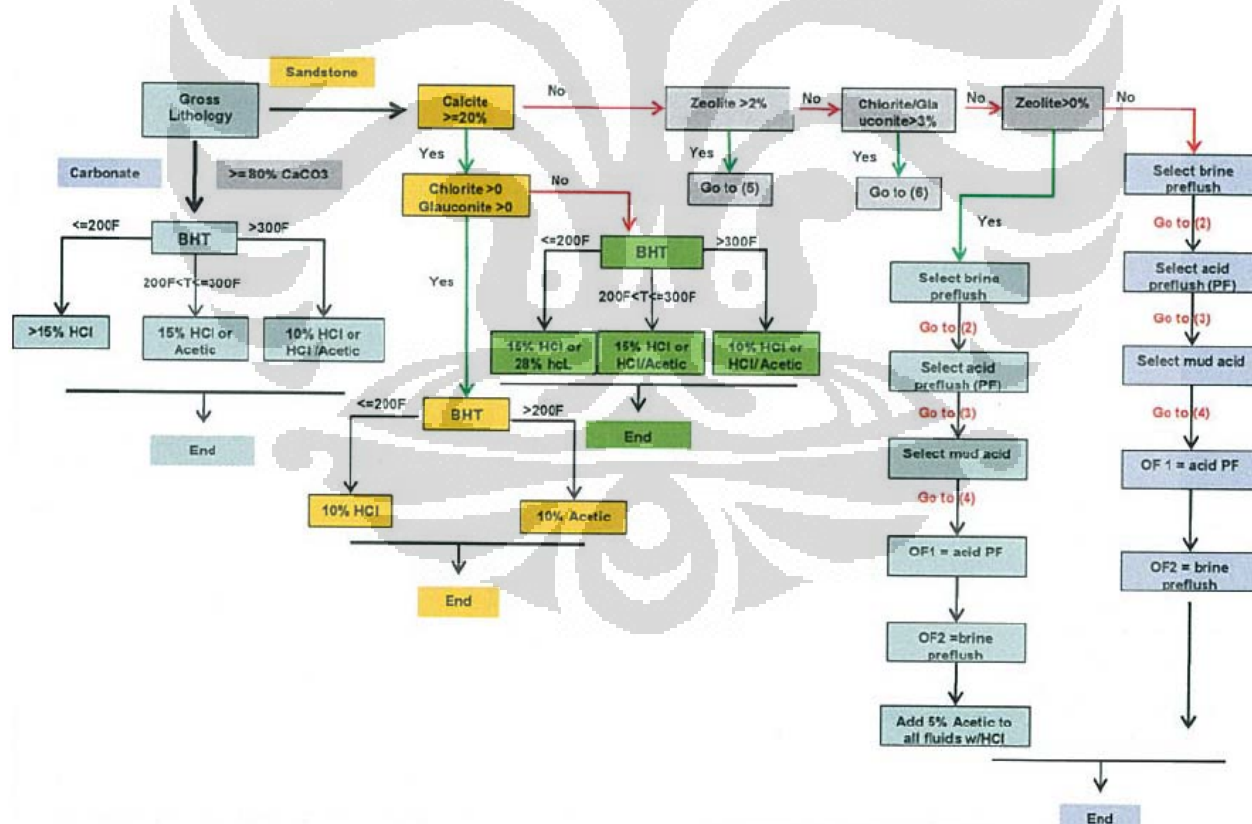


Gambar 4.11. Pengendapan *Scale* Kalsium Karbonat Pada Matriks Batuan<sup>[5]</sup>

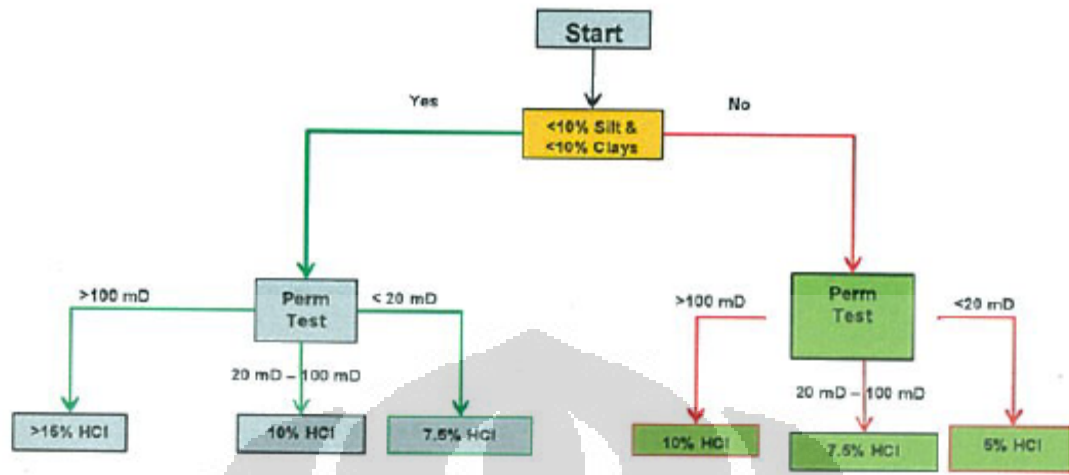
Pekerjaan *main acid* ini perlu sekali dilakukan secara berhati-hati dan berada pada lapisan yang tepat, yaitu pada kedalaman sumur di zona minyak, bukan di zona air agar didapatkan gain yang relatif besar dan menguntungkan produksi sumur secara ekonomis. Namun keberhasilan dari *acid job* adalah kemampuan *acid* yang diinjeksikan berhasil melarutkan padatan *scale* baik yang terdapat pada pipa, *tubing*, maupun pada lapisan matriks

batuan. Dari keseluruhan *acid job* yang dilakukan pada pelaksanaan *acidizing* di lapangan dapat dikatakan berhasil melarutkan komponen *scale* di sumur yang ditandai dengan peningkatan laju produksi fluida (BFPD). Selain itu, pemilihan *chemical* yang bersifat *water base* juga dapat meningkatkan kecenderungan peningkatan *water cut*.

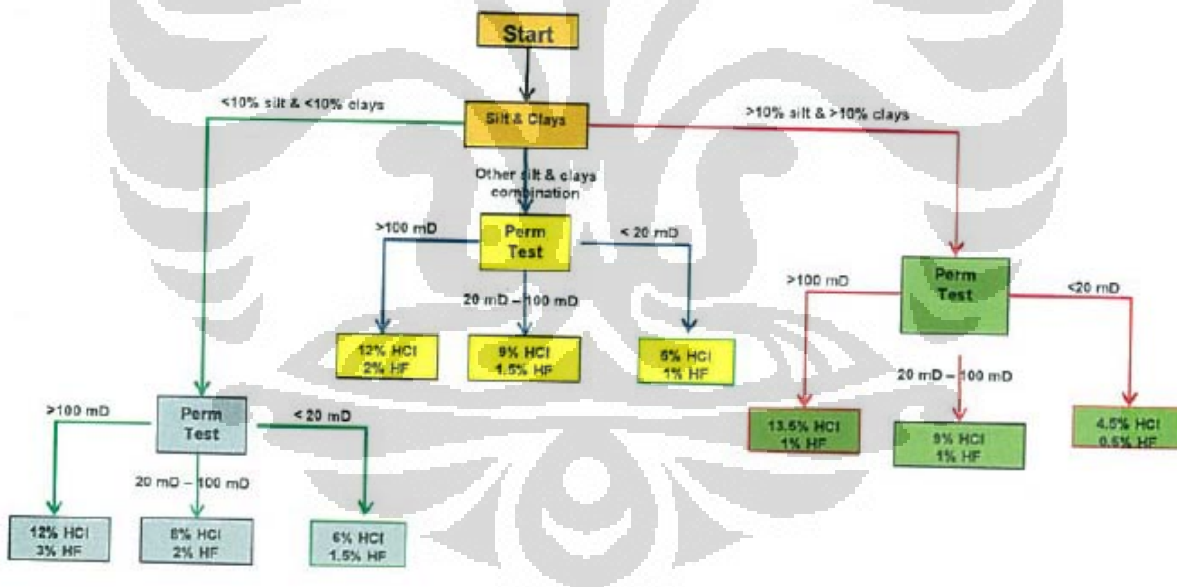
Pemakaian acid pada formulasi acid job selain dengan HCl 15%, dapat pula dengan menginjeksikan jenis asam-asam lainnya yang seharusnya dilakukan uji kompatibilitas terhadap batuan dan fluida reservoir. Pemilihan asam ini sebaiknya dilakukan uji laboratorium terlebih dahulu agar diketahui kompatibilitas dari reaksi yang nantinya akan berlangsung pada proses injeksi asam dan kelarutan dari komponen *scale* yang dapat tercapai, serta pengaruh dari *acid job* terhadap batuan reservoir. Berikut ini adalah pemilihan jenis fluida pengasaman yang dilakukan berdasarkan dari uji laboratorium untuk beberapa *acid* formula pada pekerjaan *acidizing*, *main acid* yang digunakan perlu dilakukan uji kompatibilitas terhadap batuan dan kondisi reservoir tertentu (Gambar 4.12 hingga Gambar 4.16).



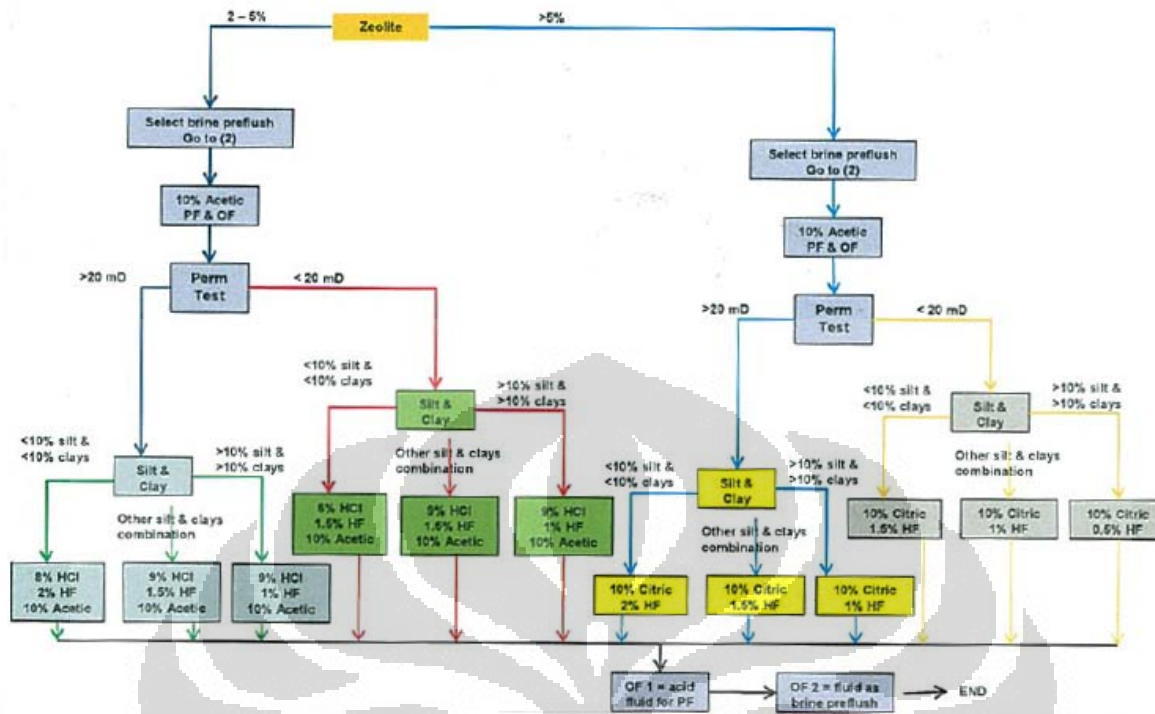
Gambar 4.12. Pemilihan Formula Fluida Pengasaman<sup>[21]</sup>



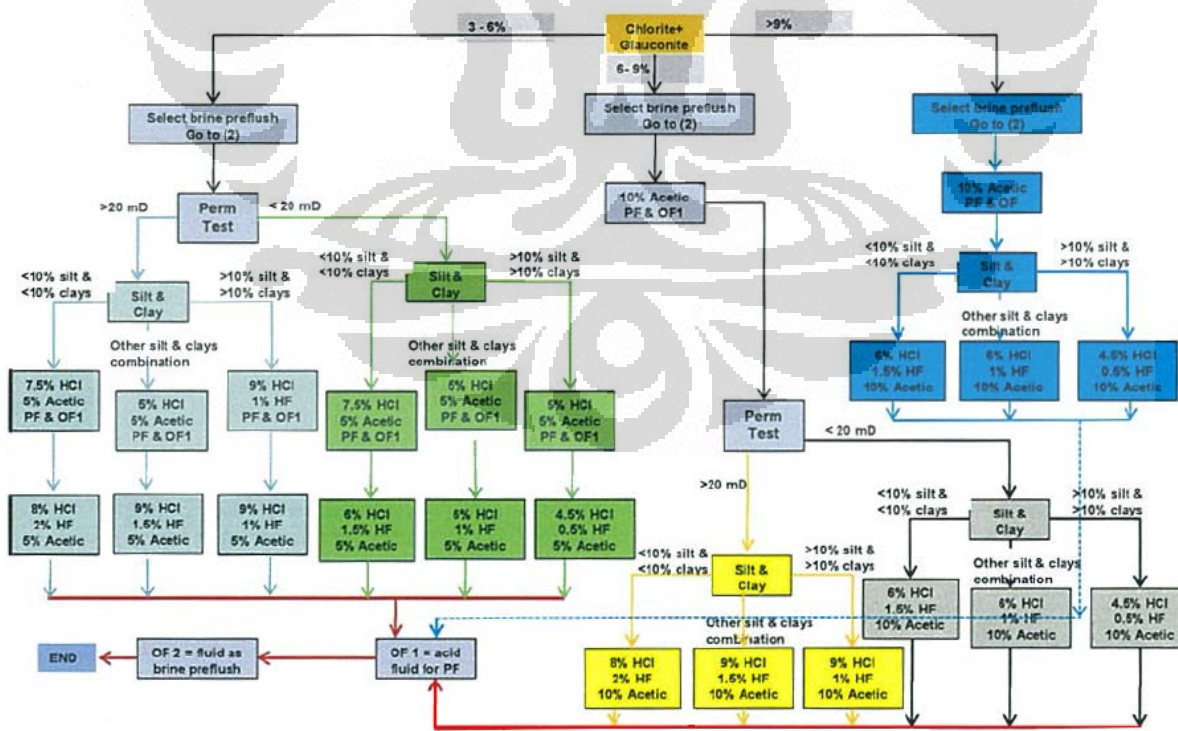
Gambar 4.13. Pemilihan Formula Fluida Pengasaman untuk Acid Preflush<sup>[21]</sup>



Gambar 4.14. Pemilihan Formula Fluida Pengasaman Untuk Jenis Formasi yang Mengandung Clay<sup>[21]</sup>



Gambar 4.15. Pemilihan Formula Fluida Pengasaman Untuk Formasi Sandstone yang Mengandung Zeolite<sup>[21]</sup>



Gambar 4.16. Pemilihan Formula Fluida Pengasaman Untuk Formasi Sandstone yang Mengandung Chlorite<sup>[21]</sup>

Pemakaian *corrosion inhibitor* harus ditambahkan pada proses pengasaman. Besi akan berkarat karena pengasaman yang dilakukan, dan ini akan merusak pipa produksi dan bisa mengendapkan senyawa besi di formasi yang dapat menyebabkan *formation damage*. Meskipun sumber ion besi yang ada tidak hanya berasal dari komponen besi pada pipa yang terlarutkan dan dapat pula bersumber dari formasi reservoir itu sendiri (Tabel 4.24). Namun besi yang berasal dari reservoir tidak seberbahaya dari pipa, walaupun pada konsentrasi tertentu tetap harus dihambat dengan *corrosion inhibitor*. Sebaiknya *corrosion inhibitor* ditambahkan pula pada *tubing pickle*, dimana penambahan *corrosion inhibitor* disini untuk menghambat/mencegah korosi pipa yang dapat menyebabkan terbentuknya ion besi dari pipa produksi yang mungkin masuk ke formasi batuan bersama asam yang diinjeksikan ketika *main acid* dan dapat menyebabkan *formation damage*.

**Tabel 4.24.** Sumber Ion Besi yang Bersumber dari Pipa Produksi dan Formasi<sup>[20]</sup>

Sumber ion besi dari pipa	Angka oksidasi	Sumber formasi	Angka oksidasi
Iron oxide	+3	Hematite	+3
Karat (rust)	+3	Magnetite	+2 dan +3
Ferric oxide	+3	Glaucnrite	+3
Iron sulfide	+2	Pyrite	+2
		Siderite	+2
		Chlorite	+2

Semua pengasaman harus memakai *corrosion inhibitor*. *Acid corrosion inhibitor* menghambat karat dengan membentuk lapisan film tipis di dinding pipa besi untuk melindungi besi (mulai dari 120°F). *Corrosion inhibitor* adalah campuran dari beberapa persenyawaan termasuk *quaternary amines*, *acetylenic*, *alcohols*, *methanol*, dan surfaktan. Kebanyakan *corrosion inhibitor* adalah kationik (membuat *sandstone* menjadi *oil wet* dan *limestone* menjadi *water wet*). *Corrosion inhibitor* juga turut di tambahkan pada formulasi untuk *main acid*. Corrosion inhibitor ini tidak akan melindungi menyerangan asam terhadap *scale* di pipa. Kompatibilitas *corrosion inhibitor* dengan aditif lain di asam harus di cek apakah akan timbul reaksi negatif dengan produk merugikan ataupun endapan. *Corrosion inhibitor* mudah terpisah dari asam jadi harus diaduk sistem asamnya sebelum dipompa. Terpisahnya *corrosion inhibitor* dari asam terlihat dengan timbulnya lapisan tipis hitam

seperti minyak di permukaan asam. Lapisan ini dapat terlihat hanya dalam waktu 15 menit setelah sistem asam didiamkan.

Pada formulasi *main acid*, surfaktan yang dipilih adalah *an-ionic surfactant* yang ketika bereaksi dengan *sandstone*, maka anionik akan menyebabkan *water wet* di *sandstone*. Surfaktan anionik ini bisa berupa suatu senyawaan sulfat, sulfonat, fosfat maupun fosfonat. Parameter dari pemilihan surfaktan yang ditambahkan adalah dapat menurunkan *interfacial tension* (tegangan antar muka), meningkatkan wettabilitas, dan harus kompatibel terhadap batuan dan fluida reservoir. Dimana jika tidak adanya kompatibilitas antara fluida dan batuan reservoir dengan surfaktan yang digunakan, bisa menyebabkan emulsi yang justru dapat menghambat aliran fluida dari reservoir ke permukaan. Namun untuk mengetahui *performance* dari masing-masing surfaktan tersebut perlu dilakukan uji laboratorium dan kompatibilitas terhadap batuan dan fluida reservoir.

Penggunaan *fresh water* sebaiknya yang seminimal mungkin mengandung ion-ion kalsium, magnesium, barium, stronsium, dan terutamanya adalah ion karbonat dan sulfat sehingga dapat meminimalisir dan menurunkan kemampuan *re-precipitation scale* pada sistem sumur. Jika *fresh water* yang digunakan berasal dari *formation water*, maka perlu dilakukan *water treatment* sebelum diinjeksikan ke dalam sumur injeksi, dan dilakukan uji laboratorium sebelum digunakan sebagai pelarut asam pada proses *acidizing*.

Agar pelaksanaan *acidizing* sukses dan menghasilkan laju produksi dan laju minyak yang meningkat, maka sebelum pengerajan *acid job* tersebut perlu dilakukan perencanaan yang baik dan diketahui data lapisan produktif minyak terkait kedalaman, permeabilitas, porositas, mineralogi batuan, dan informasi lainnya mengenai kondisi reservoir dan tekanan sumur yang mampu diterima ketika dilakukan stimulasi.

#### **4.5. Penanggulangan Scale di Lapangan**

Pada lapangan Limau, pemantauan perubahan tekanan dapat dilihat pada Tabel 4.1, dimana pada lapangan ini yang diperhatikan hanya sebatas pada sistem sumur saja, karena berhubungan dengan nilai produktivitas sumur, sedangkan pada *flowline* tidak terlalu diperhatikan. Penanggulangan yang dilakukan pada *surface facilities* mulai dari *flowline* hingga separator dilakukan dengan menjaga kondisi operasi transportasi minyak bumi pada batas-batas tertentu agar tidak terjadi pengendapan deposit organik. Sedangkan

penanggulangan *scale* anorganik dilakukan dengan injeksi asam pada peralatan permukaan jika ditemukan kerak pada peralatan produksi seperti ditunjukkan pada Gambar 4.17 dan Gambar 4.18 dibawah ini.



**Gambar 4.17.** Padatan *Scale* di Kepala Sumur



**Gambar 4.18.** Contoh Padatan *Scale* di *Tubing* dan *Flowline*

Pada lapangan Limau Unit Bisnis Pertamina EP, evaluasi terhadap *scale coupon* baru mulai dilakukan. Oleh karena itu, sangat penting nantinya dilakukan dan dipantau dari laju pertumbuhan *scale* (*scale growth*) pada permasalahan *scale* dilapangan. Dengan mengetahui laju pertumbuhan *scale* ini, dapat dibuat suatu perencanaan terhadap kegiatan *acid job* yang

dapat dilakukan di lapangan terkait salah satu cara penanggulangan masalah *scale* tersebut. Sebagai langkah pencegahan terbentuknya scale di lapangan Limau, dilakukan metode injeksi *scale* inhibitor dengan tipe *scale* inhibitor yang digunakan adalah tipe *phosphat* dan *phosphonat*. Penginjeksian inhibitor pada lapangan Limau dilakukan dengan metode *Continous treatment*. Metode ini merupakan suatu cara *treatment* dengan jalan menginjeksikan *scale* inhibitor dari *chemical injection pump* secara kontinyu baik pada peralatan permukaan maupun di sumur.



Gambar 4.19. *Continous Treatment* pada sumur gas lift L5A-GGG



Gambar 4.20. Injeksi *Scale* Inhibitor di Lapangan

Sejauh pemantauan penulis, evaluasi yang dilakukan terhadap kinerja dari *scale inhibitor* yang digunakan masih minim dilakukan. Evaluasi terhadap unjuk kerja *scale inhibitor* yang diinjeksikan ke dalam sumur dapat dilakukan dengan menguji kandungan *phosponat*, *turbidity*, evaluasi *scale growth*, dan kelarutan *hardness* konsentrasi Ca dan Mg terhadap *scale inhibitor* yang digunakan. Jika nilai yang didapatkan dari evaluasi *scale inhibitor* yang digunakan didapatkan hasil kurva yang menurun, maka *scale inhibitor* yang digunakan pada sistem sumur relatif cocok dan memiliki unjuk kerja yang baik.

Untuk menjaga penurunan tekanan selama proses produksi terhadap kelarutan komponen dalam air formasi dan tercampurnya dua jenis air yang tidak kompatibel pada sumur injeksi didalam proses injeksi air, yang akan menimbulkan reaksi antar ion-ion terlarut, sehingga akan memungkinkan terbentuknya endapan *scale*, maka dilakukan penjagaan tekanan formasi (*pressure maintenance*). Dan dalam merencanakan air injeksi yang kompatibel dengan air formasi, upaya yang dapat dilakukan adalah dengan *system water treatment* yang mengubah komposisi air dan menghilangkan zat-zat yang mungkin dapat membentuk komponen *scale* dalam sistem air. Hal tersebut dapat dilakukan sebagai salah satu langkah pencegahan alternatif terbentuknya *scale* di lapangan.

## **BAB 5**

### **KESIMPULAN DAN SARAN**

#### **5.1. Kesimpulan**

Dari hasil penelitian yang dilakukan dapat diambil beberapa kesimpulan, yaitu sebagai berikut.

1. Pembentukan *scale* di suatu lapangan minyak dipengaruhi oleh perubahan kondisi sistem sumur, percampuran dua jenis fluida yang mempunyai susunan mineral tidak sesuai, adanya supersaturasi, penguapan (akibat dari perubahan konsentrasi), waktu kontak antara padatan dengan permukaan media pengendapan serta perubahan pH.
2. Dari hasil analisa air formasi melalui perhitungan *Scaling Index* dengan menggunakan metode *Stiff-Davis* dan *Ondo-Tompson*, diketahui bahwa kecenderungan *scale* yang terbentuk adalah *scale CaCO<sub>3</sub>* pada sumur-sumur yang dikaji dengan nilai SI dan Is yang positif yang tinggi, dengan *range* antara +3,16 hingga +5,25. Selain itu pada sumur L5A-RRR didapatkan pula terjadi kecenderungan terbentuknya *scale BaSO<sub>4</sub>* dengan nilai Is yang cukup kecil sebesar +0,27.
3. Dari perhitungan *Scaling Index* dengan menggunakan *ScaleChem*, didapatkan pula kecenderungan terbentuk *scale CaCO<sub>3</sub>* pada semua sumur dengan nilai yang relatif tinggi bervariasi dari +1,86 hingga +2,8. Pada sumur L5A-YYY, L5A-ZZZ, L5A-RRR, dan L5A-GGG didapatkan pula kecenderungan terbentuknya *scale* besi karbonat dengan nilai konsentrasi yang relatif kecil, yaitu sebesar 0,3 mg/L hingga 1,7 mg/L FeCO<sub>3</sub> padat.
4. Terdapat kesesuaian antara metode perhitungan *scaling index* dengan menggunakan metode *Stiff-Davis*, *Ondo Tompson*, dan simulasi *ScaleChem* terhadap jenis *scale* yang terbentuk yaitu *scale CaCO<sub>3</sub>* pada tiap sumur, dan *scale BaSO<sub>4</sub>* pada sumur L5A-RRR.
5. Dari hasil pengolahan data simulasi *OLI ScaleChem 4.0* didapatkan:
  - a. Laju pertumbuhan *scale CaCO<sub>3</sub>* yang terbentuk cukup besar pada masing-masing sumur, yaitu pada sumur LMC-XXX, L5A-YYY, L5A-ZZZ, L5A-RRR, L5A-GGG berturut-turut sebesar 10,5 g/sq in/year, 5,7 g/sq in/year, 4,1 g/sq in/year, 6,7 g/sq in/year, dan 9 g/sq in/year.

- b. Ketebalan *scale* CaCO<sub>3</sub> yang terbentuk pada sumur LMC-XXX, L5A-YYY, L5A-ZZZ, L5A-RRR, L5A-GGG berturut-turut sebesar 0,24 in/year, 0,13 in/year, 0,09 in/year, 0,15 in/year, dan 0,21 in/year.
  - c. Ketebalan *scale* FeCO<sub>3</sub> yang terbentuk pada sumur L5A-YYY, L5A-ZZZ, L5A-RRR, L5A-GGG berturut-turut sebesar 0,0001 in/year, 0,0006 in/year, 0,0008 in/year, dan 0,0007 in/year.
  - d. Ketebalan *scale* BaSO<sub>4</sub> yang terbentuk pada sumur L5A-RRR relatif kecil, yaitu sebesar 0,0012 in/year.
  - e. Total *scale* anorganik yang terbentuk pada sumur LMC-XXX, L5A-YYY, L5A-ZZZ, L5A-RRR, dan L5A-GGG berturut-turut sebesar 0,24 in/year, 0,1301 in/year, 0,0906 in/year, 0,152 in/year, dan 0,2107 in/year.
6. Masih terdapat keterbatasan dalam penanggulangan *scale* di lapangan Limau, yaitu:
- a. Injeksi *scale* inhibitor yang dilakukan tanpa adanya monitoring *performance scale* inhibitor yang digunakan, sehingga tingkat keberhasilannya tidak terukur,
  - b. Analisis air formasi dan penanggulangan problema *scale* yang dilakukan hanya terkonsentrasi pada jenis *scale* CaCO<sub>3</sub>
  - c. Masih minimnya uji kompatibilitas fluida sebelum dilakukan *acid job*.
7. Upaya penanggulangan *scale* yang telah terbentuk di sumur dilakukan secara kimiawi, yaitu melalui pelaksanaan *acidizing*. Sedangkan untuk *scale* yang terbentuk pada pipa-pipa di permukaan dilakukan dengan kombinasi penggunaan zat kimia dan *line scrappers*.

## 5.2. Saran

Dari hasil penelitian yang dilakukan masih diperlukan banyak perbaikan-perbaikan dari program penanggulangan *scale* di lapangan. Dibawah ini adalah beberapa saran yang sebaiknya dilakukan, yaitu :

1. Perlu dilakukan analisis rutin terhadap masalah *scale* di lapangan seperti dijelaskan pada Subbab 2.6.4
2. Perlu dilakukan dan dihitung evaluasi *scale coupon* pada sumur-sumur di lapangan yang nantinya akan dihasilkan laju pertumbuhan *scale* untuk mengevaluasi *scale* inhibitor yang digunakan, dan keberhasilan *acid job* yang dilakukan.

3. Perlu dilakukan analisis laboratorium dan uji kompatibilitas fluida yang akan diinjeksikan ke dalam sumur terhadap kandungan mineralogi pada batuan dan fluida reservoir.
4. Pada pekerjaan *acidizing*, ketika dilakukan *pickle tubing*, sebaiknya ditambahkan formula *corrosion inhibitor* untuk mencegah terjadinya korosi pada pipa yang dapat memicu pembentukan *scale*  $\text{FeCO}_3$  baik pada formasi maupun pada *tubing*.
5. Perlu dilakukan pemantauan *pressure* dan laju alir fluida terhadap pertumbuhan *scale* di dalam sumur terutama untuk sumur-sumur yang menggunakan pompa ESP sebagai *artificial lift* agar dapat diminimalisir terjadinya pompa yang *stuck* akibat terjadinya *scale*. Penjagaan ini bisa dilakukan melalui hasil evaluasi *scale coupon* dan analisa *pressure drop*.
6. Penting dilakukan monitoring terhadap *performance scale inhibitor* untuk mengetahui keefektifan kinerja dari *scale inhibitor* yang diinjeksikan ke sumur dengan parameter PRC, *turbidity*, dan *hardness* yang dihubungkan terhadap waktu. Keberhasilan penanggulangan *scale* dalam pekerjaan injeksi *scale inhibitor* dengan memonitor perubahan laju alir produksi sebelum dan setelah injeksi. Dari hal tersebut, dapat menentukan keberhasilan *treatment* dari perhitungan *pay out time*, biaya operasi, dan perubahan laju alir tersebut.
7. Untuk merencanakan penjadwalan *acidizing*, terlebih dahulu perlu diketahui pembentukan dari masing-masing tipe *scale*, baik anorganik maupun *scale* organik. Oleh karena itu, diperlukan studi lanjutan terhadap penanganan *scale* organik di lapangan.

## DAFTAR PUSTAKA

1. Anonim. *Produktivitas Sumur.* <http://dosenmigasngawur.com/wp-content/.../03/produktivitas-sumur.doc>
2. Anonim. Sifat Fisik Batuan Reservoir. <http://petroleum-zone.blogspot.com/2009/09/sifat-fisik-batuan-reservoir.html>
3. Anonim. Sifat Fisik Fluida Reservoir. <http://petroleum-zone.blogspot.com/2009/09/sifat-fisik-fluida-reservoir-2.html>
4. Ahmad, Tarek. *Reservoir Engineering Handbook.* Gulf Publishing Company, Houston, Texas. 2000.
5. Frenier, W.,W. *Review of Inorganic Scale Formation, Removal and Inhibition.* Schlumberger. 2003.
6. Harberg, T. Granbakken, D.B. *Scale Formation in Reservoir and Production Equipment During Oil Recovery.* SPE Production Engineering. 1992.
7. <http://ngelmumigas.wordpress.com/>
8. Lake, Larry W. *Petroleum Engineering Handbook, General Engineering, Volume I.* Society of Petroleum Engineers. United States of America. 2006.
9. OLI System 2010, New Version 4.0. <http://www.megaupload.com/?d=359FQRVC>
10. OLI System, Inc. *ScaleChem: General Introduction of ScaleChem Features.* 2006.
11. OLI System, Inc. *Aqueous Modelling Course and Workshop.* 2006.
12. Rachmat, Sudjati. *Reservoir Minyak dan Gas Bumi.* Buku Pintar Migas Indonesia. Komunitas Migas Indonesia.
13. Rodriguez, Valmore and Evaristo Baron. *Field Guidelines For Oilfields Scale and Corrosion Management and Control: Mechanisms, Mitigation, and Prevention.* NExT. Petronas. Malaysia. 2010.

14. Rodriguez, Valmore and Evaristo Baron. *Flow Assurance Aspects: Oilfield Scale and Corrosion Management*. NExT. Petronas. Malaysia. 2010.
15. Shukeir, Ras. *Approach of Scale Problem Removal in GOS Oil Companies*. Egypt. Schlumberger. 2005.
16. Siswoyo, K Erna. *Identifikasi Pembentukan Scale*. Jurusan Teknik Perminyakan, Fakultas Teknologi Mineral. UPN Veteran Yogyakarta. 2005.
17. Siswoyo, K. Erna. *Mekanisme Pembentukan dan Jenis Scale*. Jurusan Teknik Perminyakan, Fakultas Teknologi Mineral. UPN Veteran Yogyakarta. 2005.
18. Snoeyink, Vernon L., David Jenkins. *Water Chemistry*. John Willey & Sons. USA. 1980.
19. Tjondro, Bambang. 1999. *Peralatan Eksplorasi Migas*. Jurusan Teknik Perminyakan Institut Teknologi Bandung.
20. Tjondro, Bambang. 1999. *Stimulasi Sumur*. Jurusan Teknik Perminyakan Institut Teknologi Bandung.
21. Tunggal, Purwoko, Training Center PT Pertamina EP (EPTC). 2010. *Stimulation : A Way To Increase Hydrocarbon Production From Your Wells*. Pertamina EP. Jakarta.
22. Underwood. Analisa Kimia Kuantitatif, Edisi Keempat. New York. 2000
23. Widi, Eko., Anas Puji Santoso, Joko A. *Problem Produksi*. Jurusan Teknik Perminyakan, Fakultas Teknologi Mineral. UPN Veteran Yogyakarta. 2005.
24. William D. McCain. 1990. *The Properties of Petroleum Fluids, Second Edition*. PennWell Publishing Company. Oklahoma. USA

**LAMPIRAN A**  
**DATA PRODUKSI SUMUR**

### Lampiran A.1

#### Data Sumur LMC-XXX

SP-III Date	Zone	TYPE PROD	FLUID (BFPD)	WC (%)	OIL (BOPD)	WATER (BWPD)
01/01/10	Y1,Y3,X3	MMU-3000	2,676	92	214	2,462
02/01/10	Y1,Y3,X3	MMU-3000	2,762	92	221	2,541
03/01/10	Y1,Y3,X3	MMU-3000	2,704	93	189	2,515
04/01/10	Y1,Y3,X3	MMU-3000	2,762	95	138	2,624
05/01/10	Y1,Y3,X3	MMU-3000	2,009	95	100	1,909
06/01/10	Y1,Y3,X3	MMU-3000	1,860	95	102	1,758
07/01/10	Y1,Y3,X3	MMU-3000	2,285	97	80	2,205
08/01/10	Y1,Y3,X3	MMU-3000	2,285	96	91	2,194
09/01/10	Y1,Y3,X3	MMU-3000	2,259	97	68	2,191
10/01/10	Y1,Y3,X3	MMU-3000	2,259	98	45	2,214
11/01/10	Y1,Y3,X3	MMU-3000	2,259	96	90	2,169
12/01/10	Y1,Y3,X3	MMU-3000	2,259	96	90	2,169
13/01/10	Y1,Y3,X3	MMU-3000	2,259	97	68	2,191
14/01/10	Y1,Y3,X3	MMU-3000	2,259	98	45	2,214
15/01/10	Y1,Y3,X3	MMU-3000	2,212	95	111	2,101
16/01/10	Y1,Y3,X3	MMU-3000	2,259	96	90	2,169
17/01/10	Y1,Y3,X3	MMU-3000	2,260	97	68	2,192
18/01/10	Y1,Y3,X3	MMU-3000	2,260	96	90	2,170
19/01/10	Y1,Y3,X3	MMU-3000	2,260	97	68	2,192
20/01/10	Y1,Y3,X3	MMU-3000	2,260	95	113	2,147
21/01/10	Y1,Y3,X3	MMU-3000	2,260	96	90	2,170
22/01/10	Y1,Y3,X3	MMU-3000	2,260	94	136	2,124
23/01/10	Y1,Y3,X3	MMU-3000	2,260	94	136	2,124
24/01/10	Y1,Y3,X3	MMU-3000	2,260	94	136	2,124
25/01/10	Y1,Y3,X3	MMU-3000	2,109	95	105	2,004
26/01/10	Y1,Y3,X3	MMU-3000	2,109	95	112	1,997
27/01/10	Y1,Y3,X3	MMU-3000	2,109	95	116	1,993
28/01/10	Y1,Y3,X3	MMU-3000	2,159	96	86	2,073
29/01/10	Y1,Y3,X3	MMU-3000	2,114	95	106	2,008
30/01/10	Y1,Y3,X3	MMU-3000	2,159	97	65	2,094
31/01/10	Y1,Y3,X3	MMU-3000	1,757	96	70	1,687
01/02/10	Y1,Y3,X3	MMU-3000	1,757	96	70	1,687
02/02/10	Y1,Y3,X3	MMU-3000	1,757	95	88	1,669
03/02/10	Y1,Y3,X3	MMU-3000	1,757	96	70	1,687
04/02/10	Y1,Y3,X3	MMU-3000	1,757	95	88	1,669
05/02/10	Y1,Y3,X3	MMU-3000	1,876	95	94	1,783
06/02/10	Y1,Y3,X3	MMU-3000	1,958	97	59	1,899
07/02/10	Y1,Y3,X3	MMU-3000	1,958	97	69	1,889
08/02/10	Y1,Y3,X3	MMU-3000	1,958	95	98	1,860
09/02/10	Y1,Y3,X3	MMU-3000	1,958	95	98	1,860
10/02/10	Y1,Y3,X3	MMU-3000	2,109	94	127	1,982
11/02/10	Y1,Y3,X3	MMU-3000	2,109	95	105	2,004
12/02/10	Y1,Y3,X3	MMU-3000	2,109	95	105	2,004
13/02/10	Y1,Y3,X3	MMU-3000	1,975	95	99	1,876

SP-III Date	Zone	TYPE PROD	FLUID (BFPD)	WC (%)	OIL (BOPD)	WATER (BWPD)
14/02/10	Y1,Y3,X3	MMU-3000	1,975	95	99	1,876
15/02/10	Y1,Y3,X3	MMU-3000	1,975	94	119	1,857
16/02/10	Y1,Y3,X3	MMU-3000	1,975	93	138	1,837
17/02/10	Y1,Y3,X3	MMU-3000	2,042	95	112	1,930
18/02/10	Y1,Y3,X3	MMU-3000	2,042	97	61	1,981
19/02/10	Y1,Y3,X3	MMU-3000	2,042	97	71	1,971
20/02/10	Y1,Y3,X3	MMU-3000	2,042	96	82	1,960
21/02/10	Y1,Y3,X3	MMU-3000	2,042	97	71	1,971
22/02/10	Y1,Y3,X3	MMU-3000	1,815	97	54	1,761
23/02/10	Y1,Y3,X3	MMU-3000	1,958	97	59	1,899
24/02/10	Y1,Y3,X3	MMU-3000	1,958	97	59	1,899
25/02/10	Y1,Y3,X3	MMU-3000	1,958	95	98	1,860
26/02/10	Y1,Y3,X3	MMU-3000	1,958	96	85	1,873
27/02/10	Y1,Y3,X3	MMU-3000	2,159	97	65	2,094
28/02/10	Y1,Y3,X3	MMU-3000	2,159	96	83	2,076
01/03/10	Y1,Y3,X3	MMU-3000	2,159	96	83	2,076
02/03/10	Y1,Y3,X3	MMU-3000	2,002	96	80	1,922
03/03/10	Y1,Y3,X3	MMU-3000	2,109	96	84	2,025
04/03/10	Y1,Y3,X3	MMU-3000	2,109	96	84	2,025
05/03/10	Y1,Y3,X3	MMU-3000	2,109	96	84	2,025
06/03/10	Y1,Y3,X3	MMU-3000	835	96	33	801
07/03/10	Y1,Y3,X3	MMU-3000	0	0	0	0
08/03/10	Y1,Y3,X3	MMU-3000	0	0	0	0
09/03/10	Y1,Y3,X3	MMU-3000	0	0	0	0
10/03/10	Y1,Y3,X3	MMU-3000	0	0	0	0
11/03/10	Y1,Y3,X3	MMU-3000	0	0	0	0
12/03/10	Y1,Y3,X3	MMU-3000	101	98	2	99
13/03/10	Y1,Y3,X3	MMU-3000	0	0	0	0
14/03/10	Y1,Y3,X3	MMU-3000	0	0	0	0
15/03/10	Y1,Y3,X3	MMU-3000	0	0	0	0
16/03/10	Y1,Y3,X3	MMU-3000	2,609	96	98	2,511
17/03/10	Y1,Y3,X3	MMU-3000	2,711	96	108	2,603
18/03/10	Y1,Y3,X3	MMU-3000	2,711	96	108	2,603
19/03/10	Y1,Y3,X3	MMU-3000	2,260	96	90	2,170
20/03/10	Y1,Y3,X3	MMU-3000	2,260	96	90	2,170
21/03/10	Y1,Y3,X3	MMU-3000	2,260	96	90	2,170
22/03/10	Y1,Y3,X3	MMU-3000	2,260	96	90	2,170
23/03/10	Y1,Y3,X3	MMU-3000	2,458	96	98	2,360
24/03/10	Y1,Y3,X3	MMU-3000	2,461	96	98	2,363
25/03/10	Y1,Y3,X3	MMU-3000	2,461	96	98	2,363
26/03/10	Y1,Y3,X3	MMU-3000	2,461	96	98	2,363
27/03/10	Y1,Y3,X3	MMU-3000	2,461	96	98	2,363
28/03/10	Y1,Y3,X3	MMU-3000	2,461	96	98	2,363
29/03/10	Y1,Y3,X3	MMU-3000	2,461	96	98	2,363

SP-III	Zone	TYPE PROD	FLUID (BFPD)	WC (%)	OIL (BOPD)	WATER (BWPD)
30/03/10	Y1,Y3,X3	MMU-3000	2,377	93	166	2,211
31/03/10	Y1,Y3,X3	MMU-3000	2,377	93	166	2,211
01/04/10	Y1,Y3,X3	MMU-3000	2,377	93	166	2,211
02/04/10	Y1,Y3,X3	MMU-3000	2,377	93	166	2,211
03/04/10	Y1,Y3,X3	MMU-3000	2,377	93	166	2,211
04/04/10	Y1,Y3,X3	MMU-3000	2,377	93	166	2,211
05/04/10	Y1,Y3,X3	MMU-3000	2,377	93	166	2,211
06/04/10	Y1,Y3,X3	MMU-3000	2,377	93	166	2,211
07/04/10	Y1,Y3,X3	MMU-3000	2,276	93	159	2,117
08/04/10	Y1,Y3,X3	MMU-3000	2,276	93	159	2,117
09/04/10	Y1,Y3,X3	MMU-3000	2,277	93	159	2,118
10/04/10	Y1,Y3,X3	MMU-3000	2,277	93	159	2,118
11/04/10	Y1,Y3,X3	MMU-3000	2,377	93	166	2,211
12/04/10	Y1,Y3,X3	MMU-3000	2,377	93	166	2,211
13/04/10	Y1,Y3,X3	MMU-3000	2,377	93	166	2,211
14/04/10	Y1,Y3,X3	MMU-3000	2,377	93	166	2,211
15/04/10	Y1,Y3,X3	MMU-3000	2,377	93	166	2,211
16/04/10	Y1,Y3,X3	MMU-3000	2,260	93	158	2,102
17/04/10	Y1,Y3,X3	MMU-3000	2,260	93	158	2,102
18/04/10	Y1,Y3,X3	MMU-3000	2,260	93	158	2,102
19/04/10	Y1,Y3,X3	MMU-3000	2,312	93	162	2,150
20/04/10	Y1,Y3,X3	MMU-3000	2,312	93	162	2,150
21/04/10	Y1,Y3,X3	MMU-3000	2,312	93	162	2,150
22/04/10	Y1,Y3,X3	MMU-3000	2,312	93	162	2,150
23/04/10	Y1,Y3,X3	MMU-3000	2,312	93	162	2,150
24/04/10	Y1,Y3,X3	MMU-3000	2,176	93	152	2,024
25/04/10	Y1,Y3,X3	MMU-3000	2,131	93	149	1,982
26/04/10	Y1,Y3,X3	MMU-3000	1,972	93	138	1,834
27/04/10	Y1,Y3,X3	MMU-3000	1,451	93	102	1,349
28/04/10	Y1,Y3,X3	MMU-3000	2,209	93	155	2,054
29/04/10	Y1,Y3,X3	MMU-3000	2,209	93	155	2,054
30/04/10	Y1,Y3,X3	MMU-3000	1,910	93	134	1,776
01/05/10	Y1,Y3,X3	MMU-3000	2,209	93	155	2,054
02/05/10	Y1,Y3,X3	MMU-3000	598	93	42	556
03/05/10	Y1,Y3,X3	MMU-3000	2,209	93	155	2,054
04/05/10	Y1,Y3,X3	MMU-3000	2,209	93	155	2,054
05/05/10	Y1,Y3,X3	MMU-3000	2,209	93	155	2,054
06/05/10	Y1,Y3,X3	MMU-3000	1,887	93	132	1,755
07/05/10	Y1,Y3,X3	MMU-3000	2,209	93	155	2,054
08/05/10	Y1,Y3,X3	MMU-3000	2,410	93	169	2,241
09/05/10	Y1,Y3,X3	MMU-3000	2,360	93	165	2,195
10/05/10	Y1,Y3,X3	MMU-3000	2,410	93	169	2,241
11/05/10	Y1,Y3,X3	MMU-3000	2,477	93	173	2,304
12/05/10	Y1,Y3,X3	MMU-3000	2,477	93	173	2,304
13/05/10	Y1,Y3,X3	MMU-3000	2,477	93	173	2,304
14/05/10	Y1,Y3,X3	MMU-3000	2,384	93	167	2,217

SP-III	Zone	TYPE PROD	FLUID (BFPD)	WC (%)	OIL (BOPD)	WATER (BWPD)
15/05/10	Y1,Y3,X3	MMU-3000	2,384	93	167	2,217
16/05/10	Y1,Y3,X3	MMU-3000	2,384	93	167	2,217
17/05/10	Y1,Y3,X3	MMU-3000	2,234	93	156	2,078
18/05/10	Y1,Y3,X3	MMU-3000	2,234	93	156	2,078
19/05/10	Y1,Y3,X3	MMU-3000	2,234	93	156	2,078
20/05/10	Y1,Y3,X3	MMU-2000	2,234	93	156	2,078
21/05/10	Y1,Y3,X3	MMU-2000	2,234	93	156	2,078
22/05/10	Y1,Y3,X3	MMU-2000	1,978	93	138	1,840
23/05/10	Y1,Y3,X3	MMU-2000	2,613	93	183	2,430
24/05/10	Y1,Y3,X3	MMU-2000	2,581	93	181	2,400
25/05/10	Y1,Y3,X3	MMU-2000	2,581	93	181	2,400
26/05/10	Y1,Y3,X3	MMU-2000	2,581	93	181	2,400
27/05/10	Y1,Y3,X3	MMU-2000	2,581	93	181	2,400
28/05/10	Y1,Y3,X3	MMU-2000	2,581	93	181	2,400
29/05/10	Y1,Y3,X3	MMU-2000	2,277	96	91	2,186
30/05/10	Y1,Y3,X3	MMU-2000	2,277	96	91	2,186
31/05/10	Y1,Y3,X3	MMU-2000	2,277	96	91	2,186
01/06/10	Y1,Y3,X3	MMU-2000	2,277	96	91	2,186
02/06/10	Y1,Y3,X3	MMU-2000	2,210	95	122	2,088
03/06/10	Y1,Y3,X3	MMU-2000	2,210	95	122	2,088
04/06/10	Y1,Y3,X3	MMU-2000	2,210	95	122	2,088
05/06/10	Y1,Y3,X3	MMU-2000	2,160	96	97	2,063
06/06/10	Y1,Y3,X3	MMU-2000	2,160	96	97	2,063
07/06/10	Y1,Y3,X3	MMU-2000	2,160	96	97	2,063
08/06/10	Y1,Y3,X3	MMU-2000	2,160	96	97	2,063
09/06/10	Y1,Y3,X3	MMU-2000	2,249	96	101	2,148
10/06/10	Y1,Y3,X3	MMU-2000	2,249	96	101	2,148
11/06/10	Y1,Y3,X3	MMU-2000	2,249	96	101	2,148
12/06/10	Y1,Y3,X3	MMU-2000	2,249	96	101	2,148
13/06/10	Y1,Y3,X3	MMU-2000	2,287	96	103	2,184
14/06/10	Y1,Y3,X3	MMU-2000	2,287	96	103	2,184
15/06/10	Y1,Y3,X3	MMU-2000	2,287	96	103	2,184
16/06/10	Y1,Y3,X3	MMU-2000	2,084	96	83	2,001
17/06/10	Y1,Y3,X3	MMU-2000	2,084	96	83	2,001
18/06/10	Y1,Y3,X3	MMU-2000	2,084	96	83	2,001
19/06/10	Y1,Y3,X3	MMU-2000	2,360	96	94	2,266
20/06/10	Y1,Y3,X3	MMU-2000	1,623	96	65	1,558
21/06/10	Y1,Y3,X3	MMU-2000	2,377	96	95	2,282
22/06/10	Y1,Y3,X3	MMU-2000	2,377	96	95	2,282
23/06/10	Y1,Y3,X3	MMU-2000	2,377	96	95	2,282
24/06/10	Y1,Y3,X3	MMU-2000	2,377	96	95	2,282
25/06/10	Y1,Y3,X3	MMU-2000	2,262	96	90	2,172
26/06/10	Y1,Y3,X3	MMU-2000	2,262	96	90	2,172
27/06/10	Y1,Y3,X3	MMU-2000	2,262	96	90	2,172
28/06/10	Y1,Y3,X3	MMU-2000	2,262	96	90	2,172
29/06/10	Y1,Y3,X3	MMU-2000	2,262	96	90	2,172

SP-III	Zone	TYPE PROD	FLUID (BFPD)	WC (%)	OIL (BOPD)	WATER (BWPD)
30/06/10	Y1,Y3,X3	MMU-2000	2,262	96	90	2,172
01/07/10	Y1,Y3,X3	MMU-2000	1,925	96	77	1,848
02/07/10	Y1,Y3,X3	MMU-2000	1,636	96	65	1,570
03/07/10	Y1,Y3,X3	MMU-2000	1,517	96	61	1,457
04/07/10	Y1,Y3,X3	MMU-2000	2,086	96	83	2,003
05/07/10	Y1,Y3,X3	MMU-2000	2,260	97	68	2,192
06/07/10	Y1,Y3,X3	MMU-2000	2,109	97	74	2,035
07/07/10	Y1,Y3,X3	MMU-2000	2,109	97	74	2,035
08/07/10	Y1,Y3,X3	MMU-2000	2,021	97	71	1,950
09/07/10	Y1,Y3,X3	MMU-2000	1,942	96	78	1,864
10/07/10	Y1,Y3,X3	MMU-2000	1,942	96	78	1,864
11/07/10	Y1,Y3,X3	MMU-2000	1,942	96	78	1,864
12/07/10	Y1,Y3,X3	MMU-2000	2,210	97	66	2,144
13/07/10	Y1,Y3,X3	MMU-2000	2,210	97	66	2,144
14/07/10	Y1,Y3,X3	MMU-2000	2,210	97	66	2,144
15/07/10	Y1,Y3,X3	MMU-2000	2,210	97	66	2,144
16/07/10	Y1,Y3,X3	MMU-2000	2,210	97	66	2,144
17/07/10	Y1,Y3,X3	MMU-2000	2,210	97	66	2,144
18/07/10	Y1,Y3,X3	MMU-2000	2,118	97	64	2,054
19/07/10	Y1,Y3,X3	MMU-2000	1,852	93	130	1,723
20/07/10	Y1,Y3,X3	MMU-2000	2,059	95	103	1,956
21/07/10	Y1,Y3,X3	MMU-2000	2,209	94	133	2,076
22/07/10	Y1,Y3,X3	MMU-2000	2,213	94	133	2,080
23/07/10	Y1,Y3,X3	MMU-2000	2,213	94	133	2,080
24/07/10	Y1,Y3,X3	MMU-2000	2,243	96	90	2,153
25/07/10	Y1,Y3,X3	MMU-2000	2,243	96	90	2,153
26/07/10	Y1,Y3,X3	MMU-2000	1,402	96	56	1,346
27/07/10	Y1,Y3,X3	MMU-2000	0	0	0	0
28/07/10	Y1,Y3,X3	MMU-2000	0	0	0	0
29/07/10	Y1,Y3,X3	MMU-2000	0	0	0	0
30/07/10	Y1,Y3,X3	MMU-2000	0	0	0	0
31/07/10	Y1,Y3,X3	MMU-2000	0	0	0	0
01/08/10	Y1,Y3,X3	MMU-2000	0	0	0	0
02/08/10	Y1,Y3,X3	EJP-3200	1,253	100	6	1,246
03/08/10	Y1,Y3,X3	EJP-3200	3,348	97	110	3,238
04/08/10	Y1,Y3,X3	EJP-3200	3,281	96	131	3,150
05/08/10	Y1,Y3,X3	EJP-3200	2,666	96	107	2,559
06/08/10	Y1,Y3,X3	EJP-3200	2,987	97	105	2,882
07/08/10	Y1,Y3,X3	EJP-3200	2,811	98	70	2,741
08/08/10	Y1,Y3,X3	EJP-3200	2,811	98	70	2,741
09/08/10	Y1,Y3,X3	EJP-3200	2,811	98	70	2,741
10/08/10	Y1,Y3,X3	EJP-3200	2,811	98	70	2,741
11/08/10	Y1,Y3,X3	EJP-3200	2,811	98	70	2,741
12/08/10	Y1,Y3,X3	EJP-3200	2,812	98	70	2,742
13/08/10	Y1,Y3,X3	EJP-3200	2,812	98	70	2,742
14/08/10	Y1,Y3,X3	EJP-3200	2,812	98	70	2,742

SP-III	Zone	TYPE PROD	FLUID (BFPD)	WC (%)	OIL (BOPD)	WATER (BWPD)
15/08/10	Y1,Y3,X3	EJP-3200	2,812	98	70	2,742
16/08/10	Y1,Y3,X3	EJP-3200	2,913	98	73	2,840
17/08/10	Y1,Y3,X3	EJP-3200	2,913	98	73	2,840
18/08/10	Y1,Y3,X3	EJP-3200	2,913	98	73	2,840
19/08/10	Y1,Y3,X3	EJP-3200	2,913	98	73	2,840
20/08/10	Y1,Y3,X3	EJP-3200	2,913	98	73	2,840
21/08/10	Y1,Y3,X3	EJP-3200	2,913	98	73	2,840
22/08/10	Y1,Y3,X3	EJP-3200	2,678	98	67	2,611
23/08/10	Y1,Y3,X3	EJP-3200	2,678	98	67	2,611
24/08/10	Y1,Y3,X3	EJP-3200	2,678	98	67	2,611
25/08/10	Y1,Y3,X3	EJP-3200	2,678	98	67	2,611
26/08/10	Y1,Y3,X3	EJP-3200	2,678	98	67	2,611
27/08/10	Y1,Y3,X3	EJP-3200	2,678	98	67	2,611
28/08/10	Y1,Y3,X3	EJP-3200	2,678	98	67	2,611
29/08/10	Y1,Y3,X3	EJP-3200	2,678	98	67	2,611
30/08/10	Y1,Y3,X3	EJP-3200	2,678	98	67	2,611
31/08/10	Y1,Y3,X3	EJP-3200	2,678	98	67	2,611
01/09/10	Y1,Y3,X3	EJP-3200	1,367	98	34	1,333
02/09/10	Y1,Y3,X3	EJP-3200	2,678	98	67	2,611
03/09/10	Y1,Y3,X3	EJP-3200	2,678	98	67	2,611
04/09/10	Y1,Y3,X3	EJP-3200	2,678	98	67	2,611
05/09/10	Y1,Y3,X3	EJP-3200	2,678	98	67	2,611
06/09/10	Y1,Y3,X3	EJP-3200	1,733	98	43	1,690
07/09/10	Y1,Y3,X3	EJP-3200	1,390	98	35	1,355
08/09/10	Y1,Y3,X3	EJP-3200	2,862	97	86	2,776
09/09/10	Y1,Y3,X3	EJP-3200	2,862	97	86	2,776
10/09/10	Y1,Y3,X3	EJP-3200	2,862	97	86	2,776
11/09/10	Y1,Y3,X3	EJP-3200	2,779	96	111	2,668
12/09/10	Y1,Y3,X3	EJP-3200	2,547	96	102	2,446
13/09/10	Y1,Y3,X3	EJP-3200	2,779	96	111	2,668
14/09/10	Y1,Y3,X3	EJP-3200	2,084	96	83	2,001
15/09/10	Y1,Y3,X3	EJP-3200	839	96	34	806
16/09/10	Y1,Y3,X3	EJP-3200	2,779	96	111	2,668
17/09/10	Y1,Y3,X3	EJP-3200	3,414	97	102	3,312
18/09/10	Y1,Y3,X3	EJP-3200	3,414	97	102	3,312
19/09/10	Y1,Y3,X3	EJP-3200	3,414	97	102	3,312
20/09/10	Y1,Y3,X3	EJP-3200	3,144	97	94	3,049
21/09/10	Y1,Y3,X3	EJP-3200	3,245	97	97	3,148
22/09/10	Y1,Y3,X3	EJP-3200	3,250	96	130	3,120
23/09/10	Y1,Y3,X3	EJP-3200	3,250	96	130	3,120
24/09/10	Y1,Y3,X3	EJP-3200	3,250	96	130	3,120
25/09/10	Y1,Y3,X3	EJP-3200	3,010	97	90	2,920
26/09/10	Y1,Y3,X3	EJP-3200	3,010	97	90	2,920
27/09/10	Y1,Y3,X3	EJP-3200	3,010	97	90	2,920
28/09/10	Y1,Y3,X3	EJP-3200	2,636	97	79	2,557
29/09/10	Y1,Y3,X3	EJP-3200	3,013	97	90	2,923

SP-III	Zone	TYPE PROD	FLUID (BFPD)	WC (%)	OIL (BOPD)	WATER (BWPD)
30/09/10	Y1,Y3,X3	EJP-3200	3,247	97	97	3,150
01/10/10	Y1,Y3,X3	EJP-3200	3,247	97	97	3,150
02/10/10	Y1,Y3,X3	EJP-3200	3,247	97	97	3,150
03/10/10	Y1,Y3,X3	EJP-3200	3,247	97	97	3,150
04/10/10	Y1,Y3,X3	EJP-3200	3,289	98	66	3,223
05/10/10	Y1,Y3,X3	EJP-3200	3,289	98	66	3,223
06/10/10	Y1,Y3,X3	EJP-3200	3,289	98	66	3,223
07/10/10	Y1,Y3,X3	EJP-3200	2,889	97	87	2,802
08/10/10	Y1,Y3,X3	EJP-3200	2,799	97	84	2,715
09/10/10	Y1,Y3,X3	EJP-3200	2,986	97	90	2,896
10/10/10	Y1,Y3,X3	EJP-3200	2,986	97	90	2,896
11/10/10	Y1,Y3,X3	EJP-3200	2,986	97	90	2,896
12/10/10	Y1,Y3,X3	EJP-3200	2,811	96	112	2,699
13/10/10	Y1,Y3,X3	EJP-3200	2,811	96	112	2,699
14/10/10	Y1,Y3,X3	EJP-3200	2,712	96	108	2,604
15/10/10	Y1,Y3,X3	EJP-3200	2,712	96	108	2,604
16/10/10	Y1,Y3,X3	EJP-3200	2,712	97	81	2,631
17/10/10	Y1,Y3,X3	EJP-3200	2,712	97	81	2,631
18/10/10	Y1,Y3,X3	EJP-3200	2,712	98	54	2,658
19/10/10	Y1,Y3,X3	EJP-3200	2,662	98	53	2,609
20/10/10	Y1,Y3,X3	EJP-3200	2,662	98	53	2,609
21/10/10	Y1,Y3,X3	EJP-3200	2,607	98	52	2,554
22/10/10	Y1,Y3,X3	EJP-3200	2,712	97	81	2,631
23/10/10	Y1,Y3,X3	EJP-3200	2,712	97	81	2,631
24/10/10	Y1,Y3,X3	EJP-3200	2,712	97	81	2,631
25/10/10	Y1,Y3,X3	EJP-3200	2,712	97	81	2,631
26/10/10	Y1,Y3,X3	EJP-3200	2,712	97	81	2,631
27/10/10	Y1,Y3,X3	EJP-3200	2,712	97	81	2,631
28/10/10	Y1,Y3,X3	EJP-3200	2,712	97	81	2,631
29/10/10	Y1,Y3,X3	EJP-3200	2,712	97	81	2,631
30/10/10	Y1,Y3,X3	EJP-3200	2,712	97	81	2,631
31/10/10	Y1,Y3,X3	EJP-3200	2,712	97	81	2,631
01/11/10	Y1,Y3,X3	EJP-3200	2,209	97	66	2,143
02/11/10	Y1,Y3,X3	EJP-3200	2,209	97	66	2,143
03/11/10	Y1,Y3,X3	EJP-3200	2,112	97	63	2,049
04/11/10	Y1,Y3,X3	EJP-3200	2,112	97	63	2,049
05/11/10	Y1,Y3,X3	EJP-3200	2,885	97	87	2,798
06/11/10	Y1,Y3,X3	EJP-3200	2,946	97	88	2,858
07/11/10	Y1,Y3,X3	EJP-3200	2,946	97	88	2,858
08/11/10	Y1,Y3,X3	EJP-3200	3,080	97	92	2,988
09/11/10	Y1,Y3,X3	EJP-3200	2,960	97	89	2,871
10/11/10	Y1,Y3,X3	EJP-3200	2,960	97	89	2,871
11/11/10	Y1,Y3,X3	EJP-3200	2,960	97	89	2,871
12/11/10	Y1,Y3,X3	EJP-3200	2,980	97	89	2,891
13/11/10	Y1,Y3,X3	EJP-3200	2,980	97	89	2,891
14/11/10	Y1,Y3,X3	EJP-3200	2,980	97	89	2,891

SP-III	Zone	TYPE PROD	FLUID (BFPD)	WC (%)	OIL (BOPD)	WATER (BWPD)
15/11/10	Y1,Y3,X3	EJP-3200	2,946	97	88	2,858
16/11/10	Y1,Y3,X3	EJP-3200	2,946	97	88	2,858
17/11/10	Y1,Y3,X3	EJP-3200	2,946	97	88	2,858
18/11/10	Y1,Y3,X3	EJP-3200	2,946	97	88	2,858
19/11/10	Y1,Y3,X3	EJP-3200	2,885	97	87	2,798
20/11/10	Y1,Y3,X3	EJP-3200	1,983	97	59	1,924
21/11/10	Y1,Y3,X3	EJP-3200	1,983	97	59	1,924
22/11/10	Y1,Y3,X3	EJP-3200	1,667	97	50	1,617
23/11/10	Y1,Y3,X3	EJP-3200	1,667	97	50	1,617
24/11/10	Y1,Y3,X3	EJP-3200	1,459	97	44	1,415
25/11/10	Y1,Y3,X3	EJP-3200	3,080	98	62	3,018
26/11/10	Y1,Y3,X3	EJP-3200	3,016	98	60	2,956
27/11/10	Y1,Y3,X3	EJP-3200	3,147	98	63	3,084
28/11/10	Y1,Y3,X3	EJP-3200	3,147	98	63	3,084
29/11/10	Y1,Y3,X3	EJP-3200	3,147	98	63	3,084
30/11/10	Y1,Y3,X3	EJP-3200	2,712	98	54	2,658
01/12/10	Y1,Y3,X3	EJP-3200	2,712	98	54	2,658
02/12/10	Y1,Y3,X3	EJP-3200	2,779	98	56	2,723
03/12/10	Y1,Y3,X3	EJP-3200	2,779	98	56	2,723
04/12/10	Y1,Y3,X3	EJP-3200	2,692	98	54	2,638
05/12/10	Y1,Y3,X3	EJP-3200	2,737	98	55	2,682
06/12/10	Y1,Y3,X3	EJP-3200	2,737	98	55	2,682
07/12/10	Y1,Y3,X3	EJP-3200	2,779	98	56	2,723
08/12/10	Y1,Y3,X3	EJP-3200	2,779	98	56	2,723
09/12/10	Y1,Y3,X3	EJP-3200	2,711	98	54	2,657
10/12/10	Y1,Y3,X3	EJP-3200	2,711	98	54	2,657
11/12/10	Y1,Y3,X3	EJP-3200	1,085	98	22	1,063
12/12/10	Y1,Y3,X3	EJP-3200	630	98	13	617
13/12/10	Y1,Y3,X3	EJP-3200	452	98	9	443
14/12/10	Y1,Y3,X3	EJP-3200	273	98	5	268
15/12/10	Y1,Y3,X3	EJP-3200	0	0	0	0
16/12/10	Y1,Y3,X3	EJP-3200	0	0	0	0
17/12/10	Y1,Y3,X3	EJP-3200	0	0	0	0
18/12/10	Y1,Y3,X3	EJP-3200	0	0	0	0
19/12/10	Y1,Y3,X3	EJP-3200	0	0	0	0
20/12/10	Y1,Y3,X3	EJP-3200	1,107	100	0	1,107
21/12/10	Y1,Y3,X3	EJP-3200	2,166	97	65	2,101
22/12/10	Y1,Y3,X3	EJP-3200	1,466	97	44	1,422
23/12/10	Y1,Y3,X3	EJP-3200	1,466	97	44	1,422
24/12/10	Y1,Y3,X3	EJP-3200	1,466	97	44	1,422
25/12/10	Y1,Y3,X3	EJP-3200	2,645	97	79	2,566
26/12/10	Y1,Y3,X3	EJP-3200	2,645	97	79	2,566
27/12/10	Y1,Y3,X3	EJP-3200	1,959	97	59	1,900
28/12/10	Y1,Y3,X3	EJP-3200	1,959	97	59	1,900
29/12/10	Y1,Y3,X3	EJP-3200	1,959	97	59	1,900
30/12/10	Y1,Y3,X3	EJP-3200	1,928	97	58	1,870

**Lampiran A.2**  
**Data Sumur L5A-YYY**

SP-III Date	Zone	TYPE PROD	FLUID (BFPD)	WC (%)	OIL (BOPD)	WATER (BWPD)
01/01/10	W3,X123,Y123,Z1	ING-4000	2,781	96	111	2,670
02/01/10	W3,X123,Y123,Z1	ING-4000	2,781	97	83	2,698
03/01/10	W3,X123,Y123,Z1	ING-4000	2,781	96	111	2,670
04/01/10	W3,X123,Y123,Z1	ING-4000	2,665	96	107	2,559
05/01/10	W3,X123,Y123,Z1	ING-4000	2,781	96	111	2,670
06/01/10	W3,X123,Y123,Z1	ING-4000	2,781	96	111	2,670
07/01/10	W3,X123,Y123,Z1	ING-4000	464	96	19	445
08/01/10	W3,X123,Y123,Z1	ING-4000	0	0	0	0
09/01/10	W3,X123,Y123,Z1	ING-4000	116	100	0	116
10/01/10	W3,X123,Y123,Z1	ING-4000	2,236	97	67	2,169
11/01/10	W3,X123,Y123,Z1	ING-4000	2,439	96	98	2,341
12/01/10	W3,X123,Y123,Z1	ING-4000	2,439	96	98	2,341
13/01/10	W3,X123,Y123,Z1	ING-4000	2,439	96	98	2,341
14/01/10	W3,X123,Y123,Z1	ING-4000	2,439	96	98	2,341
15/01/10	W3,X123,Y123,Z1	ING-4000	2,439	96	98	2,341
16/01/10	W3,X123,Y123,Z1	ING-4000	2,439	96	98	2,341
17/01/10	W3,X123,Y123,Z1	ING-4000	2,439	96	98	2,341
18/01/10	W3,X123,Y123,Z1	ING-4000	2,033	96	81	1,951
19/01/10	W3,X123,Y123,Z1	ING-4000	2,439	95	122	2,317
20/01/10	W3,X123,Y123,Z1	ING-4000	2,439	95	122	2,317
21/01/10	W3,X123,Y123,Z1	ING-4000	2,439	96	98	2,341
22/01/10	W3,X123,Y123,Z1	ING-4000	2,374	95	119	2,255
23/01/10	W3,X123,Y123,Z1	ING-4000	2,374	94	142	2,232
24/01/10	W3,X123,Y123,Z1	ING-4000	2,374	95	119	2,255
25/01/10	W3,X123,Y123,Z1	ING-4000	2,374	94	142	2,232
26/01/10	W3,X123,Y123,Z1	ING-4000	2,374	96	95	2,279
27/01/10	W3,X123,Y123,Z1	ING-4000	2,374	95	119	2,255
28/01/10	W3,X123,Y123,Z1	ING-4000	2,374	95	128	2,246
29/01/10	W3,X123,Y123,Z1	ING-4000	2,374	94	142	2,232
30/01/10	W3,X123,Y123,Z1	ING-4000	2,374	94	142	2,232
31/01/10	W3,X123,Y123,Z1	ING-4000	2,374	94	142	2,232
01/02/10	W3,X123,Y123,Z1	ING-4000	2,374	96	107	2,267
02/02/10	W3,X123,Y123,Z1	ING-4000	2,374	95	119	2,255
03/02/10	W3,X123,Y123,Z1	ING-4000	2,374	96	95	2,279
04/02/10	W3,X123,Y123,Z1	ING-4000	2,374	95	119	2,255
05/02/10	W3,X123,Y123,Z1	ING-4000	2,374	94	142	2,232
06/02/10	W3,X123,Y123,Z1	ING-4000	2,374	96	95	2,279
07/02/10	W3,X123,Y123,Z1	ING-4000	2,374	96	95	2,279
08/02/10	W3,X123,Y123,Z1	ING-4000	2,374	95	119	2,255
09/02/10	W3,X123,Y123,Z1	ING-4000	2,374	96	95	2,279
10/02/10	W3,X123,Y123,Z1	ING-4000	2,374	95	119	2,255
11/02/10	W3,X123,Y123,Z1	ING-4000	2,374	96	95	2,279
12/02/10	W3,X123,Y123,Z1	ING-4000	2,374	96	95	2,279
13/02/10	W3,X123,Y123,Z1	ING-4000	2,342	96	94	2,248

SP-III Date	Zone	TYPE PROD	FLUID (BFPD)	WC (%)	OIL (BOPD)	WATER (BWPD)
14/02/10	W3,X123,Y123,Z1	ING-4000	2,342	96	94	2,248
15/02/10	W3,X123,Y123,Z1	ING-4000	2,342	96	94	2,248
16/02/10	W3,X123,Y123,Z1	ING-4000	2,342	95	117	2,225
17/02/10	W3,X123,Y123,Z1	ING-4000	2,342	95	117	2,225
18/02/10	W3,X123,Y123,Z1	ING-4000	2,342	95	117	2,225
19/02/10	W3,X123,Y123,Z1	ING-4000	2,342	96	94	2,248
20/02/10	W3,X123,Y123,Z1	ING-4000	2,342	95	117	2,225
21/02/10	W3,X123,Y123,Z1	ING-4000	2,342	95	117	2,225
22/02/10	W3,X123,Y123,Z1	ING-4000	2,342	95	117	2,225
23/02/10	W3,X123,Y123,Z1	ING-4000	2,342	96	94	2,248
24/02/10	W3,X123,Y123,Z1	ING-4000	2,342	96	94	2,248
25/02/10	W3,X123,Y123,Z1	ING-4000	2,342	95	117	2,225
26/02/10	W3,X123,Y123,Z1	ING-4000	2,667	95	133	2,534
27/02/10	W3,X123,Y123,Z1	ING-4000	2,667	95	133	2,534
28/02/10	W3,X123,Y123,Z1	ING-2500	2,667	96	107	2,560
01/03/10	W3,X123,Y123,Z1	ING-2500	2,667	96	107	2,560
02/03/10	W3,X123,Y123,Z1	ING-2500	2,667	96	107	2,560
03/03/10	W3,X123,Y123,Z1	ING-2500	2,667	96	107	2,560
04/03/10	W3,X123,Y123,Z1	ING-2500	2,667	95	133	2,534
05/03/10	W3,X123,Y123,Z1	ING-2500	2,667	95	147	2,520
06/03/10	W3,X123,Y123,Z1	ING-2500	2,667	95	133	2,534
07/03/10	W3,X123,Y123,Z1	ING-2500	2,667	95	133	2,534
08/03/10	W3,X123,Y123,Z1	ING-2500	2,374	94	142	2,232
09/03/10	W3,X123,Y123,Z1	ING-2500	2,407	96	96	2,311
10/03/10	W3,X123,Y123,Z1	ING-2500	2,407	96	96	2,311
11/03/10	W3,X123,Y123,Z1	ING-2500	2,407	96	96	2,311
12/03/10	W3,X123,Y123,Z1	ING-2500	2,407	96	96	2,311
13/03/10	W3,X123,Y123,Z1	ING-2500	2,407	96	96	2,311
14/03/10	W3,X123,Y123,Z1	ING-2500	2,031	96	81	1,950
15/03/10	W3,X123,Y123,Z1	ING-2500	2,407	96	96	2,311
16/03/10	W3,X123,Y123,Z1	ING-2500	2,316	95	116	2,200
17/03/10	W3,X123,Y123,Z1	ING-2500	2,316	95	116	2,200
18/03/10	W3,X123,Y123,Z1	ING-2500	2,316	94	139	2,177
19/03/10	W3,X123,Y123,Z1	ING-2500	2,316	94	139	2,177
20/03/10	W3,X123,Y123,Z1	ING-2500	2,316	94	139	2,177
21/03/10	W3,X123,Y123,Z1	ING-2500	2,316	94	139	2,177
22/03/10	W3,X123,Y123,Z1	ING-2500	2,316	94	139	2,177
23/03/10	W3,X123,Y123,Z1	ING-2500	2,316	94	139	2,177
24/03/10	W3,X123,Y123,Z1	ING-2500	2,316	94	139	2,177
25/03/10	W3,X123,Y123,Z1	ING-2500	1,785	94	107	1,678
26/03/10	W3,X123,Y123,Z1	ING-2500	2,472	95	124	2,348
27/03/10	W3,X123,Y123,Z1	ING-2500	2,472	95	124	2,348
28/03/10	W3,X123,Y123,Z1	ING-2500	2,472	95	124	2,348
29/03/10	W3,X123,Y123,Z1	ING-2500	2,472	95	124	2,348

SP-III Date	Zone	TYPE PROD	FLUID (BFPD)	WC (%)	OIL (BOPD)	WATER (BWPD)
30/03/10	W3,X123,Y123,Z1	ING-2500	2,472	95	124	2,348
31/03/10	W3,X123,Y123,Z1	ING-2500	2,472	95	124	2,348
01/04/10	W3,X123,Y123,Z1	ING-2500	1,700	95	85	1,615
02/04/10	W3,X123,Y123,Z1	ING-2500	0	0	0	0
03/04/10	W3,X123,Y123,Z1	ING-2500	0	0	0	0
04/04/10	W3,X123,Y123,Z1	ING-2500	309	97	9	300
05/04/10	W3,X123,Y123,Z1	ING-2500	0	0	0	0
06/04/10	W3,X123,Y123,Z1	ING-2500	0	0	0	0
07/04/10	W3,X123,Y123,Z1	ING-2500	0	0	0	0
08/04/10	W3,X123,Y123,Z1	ING-2500	0	0	0	0
09/04/10	W3,X123,Y123,Z1	ING-2500	0	0	0	0
10/04/10	W3,X123,Y123,Z1	ING-2500	0	0	0	0
11/04/10	W3,X123,Y123,Z1	ING-2500	0	0	0	0
12/04/10	W3,X123,Y123,Z1	ING-2500	0	0	0	0
13/04/10	W3,X123,Y123,Z1	ING-2500	0	0	0	0
14/04/10	W3,X123,Y123,Z1	ING-2500	0	0	0	0
15/04/10	W3,X123,Y123,Z1	ING-2500	0	0	0	0
16/04/10	W3,X123,Y123,Z1	ING-2500	0	0	0	0
17/04/10	W3,X123,Y123,Z1	ING-2500	0	0	0	0
18/04/10	W3,X123,Y123,Z1	ING-2500	0	0	0	0
19/04/10	W3,X123,Y123,Z1	ING-2500	1,000	99	10	990
20/04/10	W3,X123,Y123,Z1	ING-2500	3,927	96	157	3,770
21/04/10	W3,X123,Y123,Z1	ING-2500	3,641	96	146	3,495
22/04/10	W3,X123,Y123,Z1	ING-2500	3,030	96	136	2,893
23/04/10	W3,X123,Y123,Z1	ING-2500	3,436	96	155	3,282
24/04/10	W3,X123,Y123,Z1	ING-2500	3,547	96	160	3,387
25/04/10	W3,X123,Y123,Z1	ING-2500	3,547	96	160	3,387
26/04/10	W3,X123,Y123,Z1	ING-2500	3,547	96	160	3,387
27/04/10	W3,X123,Y123,Z1	ING-2500	3,104	96	140	2,964
28/04/10	W3,X123,Y123,Z1	ING-2500	3,547	96	160	3,387
29/04/10	W3,X123,Y123,Z1	ING-2500	3,268	96	147	3,121
30/04/10	W3,X123,Y123,Z1	ING-2500	3,268	96	147	3,121
01/05/10	W3,X123,Y123,Z1	ING-2500	3,268	96	147	3,121
02/05/10	W3,X123,Y123,Z1	ING-2500	3,268	96	147	3,121
03/05/10	W3,X123,Y123,Z1	ING-2500	3,268	96	147	3,121
04/05/10	W3,X123,Y123,Z1	ING-2500	3,268	96	147	3,121
05/05/10	W3,X123,Y123,Z1	ING-2500	3,268	96	147	3,121
06/05/10	W3,X123,Y123,Z1	ING-2500	3,268	96	147	3,121
07/05/10	W3,X123,Y123,Z1	ING-2500	3,268	96	147	3,121
08/05/10	W3,X123,Y123,Z1	ING-2500	3,268	96	147	3,121
09/05/10	W3,X123,Y123,Z1	ING-2500	3,268	96	147	3,121
10/05/10	W3,X123,Y123,Z1	ING-2500	3,285	95	164	3,121
11/05/10	W3,X123,Y123,Z1	ING-2500	3,285	95	164	3,121
12/05/10	W3,X123,Y123,Z1	ING-2500	3,285	95	164	3,121
13/05/10	W3,X123,Y123,Z1	ING-2500	3,285	95	164	3,121
14/05/10	W3,X123,Y123,Z1	ING-2500	3,285	95	164	3,121

SP-III Date	Zone	TYPE PROD	FLUID (BFPD)	WC (%)	OIL (BOPD)	WATER (BWPD)
15/05/10	W3,X123,Y123,Z1	ING-2500	3,285	95	164	3,121
16/05/10	W3,X123,Y123,Z1	ING-2500	3,285	95	164	3,121
17/05/10	W3,X123,Y123,Z1	ING-2500	3,285	95	164	3,121
18/05/10	W3,X123,Y123,Z1	ING-2500	3,285	95	164	3,121
19/05/10	W3,X123,Y123,Z1	ING-2500	3,153	95	158	2,995
20/05/10	W3,X123,Y123,Z1	ING-2500	3,153	95	158	2,995
21/05/10	W3,X123,Y123,Z1	ING-2500	3,153	95	158	2,995
22/05/10	W3,X123,Y123,Z1	ING-2500	3,153	95	158	2,995
23/05/10	W3,X123,Y123,Z1	ING-2500	3,153	95	158	2,995
24/05/10	W3,X123,Y123,Z1	ING-2500	3,153	95	158	2,995
25/05/10	W3,X123,Y123,Z1	ING-2500	3,153	95	158	2,995
26/05/10	W3,X123,Y123,Z1	ING-2500	3,153	95	158	2,995
27/05/10	W3,X123,Y123,Z1	ING-2500	3,480	95	174	3,306
28/05/10	W3,X123,Y123,Z1	ING-2500	3,480	95	174	3,306
29/05/10	W3,X123,Y123,Z1	ING-2500	3,480	95	174	3,306
30/05/10	W3,X123,Y123,Z1	ING-2500	3,480	95	174	3,306
31/05/10	W3,X123,Y123,Z1	ING-2500	3,480	95	174	3,306
01/06/10	W3,X123,Y123,Z1	ING-2500	3,480	95	174	3,306
02/06/10	W3,X123,Y123,Z1	ING-2500	3,480	95	174	3,306
03/06/10	W3,X123,Y123,Z1	ING-2500	3,480	95	174	3,306
04/06/10	W3,X123,Y123,Z1	ING-2500	3,480	95	174	3,306
05/06/10	W3,X123,Y123,Z1	ING-2500	3,480	95	174	3,306
06/06/10	W3,X123,Y123,Z1	ING-2500	3,480	95	174	3,306
07/06/10	W3,X123,Y123,Z1	ING-2500	2,861	96	129	2,732
08/06/10	W3,X123,Y123,Z1	ING-2500	4,829	96	193	4,636
09/06/10	W3,X123,Y123,Z1	ING-2500	2,861	96	114	2,747
10/06/10	W3,X123,Y123,Z1	ING-2500	2,861	96	114	2,747
11/06/10	W3,X123,Y123,Z1	ING-2500	2,861	96	114	2,747
12/06/10	W3,X123,Y123,Z1	ING-2500	2,861	96	114	2,747
13/06/10	W3,X123,Y123,Z1	ING-2500	2,861	96	114	2,747
14/06/10	W3,X123,Y123,Z1	ING-2500	2,861	96	114	2,747
15/06/10	W3,X123,Y123,Z1	ING-2500	2,861	96	114	2,747
16/06/10	W3,X123,Y123,Z1	ING-2500	2,634	96	105	2,529
17/06/10	W3,X123,Y123,Z1	ING-2500	2,634	96	105	2,529
18/06/10	W3,X123,Y123,Z1	ING-2500	2,305	96	92	2,213
19/06/10	W3,X123,Y123,Z1	ING-2500	2,634	96	105	2,529
20/06/10	W3,X123,Y123,Z1	ING-2500	2,634	96	105	2,529
21/06/10	W3,X123,Y123,Z1	ING-2500	3,187	96	127	3,060
22/06/10	W3,X123,Y123,Z1	ING-2500	3,187	96	127	3,060
23/06/10	W3,X123,Y123,Z1	ING-2500	3,187	96	127	3,060
24/06/10	W3,X123,Y123,Z1	ING-2500	3,187	96	127	3,060
25/06/10	W3,X123,Y123,Z1	ING-2500	3,187	96	127	3,060
26/06/10	W3,X123,Y123,Z1	ING-2500	2,490	96	100	2,390
27/06/10	W3,X123,Y123,Z1	ING-2500	3,187	96	127	3,060
28/06/10	W3,X123,Y123,Z1	ING-2500	2,988	96	120	2,868
29/06/10	W3,X123,Y123,Z1	ING-2500	2,025	96	81	1,944



SP-III Date	Zone	TYPE PROD	FLUID (BFPD)	WC (%)	OIL (BOPD)	WATER (BWPD)
31/08/10	W3,X123,Y123,Z1	ING-2500	2,780	97	83	2,697
01/09/10	W3,X123,Y123,Z1	ING-2500	2,780	97	83	2,697
02/09/10	W3,X123,Y123,Z1	ING-2500	2,780	97	83	2,697
03/09/10	W3,X123,Y123,Z1	ING-2500	2,780	97	83	2,697
04/09/10	W3,X123,Y123,Z1	ING-2500	2,780	97	83	2,697
05/09/10	W3,X123,Y123,Z1	ING-2500	2,114	97	63	2,051
06/09/10	W3,X123,Y123,Z1	ING-2500	2,780	97	83	2,697
07/09/10	W3,X123,Y123,Z1	ING-2500	2,780	97	83	2,697
08/09/10	W3,X123,Y123,Z1	ING-2500	2,780	97	83	2,697
09/09/10	W3,X123,Y123,Z1	ING-2500	2,780	97	83	2,697
10/09/10	W3,X123,Y123,Z1	ING-2500	2,780	97	83	2,697
11/09/10	W3,X123,Y123,Z1	ING-2500	2,780	97	83	2,697
12/09/10	W3,X123,Y123,Z1	ING-2500	2,780	97	83	2,697
13/09/10	W3,X123,Y123,Z1	ING-2500	2,780	97	83	2,697
14/09/10	W3,X123,Y123,Z1	ING-2500	2,780	97	83	2,697
15/09/10	W3,X123,Y123,Z1	ING-2500	2,780	97	83	2,697
16/09/10	W3,X123,Y123,Z1	ING-2500	2,780	97	83	2,697
17/09/10	W3,X123,Y123,Z1	ING-2500	2,780	97	83	2,697
18/09/10	W3,X123,Y123,Z1	ING-2500	637	97	19	618
19/09/10	W3,X123,Y123,Z1	ING-2500	0	0	0	0
20/09/10	W3,X123,Y123,Z1	ING-2500	0	0	0	0
21/09/10	W3,X123,Y123,Z1	ING-2500	0	0	0	0
22/09/10	W3,X123,Y123,Z1	ING-2500	0	0	0	0
23/09/10	W3,X123,Y123,Z1	ING-2500	0	0	0	0
24/09/10	W3,X123,Y123,Z1	ING-2500	0	0	0	0
25/09/10	W3,X123,Y123,Z1	ING-2500	0	0	0	0
26/09/10	W3,X123,Y123,Z1	ING-4000	290	99	3	287
27/09/10	W3,X123,Y123,Z1	ING-4000	2,699	97	81	2,618
28/09/10	W3,X123,Y123,Z1	ING-4000	2,927	97	88	2,839
29/09/10	W3,X123,Y123,Z1	ING-4000	2,256	97	68	2,189
30/09/10	W3,X123,Y123,Z1	ING-4000	1,281	97	38	1,242
01/10/10	W3,X123,Y123,Z1	ING-4000	3,025	97	106	2,919
02/10/10	W3,X123,Y123,Z1	ING-4000	3,025	97	106	2,919
03/10/10	W3,X123,Y123,Z1	ING-4000	3,025	97	106	2,919
04/10/10	W3,X123,Y123,Z1	ING-4000	3,025	97	106	2,919
05/10/10	W3,X123,Y123,Z1	ING-4000	2,647	97	93	2,554
06/10/10	W3,X123,Y123,Z1	ING-4000	1,513	97	53	1,460
07/10/10	W3,X123,Y123,Z1	ING-4000	3,025	97	106	2,919
08/10/10	W3,X123,Y123,Z1	ING-4000	3,025	97	106	2,919
09/10/10	W3,X123,Y123,Z1	ING-4000	3,025	97	106	2,919
10/10/10	W3,X123,Y123,Z1	ING-4000	3,025	97	106	2,919
11/10/10	W3,X123,Y123,Z1	ING-4000	3,025	97	106	2,919
12/10/10	W3,X123,Y123,Z1	ING-4000	3,025	97	106	2,919
13/10/10	W3,X123,Y123,Z1	ING-4000	3,025	97	106	2,919
14/10/10	W3,X123,Y123,Z1	ING-4000	3,025	97	106	2,919
15/10/10	W3,X123,Y123,Z1	ING-4000	3,025	97	106	2,919

SP-III Date	Zone	TYPE PROD	FLUID (BFPD)	WC (%)	OIL (BOPD)	WATER (BWPD)
16/10/10	W3,X123,Y123,Z1	ING-4000	2,899	97	101	2,797
17/10/10	W3,X123,Y123,Z1	ING-4000	3,025	97	106	2,919
18/10/10	W3,X123,Y123,Z1	ING-4000	3,025	97	106	2,919
19/10/10	W3,X123,Y123,Z1	ING-4000	2,862	97	86	2,776
20/10/10	W3,X123,Y123,Z1	ING-4000	2,862	97	86	2,776
21/10/10	W3,X123,Y123,Z1	ING-4000	2,862	97	86	2,776
22/10/10	W3,X123,Y123,Z1	ING-4000	2,862	97	86	2,776
23/10/10	W3,X123,Y123,Z1	ING-4000	2,862	97	86	2,776
24/10/10	W3,X123,Y123,Z1	ING-4000	2,862	97	86	2,776
25/10/10	W3,X123,Y123,Z1	ING-4000	2,862	97	86	2,776
26/10/10	W3,X123,Y123,Z1	ING-4000	2,862	97	86	2,776
27/10/10	W3,X123,Y123,Z1	ING-4000	2,862	97	86	2,776
28/10/10	W3,X123,Y123,Z1	ING-4000	2,862	97	86	2,776
29/10/10	W3,X123,Y123,Z1	ING-4000	2,862	97	86	2,776
30/10/10	W3,X123,Y123,Z1	ING-4000	2,862	97	86	2,776
31/10/10	W3,X123,Y123,Z1	ING-4000	2,564	97	77	2,487
01/11/10	W3,X123,Y123,Z1	ING-4000	1,670	97	50	1,619
02/11/10	W3,X123,Y123,Z1	ING-4000	2,862	97	86	2,776
03/11/10	W3,X123,Y123,Z1	ING-4000	2,862	97	86	2,776
04/11/10	W3,X123,Y123,Z1	ING-4000	2,862	97	86	2,776
05/11/10	W3,X123,Y123,Z1	ING-4000	2,862	97	86	2,776
06/11/10	W3,X123,Y123,Z1	ING-4000	2,862	97	86	2,776
07/11/10	W3,X123,Y123,Z1	ING-4000	2,534	97	76	2,458
08/11/10	W3,X123,Y123,Z1	ING-4000	2,829	97	85	2,744
09/11/10	W3,X123,Y123,Z1	ING-4000	2,829	97	85	2,744
10/11/10	W3,X123,Y123,Z1	ING-4000	2,564	97	77	2,487
11/11/10	W3,X123,Y123,Z1	ING-4000	2,829	97	85	2,744
12/11/10	W3,X123,Y123,Z1	ING-4000	2,829	97	85	2,744
13/11/10	W3,X123,Y123,Z1	ING-4000	2,829	97	85	2,744
14/11/10	W3,X123,Y123,Z1	ING-4000	2,829	97	85	2,744
15/11/10	W3,X123,Y123,Z1	ING-4000	2,829	97	85	2,744
16/11/10	W3,X123,Y123,Z1	ING-4000	2,829	97	85	2,744
17/11/10	W3,X123,Y123,Z1	ING-4000	2,781	97	83	2,698
18/11/10	W3,X123,Y123,Z1	ING-4000	2,781	97	83	2,698
19/11/10	W3,X123,Y123,Z1	ING-4000	2,781	97	83	2,698
20/11/10	W3,X123,Y123,Z1	ING-4000	2,781	97	83	2,698
21/11/10	W3,X123,Y123,Z1	ING-4000	2,781	97	83	2,698
22/11/10	W3,X123,Y123,Z1	ING-4000	2,781	97	83	2,698
23/11/10	W3,X123,Y123,Z1	ING-4000	2,781	97	83	2,698
24/11/10	W3,X123,Y123,Z1	ING-4000	2,781	97	83	2,698
25/11/10	W3,X123,Y123,Z1	ING-4000	2,433	97	73	2,360
26/11/10	W3,X123,Y123,Z1	ING-4000	2,602	97	78	2,524
27/11/10	W3,X123,Y123,Z1	ING-4000	2,602	97	78	2,524
28/11/10	W3,X123,Y123,Z1	ING-4000	2,602	97	78	2,524
29/11/10	W3,X123,Y123,Z1	ING-4000	2,602	97	78	2,524
30/11/10	W3,X123,Y123,Z1	ING-4000	2,602	97	78	2,524

SP-III Date	Zone	TYPE PROD	FLUID (BFPD)	WC (%)	OIL (BOPD)	WATER (BWPD)
01/12/10	W3,X123,Y123,Z1	ING-4000	2,602	97	78	2,524
02/12/10	W3,X123,Y123,Z1	ING-4000	2,602	97	78	2,524
03/12/10	W3,X123,Y123,Z1	ING-4000	2,602	97	78	2,524
04/12/10	W3,X123,Y123,Z1	ING-4000	2,602	97	78	2,524
05/12/10	W3,X123,Y123,Z1	ING-4000	2,602	97	78	2,524
06/12/10	W3,X123,Y123,Z1	ING-4000	2,602	97	78	2,524
07/12/10	W3,X123,Y123,Z1	ING-4000	2,602	97	78	2,524
08/12/10	W3,X123,Y123,Z1	ING-4000	2,602	97	78	2,524
09/12/10	W3,X123,Y123,Z1	ING-4000	2,893	97	87	2,806
10/12/10	W3,X123,Y123,Z1	ING-4000	2,893	97	87	2,806
11/12/10	W3,X123,Y123,Z1	ING-4000	2,855	97	86	2,769
12/12/10	W3,X123,Y123,Z1	ING-4000	2,855	97	86	2,769
13/12/10	W3,X123,Y123,Z1	ING-4000	2,498	97	75	2,423
14/12/10	W3,X123,Y123,Z1	ING-4000	2,379	97	71	2,308
15/12/10	W3,X123,Y123,Z1	ING-4000	2,855	97	86	2,769
16/12/10	W3,X123,Y123,Z1	ING-4000	2,855	97	86	2,769
17/12/10	W3,X123,Y123,Z1	ING-4000	2,855	97	86	2,769
18/12/10	W3,X123,Y123,Z1	ING-4000	2,855	97	86	2,769
19/12/10	W3,X123,Y123,Z1	ING-4000	2,855	97	86	2,769
20/12/10	W3,X123,Y123,Z1	ING-4000	2,171	97	65	2,106
21/12/10	W3,X123,Y123,Z1	ING-4000	1,338	97	40	1,298
22/12/10	W3,X123,Y123,Z1	ING-4000	2,586	97	78	2,508
23/12/10	W3,X123,Y123,Z1	ING-4000	2,586	97	78	2,508
24/12/10	W3,X123,Y123,Z1	ING-4000	2,586	97	78	2,508
25/12/10	W3,X123,Y123,Z1	ING-4000	1,078	97	32	1,045
26/12/10	W3,X123,Y123,Z1	ING-4000	1,024	97	31	993
27/12/10	W3,X123,Y123,Z1	ING-4000	1,131	97	34	1,097
28/12/10	W3,X123,Y123,Z1	ING-4000	0	0	0	0
29/12/10	W3,X123,Y123,Z1	ING-4000	0	0	0	0
30/12/10	W3,X123,Y123,Z1	ING-4000	2,073	98	41	2,031
31/12/10	W3,X123,Y123,Z1	ING-4000	0	0	0	0

**Lampiran A.3**  
**Data produksi Sumur L5A-ZZZ**

SP-III Date	Zone	TYPE PROD	FLUID (BFPD)	WC (%)	OIL (BOPD)	WATER (BWPD)	SP-III Date	Zone	TYPE PROD	FLUID (BFPD)	WC (%)	OIL (BOPD)	WATER (BWPD)
01/01/10	X0	ING_5600	5,301	97	159	5,142	14/02/10	X0	ING_5600	4,049	96	162	3,887
02/01/10	X0	ING_5600	5,301	96	212	5,089	15/02/10	X0	ING_5600	4,049	95	202	3,847
03/01/10	X0	ING_5600	5,301	97	159	5,142	16/02/10	X0	ING_5600	4,049	96	162	3,887
04/01/10	X0	ING_5600	5,301	97	159	5,142	17/02/10	X0	ING_5600	4,049	94	243	3,806
05/01/10	X0	ING_5600	5,301	97	159	5,142	18/02/10	X0	ING_5600	4,049	96	162	3,887
06/01/10	X0	ING_5600	5,301	96	212	5,089	19/02/10	X0	ING_5600	4,049	96	162	3,887
07/01/10	X0	ING_5600	5,301	96	212	5,089	20/02/10	X0	ING_5600	4,049	95	202	3,847
08/01/10	X0	ING_5600	5,301	97	159	5,142	21/02/10	X0	ING_5600	4,049	95	202	3,847
09/01/10	X0	ING_5600	4,638	97	139	4,499	22/02/10	X0	ING_5600	4,049	97	121	3,928
10/01/10	X0	ING_5600	4,769	97	143	4,626	23/02/10	X0	ING_5600	4,049	97	121	3,928
11/01/10	X0	ING_5600	4,976	97	149	4,827	24/02/10	X0	ING_5600	4,049	97	121	3,928
12/01/10	X0	ING_5600	4,976	97	174	4,802	25/02/10	X0	ING_5600	4,049	95	202	3,847
13/01/10	X0	ING_5600	4,976	97	174	4,802	26/02/10	X0	ING_5600	4,049	95	202	3,847
14/01/10	X0	ING_5600	4,976	97	174	4,802	27/02/10	X0	ING_5600	4,976	95	249	4,727
15/01/10	X0	ING_5600	4,976	97	174	4,802	28/02/10	X0	ING_5600	4,976	97	149	4,827
16/01/10	X0	ING_5600	4,976	97	174	4,802	01/03/10	X0	ING_5600	4,976	97	166	4,810
17/01/10	X0	ING_5600	4,976	97	174	4,802	02/03/10	X0	ING_5600	4,976	97	149	4,827
18/01/10	X0	ING_5600	4,976	96	199	4,777	03/03/10	X0	ING_5600	4,976	96	199	4,777
19/01/10	X0	ING_5600	4,976	96	199	4,777	04/03/10	X0	ING_5600	4,976	96	199	4,777
20/01/10	X0	ING_5600	4,976	96	224	4,752	05/03/10	X0	ING_5600	4,976	95	249	4,727
21/01/10	X0	ING_5600	4,976	97	149	4,827	06/03/10	X0	ING_5600	4,976	95	249	4,727
22/01/10	X0	ING_5600	4,769	94	286	4,483	07/03/10	X0	ING_5600	4,976	95	249	4,727
23/01/10	X0	ING_5600	4,976	94	299	4,677	08/03/10	X0	ING_5600	4,342	96	174	4,168
24/01/10	X0	ING_5600	4,927	94	296	4,631	09/03/10	X0	ING_5600	4,342	96	174	4,168
25/01/10	X0	ING_5600	4,927	95	246	4,681	10/03/10	X0	ING_5600	4,342	96	174	4,168
26/01/10	X0	ING_5600	4,516	95	226	4,291	11/03/10	X0	ING_5600	4,342	96	174	4,168
27/01/10	X0	ING_5600	4,927	96	197	4,730	12/03/10	X0	ING_5600	4,342	96	174	4,168
28/01/10	X0	ING_5600	4,927	96	197	4,730	13/03/10	X0	ING_5600	4,342	96	174	4,168
29/01/10	X0	ING_5600	4,927	95	246	4,681	14/03/10	X0	ING_5600	4,342	96	174	4,168
30/01/10	X0	ING_5600	4,927	96	197	4,730	15/03/10	X0	ING_5600	4,342	96	174	4,168
31/01/10	X0	ING_5600	4,927	94	296	4,631	16/03/10	X0	ING_5600	4,342	97	130	4,212
01/02/10	X0	ING_5600	3,849	96	154	3,695	17/03/10	X0	ING_5600	4,342	95	217	4,125
02/02/10	X0	ING_5600	4,927	96	197	4,730	18/03/10	X0	ING_5600	4,025	97	121	3,905
03/02/10	X0	ING_5600	4,927	96	197	4,730	19/03/10	X0	ING_5600	4,342	97	130	4,212
04/02/10	X0	ING_5600	4,927	94	296	4,631	20/03/10	X0	ING_5600	4,342	97	130	4,212
05/02/10	X0	ING_5600	4,927	95	246	4,681	21/03/10	X0	ING_5600	4,342	97	130	4,212
06/02/10	X0	ING_5600	4,927	96	197	4,730	22/03/10	X0	ING_5600	4,342	97	130	4,212
07/02/10	X0	ING_5600	4,927	97	148	4,779	23/03/10	X0	ING_5600	4,342	97	130	4,212
08/02/10	X0	ING_5600	4,927	96	197	4,730	24/03/10	X0	ING_5600	4,989	96	200	4,789
09/02/10	X0	ING_5600	4,927	96	197	4,730	25/03/10	X0	ING_5600	4,989	96	200	4,789
10/02/10	X0	ING_5600	4,927	95	246	4,681	26/03/10	X0	ING_5600	4,989	96	200	4,789
11/02/10	X0	ING_5600	4,049	96	162	3,887	27/03/10	X0	ING_5600	4,989	96	200	4,789
12/02/10	X0	ING_5600	4,049	96	162	3,887	28/03/10	X0	ING_5600	4,989	96	200	4,789
13/02/10	X0	ING_5600	4,049	95	202	3,847	29/03/10	X0	ING_5600	4,313	96	173	4,141

SP-III Date	Zone	TYPE PROD	FLUID (BFPD)	WC (%)	OIL (BOPD)	WATER (BWPD)
30/03/10	X0	ING_5600	4,989	96	200	4,789
31/03/10	X0	ING_5600	4,989	96	200	4,789
01/04/10	X0	ING_5600	4,989	96	200	4,789
02/04/10	X0	ING_5600	4,989	96	200	4,789
03/04/10	X0	ING_5600	4,909	96	196	4,713
04/04/10	X0	ING_5600	3,886	96	155	3,731
05/04/10	X0	ING_5600	4,909	96	196	4,713
06/04/10	X0	ING_5600	4,909	96	196	4,713
07/04/10	X0	ING_5600	4,909	96	196	4,713
08/04/10	X0	ING_5600	4,909	96	196	4,713
09/04/10	X0	ING_5600	4,909	96	196	4,713
10/04/10	X0	ING_5600	4,909	96	196	4,713
11/04/10	X0	ING_5600	4,909	96	196	4,713
12/04/10	X0	ING_5600	4,909	96	196	4,713
13/04/10	X0	ING_5600	4,909	96	196	4,713
14/04/10	X0	ING_5600	4,909	96	196	4,713
15/04/10	X0	ING_5600	3,708	96	148	3,560
16/04/10	X0	ING_5600	3,708	96	148	3,560
17/04/10	X0	ING_5600	3,708	96	148	3,560
18/04/10	X0	ING_5600	3,708	96	148	3,560
19/04/10	X0	ING_5600	3,708	96	148	3,560
20/04/10	X0	ING_5600	3,708	96	148	3,560
21/04/10	X0	ING_5600	3,708	96	148	3,560
22/04/10	X0	ING_5600	3,708	96	148	3,560
23/04/10	X0	ING_5600	3,708	96	148	3,560
24/04/10	X0	ING_5600	3,708	96	148	3,560
25/04/10	X0	ING_5600	3,708	96	148	3,560
26/04/10	X0	ING_5600	3,708	96	148	3,560
27/04/10	X0	ING_5600	3,708	96	148	3,560
28/04/10	X0	ING_5600	4,557	97	137	4,420
29/04/10	X0	ING_5600	5,433	97	163	5,270
30/04/10	X0	ING_5600	5,433	97	163	5,270
01/05/10	X0	ING_5600	5,608	97	168	5,440
02/05/10	X0	ING_5600	5,258	97	158	5,100
03/05/10	X0	ING_5600	5,608	97	168	5,440
04/05/10	X0	ING_5600	5,608	97	168	5,440
05/05/10	X0	ING_5600	5,608	97	168	5,440
06/05/10	X0	ING_5600	5,608	97	168	5,440
07/05/10	X0	ING_5600	5,608	97	168	5,440
08/05/10	X0	ING_5600	5,608	97	168	5,440
09/05/10	X0	ING_5600	5,608	97	168	5,440
10/05/10	X0	ING_5600	5,171	97	155	5,016
11/05/10	X0	ING_5600	5,171	97	155	5,016
12/05/10	X0	ING_5600	5,171	97	155	5,016
13/05/10	X0	ING_5600	5,171	97	155	5,016
14/05/10	X0	ING_5600	3,393	97	102	3,292

SP-III Date	Zone	TYPE PROD	FLUID (BFPD)	WC (%)	OIL (BOPD)	WATER (BWPD)
15/05/10	X0	ING-5600	5,171	97	155	5,016
16/05/10	X0	ING-5600	5,171	97	155	5,016
17/05/10	X0	ING-5600	5,171	97	155	5,016
18/05/10	X0	ING-5600	0	0	0	0
19/05/10	X0	ING-5600	2,080	97	62	2,018
20/05/10	X0	ING-5600	4,341	97	130	4,211
21/05/10	X0	ING-5600	4,341	97	130	4,211
22/05/10	X0	ING-5600	4,341	97	130	4,211
23/05/10	X0	ING-5600	4,341	97	130	4,211
24/05/10	X0	ING-5600	4,341	97	130	4,211
25/05/10	X0	ING-5600	4,341	97	130	4,211
26/05/10	X0	ING-5600	4,341	97	130	4,211
27/05/10	X0	ING-5600	4,341	97	130	4,211
28/05/10	X0	ING-5600	4,341	97	130	4,211
29/05/10	X0	ING-5600	4,341	97	130	4,211
30/05/10	X0	ING-5600	4,341	97	130	4,211
31/05/10	X0	ING-5600	5,003	97	150	4,852
01/06/10	X0	ING-5600	5,220	97	157	5,063
02/06/10	X0	ING-5600	5,220	97	157	5,063
03/06/10	X0	ING-5600	5,220	97	157	5,063
04/06/10	X0	ING-5600	5,220	97	157	5,063
05/06/10	X0	ING-5600	5,220	97	157	5,063
06/06/10	X0	ING-5600	5,220	97	157	5,063
07/06/10	X0	ING-5600	5,220	97	157	5,063
08/06/10	X0	ING-5600	5,220	97	157	5,063
09/06/10	X0	ING-5600	4,829	97	145	4,684
10/06/10	X0	ING-5600	4,829	97	145	4,684
11/06/10	X0	ING-5600	4,678	97	140	4,538
12/06/10	X0	ING-5600	4,829	97	145	4,684
13/06/10	X0	ING-5600	4,829	97	145	4,684
14/06/10	X0	ING-5600	4,829	97	145	4,684
15/06/10	X0	ING-5600	4,829	97	145	4,684
16/06/10	X0	ING-5600	4,829	97	145	4,684
17/06/10	X0	ING-5600	4,781	97	143	4,638
18/06/10	X0	ING-5600	4,781	97	143	4,638
19/06/10	X0	ING-5600	4,781	97	143	4,638
20/06/10	X0	ING-5600	4,781	97	143	4,638
21/06/10	X0	ING-5600	4,781	97	143	4,638
22/06/10	X0	ING-5600	4,781	97	143	4,638
23/06/10	X0	ING-5600	4,781	97	143	4,638
24/06/10	X0	ING-5600	4,781	97	143	4,638
25/06/10	X0	ING-5600	4,781	97	143	4,638
26/06/10	X0	ING-5600	3,337	97	100	3,237
27/06/10	X0	ING-5600	4,781	97	143	4,638
28/06/10	X0	ING-5600	4,781	97	143	4,638
29/06/10	X0	ING-5600	4,781	97	143	4,638

SP-III Date	Zone	Type Prod	Fluid (BFPD)	WC (%)	Oil (BOPD)	Water (BWPD)
30/06/10	X0	ING-5600	4,732	97	142	4,590
01/07/10	X0	ING-5600	4,732	97	142	4,590
02/07/10	X0	ING-5600	4,732	97	142	4,590
03/07/10	X0	ING-5600	4,732	97	142	4,590
04/07/10	X0	ING-5600	4,732	97	142	4,590
05/07/10	X0	ING-5600	4,732	97	142	4,590
06/07/10	X0	ING-5600	4,732	97	142	4,590
07/07/10	X0	ING-5600	4,732	97	142	4,590
08/07/10	X0	ING-5600	4,732	97	142	4,590
09/07/10	X0	ING-5600	4,732	97	142	4,590
10/07/10	X0	ING-5600	4,732	97	142	4,590
11/07/10	X0	ING-5600	4,732	97	142	4,590
12/07/10	X0	ING-5600	4,732	97	142	4,590
13/07/10	X0	ING-5600	5,008	97	150	4,858
14/07/10	X0	ING-5600	2,713	97	81	2,631
15/07/10	X0	ING-5600	1,513	97	45	1,467
30/06/10	X0	ING-5600	4,732	97	142	4,590
01/07/10	X0	ING-5600	4,732	97	142	4,590
02/07/10	X0	ING-5600	4,732	97	142	4,590
03/07/10	X0	ING-5600	4,732	97	142	4,590
04/07/10	X0	ING-5600	4,732	97	142	4,590
05/07/10	X0	ING-5600	4,732	97	142	4,590
06/07/10	X0	ING-5600	4,732	97	142	4,590
07/07/10	X0	ING-5600	4,732	97	142	4,590
08/07/10	X0	ING-5600	4,732	97	142	4,590
09/07/10	X0	ING-5600	4,732	97	142	4,590
10/07/10	X0	ING-5600	4,732	97	142	4,590
11/07/10	X0	ING-5600	4,732	97	142	4,590
12/07/10	X0	ING-5600	4,732	97	142	4,590
13/07/10	X0	ING-5600	5,008	97	150	4,858
14/07/10	X0	ING-5600	2,713	97	81	2,631
15/07/10	X0	ING-5600	1,513	97	45	1,467
30/06/10	X0	ING-5600	4,732	97	142	4,590
01/07/10	X0	ING-5600	4,732	97	142	4,590
02/07/10	X0	ING-5600	4,732	97	142	4,590
03/07/10	X0	ING-5600	4,732	97	142	4,590
04/07/10	X0	ING-5600	4,732	97	142	4,590
05/07/10	X0	ING-5600	4,732	97	142	4,590
06/07/10	X0	ING-5600	4,732	97	142	4,590
07/07/10	X0	ING-5600	4,732	97	142	4,590
08/07/10	X0	ING-5600	4,732	97	142	4,590
09/07/10	X0	ING-5600	4,732	97	142	4,590
10/07/10	X0	ING-5600	4,732	97	142	4,590
11/07/10	X0	ING-5600	4,732	97	142	4,590
12/07/10	X0	ING-5600	4,732	97	142	4,590
13/07/10	X0	ING-5600	5,008	97	150	4,858

SP-III Date	Zone	Type Prod	Fluid (BFPD)	WC (%)	Oil (BOPD)	Water (BWPD)
14/07/10	X0	ING-5600	2,713	97	81	2,631
15/07/10	X0	ING-5600	1,513	97	45	1,467
16/07/10	X0	ING-5600	4,535	97	136	4,399
17/07/10	X0	ING-5600	4,535	97	136	4,399
18/07/10	X0	ING-5600	4,535	97	136	4,399
19/07/10	X0	ING-5600	4,535	97	136	4,399
20/07/10	X0	ING-5600	4,535	97	136	4,399
21/07/10	X0	ING-5600	4,535	97	136	4,399
22/07/10	X0	ING-5600	4,535	97	136	4,399
23/07/10	X0	ING-5600	4,535	97	136	4,399
24/07/10	X0	ING-5600	4,535	97	136	4,399
25/07/10	X0	ING-5600	4,535	97	136	4,399
26/07/10	X0	ING-5600	4,390	97	132	4,258
27/07/10	X0	ING-5600	4,390	97	132	4,258
28/07/10	X0	ING-5600	4,390	97	132	4,258
29/07/10	X0	ING-5600	4,390	97	132	4,258
30/07/10	X0	ING-5600	4,390	97	132	4,258
31/07/10	X0	ING-5600	4,390	97	132	4,258
01/08/10	X0	ING-5600	4,390	97	132	4,258
02/08/10	X0	ING-5600	4,390	97	132	4,258
03/08/10	X0	ING-5600	4,390	97	132	4,258
04/08/10	X0	ING-5600	4,390	97	132	4,258
05/08/10	X0	ING-5600	4,617	97	139	4,478
06/08/10	X0	ING-5600	4,617	97	139	4,478
07/08/10	X0	ING-5600	4,617	97	139	4,478
08/08/10	X0	ING-5600	4,617	97	139	4,478
09/08/10	X0	ING-5600	4,617	97	139	4,478
10/08/10	X0	ING-5600	4,617	97	139	4,478
11/08/10	X0	ING-5600	4,617	97	139	4,478
12/08/10	X0	ING-5600	4,617	97	139	4,478
13/08/10	X0	ING-5600	4,617	97	139	4,478
14/08/10	X0	ING-5600	4,617	97	139	4,478
15/08/10	X0	ING-5600	4,617	97	139	4,478
16/08/10	X0	ING-5600	4,617	97	139	4,478
17/08/10	X0	ING-5600	4,617	97	139	4,478
18/08/10	X0	ING-5600	4,617	97	139	4,478
19/08/10	X0	ING-5600	4,521	97	136	4,385
20/08/10	X0	ING-5600	4,521	97	136	4,385
21/08/10	X0	ING-5600	4,521	97	136	4,385
22/08/10	X0	ING-5600	4,521	97	136	4,385
23/08/10	X0	ING-5600	4,521	97	136	4,385
24/08/10	X0	ING-5600	4,521	97	136	4,385
25/08/10	X0	ING-5600	4,521	97	136	4,385
26/08/10	X0	ING-5600	4,521	97	136	4,385
27/08/10	X0	ING_5600	4,521	97	136	4,385
28/08/10	X0	ING_5600	4,521	97	136	4,385

SP-III Date	Zone	TYPE PROD	FLUID (BFPD)	WC (%)	OIL (BOPD)	WATER (BWPD)
29/08/10	X0	ING_5600	4,521	97	136	4,385
30/08/10	X0	ING_5600	4,521	97	136	4,385
31/08/10	X0	ING_5600	4,521	97	136	4,385
01/09/10	X0	ING_5600	4,521	97	136	4,385
02/09/10	X0	ING_5600	4,521	97	136	4,385
03/09/10	X0	ING_5600	4,521	97	136	4,385
04/09/10	X0	ING_5600	4,521	97	136	4,385
05/09/10	X0	ING_5600	4,521	97	136	4,385
06/09/10	X0	ING_5600	4,521	97	136	4,385
07/09/10	X0	ING_5600	4,521	97	136	4,385
08/09/10	X0	ING_5600	4,521	97	136	4,385
09/09/10	X0	ING_5600	4,521	97	136	4,385
10/09/10	X0	ING_5600	4,521	97	136	4,385
11/09/10	X0	ING_5600	4,521	97	136	4,385
12/09/10	X0	ING_5600	4,521	97	136	4,385
13/09/10	X0	ING_5600	4,521	97	136	4,385
14/09/10	X0	ING_5600	4,521	97	136	4,385
15/09/10	X0	ING_5600	4,521	97	136	4,385
16/09/10	X0	ING_5600	4,521	97	136	4,385
17/09/10	X0	ING_5600	4,521	97	136	4,385
18/09/10	X0	ING_5600	4,521	97	136	4,385
19/09/10	X0	ING_5600	4,521	97	136	4,385
20/09/10	X0	ING_5600	4,521	97	136	4,385
21/09/10	X0	ING_5600	4,552	97	137	4,415
22/09/10	X0	ING_5600	4,552	97	137	4,415
23/09/10	X0	ING_5600	4,552	97	137	4,415
24/09/10	X0	ING_5600	4,552	97	137	4,415
25/09/10	X0	ING_5600	3,793	97	114	3,680
26/09/10	X0	ING_5600	4,846	98	97	4,749
27/09/10	X0	ING_5600	4,846	98	97	4,749
28/09/10	X0	ING_5600	4,846	98	97	4,749
29/09/10	X0	ING_5600	4,442	98	89	4,353
30/09/10	X0	ING_5600	4,732	97	142	4,590
01/10/10	X0	ING_5600	4,732	97	142	4,590
02/10/10	X0	ING_5600	4,732	97	142	4,590
03/10/10	X0	ING_5600	4,732	97	142	4,590
04/10/10	X0	ING_5600	4,732	97	142	4,590
05/10/10	X0	ING_5600	4,732	97	142	4,590
06/10/10	X0	ING_5600	4,732	97	142	4,590
07/10/10	X0	ING_5600	4,732	97	142	4,590
08/10/10	X0	ING_5600	4,732	97	142	4,590
09/10/10	X0	ING_5600	4,732	97	142	4,590
10/10/10	X0	ING_5600	4,732	97	142	4,590
11/10/10	X0	ING_5600	4,535	97	136	4,399
12/10/10	X0	ING_5600	1,972	97	59	1,913
13/10/10	X0	ING_5600	2,465	97	74	2,391

SP-III Date	Zone	TYPE PROD	FLUID (BFPD)	WC (%)	OIL (BOPD)	WATER (BWPD)
14/10/10	X0	ING_5600	2,612	97	78	2,534
15/10/10	X0	ING_5600	4,846	98	97	4,749
16/10/10	X0	ING_5600	2,221	98	44	2,177
17/10/10	X0	ING_5600	5,095	98	115	4,980
18/10/10	X0	ING_5600	5,095	98	102	4,993
19/10/10	X0	ING_5600	5,095	98	102	4,993
20/10/10	X0	ING_5600	5,095	98	102	4,993
21/10/10	X0	ING_5600	5,095	98	102	4,993
22/10/10	X0	ING_5600	5,095	98	102	4,993
23/10/10	X0	ING_5600	5,095	98	102	4,993
24/10/10	X0	ING_5600	5,095	98	102	4,993
25/10/10	X0	ING_5600	5,095	98	102	4,993
26/10/10	X0	ING_5600	5,095	98	102	4,993
27/10/10	X0	ING_5600	5,095	98	102	4,993
28/10/10	X0	ING_5600	5,095	98	102	4,993
29/10/10	X0	ING_5600	5,095	98	102	4,993
30/10/10	X0	ING_5600	5,095	98	102	4,993
31/10/10	X0	ING_5600	5,095	98	102	4,993
01/11/10	X0	ING_5600	5,095	98	102	4,993
02/11/10	X0	ING_5600	5,095	98	102	4,993
03/11/10	X0	ING_5600	5,095	98	102	4,993
04/11/10	X0	ING_5600	5,095	98	102	4,993
05/11/10	X0	ING_5600	5,095	98	102	4,993
06/11/10	X0	ING_5600	4,140	98	83	4,057
07/11/10	X0	ING_5600	5,095	97	153	4,942
08/11/10	X0	ING_5600	5,095	97	153	4,942
09/11/10	X0	ING_5600	5,095	97	153	4,942
10/11/10	X0	ING_5600	5,095	97	153	4,942
11/11/10	X0	ING_5600	4,781	98	96	4,685
12/11/10	X0	ING_5600	4,781	98	96	4,685
13/11/10	X0	ING_5600	4,781	98	96	4,685
14/11/10	X0	ING_5600	4,781	98	96	4,685
15/11/10	X0	ING_5600	2,689	98	54	2,636
16/11/10	X0	ING_5600	4,781	98	96	4,685
17/11/10	X0	ING_5600	4,781	98	96	4,685
18/11/10	X0	ING_5600	4,781	98	96	4,685
19/11/10	X0	ING_5600	4,781	98	96	4,685
20/11/10	X0	ING_5600	4,781	98	96	4,685
21/11/10	X0	ING_5600	4,781	98	96	4,685
22/11/10	X0	ING_5600	4,781	98	96	4,685
23/11/10	X0	ING_5600	4,781	98	96	4,685
24/11/10	X0	ING_5600	4,781	98	96	4,685
25/11/10	X0	ING_5600	4,781	98	96	4,685
26/11/10	X0	ING_5600	4,781	98	96	4,685
27/11/10	X0	ING_5600	4,781	98	96	4,685
28/11/10	X0	ING_5600	4,643	98	93	4,550

SP-III Date	Zone	TYPE PROD	FLUID (BFPD)	WC (%)	OIL (BOPD)	WATER (BWPD)
29/11/10	X0	ING_5600	4,643	98	93	4,550
30/11/10	X0	ING_5600	4,643	98	93	4,550
01/12/10	X0	ING_5600	4,643	98	93	4,550
02/12/10	X0	ING_5600	2,999	98	60	2,939
03/12/10	X0	ING_5600	4,643	98	93	4,550
04/12/10	X0	ING_5600	4,643	98	93	4,550
05/12/10	X0	ING_5600	4,643	98	93	4,550
06/12/10	X0	ING_5600	4,643	98	93	4,550
07/12/10	X0	ING_5600	4,643	98	93	4,550
08/12/10	X0	ING_5600	4,643	98	93	4,550
09/12/10	X0	ING_5600	4,390	98	110	4,280
10/12/10	X0	ING_5600	4,390	98	110	4,280
11/12/10	X0	ING_5600	4,390	98	110	4,280
12/12/10	X0	ING_5600	4,390	98	110	4,280
13/12/10	X0	ING_5600	4,390	98	110	4,280
14/12/10	X0	ING_5600	4,390	98	110	4,280
15/12/10	X0	ING_5600	2,424	98	61	2,363
16/12/10	X0	ING_5600	4,390	98	110	4,280
17/12/10	X0	ING_5600	4,390	98	110	4,280
18/12/10	X0	ING_5600	4,390	98	110	4,280
19/12/10	X0	ING_5600	3,613	98	90	3,522
20/12/10	X0	ING_5600	4,390	98	110	4,280
21/12/10	X0	ING_5600	4,098	98	102	3,996
22/12/10	X0	ING_5600	4,098	98	102	3,996
23/12/10	X0	ING_5600	4,098	98	102	3,996
24/12/10	X0	ING_5600	4,098	98	102	3,996
25/12/10	X0	ING_5600	4,098	98	102	3,996
26/12/10	X0	ING_5600	4,098	98	102	3,996
27/12/10	X0	ING_5600	4,098	98	102	3,996
28/12/10	X0	ING_5600	4,098	98	102	3,996
29/12/10	X0	ING_5600	4,098	98	102	3,996
30/12/10	X0	ING_5600	4,098	98	102	3,996
31/12/10	X0	ING_5600	4,098	98	102	3,996

**Lampiran A.4**  
**Data produksi Sumur L5A-RRR**

SP-III Date	Zone	TYPE PROD	FLUID (BFPD)	WC (%)	OIL (BOPD)	WATER (BWPD)	SP-III Date	Zone	TYPE PROD	FLUID (BFPD)	WC (%)	OIL (BOPD)	WATER (BWPD)
01/01/10	S1	EJP-5200	5,559	97	167	5,392	14/02/10	S1	EJP-5200	5,187	97	156	5,031
02/01/10	S1	EJP-5200	5,559	97	167	5,392	15/02/10	S1	EJP-5200	5,102	97	153	4,949
03/01/10	S1	EJP-5200	5,566	97	167	5,399	16/02/10	S1	EJP-5200	4,836	97	164	4,672
04/01/10	S1	EJP-5200	5,566	97	167	5,399	17/02/10	S1	EJP-5200	5,945	97	178	5,767
05/01/10	S1	EJP-5200	5,566	97	167	5,399	18/02/10	S1	EJP-5200	5,697	97	171	5,526
06/01/10	S1	EJP-5200	5,566	97	167	5,399	19/02/10	S1	EJP-5200	3,096	97	93	3,003
07/01/10	S1	EJP-5200	5,566	98	139	5,427	20/02/10	S1	EJP-5200	0	0	0	0
08/01/10	S1	EJP-5200	5,566	98	139	5,427	21/02/10	S1	EJP-5200	0	0	0	0
09/01/10	S1	EJP-5200	4,638	98	116	4,522	22/02/10	S1	EJP-5200	0	0	0	0
10/01/10	S1	EJP-5200	5,078	98	127	4,951	23/02/10	S1	EJP-5200	0	0	0	0
11/01/10	S1	EJP-5200	5,078	98	127	4,951	24/02/10	S1	EJP-5200	0	0	0	0
12/01/10	S1	EJP-5200	5,078	97	152	4,926	25/02/10	S1	EJP-5200	4,526	97	136	4,390
13/01/10	S1	EJP-5200	5,078	97	152	4,926	26/02/10	S1	EJP-5200	6,337	97	190	6,147
14/01/10	S1	EJP-5200	5,078	97	152	4,926	27/02/10	S1	EJP-5200	6,337	97	190	6,147
15/01/10	S1	EJP-5200	4,337	97	130	4,207	28/02/10	S1	EJP-5200	6,337	97	190	6,147
16/01/10	S1	EJP-5200	5,882	97	176	5,706	01/03/10	S1	EJP-5200	6,417	97	193	6,224
17/01/10	S1	EJP-5200	5,882	97	176	5,706	02/03/10	S1	EJP-5200	6,417	97	193	6,224
18/01/10	S1	EJP-5200	5,882	97	176	5,706	03/03/10	S1	EJP-5200	6,417	97	193	6,224
19/01/10	S1	EJP-5200	5,882	97	176	5,706	04/03/10	S1	EJP-5200	5,949	97	178	5,771
20/01/10	S1	EJP-5200	5,882	97	176	5,706	05/03/10	S1	EJP-5200	6,417	97	193	6,224
21/01/10	S1	EJP-5200	5,882	97	176	5,706	06/03/10	S1	EJP-5200	6,417	97	193	6,224
22/01/10	S1	EJP-5200	5,882	97	176	5,706	07/03/10	S1	EJP-5200	6,417	97	193	6,224
23/01/10	S1	EJP-5200	5,882	97	176	5,706	08/03/10	S1	EJP-5200	6,417	97	193	6,224
24/01/10	S1	EJP-5200	5,882	97	176	5,706	09/03/10	S1	EJP-5200	6,283	97	188	6,095
25/01/10	S1	EJP-5200	5,882	97	176	5,706	10/03/10	S1	EJP-5200	5,980	97	179	5,801
26/01/10	S1	EJP-5200	5,331	98	133	5,197	11/03/10	S1	EJP-5200	5,980	97	179	5,801
27/01/10	S1	EJP-5200	5,882	98	147	5,735	12/03/10	S1	EJP-5200	5,980	97	179	5,801
28/01/10	S1	EJP-5200	5,429	97	163	5,266	13/03/10	S1	EJP-5200	5,980	97	179	5,801
29/01/10	S1	EJP-5200	5,312	97	159	5,153	14/03/10	S1	EJP-5200	6,232	97	187	6,045
30/01/10	S1	EJP-5200	5,604	97	168	5,436	15/03/10	S1	EJP-5200	6,232	97	187	6,045
31/01/10	S1	EJP-5200	5,604	97	168	5,436	16/03/10	S1	EJP-5200	6,232	97	187	6,045
01/02/10	S1	EJP-5200	5,604	97	168	5,436	17/03/10	S1	EJP-5200	6,232	97	187	6,045
02/02/10	S1	EJP-5200	5,604	97	168	5,436	18/03/10	S1	EJP-5200	6,232	97	187	6,045
03/02/10	S1	EJP-5200	5,604	97	168	5,436	19/03/10	S1	EJP-5200	6,216	97	186	6,030
04/02/10	S1	EJP-5200	5,604	97	168	5,436	20/03/10	S1	EJP-5200	6,216	97	186	6,030
05/02/10	S1	EJP-5200	5,604	98	112	5,492	21/03/10	S1	EJP-5200	6,216	97	186	6,030
06/02/10	S1	EJP-5200	5,468	97	164	5,304	22/03/10	S1	EJP-5200	4,856	97	146	4,711
07/02/10	S1	EJP-5200	5,354	97	161	5,193	23/03/10	S1	EJP-5200	6,126	98	123	6,003
08/02/10	S1	EJP-5200	2,768	97	83	2,685	24/03/10	S1	EJP-5200	6,126	98	123	6,003
09/02/10	S1	EJP-5200	0	0	0	0	25/03/10	S1	EJP-5200	6,271	97	188	6,083
10/02/10	S1	EJP-5200	0	0	0	0	26/03/10	S1	EJP-5200	6,271	97	188	6,083
11/02/10	S1	EJP-5200	1,025	98	21	1,005	27/03/10	S1	EJP-5200	6,271	97	188	6,083
12/02/10	S1	EJP-5200	5,187	97	156	5,031	28/03/10	S1	EJP-5200	6,369	98	127	6,242
13/02/10	S1	EJP-5200	5,187	97	156	5,031	29/03/10	S1	EJP-5200	3,384	98	68	3,316

SP-III Date	Zone	TYPE PROD	FLUID (BFPD)	WC (%)	OIL (BOPD)	WATER (BWPD)
30/03/10	S1	EJP-5200	6,418	97	193	6,225
31/03/10	S1	EJP-5200	6,418	97	193	6,225
01/04/10	S1	EJP-5200	6,418	97	193	6,225
02/04/10	S1	EJP-5200	6,418	97	193	6,225
03/04/10	S1	EJP-5200	6,418	97	193	6,225
04/04/10	S1	EJP-5200	5,930	97	178	5,752
05/04/10	S1	EJP-5200	5,930	97	178	5,752
06/04/10	S1	EJP-5200	5,374	97	161	5,213
07/04/10	S1	EJP-5200	5,930	97	178	5,752
08/04/10	S1	EJP-5200	5,930	97	178	5,752
09/04/10	S1	EJP-5200	5,980	97	179	5,801
10/04/10	S1	EJP-5200	5,980	97	179	5,801
11/04/10	S1	EJP-5200	5,980	97	179	5,801
12/04/10	S1	EJP-5200	5,901	98	118	5,783
13/04/10	S1	EJP-5200	5,901	98	118	5,783
14/04/10	S1	EJP-5200	6,091	98	122	5,969
15/04/10	S1	EJP-5200	6,613	97	198	6,415
16/04/10	S1	EJP-5200	6,613	97	198	6,415
17/04/10	S1	EJP-5200	6,613	97	198	6,415
18/04/10	S1	EJP-5200	6,613	97	198	6,415
19/04/10	S1	EJP-5200	6,174	98	123	6,051
20/04/10	S1	EJP-5200	6,174	98	123	6,051
21/04/10	S1	EJP-5200	6,174	98	123	6,051
22/04/10	S1	EJP-5200	6,174	98	123	6,051
23/04/10	S1	EJP-5200	6,174	98	123	6,051
24/04/10	S1	EJP-5200	6,174	98	123	6,051
25/04/10	S1	EJP-5200	6,174	98	123	6,051
26/04/10	S1	EJP-5200	6,174	98	123	6,051
27/04/10	S1	EJP-5200	4,823	98	96	4,727
28/04/10	S1	EJP-5200	3,884	98	78	3,806
29/04/10	S1	EJP-5200	5,753	98	115	5,637
30/04/10	S1	EJP-5200	6,136	98	123	6,013
01/05/10	S1	EJP-5200	6,136	98	123	6,013
02/05/10	S1	EJP-5200	6,136	98	123	6,013
03/05/10	S1	EJP-5200	6,136	98	123	6,013
04/05/10	S1	EJP-5200	6,376	98	159	6,217
05/05/10	S1	EJP-5200	6,110	98	153	5,958
06/05/10	S1	EJP-5200	6,376	98	159	6,217
07/05/10	S1	EJP-5200	6,376	98	159	6,217
08/05/10	S1	EJP-5200	6,376	98	159	6,217
09/05/10	S1	EJP-5200	6,376	98	159	6,217
10/05/10	S1	EJP-5200	6,376	98	159	6,217
11/05/10	S1	EJP-5200	6,376	98	159	6,217
12/05/10	S1	EJP-5200	6,376	98	159	6,217
13/05/10	S1	EJP-5200	6,376	98	159	6,217
14/05/10	S1	EJP-5200	6,376	98	159	6,217

SP-III Date	Zone	TYPE PROD	FLUID (BFPD)	WC (%)	OIL (BOPD)	WATER (BWPD)
15/05/10	S1	EJP-5200	5,778	98	144	5,634
16/05/10	S1	EJP-5200	6,376	98	159	6,217
17/05/10	S1	EJP-5200	6,376	98	159	6,217
18/05/10	S1	EJP-5200	6,376	98	159	6,217
19/05/10	S1	EJP-5200	6,480	97	194	6,286
20/05/10	S1	EJP-5200	6,480	97	194	6,286
21/05/10	S1	EJP-5200	6,480	97	194	6,286
22/05/10	S1	EJP-5200	6,480	97	194	6,286
23/05/10	S1	EJP-5200	6,480	97	194	6,286
24/05/10	S1	EJP-5200	5,398	98	108	5,290
25/05/10	S1	EJP-5200	6,320	98	126	6,194
26/05/10	S1	EJP-5200	6,320	98	126	6,194
27/05/10	S1	EJP-5200	6,320	98	126	6,194
28/05/10	S1	EJP-5200	6,188	98	124	6,065
29/05/10	S1	EJP-5200	6,320	98	126	6,194
30/05/10	S1	EJP-5200	6,320	98	126	6,194
31/05/10	S1	EJP-5200	6,320	98	126	6,194
01/06/10	S1	EJP-5200	6,320	98	126	6,194
02/06/10	S1	EJP-5200	6,533	97	196	6,337
03/06/10	S1	EJP-5200	6,533	97	196	6,337
04/06/10	S1	EJP-5200	6,533	97	196	6,337
05/06/10	S1	EJP-5200	6,533	97	196	6,337
06/06/10	S1	EJP-5200	6,533	97	196	6,337
07/06/10	S1	EJP-5200	6,533	97	196	6,337
08/06/10	S1	EJP-5200	6,337	97	190	6,147
09/06/10	S1	EJP-5200	6,337	97	190	6,147
10/06/10	S1	EJP-5200	6,337	97	190	6,147
11/06/10	S1	EJP-5200	6,337	97	190	6,147
12/06/10	S1	EJP-5200	6,337	97	190	6,147
13/06/10	S1	EJP-5200	6,073	97	182	5,891
14/06/10	S1	EJP-5200	6,337	97	190	6,147
15/06/10	S1	EJP-5200	6,387	98	128	6,259
16/06/10	S1	EJP-5200	6,387	98	128	6,259
17/06/10	S1	EJP-5200	6,387	98	128	6,259
18/06/10	S1	EJP-5200	6,387	98	128	6,259
19/06/10	S1	EJP-5200	6,387	98	128	6,259
20/06/10	S1	EJP-5200	6,387	98	128	6,259
21/06/10	S1	EJP-5200	6,387	98	128	6,259
22/06/10	S1	EJP-5200	6,239	98	156	6,083
23/06/10	S1	EJP-5200	6,239	98	156	6,083
24/06/10	S1	EJP-5200	6,239	98	156	6,083
25/06/10	S1	EJP-5200	6,239	98	156	6,083
26/06/10	S1	EJP-5200	6,109	98	153	5,956
27/06/10	S1	EJP-5200	6,143	97	184	5,959
28/06/10	S1	EJP-5200	6,143	97	184	5,959
29/06/10	S1	EJP-5200	6,143	97	184	5,959

SP-III Date	Zone	TYPE PROD	FLUID (BFPD)	WC (%)	OIL (BOPD)	WATER (BWPD)
30/06/10	S1	EJP-5200	6,143	97	184	5,959
01/07/10	S1	EJP-5200	6,192	97	186	6,006
02/07/10	S1	EJP-5200	6,192	97	186	6,006
03/07/10	S1	EJP-5200	6,192	97	186	6,006
04/07/10	S1	EJP-5200	6,192	97	186	6,006
05/07/10	S1	EJP-5200	6,143	97	184	5,959
06/07/10	S1	EJP-5200	6,143	97	184	5,959
07/07/10	S1	EJP-5200	5,951	97	179	5,773
08/07/10	S1	EJP-5200	6,143	97	184	5,959
09/07/10	S1	EJP-5200	5,503	97	165	5,338
10/07/10	S1	EJP-5200	6,143	97	184	5,959
11/07/10	S1	EJP-5200	4,927	97	148	4,779
12/07/10	S1	EJP-5200	3,711	97	111	3,600
13/07/10	S1	EJP-5200	1,536	98	31	1,505
14/07/10	S1	EJP-5200	6,533	98	131	6,402
15/07/10	S1	EJP-5200	6,533	98	131	6,402
16/07/10	S1	EJP-5200	6,533	98	131	6,402
17/07/10	S1	EJP-5200	6,533	98	131	6,402
18/07/10	S1	EJP-5200	6,090	98	122	5,968
19/07/10	S1	EJP-5200	6,090	98	122	5,968
20/07/10	S1	EJP-5200	6,090	98	122	5,968
21/07/10	S1	EJP-5200	6,090	98	122	5,968
22/07/10	S1	EJP-5200	5,012	98	100	4,911
23/07/10	S1	EJP-5200	6,090	98	122	5,968
24/07/10	S1	EJP-5200	5,836	98	117	5,720
25/07/10	S1	EJP-5200	6,094	98	152	5,942
26/07/10	S1	EJP-5200	3,809	98	95	3,714
27/07/10	S1	EJP-5200	6,094	98	152	5,942
28/07/10	S1	EJP-5200	6,094	98	152	5,942
29/07/10	S1	EJP-5200	6,094	98	152	5,942
30/07/10	S1	EJP-5200	6,094	98	152	5,942
31/07/10	S1	EJP-5200	6,094	98	152	5,942
01/08/10	S1	EJP-5200	6,094	98	152	5,942
02/08/10	S1	EJP-5200	6,094	98	152	5,942
03/08/10	S1	EJP-5200	6,094	98	152	5,942
04/08/10	S1	EJP-5200	6,094	98	152	5,942
05/08/10	S1	EJP-5200	6,094	98	152	5,942
06/08/10	S1	EJP-5200	6,094	98	152	5,942
07/08/10	S1	EJP-5200	5,078	98	127	4,951
08/08/10	S1	EJP-5200	6,094	98	152	5,942
09/08/10	S1	EJP-5200	5,713	98	143	5,570
10/08/10	S1	EJP-5200	6,142	98	123	6,019
11/08/10	S1	EJP-5200	6,142	98	123	6,019
12/08/10	S1	EJP-5200	6,142	98	123	6,019
13/08/10	S1	EJP-5200	6,142	98	123	6,019
14/08/10	S1	EJP-5200	6,143	98	123	6,020

SP-III Date	Zone	TYPE PROD	FLUID (BFPD)	WC (%)	OIL (BOPD)	WATER (BWPD)
15/08/10	S1	EJP-5200	6,143	98	123	6,020
16/08/10	S1	EJP-5200	4,671	98	93	4,578
17/08/10	S1	EJP-5200	6,143	98	123	6,020
18/08/10	S1	EJP-5200	6,143	98	123	6,020
19/08/10	S1	EJP-5200	6,242	98	156	6,086
20/08/10	S1	EJP-5200	5,007	98	125	4,881
21/08/10	S1	EJP-5200	6,242	98	156	6,086
22/08/10	S1	EJP-5200	6,524	97	196	6,328
23/08/10	S1	EJP-5200	6,422	98	128	6,294
24/08/10	S1	EJP-5200	6,422	98	128	6,294
25/08/10	S1	EJP-5200	6,422	98	128	6,294
26/08/10	S1	EJP-5200	6,422	98	128	6,294
27/08/10	S1	EJP-5200	6,422	98	128	6,294
28/08/10	S1	EJP-5200	4,883	98	98	4,786
29/08/10	S1	EJP-5200	6,422	98	128	6,294
30/08/10	S1	EJP-5200	6,422	98	128	6,294
31/08/10	S1	EJP-5200	6,422	98	128	6,294
01/09/10	S1	EJP-5200	6,422	98	128	6,294
02/09/10	S1	EJP-5200	6,422	98	128	6,294
03/09/10	S1	EJP-5200	6,422	98	128	6,294
04/09/10	S1	EJP-5200	6,422	98	128	6,294
05/09/10	S1	EJP-5200	6,422	98	128	6,294
06/09/10	S1	EJP-5200	5,285	98	106	5,179
07/09/10	S1	EJP-5200	6,422	98	128	6,294
08/09/10	S1	EJP-5200	6,422	98	128	6,294
09/09/10	S1	EJP-5200	6,422	98	128	6,294
10/09/10	S1	EJP-5200	6,422	98	128	6,294
11/09/10	S1	EJP-5200	6,422	98	128	6,294
12/09/10	S1	EJP-5200	6,422	98	128	6,294
13/09/10	S1	EJP-5200	6,422	98	128	6,294
14/09/10	S1	EJP-5200	6,422	98	128	6,294
15/09/10	S1	EJP-5200	6,422	98	128	6,294
16/09/10	S1	EJP-5200	6,422	98	128	6,294
17/09/10	S1	EJP-5200	6,021	98	120	5,900
18/09/10	S1	EJP-5200	4,549	98	91	4,458
19/09/10	S1	EJP-5200	6,422	98	128	6,294
20/09/10	S1	EJP-5200	5,552	98	111	5,441
21/09/10	S1	EJP-5200	6,288	98	126	6,162
22/09/10	S1	EJP-5200	3,880	98	78	3,802
23/09/10	S1	EJP-5200	6,422	98	128	6,294
24/09/10	S1	EJP-5200	6,422	98	128	6,294
25/09/10	S1	EJP-5200	6,422	98	128	6,294
26/09/10	S1	EJP-5200	6,422	98	128	6,294
27/09/10	S1	EJP-5200	6,422	98	128	6,294
28/09/10	S1	EJP-5200	6,422	98	128	6,294
29/09/10	S1	EJP-5200	6,422	98	128	6,294

SP-III Date	Zone	TYPE PROD	FLUID (BFPD)	WC (%)	OIL (BOPD)	WATER (BWPD)
30/09/10	S1	EJP-5200	6,422	98	128	6,294
01/10/10	S1	EJP-5200	6,088	98	122	5,966
02/10/10	S1	EJP-5200	6,422	98	128	6,294
03/10/10	S1	EJP-5200	6,422	98	128	6,294
04/10/10	S1	EJP-5200	6,422	98	128	6,294
05/10/10	S1	EJP-5200	6,422	98	128	6,294
06/10/10	S1	EJP-5200	6,422	98	128	6,294
07/10/10	S1	EJP-5200	6,422	98	128	6,294
08/10/10	S1	EJP-5200	6,021	98	120	5,900
09/10/10	S1	EJP-5200	6,422	98	128	6,294
10/10/10	S1	EJP-5200	6,422	98	128	6,294
11/10/10	S1	EJP-5200	6,287	97	189	6,098
12/10/10	S1	EJP-5200	6,025	97	181	5,844
13/10/10	S1	EJP-5200	6,287	97	189	6,098
14/10/10	S1	EJP-5200	6,287	97	189	6,098
15/10/10	S1	EJP-5200	6,287	97	189	6,098
16/10/10	S1	EJP-5200	6,287	97	189	6,098
17/10/10	S1	EJP-5200	6,287	97	189	6,098
18/10/10	S1	EJP-5200	6,287	97	189	6,098
19/10/10	S1	EJP-5200	6,045	98	121	5,924
20/10/10	S1	EJP-5200	6,045	98	121	5,924
21/10/10	S1	EJP-5200	6,045	98	121	5,924
22/10/10	S1	EJP-5200	6,438	97	193	6,245
23/10/10	S1	EJP-5200	6,237	97	187	6,050
24/10/10	S1	EJP-5200	6,438	97	193	6,245
25/10/10	S1	EJP-5200	6,438	97	193	6,245
26/10/10	S1	EJP-5200	6,438	97	193	6,245
27/10/10	S1	EJP-5200	6,438	97	193	6,245
28/10/10	S1	EJP-5200	6,438	97	193	6,245
29/10/10	S1	EJP-5200	6,438	97	193	6,245
30/10/10	S1	EJP-5200	6,438	97	193	6,245
31/10/10	S1	EJP-5200	6,438	97	193	6,245
01/11/10	S1	EJP-5200	6,438	97	193	6,245
02/11/10	S1	EJP-5200	6,406	97	192	6,214
03/11/10	S1	EJP-5200	6,406	97	192	6,214
04/11/10	S1	EJP-5200	5,405	97	162	5,243
05/11/10	S1	EJP-5200	6,406	97	192	6,214
06/11/10	S1	EJP-5200	6,006	98	120	5,886
07/11/10	S1	EJP-5200	6,406	97	192	6,214
08/11/10	S1	EJP-5200	4,243	98	85	4,158
09/11/10	S1	EJP-5200	6,080	98	122	5,958
10/11/10	S1	EJP-5200	6,080	98	122	5,958
11/11/10	S1	EJP-5200	6,080	98	122	5,958
12/11/10	S1	EJP-5200	5,953	98	119	5,834
13/11/10	S1	EJP-5200	5,700	98	114	5,586
14/11/10	S1	EJP-5200	6,080	98	122	5,958

SP-III Date	Zone	TYPE PROD	FLUID (BFPD)	WC (%)	OIL (BOPD)	WATER (BWPD)
15/11/10	S1	EJP-5200	6,080	98	122	5,958
16/11/10	S1	EJP-5200	6,080	98	122	5,958
17/11/10	S1	EJP-5200	6,080	98	122	5,958
18/11/10	S1	EJP-5200	5,953	98	119	5,834
19/11/10	S1	EJP-5200	6,080	98	122	5,958
20/11/10	S1	EJP-5200	6,080	98	122	5,958
21/11/10	S1	EJP-5200	6,080	98	122	5,958
22/11/10	S1	EJP-5200	6,080	98	122	5,958
23/11/10	S1	EJP-5200	5,320	98	106	5,214
24/11/10	S1	EJP-5200	6,535	97	196	6,339
25/11/10	S1	EJP-5200	6,535	97	196	6,339
26/11/10	S1	EJP-5200	6,535	97	196	6,339
27/11/10	S1	EJP-5200	6,535	97	196	6,339
28/11/10	S1	EJP-5200	6,535	97	196	6,339
29/11/10	S1	EJP-5200	5,272	98	105	5,167
30/11/10	S1	EJP-5200	5,806	98	116	5,690
01/12/10	S1	EJP-5200	6,407	98	128	6,279
02/12/10	S1	EJP-5200	6,178	98	124	6,054
03/12/10	S1	EJP-5200	5,856	98	117	5,739
04/12/10	S1	EJP-5200	5,599	98	112	5,487
05/12/10	S1	EJP-5200	6,178	98	124	6,054
06/12/10	S1	EJP-5200	6,178	98	124	6,054
07/12/10	S1	EJP-5200	6,178	98	124	6,054
08/12/10	S1	EJP-5200	6,178	98	124	6,054
09/12/10	S1	EJP-5200	6,178	98	124	6,054
10/12/10	S1	EJP-5200	6,178	98	124	6,054
11/12/10	S1	EJP-5200	6,178	98	124	6,054
12/12/10	S1	EJP-5200	6,178	98	124	6,054
13/12/10	S1	EJP-5200	6,178	98	124	6,054
14/12/10	S1	EJP-5200	6,272	98	125	6,147
15/12/10	S1	EJP-5200	5,227	98	131	5,096
16/12/10	S1	EJP-5200	5,815	98	116	5,698
17/12/10	S1	EJP-5200	6,272	98	125	6,147
18/12/10	S1	EJP-5200	6,272	98	125	6,147
19/12/10	S1	EJP-5200	6,272	98	125	6,147
20/12/10	S1	EJP-5200	6,272	98	125	6,147
21/12/10	S1	EJP-5200	6,272	98	125	6,147
22/12/10	S1	EJP-5200	6,178	97	185	5,993
23/12/10	S1	EJP-5200	6,178	97	185	5,993
24/12/10	S1	EJP-5200	5,213	97	156	5,056
25/12/10	S1	EJP-5200	6,338	97	190	6,148
26/12/10	S1	EJP-5200	5,215	98	130	5,085
27/12/10	S1	EJP-5200	6,181	98	155	6,026
28/12/10	S1	EJP-5200	6,181	98	155	6,026
29/12/10	S1	EJP-5200	6,181	98	155	6,026
30/12/10	S1	EJP-5200	6,181	98	155	6,026

**Lampiran A.5**  
**Data Produksi Sumur L5A-GGG**

SP-III Date	Zone	TYPE PROD	FLUID (BFPD)	WC (%)	OIL (BOPD)	WATER (BWPD)
01/01/10	S1	GL	1,433	96	57	1,376
02/01/10	S1	GL	1,433	96	57	1,376
03/01/10	S1	GL	1,433	96	57	1,376
04/01/10	S1	GL	1,433	97	43	1,390
05/01/10	S1	GL	1,433	96	57	1,376
06/01/10	S1	GL	1,521	96	68	1,453
07/01/10	S1	GL	1,521	96	68	1,453
08/01/10	S1	GL	1,521	96	68	1,453
09/01/10	S1	GL	1,757	97	61	1,696
10/01/10	S1	GL	1,757	97	61	1,696
11/01/10	S1	GL	1,757	97	61	1,696
12/01/10	S1	GL	1,757	96	70	1,687
13/01/10	S1	GL	1,757	96	70	1,687
14/01/10	S1	GL	1,757	96	70	1,687
15/01/10	S1	GL	1,757	96	70	1,687
16/01/10	S1	GL	1,757	95	88	1,669
17/01/10	S1	GL	1,757	96	70	1,687
18/01/10	S1	GL	1,415	96	57	1,358
19/01/10	S1	GL	1,415	96	57	1,358
20/01/10	S1	GL	1,415	96	57	1,358
21/01/10	S1	GL	1,415	96	57	1,358
22/01/10	S1	GL	1,415	96	57	1,358
23/01/10	S1	GL	1,361	96	54	1,307
24/01/10	S1	GL	1,361	96	54	1,307
25/01/10	S1	GL	1,361	96	54	1,307
26/01/10	S1	GL	1,361	96	54	1,307
27/01/10	S1	GL	1,361	97	48	1,313
28/01/10	S1	GL	1,361	97	41	1,320
29/01/10	S1	GL	1,454	97	44	1,410
30/01/10	S1	GL	1,454	96	58	1,396
31/01/10	S1	GL	1,454	96	58	1,396
01/02/10	S1	GL	1,454	96	58	1,396
02/02/10	S1	GL	1,454	97	44	1,410
03/02/10	S1	GL	1,454	97	44	1,410
04/02/10	S1	GL	1,454	96	58	1,396
05/02/10	S1	GL	1,221	95	61	1,160
06/02/10	S1	GL	1,221	95	61	1,160
07/02/10	S1	GL	1,221	95	61	1,160
08/02/10	S1	GL	1,221	96	49	1,172
09/02/10	S1	GL	1,221	96	49	1,172
10/02/10	S1	GL	1,221	96	49	1,172
11/02/10	S1	GL	1,221	96	49	1,172
12/02/10	S1	GL	1,221	96	49	1,172
13/02/10	S1	GL	1,221	96	49	1,172

SP-III Date	Zone	TYPE PROD	FLUID (BFPD)	WC (%)	OIL (BOPD)	WATER (BWPD)
14/02/10	S1	GL	1,221	96	49	1,172
15/02/10	S1	GL	1,221	96	49	1,172
16/02/10	S1	GL	1,221	96	49	1,172
17/02/10	S1	GL	1,348	96	51	1,297
18/02/10	S1	GL	1,348	96	54	1,294
19/02/10	S1	GL	1,348	96	54	1,294
20/02/10	S1	GL	1,348	96	54	1,294
21/02/10	S1	GL	1,348	96	54	1,294
22/02/10	S1	GL	1,348	96	54	1,294
23/02/10	S1	GL	1,289	96	52	1,237
24/02/10	S1	GL	1,289	96	52	1,237
25/02/10	S1	GL	1,289	96	52	1,237
26/02/10	S1	GL	1,289	96	52	1,237
27/02/10	S1	GL	1,289	96	52	1,237
28/02/10	S1	GL	1,289	96	52	1,237
01/03/10	S1	GL	1,289	96	52	1,237
02/03/10	S1	GL	1,289	96	52	1,237
03/03/10	S1	GL	1,289	96	52	1,237
04/03/10	S1	GL	1,289	96	52	1,237
05/03/10	S1	GL	1,289	96	52	1,237
06/03/10	S1	GL	997	96	40	957
07/03/10	S1	GL	1,190	96	48	1,142
08/03/10	S1	GL	1,190	96	48	1,142
09/03/10	S1	GL	1,190	96	48	1,142
10/03/10	S1	GL	1,190	96	48	1,142
11/03/10	S1	GL	1,194	96	48	1,146
12/03/10	S1	GL	1,194	96	48	1,146
13/03/10	S1	GL	1,194	96	48	1,146
14/03/10	S1	GL	1,194	96	48	1,146
15/03/10	S1	GL	1,194	97	36	1,158
16/03/10	S1	GL	1,169	97	35	1,134
17/03/10	S1	GL	1,169	96	47	1,122
18/03/10	S1	GL	1,169	96	47	1,122
19/03/10	S1	GL	1,169	96	47	1,122
20/03/10	S1	GL	1,203	96	48	1,155
21/03/10	S1	GL	1,203	96	48	1,155
22/03/10	S1	GL	1,203	96	48	1,155
23/03/10	S1	GL	1,203	96	48	1,155
24/03/10	S1	GL	1,112	96	44	1,068
25/03/10	S1	GL	1,112	96	44	1,068
26/03/10	S1	GL	1,112	96	44	1,068
27/03/10	S1	GL	1,112	96	44	1,068
28/03/10	S1	GL	1,112	96	44	1,068
29/03/10	S1	GL	1,019	96	41	979

SP-III Date	Zone	TYPE PROD	FLUID (BFPD)	WC (%)	OIL (BOPD)	WATER (BWPD)
30/03/10	S1	GL	1,112	96	44	1,068
31/03/10	S1	GL	1,113	96	45	1,068
01/04/10	S1	GL	1,113	96	45	1,068
02/04/10	S1	GL	1,127	97	39	1,088
03/04/10	S1	GL	1,127	97	39	1,088
04/04/10	S1	GL	1,127	97	39	1,088
05/04/10	S1	GL	1,127	97	39	1,088
06/04/10	S1	GL	1,127	97	34	1,093
07/04/10	S1	GL	1,127	97	34	1,093
08/04/10	S1	GL	1,127	97	34	1,093
09/04/10	S1	GL	1,127	97	34	1,093
10/04/10	S1	GL	1,127	97	34	1,093
11/04/10	S1	GL	1,036	96	41	995
12/04/10	S1	GL	1,036	96	41	995
13/04/10	S1	GL	1,036	96	41	995
14/04/10	S1	GL	1,065	96	43	1,022
15/04/10	S1	GL	1,363	96	55	1,308
16/04/10	S1	GL	1,363	96	55	1,308
17/04/10	S1	GL	1,363	96	55	1,308
18/04/10	S1	GL	1,363	96	55	1,308
19/04/10	S1	GL	1,363	96	55	1,308
20/04/10	S1	GL	1,363	96	55	1,308
21/04/10	S1	GL	1,327	96	53	1,274
22/04/10	S1	GL	1,327	96	53	1,274
23/04/10	S1	GL	1,327	96	53	1,274
24/04/10	S1	GL	1,327	96	53	1,274
25/04/10	S1	GL	1,327	96	53	1,274
26/04/10	S1	GL	1,327	96	53	1,274
27/04/10	S1	GL	1,364	96	55	1,309
28/04/10	S1	GL	1,364	96	55	1,309
29/04/10	S1	GL	1,364	96	55	1,309
30/04/10	S1	GL	1,364	96	55	1,309
01/05/10	S1	GL	1,364	96	55	1,309
02/05/10	S1	GL	1,364	96	55	1,309
03/05/10	S1	GL	1,242	96	50	1,192
04/05/10	S1	GL	1,242	96	50	1,192
05/05/10	S1	GL	1,242	96	50	1,192
06/05/10	S1	GL	1,242	96	50	1,192
07/05/10	S1	GL	1,242	96	50	1,192
08/05/10	S1	GL	1,242	96	50	1,192
09/05/10	S1	GL	1,242	96	50	1,192
10/05/10	S1	GL	1,242	96	50	1,192
11/05/10	S1	GL	1,242	96	50	1,192
12/05/10	S1	GL	1,242	96	50	1,192
13/05/10	S1	GL	1,242	96	50	1,192
14/05/10	S1	GL	1,242	96	50	1,192

SP-III Date	Zone	TYPE PROD	FLUID (BFPD)	WC (%)	OIL (BOPD)	WATER (BWPD)
15/05/10	S1	GL	1,242	96	50	1,192
16/05/10	S1	GL	1,242	96	50	1,192
17/05/10	S1	GL	1,242	96	50	1,192
18/05/10	S1	GL	1,242	96	50	1,192
19/05/10	S1	GL	867	96	35	832
20/05/10	S1	GL	867	96	35	832
21/05/10	S1	GL	794	96	32	762
22/05/10	S1	GL	794	96	32	762
23/05/10	S1	GL	794	96	32	762
24/05/10	S1	GL	794	96	32	762
25/05/10	S1	GL	529	96	21	508
26/05/10	S1	GL	1,382	96	55	1,327
27/05/10	S1	GL	1,382	96	55	1,327
28/05/10	S1	GL	1,382	96	55	1,327
29/05/10	S1	GL	1,382	96	55	1,327
30/05/10	S1	GL	1,382	96	55	1,327
31/05/10	S1	GL	1,382	96	55	1,327
01/06/10	S1	GL	1,382	96	55	1,327
02/06/10	S1	GL	1,382	96	55	1,327
03/06/10	S1	GL	1,382	96	55	1,327
04/06/10	S1	GL	1,590	97	56	1,534
05/06/10	S1	GL	1,590	97	56	1,534
06/06/10	S1	GL	1,590	97	56	1,534
07/06/10	S1	GL	1,590	97	56	1,534
08/06/10	S1	GL	1,259	97	44	1,215
09/06/10	S1	GL	1,424	97	50	1,375
10/06/10	S1	GL	1,528	96	61	1,467
11/06/10	S1	GL	1,528	96	61	1,467
12/06/10	S1	GL	1,528	96	61	1,467
13/06/10	S1	GL	1,528	96	61	1,467
14/06/10	S1	GL	1,528	96	61	1,467
15/06/10	S1	GL	1,528	96	61	1,467
16/06/10	S1	GL	1,528	96	61	1,467
17/06/10	S1	GL	1,528	96	61	1,467
18/06/10	S1	GL	1,528	96	61	1,467
19/06/10	S1	GL	1,439	95	72	1,367
20/06/10	S1	GL	1,439	95	72	1,367
21/06/10	S1	GL	1,439	95	72	1,367
22/06/10	S1	GL	1,439	95	72	1,367
23/06/10	S1	GL	1,439	95	72	1,367
24/06/10	S1	GL	1,439	95	72	1,367
25/06/10	S1	GL	1,439	95	72	1,367
26/06/10	S1	GL	1,439	95	72	1,367
27/06/10	S1	GL	1,439	95	72	1,367
28/06/10	S1	GL	1,232	97	43	1,189
29/06/10	S1	GL	1,232	97	43	1,189

SP-III Date	Zone	TYPE PROD	FLUID (BFPD)	WC (%)	OIL (BOPD)	WATER (BWPD)
30/06/10	S1	GL	1,232	97	43	1,189
01/07/10	S1	GL	1,232	97	43	1,189
02/07/10	S1	GL	1,232	97	43	1,189
03/07/10	S1	GL	1,369	96	55	1,314
04/07/10	S1	GL	1,369	96	55	1,314
05/07/10	S1	GL	1,369	96	55	1,314
06/07/10	S1	GL	1,369	96	55	1,314
07/07/10	S1	GL	1,369	96	55	1,314
08/07/10	S1	GL	1,430	96	57	1,373
09/07/10	S1	GL	1,430	96	57	1,373
10/07/10	S1	GL	1,430	96	57	1,373
11/07/10	S1	GL	1,430	96	57	1,373
12/07/10	S1	GL	1,430	96	57	1,373
13/07/10	S1	GL	1,430	96	57	1,373
14/07/10	S1	GL	1,430	96	57	1,373
15/07/10	S1	GL	1,430	96	57	1,373
16/07/10	S1	GL	1,430	96	57	1,373
17/07/10	S1	GL	1,430	96	57	1,373
18/07/10	S1	GL	1,430	96	57	1,373
19/07/10	S1	GL	1,235	97	43	1,192
20/07/10	S1	GL	1,235	97	43	1,192
21/07/10	S1	GL	1,235	97	43	1,192
22/07/10	S1	GL	1,235	97	43	1,192
23/07/10	S1	GL	1,268	96	51	1,217
24/07/10	S1	GL	1,268	96	51	1,217
25/07/10	S1	GL	1,268	96	51	1,217
26/07/10	S1	GL	1,268	96	51	1,217
27/07/10	S1	GL	1,268	96	51	1,217
28/07/10	S1	GL	1,083	96	43	1,040
29/07/10	S1	GL	1,723	97	52	1,671
30/07/10	S1	GL	1,723	97	52	1,671
31/07/10	S1	GL	1,723	97	52	1,671
01/08/10	S1	GL	1,723	97	52	1,671
02/08/10	S1	GL	1,723	97	52	1,671
03/08/10	S1	GL	1,723	97	52	1,671
04/08/10	S1	GL	1,723	97	52	1,671
05/08/10	S1	GL	1,723	97	52	1,671
06/08/10	S1	GL	1,924	97	67	1,857
07/08/10	S1	GL	1,610	97	56	1,554
08/08/10	S1	GL	1,610	97	56	1,554
09/08/10	S1	GL	1,610	97	56	1,554
10/08/10	S1	GL	1,878	96	75	1,803
11/08/10	S1	GL	1,878	96	75	1,803
12/08/10	S1	GL	1,561	96	62	1,499
13/08/10	S1	GL	1,561	96	62	1,499
14/08/10	S1	GL	1,561	96	62	1,499

SP-III Date	Zone	TYPE PROD	FLUID (BFPD)	WC (%)	OIL (BOPD)	WATER (BWPD)
15/08/10	S1	GL	1,561	96	62	1,499
16/08/10	S1	GL	1,561	96	62	1,499
17/08/10	S1	GL	1,561	96	62	1,499
18/08/10	S1	GL	1,853	95	93	1,760
19/08/10	S1	GL	1,853	95	93	1,760
20/08/10	S1	GL	1,853	95	93	1,760
21/08/10	S1	GL	1,853	95	93	1,760
22/08/10	S1	GL	1,853	95	93	1,760
23/08/10	S1	GL	1,853	95	93	1,760
24/08/10	S1	GL	1,853	95	93	1,760
25/08/10	S1	GL	1,853	95	93	1,760
26/08/10	S1	GL	1,853	95	93	1,760
27/08/10	S1	GL	1,853	95	93	1,760
28/08/10	S1	GL	1,853	95	93	1,760
29/08/10	S1	GL	1,853	95	93	1,760
30/08/10	S1	GL	1,853	95	93	1,760
31/08/10	S1	GL	1,853	95	93	1,760
01/09/10	S1	GL	1,853	95	93	1,760
02/09/10	S1	GL	1,853	95	93	1,760
03/09/10	S1	GL	1,754	95	88	1,666
04/09/10	S1	GL	1,754	95	88	1,666
05/09/10	S1	GL	1,754	95	88	1,666
06/09/10	S1	GL	1,754	95	88	1,666
07/09/10	S1	GL	1,754	95	88	1,666
08/09/10	S1	GL	1,754	95	88	1,666
09/09/10	S1	GL	1,754	95	88	1,666
10/09/10	S1	GL	1,754	95	88	1,666
11/09/10	S1	GL	1,754	95	88	1,666
12/09/10	S1	GL	1,681	96	67	1,614
13/09/10	S1	GL	1,681	96	67	1,614
14/09/10	S1	GL	1,681	96	67	1,614
15/09/10	S1	GL	1,681	96	67	1,614
16/09/10	S1	GL	1,745	97	61	1,684
17/09/10	S1	GL	1,745	97	52	1,693
18/09/10	S1	GL	1,745	97	52	1,693
19/09/10	S1	GL	1,745	97	52	1,693
20/09/10	S1	GL	1,745	97	52	1,693
21/09/10	S1	GL	1,745	97	52	1,693
22/09/10	S1	GL	1,745	97	52	1,693
23/09/10	S1	GL	1,627	97	49	1,578
24/09/10	S1	GL	1,627	97	49	1,578
25/09/10	S1	GL	1,627	97	49	1,578
26/09/10	S1	GL	1,365	96	55	1,310
27/09/10	S1	GL	1,365	96	55	1,310
28/09/10	S1	GL	1,365	96	55	1,310
29/09/10	S1	GL	1,365	96	55	1,310

SP-III Date	Zone	TYPE PROD	FLUID (BFPD)	WC (%)	OIL (BOPD)	WATER (BWPD)
30/09/10	S1	GL	996	96	40	956
01/10/10	S1	GL	1,897	98	38	1,859
02/10/10	S1	GL	1,897	98	38	1,859
03/10/10	S1	GL	1,897	98	38	1,859
04/10/10	S1	GL	1,897	98	38	1,859
05/10/10	S1	GL	1,897	98	38	1,859
06/10/10	S1	GL	1,897	98	38	1,859
07/10/10	S1	GL	1,897	98	38	1,859
08/10/10	S1	GL	1,803	96	72	1,731
09/10/10	S1	GL	1,803	96	72	1,731
10/10/10	S1	GL	1,803	96	72	1,731
11/10/10	S1	GL	1,803	96	72	1,731
12/10/10	S1	GL	1,803	96	72	1,731
13/10/10	S1	GL	1,803	96	72	1,731
14/10/10	S1	GL	1,803	96	72	1,731
15/10/10	S1	GL	1,803	96	72	1,731
16/10/10	S1	GL	1,846	98	37	1,809
17/10/10	S1	GL	1,846	98	37	1,809
18/10/10	S1	GL	1,846	98	37	1,809
19/10/10	S1	GL	1,846	98	37	1,809
20/10/10	S1	GL	1,846	98	37	1,809
21/10/10	S1	GL	1,895	98	38	1,857
22/10/10	S1	GL	1,838	96	74	1,764
23/10/10	S1	GL	1,838	96	74	1,764
24/10/10	S1	GL	1,838	96	74	1,764
25/10/10	S1	GL	1,838	96	74	1,764
26/10/10	S1	GL	1,838	96	74	1,764
27/10/10	S1	GL	1,838	96	74	1,764
28/10/10	S1	GL	1,838	96	74	1,764
29/10/10	S1	GL	1,838	96	74	1,764
30/10/10	S1	GL	1,838	96	74	1,764
31/10/10	S1	GL	1,838	96	74	1,764
01/11/10	S1	GL	1,838	96	74	1,764
02/11/10	S1	GL	1,838	96	74	1,764
03/11/10	S1	GL	1,781	96	71	1,709
04/11/10	S1	GL	1,810	96	72	1,738
05/11/10	S1	GL	1,810	96	72	1,738
06/11/10	S1	GL	1,810	96	72	1,738
07/11/10	S1	GL	1,810	96	72	1,738
08/11/10	S1	GL	1,810	96	72	1,738
09/11/10	S1	GL	1,810	96	72	1,738
10/11/10	S1	GL	1,810	96	72	1,738
11/11/10	S1	GL	1,810	96	72	1,738
12/11/10	S1	GL	1,810	96	72	1,738
13/11/10	S1	GL	1,810	96	72	1,738
14/11/10	S1	GL	1,545	96	62	1,483

SP-III Date	Zone	TYPE PROD	FLUID (BFPD)	WC (%)	OIL (BOPD)	WATER (BWPD)
16/11/10	S1	GL	1,545	96	62	1,483
17/11/10	S1	GL	1,545	96	62	1,483
18/11/10	S1	GL	1,545	96	62	1,483
19/11/10	S1	GL	1,366	96	55	1,311
20/11/10	S1	GL	1,366	96	55	1,311
21/11/10	S1	GL	1,366	96	55	1,311
22/11/10	S1	GL	1,366	96	55	1,311
23/11/10	S1	GL	1,366	96	55	1,311
24/11/10	S1	GL	1,366	96	55	1,311
25/11/10	S1	GL	1,366	96	55	1,311
26/11/10	S1	GL	1,366	96	55	1,311
27/11/10	S1	GL	1,366	96	55	1,311
28/11/10	S1	GL	1,366	96	55	1,311
29/11/10	S1	GL	1,366	96	55	1,311
30/11/10	S1	GL	1,366	95	68	1,298
01/12/10	S1	GL	1,366	95	68	1,298
02/12/10	S1	GL	1,366	95	68	1,298
03/12/10	S1	GL	1,366	95	68	1,298
04/12/10	S1	GL	1,388	96	56	1,332
05/12/10	S1	GL	1,388	96	56	1,332
06/12/10	S1	GL	1,388	96	56	1,332
07/12/10	S1	GL	1,388	96	56	1,332
08/12/10	S1	GL	1,388	96	56	1,332
09/12/10	S1	GL	1,388	96	56	1,332
10/12/10	S1	GL	1,388	96	56	1,332
11/12/10	S1	GL	1,388	96	56	1,332
12/12/10	S1	GL	1,313	96	53	1,260
13/12/10	S1	GL	1,313	96	53	1,260
14/12/10	S1	GL	1,313	96	53	1,260
15/12/10	S1	GL	1,313	96	53	1,260
16/12/10	S1	GL	1,313	96	53	1,260
17/12/10	S1	GL	1,313	96	53	1,260
18/12/10	S1	GL	1,302	95	65	1,237
19/12/10	S1	GL	1,302	95	65	1,237
20/12/10	S1	GL	1,302	95	65	1,237
21/12/10	S1	GL	1,302	95	65	1,237
22/12/10	S1	GL	1,302	95	65	1,237
23/12/10	S1	GL	1,290	96	52	1,238
24/12/10	S1	GL	1,290	96	52	1,238
25/12/10	S1	GL	1,290	96	52	1,238
26/12/10	S1	GL	1,290	96	52	1,238
27/12/10	S1	GL	1,285	96	51	1,234
28/12/10	S1	GL	1,285	96	51	1,234
29/12/10	S1	GL	1,285	96	51	1,234
30/12/10	S1	GL	1,285	96	51	1,234
31/12/10	S1	GL	1,285	96	51	1,234

**LAMPIRAN B**

**PERHITUNGAN KECENDERUNGAN PEMBENTUKAN SCALE, SCALING  
INDEX DENGAN MENGGUNAKAN METODE STIFF-DAVIS DAN ODDO-  
TOMPSON**

**Tabel B-1:** Perhitungan *Ionic Strength* pada Sampling Sumur Produksi

No.	ion	Hasil Analisa Sumur									
		LMC-XXX		L5A-YYY		L5A-ZZZ		L5A-RRR		L5A-GGG	
		mg/L	$\mu$	mg/L	$\mu$	mg/L	$\mu$	mg/L	$\mu$	mg/L	$\mu$
1.	Fe	0,01	8.1E-07	0,31	2.5E-05	0,71	5.8E-05	0,95	7.7E-05	0,81	6.6E-05
2.	Na	7.177,5	0,16	6.685	0,1471	7024,59	0,1545	7.035	0,1548	4685,48	0,1031
3.	Ca	413	0,0207	109,9	0,0055	80	0,0040	131,4	0,0066	180	0,0090
4.	Mg	28,7	0,0024	27,1	0,0022	72,96	0,0060	31,8	0,0026	48,64	0,0040
5.	K	242,9	0,0031	120,2	0,0015	213	0,0027	150,6	0,0019	89	0,0011
6.	Ba	1,16	1.74E-05	23,6	0,0004	17,3	0,0003	28,7	0,0004	11,1	0,0002
7.	Sr	1,11	2.53E-05	94,83	0,0022	33,9	0,0008	90,33	0,0021	25,8	0,0006
8.	Cl <sup>-</sup>	9.984,19	0,1398	9.907,5	0,1387	9743,15	0,1364	10.102,72	0,1414	6097,48	0,0854
9.	SO <sub>4</sub> <sup>2-</sup>	45,35	0,00010	3,3	0,00001	0	0	20,93	0,00004	0	0
10.	CO <sub>3</sub> <sup>2-</sup>	606	0,0200	1.247,35	0,0412	90	0,0030	828,3	0,0273	270	0,0089
11.	HCO <sub>3</sub> <sup>-</sup>	739,32	0,0606	1.521,77	0,1248	2318	0,1901	1022,73	0,0839	2196	0,1801
Total Ionic Strength		<b>0,4046</b>		<b>0,4635</b>		<b>0,4978</b>		<b>0,4211</b>		<b>0,3924</b>	

**Perhitungan:****1. Metode Stiff-Davis Index****a. Sumur LMC-XXX**

$$p\text{Ca} = 4,5997 - 0,4327 \ln (\text{Ca}^{2+}) \text{ atau (dari grafik pada Gambar 3.4)}$$

$$p\text{Ca} = 1,9898$$

$$p\text{Alk} = 4,8139 - 0,4375 \ln (\text{CO}_3^{2-} + \text{HCO}_3^-) \text{ atau (dari grafik pada Gambar 3.4)}$$

$$p\text{Alk} = 0,9128$$

$$\text{total } i\text{onic strength } (\mu) = 0,4046$$

K dari Gambar 3.3 sebesar = 0,8490

$$\text{SI} = \text{pH} - (K + p\text{Ca} + p\text{Alk})$$

$$= 9 - (0,8490 + 1,9898 + 0,9128)$$

$$= 5,25$$

**b. Sumur L5A-YYY**

$$p\text{Ca} = 4,5997 - 0,4327 \ln (\text{Ca}^{2+}) \text{ atau (dari grafik pada Gambar 3.4)}$$

$$p\text{Ca} = 2,5667$$

$$p\text{Alk} = 4,8139 - 0,4375 \ln (\text{CO}_3^{2-} + \text{HCO}_3^-) \text{ atau (dari grafik pada Gambar 3.4)}$$

$$p\text{Alk} = 0,9442$$

total *ionic strength* ( $\mu$ ) = 0,4635

K dari Gambar 3.3 sebesar = 0,9063

$$SI = pH - (K + pCa + pAlk)$$

$$= 9,2 - (0,9063 + 2,5667 + 0,9442)$$

$$= 4,78$$

### c. Sumur L5A-ZZZ

$pCa = 4,5997 - 0,4327 \ln(Ca^{2+})$  atau (dari grafik pada Gambar 3.4)

$$pCa = 2,7051$$

$pAlk = 4,8139 - 0,4375 \ln(CO_3^{2-} + HCO_3^-)$  atau (dari grafik pada Gambar 3.4)

$$pAlk = 0,9223$$

total *ionic strength* ( $\mu$ ) = 0,4978

K dari Gambar 3.3 sebesar = 0,9396

$$SI = pH - (K + pCa + pAlk)$$

$$= 8,18 - (0,9396 + 2,7051 + 0,9223)$$

$$= 3,61$$

### d. Sumur L5A-RRR

$pCa = 4,5997 - 0,4327 \ln(Ca^{2+})$  atau (dari grafik pada Gambar 3.4)

$$pCa = 2,4889$$

$pAlk = 4,8139 - 0,4375 \ln(CO_3^{2-} + HCO_3^-)$  atau (dari grafik pada Gambar 3.4)

$$pAlk = 0,9217$$

total *ionic strength* ( $\mu$ ) = 0,4211

K dari Gambar 3.3 sebesar = 0,8651

$$SI = pH - (K + pCa + pAlk)$$

$$= 8,9 - (0,8651 + 2,4889 + 0,9217)$$

$$= 4,62$$

### e. Sumur L5A-GGG

$pCa = 4,5997 - 0,4327 \ln(Ca^{2+})$  atau (dari grafik pada Gambar 3.4)

$$pCa = 2,3517$$

$pAlk = 4,8139 - 0,4375 \ln(CO_3^{2-} + HCO_3^-)$  atau (dari grafik pada Gambar 3.4)

$$pAlk = 1,1010$$

total *ionic strength* ( $\mu$ ) = 0,3924

K dari Gambar 3.3 sebesar = 0,8372

$$SI = pH - (K + pCa + pAlk)$$

$$= 8 - (0,8372 + 2,3517 + 1,1010)$$

$$= 3,68$$

## 2. Metode Oddo-Tompson

Dari Tabel 3.3, dengan memasukkan pada persamaan 3.11 dan 3.10, maka didapatkan hasil perhitungan Is pada masing-masing sumur sebagai berikut.

### a. Sumur LMC-XXX

Scale	(-logKc)	[kation] [anion] = X	log X	Is
CaCO <sub>3</sub>	8,2275	0,000412959	-3,3841	4,8434
BaSO <sub>4</sub>	7,4806	1,65709E-09	-8,7807	-1,3001
SrSO <sub>4</sub>	5,5475	2,41296E-09	-8,6175	-3,0700
CaSO <sub>4.2H<sub>2</sub>O</sub>	3,1606	1,9666E-06	-5,7063	-2,5457
CaSO <sub>4.1/2H<sub>2</sub>O</sub>	2,8706	1,9666E-06	-5,7063	-2,8356
CaSO <sub>4</sub>	4,6207	1,9666E-06	-5,7063	-1,0856

### b. Sumur L5A-YYY

Scale	(-logKc)	[kation] [anion] = X	log X	Is
CaCO <sub>3</sub>	8,0549	2,2619E-4	-3,6455	4,4094
BaSO <sub>4</sub>	9,6011	2,45322E-09	-8,6103	0,9909
SrSO <sub>4</sub>	5,4521	1,50006E-08	-7,8239	-2,3718
CaSO <sub>4.2H<sub>2</sub>O</sub>	3,0875	3,80804E-08	-7,4193	-4,3318
CaSO <sub>4.1/2H<sub>2</sub>O</sub>	2,7346	3,80804E-08	-7,4193	-4,6847
CaSO <sub>4</sub>	4,4841	3,80804E-08	-7,4193	-2,9352

**c. Sumur L5A-ZZZ**

Scale	(-logKc)	[Kation] [anion] = X	log X	Is
CaCO <sub>3</sub>	8,0549	0,0002	-3,6455	4,4094
BaSO <sub>4</sub>	8,0866	1,188 x 10 <sup>-5</sup>	-4,9252	3,1614
SrSO <sub>4</sub>	7,4343	0	0	0
CaSO <sub>4.2H<sub>2</sub>O</sub>	5,4383	0	0	0
CaSO <sub>4.1/2H<sub>2</sub>O</sub>	3,0551	0	0	0
CaSO <sub>4</sub>	2,6654	0	0	0

**d. Sumur L5A-RRR**

Scale	(-logKc)	[kation] [anion] = X	log X	Is
CaCO <sub>3</sub>	8,0141	0,000179584	-3,74573	4,2684
BaSO <sub>4</sub>	7,4517	1,89218E-08	-7,72304	-0,2713
SrSO <sub>4</sub>	5,4478	9,06255E-08	-7,04275	-1,5949
CaSO <sub>4.2H<sub>2</sub>O</sub>	3,0728	2,88771E-07	-6,53945	-3,4667
CaSO <sub>4.1/2H<sub>2</sub>O</sub>	2,7497	2,88771E-07	-6,53945	-3,7897
CaSO <sub>4</sub>	4,4203	2,88771E-07	-6,53945	-2,1192

**e. Sumur L5A-GGG**

Scale	(-logKc)	[Kation] [anion] = X	log X	Is
CaCO <sub>3</sub>	8,0991	8,019E-05	-4,09588	4,0032
BaSO <sub>4</sub>	7,5162	0	0	0
SrSO <sub>4</sub>	5,5110	0	0	0
CaSO <sub>4.2H<sub>2</sub>O</sub>	3,1446	0	0	0
CaSO <sub>4.1/2H<sub>2</sub>O</sub>	2,8629	0	0	0
CaSO <sub>4</sub>	4,4411	0	0	0

## B-1. PERHITUNGAN KETEBALAN SCALE

Berdasarkan data *scale growth*, dapat dihitung ketebalan *scale* yang terbentuk pada penampang pipa, yaitu sebagai berikut.

$$\text{massa (g / year)} = \text{scale growth (g / in}^2 \text{ / year}) \times \text{luas penampang pipa (in}^2\text{)} \dots \dots \dots \text{(B.1-1)}$$

$$\text{volume (in}^3 \text{ / year)} = \frac{\text{massa scale (g / year)}}{\text{densitas tipe scale (g / in}^3\text{)}} \dots \dots \dots \text{(B.1-2)}$$

$$\text{ketebalan scale (in / year)} = \frac{\text{volume (in}^3 \text{ / year)}}{\text{luas penampang pipa (in}^2\text{)}} \dots \dots \dots \text{(B.1-3)}$$

Dengan memasukkan persamaan B.1-1 dan B.1-2 ke dalam persamaan B.1-3, maka didapatkan persamaan:

$$\text{ketebalan scale (in / year)} = \frac{\text{scale growth (g / in}^2 \text{ / year)}}{\text{densitas scale (g / in}^3\text{)}} \dots \dots \dots \text{(B.1-4)}$$

Dari data lapangan, diketahui bahwa diameter pipa *tubing* dan *flowline* sebesar 3,5 in dengan *inside diameter* pipa sebesar 2,992 in. Dari data tersebut, maka didapatkan luas penampang pipa sebesar:

$$A = \frac{1}{4} \pi D^2 = \frac{1}{4} (3,14) (2,992 \text{ in})^2 = 7,0274 \text{ in}^2$$

Diketahui bahwa densitas dari masing-masing tipe *scale* adalah sebagai berikut:

$$\text{a. Densitas CaCO}_3 = 2,71 \text{ g/cm}^3 = \frac{(2,71 \text{ g / cm}^3)}{(0,0610 \text{ in}^3 / \text{cm}^3)} = 44,4262 \text{ g/in}^3$$

$$\text{b. Densitas FeCO}_3 = 3,8 \text{ g/cm}^3 = \frac{(3,8 \text{ g / cm}^3)}{(0,0610 \text{ in}^3 / \text{cm}^3)} = 62,2951 \text{ g/in}^3$$

$$\text{c. Densitas BaSO}_4 = 4,3 \text{ g/cm}^3 = \frac{(4,3 \text{ g / cm}^3)}{(0,0610 \text{ in}^3 / \text{cm}^3)} = 70,4918 \text{ g/in}^3$$

### Perhitungan:

#### 1. Sumur LMC-XXX

Dengan data *scale growth* pada data Tabel 4.5 dan memasukkan pada persamaan diatas, maka didapatkan:

$$\text{massa scale CaCO}_3 = 10,5129 \text{ g / in}^2 \text{ / year} \times 7,0274 \text{ in}^2 = 73,8779 \text{ gram/year}$$

$$\text{volume scale } \text{CaCO}_3 = \frac{73,8779 \text{ g / year}}{44,4262 \text{ g / in}^3} = 1,6636 \text{ in}^3/\text{year}$$

$$\text{ketebalan scale} = \frac{1,6636 \text{ in}^3 / \text{year}}{7,0274 \text{ in}^2} = 0,2367 \text{ in/year}$$

Pada masing-masing kondisi operasi, didapatkan nilai ketebalan *scale* sebagai berikut:

<i>scale growth</i> <i>CaCO<sub>3</sub></i>	<i>massa scale</i> <i>CaCO<sub>3</sub></i>	<i>volume CaCO<sub>3</sub></i>	<i>thickness scale</i> <i>CaCO<sub>3</sub></i>
g/in <sup>2</sup> /year	gram	in <sup>3</sup>	in/year
9,3050	65,3894	1,4724	0,2095
9,5465	67,0871	1,5107	0,2150
9,8001	68,8687	1,5508	0,2207
10,0536	70,6502	1,5909	0,2264
10,2947	72,3450	1,6291	0,2318
10,5129	73,8779	1,6636	0,2367

## 2. Sumur L5A-YYY

Dengan data *scale growth* pada data Tabel 4.9 dan memasukkan pada persamaan diatas, maka didapatkan:

$$\text{massa scale } \text{CaCO}_3 = 5,5698 \text{ g / in}^2 / \text{year} \times 7,0274 \text{ in}^2 = 39,1413 \text{ gram/year}$$

$$\text{volume scale } \text{CaCO}_3 = \frac{39,1413 \text{ g / year}}{44,4262 \text{ g / in}^3} = 0,8814 \text{ in}^3/\text{year}$$

$$\text{ketebalan scale} = \frac{0,8814 \text{ in}^3 / \text{year}}{7,0274 \text{ in}^2} = 0,1254 \text{ in/year}$$

Pada masing-masing kondisi operasi, didapatkan nilai ketebalan *scale*  $\text{CaCO}_3$  dan  $\text{FeCO}_3$  sebagai berikut:

<i>scale growth</i> <i>CaCO<sub>3</sub></i>	<i>massa scale</i> <i>CaCO<sub>3</sub></i>	<i>volume CaCO<sub>3</sub></i>	<i>thickness scale</i> <i>CaCO<sub>3</sub></i>
g/in <sup>2</sup> /year	gram	in <sup>3</sup>	in/year
5,7185	40,1858	0,9049	0,1288
5,6944	40,0166	0,9011	0,1282
5,6674	39,8268	0,8968	0,1276
5,6374	39,6164	0,8921	0,1269
5,6050	39,3884	0,8869	0,1262
5,5698	39,1413	0,8814	0,1254

<i>scale growth FeCO<sub>3</sub></i>	<i>massa scale FeCO<sub>3</sub></i>	<i>volume FeCO<sub>3</sub></i>	<i>thickness scale FeCO<sub>3</sub></i>
<b>g/in<sup>2</sup>/year</b>	<b>gram</b>	<b>in<sup>3</sup></b>	<b>in/year</b>
0,0063	0,0441	0,0007	0,0001
0,0073	0,0515	0,0008	0,0001
0,0080	0,0559	0,0009	0,0001
0,0084	0,0588	0,0009	0,0001
0,0088	0,0618	0,0010	0,0001
0,0090	0,0633	0,0010	0,0001

### 3. Sumur L5A-ZZZ

Dengan data *scale growth* pada data Tabel 4.12 dan memasukkan pada persamaan diatas, maka didapatkan:

$$\text{massa scale } CaCO_3 = 4,0115 \text{ g / in}^2 / \text{year} \times 7,0274 \text{ in}^2 = 28,1901 \text{ gram/year}$$

$$\text{volume scale } CaCO_3 = \frac{28,1901 \text{ g / year}}{44,4262 \text{ g / in}^3} = 0,6348 \text{ in}^3/\text{year}$$

$$\text{ketebalan scale} = \frac{0,6348 \text{ in}^3 / \text{year}}{7,0274 \text{ in}^2} = 0,0903 \text{ in/year}$$

Pada masing-masing kondisi operasi, didapatkan nilai ketebalan *scale* CaCO<sub>3</sub> dan FeCO<sub>3</sub> sebagai berikut:

<i>scale growth CaCO<sub>3</sub></i>	<i>massa scale CaCO<sub>3</sub></i>	<i>volume CaCO<sub>3</sub></i>	<i>thickness scale CaCO<sub>3</sub></i>
<b>g/in<sup>2</sup>/year</b>	<b>gram</b>	<b>in<sup>3</sup></b>	<b>in/year</b>
4,0435	28,4151	0,6399	0,0911
4,0504	28,4637	0,6409	0,0912
4,0500	28,4608	0,6409	0,0912
4,0429	28,4107	0,6398	0,0910
4,0299	28,3195	0,6377	0,0907
4,0115	28,1901	0,6348	0,0903

<i>scale growth FeCO<sub>3</sub></i>	<i>massa scale FeCO<sub>3</sub></i>	<i>volume FeCO<sub>3</sub></i>	<i>thickness scale FeCO<sub>3</sub></i>
<b>g/in<sup>2</sup>/year</b>	<b>gram</b>	<b>in<sup>3</sup></b>	<b>in/year</b>
0,0232	0,1633	0,0037	0,0005
0,0245	0,1721	0,0039	0,0006
0,0255	0,1795	0,0040	0,0006
0,0262	0,1839	0,0041	0,0006
0,0268	0,1883	0,0042	0,0006
0,0270	0,1898	0,0043	0,0006

#### 4. Sumur L5A-RRR

Dengan data *scale growth* pada data Tabel 4.16 dan memasukkan pada persamaan diatas, maka didapatkan:

$$\text{massa scale } CaCO_3 = 6,6201 \text{ g / in}^2 / \text{year} \times 7,0274 \text{ in}^2 = 46,5221 \text{ gram/year}$$

$$\text{volume scale } CaCO_3 = \frac{46,5221 \text{ g / year}}{44,4262 \text{ g / in}^3} = 1,0476 \text{ in}^3/\text{year}$$

$$\text{ketebalan scale} = \frac{1,0476 \text{ in}^3 / \text{year}}{7,0274 \text{ in}^2} = 0,1491 \text{ in/year}$$

Pada masing-masing kondisi operasi, didapatkan nilai ketebalan *scale* CaCO<sub>3</sub> dan FeCO<sub>3</sub> sebagai berikut:

<i>scale growth CaCO<sub>3</sub></i>	<i>massa scale CaCO<sub>3</sub></i>	<i>volume CaCO<sub>3</sub></i>	<i>thickness scale CaCO<sub>3</sub></i>
<b>g/in<sup>2</sup>/year</b>	<b>gram</b>	<b>in<sup>3</sup></b>	<b>in/year</b>
6,7059	47,1252	1,0612	0,1510
6,6978	47,0678	1,0599	0,1508
6,6852	46,9795	1,0579	0,1505
6,6681	46,8589	1,0552	0,1502
6,6463	46,7059	1,0517	0,1497
6,6201	46,5221	1,0476	0,1491

<i>scale growth FeCO<sub>3</sub></i>	<i>massa scale FeCO<sub>3</sub></i>	<i>volume FeCO<sub>3</sub></i>	<i>thickness scale FeCO<sub>3</sub></i>
<b>g/in<sup>2</sup>/year</b>	<b>gram</b>	<b>in<sup>3</sup></b>	<b>in/year</b>
0,0329	0,23	0,0052	0,0007
0,0337	0,24	0,0053	0,0008
0,0345	0,24	0,0055	0,0008
0,0352	0,25	0,0056	0,0008
0,0354	0,25	0,0056	0,0008
0,0358	0,25	0,0057	0,0008

<i>scale growth BaSO<sub>4</sub></i>	<i>massa scale BaSO<sub>4</sub></i>	<i>volume BaSO<sub>4</sub></i>	<i>thickness scale BaSO<sub>4</sub></i>
<b>g/in<sup>2</sup>/year</b>	<b>gram</b>	<b>in<sup>3</sup></b>	<b>in/year</b>
0,6157	4,33	0,0087	0,0012
0,5744	4,04	0,0082	0,0012
0,5368	3,77	0,0076	0,0011
0,5026	3,53	0,0071	0,0010
0,4727	3,32	0,0067	0,0010
0,4465	3,14	0,0063	0,0009

## 5. Sumur L5A-GGG

Dengan data *scale growth* pada data Tabel 4.19 dan memasukkan pada persamaan diatas, maka didapatkan:

$$\text{massa scale } CaCO_3 = 8,9926 \text{ g / in}^2 / \text{year} \times 7,0274 \text{ in}^2 = 63,1945 \text{ gram/year}$$

$$\text{volume scale } CaCO_3 = \frac{63,19 \text{ g / year}}{44,4262 \text{ g / in}^3} = 1,4230 \text{ in}^3/\text{year}$$

$$\text{ketebalan scale} = \frac{1,42 \text{ in}^3 / \text{year}}{7,0274 \text{ in}^2} = 0,2025 \text{ in/year}$$

Pada masing-masing kondisi operasi, didapatkan nilai ketebalan *scale* CaCO<sub>3</sub> dan FeCO<sub>3</sub> sebagai berikut:

<i>scale growth</i> $\text{CaCO}_3$	<i>massa scale</i> $\text{CaCO}_3$	<i>volume</i> $\text{CaCO}_3$	<i>thickness scale</i> $\text{CaCO}_3$
<b>g/in<sup>2</sup>/year</b>	<b>gram</b>	<b>in<sup>3</sup></b>	<b>in/year</b>
8,7113	61,2172	1,3785	0,1962
8,8337	62,0779	1,3979	0,1989
8,9187	62,6752	1,4113	0,2008
8,9702	63,0371	1,4195	0,2020
8,9932	63,1989	1,4230	0,2025
8,9926	63,1945	1,4230	0,2025

<i>scale growth</i> $\text{FeCO}_3$	<i>massa scale</i> $\text{FeCO}_3$	<i>volume</i> $\text{FeCO}_3$	<i>thickness scale</i> $\text{FeCO}_3$
<b>g/in<sup>2</sup>/year</b>	<b>gram</b>	<b>in<sup>3</sup></b>	<b>in/year</b>
0,0203	0,1427	0,0032	0,0055
0,0234	0,1648	0,0037	0,0063
0,0257	0,1810	0,0041	0,0070
0,0276	0,1942	0,0044	0,0075
0,0289	0,2030	0,0046	0,0078
0,0297	0,2089	0,0047	0,0080

LAMPIRAN C

HASIL SIMULASI *OLI SCALECHEM 4.0*

## C.1. SUMUR LMC-XXX

### Brine Analysis Data

**brine048** 03/15/11  
**Well** LMC-XXX  
**Type of Water** Modified Water

### *Original Brine Analysis*

	Conc, mg/L
<b>Cations</b>	
Na+1	7177.50
K+1	242.90
Ca+2	413.00
Mg+2	28.70
Sr+2	1.11
Ba+2	1.16
Fe+2	0.01
<b>Anions</b>	
Cl-1	9984.19
SO4-2	45.35
HCO3-1	739.32
<b>Properties</b>	
Total Dissolved Solids, mg/L	18633.00
Measured Density, g/cc	1.01

### *ElectroNeutrality Balance*

1657.41 mg/L of Cl-1 added to balance charge

### *Reconciliations*

Reconciliation Type - pH and Alkalinity.

Variables	Measured	Calculated	Units
Temperature	140.00	9.00	deg F
Pressure	190.00	740.48	psia
pH	9.00	-8.31	
Alkalinity	739.32	-157.27	as HCO3-, mg/L
HCl added		1.00	mg/L
CO2 added		0.06	mg/L
Density	1.01		g/cc
Electrical Conductivity			1/ohm-cm

### Report

scaletend048

03/15/11

### Input Summary

#### *Analyses*

**brine048** 03/15/11  
**Well** LMC-XXX  
**Flowrate(bbl/day)** 2600.00  
**Type of Water** Modified Water

#### *Conditions*

Temperature	Pressure	Description
deg F	psia	
140.00	190.00	surface
159.44	305.00	selected point

178.88	420.00	selected point
198.32	535.00	selected point
217.76	650.00	selected point
237.20	765.00	downhole

### Solids Selected as Possible Precipitants

NaCl (Halite)  
 CaCO<sub>3</sub> (Calcite)  
 CaSO<sub>4</sub>.2H<sub>2</sub>O (Gypsum)  
 CaSO<sub>4</sub> (Anhydrite)  
 SrSO<sub>4</sub> (Celestite)  
 BaSO<sub>4</sub> (Barite)  
 FeCO<sub>3</sub> (Siderite)

### Output Summary

#### Selected Plot Variables

Pressure psia	CACO <sub>3</sub> solid, mg/L
190.00	444.48
305.00	456.02
420.00	468.13
535.00	480.24
650.00	491.76
765.00	502.18

#### Output Brine, Gas and Oil - Point 1

Temperature:	140	deg F
Pressure:	190	psia
pH:	6.74	
Ionic Strength:	0.3473	
Brine Density:	1	g/cc
Elec Conductivity:	0.5673E-01	1/ohm-cm
Water Activity:	0.9887E+00	

#### Equilibrium Brine Composition

Brine Flow:	2599.8	bbl/day	
<b>Cations</b>	<b>mg/l</b>	<b>Anions</b>	<b>mg/l</b>
BAHCO <sub>3</sub> <sup>+</sup>	0.0299	OH <sup>-</sup>	0.0124
BA <sup>+2</sup>	0.9034	CL <sup>-</sup>	11634.1162
CACL <sup>+</sup>	0.0095	CO <sub>3</sub> <sup>-2</sup>	0.3221
CAHCO <sub>3</sub> <sup>+</sup>	6.6493	HCO <sub>3</sub> <sup>-</sup>	190.9128
CA <sup>+2</sup>	231.8789	HSO <sub>4</sub> <sup>-</sup>	0.0005
CAOH <sup>+</sup>	0.0020	KSO <sub>4</sub> <sup>-</sup>	0.6807
FEII <sup>+2</sup>	0.0096	NACO <sub>3</sub> <sup>-</sup>	0.0446
FEIIOH <sup>+</sup>	0.0001	NASO <sub>4</sub> <sup>-</sup>	8.6319
H <sup>+</sup>	0.0002	SO <sub>4</sub> <sup>-2</sup>	36.8761
K <sup>+</sup>	242.0882		
MGHCO <sub>3</sub> <sup>+</sup>	2.5456		
MG <sup>+2</sup>	27.8833		
MGOH <sup>+</sup>	0.0025		
NA <sup>+</sup>	7171.6722		
BACL <sup>+</sup>	0.2926		
SR <sup>+2</sup>	1.1070		
<b>Neutrals</b>	<b>mg/l</b>		
CO <sub>2</sub>	28.6953		
BASO <sub>4</sub>	0.0055		
BACO <sub>3</sub>	0.0003		
FEIICO <sub>3</sub>	0.0006		
CACO <sub>3</sub>	0.5761		

KCL	1.2056
MGCO3	0.0404
MGSO4	0.3987
NAHCO3	17.9775
CASO4	0.9977
SRSO4	0.0064

**Brine Totals:**

Cations	mg/l	meq/l
Na+1	7178.2712	312.2349
K+1	242.9174	6.2130
Ca+2	235.0458	11.7294
Mg+2	28.7021	2.3618
Sr+2	1.1101	0.0253
Ba+2	1.1601	0.0169
Fe+2	0.0100	0.0004

Anions / Neutrals	mg/l	meq/l
Cl-1	11634.7541	328.1740
SO4-2	45.3532	0.9442
HCO3-1	250.3390	4.1028

\*\*NOTE: Bicarbonate concentration does not represent alkalinity.

**Scaling Tendencies and Solids - Point 1**

Scale Mineral	Maximum Scale mg/L	lb/bbl	Scale Tendency(*) / Scale Index(**)	
			pre-scale	pre-scale
NACL	0.0	0.0000	0.0014	-2.8539
CACO3	444.5	0.1558	361.5271	2.5581
CASO4.2H2O	0.0	0.0000	0.0064	-2.1938
CASO4	0.0	0.0000	0.0084	-2.0757
SRSO4	0.0	0.0000	0.0013	-2.8861
BASO4	0.0	0.0000	0.5134	-0.2895
FEIICO3	0.0	0.0000	0.0555	-1.2557
MGOH2	0.0	0.0000	0.7908	-0.1019
SRCO3	0.0	0.0000	2.8242	0.4509
BACO3	0.0	0.0000	0.0206	-1.6861
FEIIOH2	0.0	0.0000	0.0082	-2.0862

**Alkalinity - Point 1**

Brine Alkalinity not calculated.

**Output Brine, Gas and Oil - Point 2**

Temperature:	159.4	deg F
Pressure:	305	psia
pH:	6.64	
Ionic Strength:	0.3470	
Brine Density:	0.99	g/cc
Elec Conductivity:	0.6438E-01	1/ohm-cm
Water Activity:	0.9887E+00	

**Equilibrium Brine Composition**

Brine Flow:		bbl/day	
Cations	mg/l	Anions	mg/l
BAHCO3+	0.0371	OH-	0.0173
BA+2	0.8794	CL-	11569.7822
CACL+	0.0210	CO3-2	0.2661
CAHCO3+	6.5904	HCO3-	177.0535
CA+2	224.9482	HSO4-	0.0010

CAOH+	0.0033	KSO4-	0.7666
FEII+2	0.0096	NACO3-	0.0310
FEIIOH+	0.0001	NASO4-	5.7659
H+	0.0003	SO4-2	38.7190
K+	240.5800		
MGHCO3+	2.2262		
MG+2	27.8109		
MGOH+	0.0038		
NA+	7134.1117		
BACL+	0.3084		
SR+2	1.1015		
<b>Neutrals</b>			
CO2	34.6434	mg/l	
BASO4	0.0056		
BACO3	0.0003		
FEIICO3	0.0005		
CACO3	0.5508		
KCL	1.4783		
MGCO3	0.0385		
MGSO4	0.4226		
NAHCO3	12.5364		
CASO4	1.1956		
SRSO4	0.0051		
<b>Brine Totals:</b>			
<b>Cations</b>			
Na+1	7138.6645	mg/l	meq/l
K+1	241.5771		6.1787
Ca+2	228.1469		11.3851
Mg+2	28.5437		2.3488
Sr+2	1.1040		0.0252
Ba+2	1.1537		0.0168
Fe+2	0.0099		0.0004
<b>Anions / Neutrals</b>			
Cl-1	11570.5583	mg/l	meq/l
SO4-2	45.1030		0.9390
HCO3-1	240.4288		3.9403

\*\*NOTE: Bicarbonate concentration does not represent alkalinity.

### Scaling Tendencies and Solids - Point 2

Scale Mineral	Maximum Scale		Scale Tendency(*) / Scale Index(**)	
	mg/L	lb/bbl	pre-scale	pre-scale
NACL	0.0	0.0000	0.0014	-2.8539
CACO3	456.0	0.1598	386.6426	2.5873
CASO4.2H2O	0.0	0.0000	0.0064	-2.1938
CASO4	0.0	0.0000	0.0101	-1.9957
SRSO4	0.0	0.0000	0.0013	-2.8861
BASO4	0.0	0.0000	0.3940	-0.4045
FEIICO3	0.0	0.0000	0.0634	-1.1979
MGOH2	0.0	0.0000	1.6101	0.2069
SRCO3	0.0	0.0000	2.5955	0.4142
BACO3	0.0	0.0000	0.0196	-1.7077
FEIIOH2	0.0	0.0000	0.0136	-1.8665

### Alkalinity - Point 2

Brine Alkalinity not calculated.

### Output Brine, Gas and Oil - Point 3

Temperature:	178.9	deg F
Pressure:	420	psia

pH:	6.56
Ionic Strength:	0.3466
Brine Density:	0.99
Elec Conductivity:	0.7203E-01
Water Activity:	0.9888E+00

### Equilibrium Brine Composition

Brine Flow: 2630.5 bbl/day

Cations	mg/l	Anions	mg/l
BAHCO3+	0.0452	OH-	0.0237
BA+2	0.8556	CL-	11498.2678
CACL+	0.0442	CO3-2	0.2165
CAHCO3+	6.4998	HCO3-	160.8594
CA+2	217.5317	HSO4-	0.0016
CAOH+	0.0052	KSO4-	0.8549
FEII+2	0.0095	NACO3-	0.0217
FEIIOH+	0.0002	NASO4-	3.5505
H+	0.0004	SO4-2	40.0020
K+	238.8976		
MGHCO3+	1.9279		
MG+2	27.7205		
MGOH+	0.0058		
NA+	7091.5728		
BACL+	0.3225		
SR+2	1.0956		
Neutrals	mg/l		
CO2	40.9535		
BASO4	0.0055		
BACO3	0.0002		
FEIICO3	0.0004		
CACO3	0.5176		
KCL	1.7971		
MGCO3	0.0359		
MGSO4	0.4170		
NAHCO3	8.6967		
CASO4	1.4342		
SRSO4	0.0033		

### Brine Totals:

Cations	mg/l	meq/l
Na+1	7094.6444	308.5974
K+1	240.0874	6.1406
Ca+2	220.7650	11.0168
Mg+2	28.3677	2.3343
Sr+2	1.0971	0.0250
Ba+2	1.1466	0.0167
Fe+2	0.0099	0.0004
Anions / Neutrals	mg/l	meq/l
Cl-1	11499.2093	324.3508
SO4-2	44.8249	0.9332
HCO3-1	229.8495	3.7670

\*\*NOTE: Bicarbonate concentration does not represent alkalinity.

### Scaling Tendencies and Solids - Point 3

Scale Mineral	Maximum Scale mg/L	lb/bbl	Scale Tendency(*) / Scale Index(**)	
			pre-scale	pre-scale
NACL	0.0	0.0000	0.0013	-2.8861
CACO3	468.1	0.1641	425.5694	2.6290
CASO4.2H2O	0.0	0.0000	0.0069	-2.1612
CASO4	0.0	0.0000	0.0132	-1.8794
SRSO4	0.0	0.0000	0.0014	-2.8539

BASO4	0.0	0.0000	0.3297	-0.4819
FEIICO3	0.0	0.0000	0.0703	-1.1530
MGOH2	0.0	0.0000	3.1339	0.4961
SRCO3	0.0	0.0000	2.5181	0.4011
BACO3	0.0	0.0000	0.0192	-1.7167
FEIOOH2	0.0	0.0000	0.0208	-1.6819

### Alkalinity - Point 3

Brine Alkalinity not calculated.

### Output Brine, Gas and Oil - Point 4

Temperature:	198.3	deg F
Pressure:	535	psia
pH:	6.48	
Ionic Strength:	0.3462	
Brine Density:	0.98	g/cc
Elec Conductivity:	0.7962E-01	1/ohm-cm
Water Activity:	0.9888E+00	

### Equilibrium Brine Composition

Brine Flow:	2648.5	bbl/day	
<b>Cations</b>	<b>mg/l</b>	<b>Anions</b>	<b>mg/l</b>
BAHCO3+	0.0540	OH-	0.0317
BA+2	0.8317	CL-	11419.9295
CACL+	0.0886	CO3-2	0.1739
CAHCO3+	6.3715	HCO3-	143.3843
CA+2	209.8668	HSO4-	0.0027
CAOH+	0.0081	KSO4-	0.9428
FEII+2	0.0094	NACO3-	0.0153
FEIOOH+	0.0003	NASO4-	2.0110
H+	0.0004	SO4-2	40.7033
K+	237.0465		
MGHCO3+	1.6496		
MG+2	27.6125		
MGOH+	0.0086		
NA+	7044.4006		
BACL+	0.3351		
SR+2	1.0888		
<b>Neutrals</b>	<b>mg/l</b>		
CO2	47.3711		
BASO4	0.0053		
BACO3	0.0002		
FEIICO3	0.0004		
CACO3	0.4793		
KCL	2.1675		
MGCO3	0.0327		
MGSO4	0.3861		
NAHCO3	6.0006		
CASO4	1.7154		
SRSO4	0.0018		

### Brine Totals:

Cations	mg/l	meq/l
Na+1	7046.4353	306.5004
K+1	238.4560	6.0989
Ca+2	213.1423	10.6364
Mg+2	28.1749	2.3184
Sr+2	1.0897	0.0249
Ba+2	1.1388	0.0166
Fe+2	0.0098	0.0004

Anions / Neutrals	mg/l	meq/l
Cl-1	11421.0706	322.1468
SO4-2	44.5203	0.9269
HCO3-1	218.9661	3.5886

\*\*NOTE: Bicarbonate concentration does not represent alkalinity.

#### Scaling Tendencies and Solids - Point 4

Scale Mineral	Maximum Scale mg/L	Ib/bbl	Scale Tendency(*) / Scale Index(**) pre-scale	pre-scale
NACL	0.0	0.0000	0.0013	-2.8861
CACO3	480.2	0.1683	469.9372	2.6720
CASO4.2H2O	0.0	0.0000	0.0074	-2.1308
CASO4	0.0	0.0000	0.0174	-1.7595
SRSO4	0.0	0.0000	0.0015	-2.8239
BASO4	0.0	0.0000	0.2825	-0.5490
FEIICO3	0.0	0.0000	0.0753	-1.1232
MGOH2	0.0	0.0000	5.7814	0.7620
SRCO3	0.0	0.0000	2.4743	0.3935
BACO3	0.0	0.0000	0.0189	-1.7235
FEIIOH2	0.0	0.0000	0.0298	-1.5258

#### Alkalinity - Point 4

Brine Alkalinity not calculated.

#### Output Brine, Gas and Oil - Point 5

Temperature:	217.8	deg F
Pressure:	650	psia
pH:	6.42	
Ionic Strength:	0.3457	
Brine Density:	0.97	g/cc
Elec Conductivity:	0.8709E-01	1/ohm-cm
Water Activity:	0.9889E+00	

#### Equilibrium Brine Composition

Brine Flow:	2668.2	bbl/day
-------------	--------	---------

Cations	mg/l	Anions	mg/l
BAHCO3+	0.0634	OH-	0.0417
BA+2	0.8077	CL-	11335.1334
CACL+	0.1699	CO3-2	0.1382
CAHCO3+	6.2050	HCO3-	125.6019
CA+2	202.1911	HSO4-	0.0042
CAOH+	0.0123	KSO4-	1.0291
FEII+2	0.0093	NACO3-	0.0108
FEIIOH+	0.0003	NASO4-	1.0475
H+	0.0005	SO4-2	40.8967
K+	235.0319		
MGHCO3+	1.3926		
MG+2	27.4855		
MGOH+	0.0127		
NA+	6992.9369		
BACL+	0.3467		
SR+2	1.0812		

Neutrals	mg/l
CO2	53.6349
BASO4	0.0051
BACO3	0.0002
FEIICO3	0.0003
CACO3	0.4385
KCL	2.5952
MGCO3	0.0290

MGSO4	0.3380
NAHCO3	4.1188
CASO4	2.0422
SRSO4	0.0007

**Brine Totals:**

<b>Cations</b>	<b>mg/l</b>	<b>meq/l</b>
Na+1	6994.2693	304.2313
K+1	236.6907	6.0537
Ca+2	205.5266	10.2563
Mg+2	27.9663	2.3013
Sr+2	1.0816	0.0247
Ba+2	1.1303	0.0165
Fe+2	0.0097	0.0003

<b>Anions / Neutrals</b>	<b>mg/l</b>	<b>meq/l</b>
Cl-1	11336.5184	319.7619
SO4-2	44.1907	0.9200
HCO3-1	208.1529	3.4114

\*\*NOTE: Bicarbonate concentration does not represent alkalinity.

**Scaling Tendencies and Solids - Point 5**

<b>Scale Mineral</b>	<b>Maximum Scale</b> <b>mg/L</b>	<b>lb/bbl</b>	<b>Scale Tendency(*) / Scale Index(**)</b>	
			<b>pre-scale</b>	<b>pre-scale</b>
NACL	0.0	0.0000	0.0013	-2.8861
CACO3	491.8	0.1724	519.7730	2.7158
CASO4.2H2O	0.0	0.0000	0.0078	-2.1079
CASO4	0.0	0.0000	0.0231	-1.6364
SRSO4	0.0	0.0000	0.0015	-2.8239
BASO4	0.0	0.0000	0.2471	-0.6071
FEIICO3	0.0	0.0000	0.0779	-1.1085
MGOH2	0.0	0.0000	10.1361	1.0059
SRCO3	0.0	0.0000	2.4551	0.3901
BACO3	0.0	0.0000	0.0187	-1.7282
FEIIOH2	0.0	0.0000	0.0396	-1.4023

**Alkalinity - Point 5**

Brine Alkalinity not calculated.

**Output Brine, Gas and Oil - Point 6**

Temperature:	237.2	deg F
Pressure:	765	psia
pH:	6.36	
Ionic Strength:	0.3453	
Brine Density:	0.96	g/cc
Elec Conductivity:	0.9437E-01	1/ohm-cm
Water Activity:	0.9890E+00	

**Equilibrium Brine Composition**

Brine Flow:	2689.7	bbl/day
<b>Cations</b>	<b>mg/l</b>	<b>Anions</b>
BAHCO3+	0.0731	OH-
BA+2	0.7836	CL-
CACL+	0.3129	CO3-2
CAHCO3+	6.0044	HCO3-
CA+2	194.7073	HSO4-
CAOH+	0.0181	KSO4-
FEII+2	0.0092	NACO3-
FEIIOH+	0.0004	NASO4-
H+	0.0006	SO4-2
K+	232.8588	
MGHCO3+	1.1588	

MG+2	27.3378
MGOH+	0.0185
NA+	6937.5143
BACL+	0.3575
SR+2	1.0728

<b>Neutrals</b>	<b>mg/l</b>
CO2	59.5156
BASO4	0.0048
BACO3	0.0002
FEIICO3	0.0002
CACO3	0.3970
KCL	3.0863
MGCO3	0.0249
MGSO4	0.2822
NAHCO3	2.8141
CASO4	2.4184
SRSO4	0.0002

#### Brine Totals:

<b>Cations</b>	<b>mg/l</b>	<b>meq/l</b>
Na+1	6938.3835	301.8005
K+1	234.7994	6.0054
Ca+2	198.1373	9.8876
Mg+2	27.7429	2.2829
Sr+2	1.0730	0.0245
Ba+2	1.1213	0.0163
Fe+2	0.0097	0.0003

<b>Anions / Neutrals</b>	<b>mg/l</b>	<b>meq/l</b>
Cl-1	11245.9370	317.2069
SO4-2	43.8376	0.9127
HCO3-1	197.7400	3.2407

\*\*NOTE: Bicarbonate concentration does not represent alkalinity.

#### Scaling Tendencies and Solids - Point 6

<b>Scale Mineral</b>	<b>Maximum Scale mg/L</b>	<b>Ib/bbl</b>	<b>Scale Tendency(*) / Scale Index(**)</b>	
			<b>pre-scale</b>	<b>pre-scale</b>
NACL	0.0	0.0000	0.0012	-2.9208
CACO3	502.2	0.1760	575.1390	2.7598
CASO4.2H2O	0.0	0.0000	0.0082	-2.0862
CASO4	0.0	0.0000	0.0308	-1.5114
SRSO4	0.0	0.0000	0.0016	-2.7959
BASO4	0.0	0.0000	0.2200	-0.6576
FEIICO3	0.0	0.0000	0.0774	-1.1113
MGOH2	0.0	0.0000	16.9544	1.2293
SRCO3	0.0	0.0000	2.4548	0.3900
BACO3	0.0	0.0000	0.0186	-1.7305
FEIIOH2	0.0	0.0000	0.0491	-1.3089

#### Alkalinity - Point 6

Brine Alkalinity not calculated.

#### Definitions

- \* Scale Tendency (ST):
  - ST < 1 ==> Brine is undersaturated.
  - ST > 1 ==> Brine is supersaturated.
  - ST = 1 ==> Brine is at equilibrium.
  - post-scale ==> Scale Tendency after solids precipitation
  - pre-scale ==> Scale Tendency before solids precipitation

\* Solids with a Scale Tendency < 1.0E-05 are not reported here.

\*\* Scale Index = Log10(Scale Tendency)

## C.2. SUMUR L5A-YYY

### Brine Analysis Data

brine167	03/15/11
Well	L5A-YYY
Type of Water	Modified Water

### *Original Brine Analysis*

	Conc, mg/L
<b>Cations</b>	
Na+1	6685.00
K+1	120.20
Ca+2	109.90
Mg+2	27.10
Sr+2	94.83
Ba+2	23.60
Fe+2	0.31
<b>Anions</b>	
Cl-1	9907.50
SO4-2	3.30
HCO3-1	1521.77
<b>Properties</b>	
Total Dissolved Solids, mg/L	18494.00
Measured Density, g/cc	1.01

### *ElectroNeutrality Balance*

8.65 mg/L of Na+1 added to balance charge

### *Reconciliations*

Reconciliation Type - pH and Alkalinity.

Variables	Measured	Calculated	Units
Temperature	140.00	9.20	deg F
Pressure	50.00	1524.34	psia
pH	9.20	-18.48	as HCO3-, mg/L
Alkalinity	1521.77	-294.90	mg/L
HCl added		1.00	mg/L
CO2 added		0.05	g/cc
Density	1.01		1/ohm-cm
Electrical Conductivity			

### Report

scaletend167	03/16/11
--------------	----------

### **Output Brine, Gas and Oil - Point 1**

Temperature:	140	deg F
Pressure:	95	psia
pH:	9.08	
Ionic Strength:	0.3100	
Brine Density:	1	g/cc
Elec Conductivity:	0.5075E-01	1/ohm-cm
Water Activity:	0.9901E+00	

### **Equilibrium Brine Composition**

Brine Flow:	2599	bbl/day	
<b>Cations</b>	<b>mg/l</b>	<b>Anions</b>	<b>mg/l</b>
BAHCO3+	1.8087	OH-	2.6627

BA+2	16.1514	CL-	9892.0755
BAOH+	0.0011	CO3-2	221.5650
CAHCO3+	0.0301	FEIICO32-2	0.0589
CA+2	0.3070	HCO3-	636.2230
CAOH+	0.0006	KSO4-	0.0252
FEII+2	0.0055	NACO3-	29.8060
FEIIOH+	0.0134	NASO4-	0.6770
K+	119.9656	SO4-2	2.6954
MGHCO3+	5.8752		
MG+2	19.2701		
MGOH+	0.3706		
NA+	6672.2606		
BACL+	4.7793		
SR+2	94.7935		
SROH+	0.0627		

**Neutrals**

	mg/l
CO2	0.4473
BASO4	0.0072
BACO3	3.4507
FEIICO3	0.2687
FEO	0.0012
CACO3	0.5735
KCL	0.5204
MGCO3	20.6208
MGSO4	0.0209
NAHCO3	56.8743
CASO4	0.0001
SRSO4	0.0421

**Brine Totals:**

Cations	mg/l	meq/l
Na+1	6696.2119	291.2667
K+1	120.2458	3.0755
Ca+2	0.5491	0.0274
Mg+2	27.1103	2.2308
Sr+2	94.8661	2.1654
Ba+2	23.6090	0.3438
Fe+2	0.1649	0.0059

Anions / Neutrals	mg/l	meq/l
Cl-1	9893.3036	279.0541
SO4-2	3.3013	0.0687
HCO3-1	673.3979	11.0362
CO3-2	268.7378	8.9565

\*\*NOTE: Bicarbonate concentration does not represent alkalinity.

**Scaling Tendencies and Solids - Point 1**

Scale Mineral	Maximum Scale mg/L	Ib/bbl	Scale Tendency(*) / Scale Index(**) pre-scale	pre-scale
NACL	0.0	0.0000	0.0011	-2.9586
CACO3	273.2	0.0958	237.9236	2.3764
CASO4.2H2O	0.0	0.0000	0.81E-04	-4.0915
CASO4	0.0	0.0000	0.0001	-4.0000
SRSO4	0.0	0.0000	0.0091	-2.0410
BASO4	0.0	0.0000	0.7234	-0.1406
FEIICO3	0.3	0.0001	1.8111	0.2579
MGOH2	0.0	0.0000	1.5249	0.1832
SRCO3	0.0	0.0000	994.1738	2.9975
BACO3	0.0	0.0000	1.5070	0.1781
FEIIOH2	0.0	0.0000	0.1827	-0.7383

**Alkalinity - Point 1**

Brine Alkalinity not calculated.

### Output Brine, Gas and Oil - Point 2

Temperature:	156.6	deg F
Pressure:	159.52	psia
pH:	9.03	
Ionic Strength:	0.3101	
Brine Density:	0.99	g/cc
Elec Conductivity:	0.5663E-01	1/ohm-cm
Water Activity:	0.9901E+00	

### Equilibrium Brine Composition

Brine Flow: 2611.5 bbl/day

Cations	mg/l	Anions	mg/l
BAHCO3+	2.2844	OH-	3.8033
BA+2	15.3329	CL-	9844.8846
BAOH+	0.0019	CO3-2	217.9175
CAHCO3+	0.0278	FEIICO32-2	0.0533
CA+2	0.2568	HCO3-	645.7936
CAOH+	0.0008	KSO4-	0.0282
FEII+2	0.0045	NACO3-	25.2796
FEIIOH+	0.0155	NASO4-	0.5124
K+	119.3401	SO4-2	2.8135
MGHCO3+	5.4990		
MG+2	18.6365		
MGOH+	0.5597		
NA+	6644.8499		
BACL+	4.9027		
SR+2	94.3098		
SROH+	0.1050		
Neutrals	mg/l		
CO2	0.5293		
BASO4	0.0071		
BACO3	3.8502		
FEIICO3	0.2220		
FEO	0.0021		
CACO3	0.5504		
KCL	0.6194		
MGCO3	22.3564		
MGSO4	0.0217		
NAHCO3	45.1976		
CASO4	0.0001		
SRSO4	0.0349		

### Brine Totals:

Cations	mg/l	meq/l
Na+1	6664.3201	289.8795
K+1	119.6731	3.0608
Ca+2	0.4888	0.0244
Mg+2	26.9812	2.2202
Sr+2	94.4143	2.1551
Ba+2	23.4966	0.3422
Fe+2	0.1421	0.0051
Anions / Neutrals	mg/l	meq/l
Cl-1	9846.1852	277.7250
SO4-2	3.2855	0.0684
HCO3-1	670.1908	10.9836
CO3-2	267.3479	8.9102

\*\*NOTE: Bicarbonate concentration does not represent alkalinity.

### Scaling Tendencies and Solids - Point 2

Scale Mineral	Maximum Scale mg/L	Ib/bbl	Scale Tendency(*) / Scale Index(**) pre-scale	pre-scale
NACL	0.0	0.0000	0.0011	-2.9586
CACO3	272.0	0.0954	254.7086	2.4060
CASO4.2H2O	0.0	0.0000	0.81E-04	-4.0915
CASO4	0.0	0.0000	0.0001	-4.0000
SRSO4	0.0	0.0000	0.0091	-2.0410
BASO4	0.0	0.0000	0.5734	-0.2415
FEIICO3	0.3	0.0001	2.1038	0.3230
MGOH2	0.0	0.0000	2.9727	0.4732
SRCO3	0.0	0.0000	946.6379	2.9762
BACO3	0.0	0.0000	1.4600	0.1644
FEIIOH2	0.0	0.0000	0.3044	-0.5166

### Alkalinity - Point 2

Brine Alkalinity not calculated.

### Output Brine, Gas and Oil - Point 3

Temperature:	173.1	deg F
Pressure:	224.04	psia
pH:	8.98	
Ionic Strength:	0.3100	
Brine Density:	0.99	g/cc
Elec Conductivity:	0.6262E-01	1/ohm-cm
Water Activity:	0.9901E+00	

### Equilibrium Brine Composition

Brine Flow: 2625.2 bbl/day

Cations	mg/l	Anions	mg/l
BAHCO3+	2.8719	OH-	5.2821
BA+2	14.4757	CL-	9793.1656
BAOH+	0.0032	CO3-2	212.3856
CAHCO3+	0.0258	FEIICO32-2	0.0485
CA+2	0.2137	HCO3-	654.2836
CAOH+	0.0011	HFEO2-	0.0001
FEII+2	0.0038	KSO4-	0.0318
FEIIOH+	0.0176	NACO3-	21.6091
K+	118.6519	NASO4-	0.3727
MGHCO3+	5.1706	SO4-2	2.9115
MG+2	17.9864		
MGOH+	0.8249		
NA+	6613.3806		
BACL+	4.9718		
SR+2	93.7639		
SROH+	0.1707		
Neutrals	mg/l		
CO2	0.6319		
BASO4	0.0068		
BACO3	4.2400		
FEIICO3	0.1834		
FEO	0.0038		
CACO3	0.5216		
KCL	0.7327		
MGCO3	23.9041		
MGSO4	0.0215		
NAHCO3	36.2572		
CASO4	0.0001		
SRSO4	0.0256		

**Brine Totals:**

<b>Cations</b>	<b>mg/l</b>	<b>meq/l</b>
Na+1	6629.3605	288.3588
K+1	119.0453	3.0448
Ca+2	0.4337	0.0216
Mg+2	26.8397	2.2086
Sr+2	93.9190	2.1438
Ba+2	23.3733	0.3404
Fe+2	0.1241	0.0044
<b>Anions / Neutrals</b>	<b>mg/l</b>	<b>meq/l</b>
Cl-1	9794.5342	276.2681
SO4-2	3.2683	0.0680
HCO3-1	666.6751	10.9260
CO3-2	265.8481	8.8602

\*\*NOTE: Bicarbonate concentration does not represent alkalinity.

**Scaling Tendencies and Solids - Point 3**

<b>Scale Mineral</b>	<b>Maximum Scale mg/L</b>	<b>lb/bbl</b>	<b>Scale Tendency(*) / Scale Index(**) pre-scale</b>	<b>pre-scale</b>
NACL	0.0	0.0000	0.0011	-2.9586
CACO3	270.7	0.0949	281.8559	2.4500
CASO4.2H2O	0.0	0.0000	0.84E-04	-4.0757
CASO4	0.0	0.0000	0.0002	-3.6990
SRSO4	0.0	0.0000	0.0098	-2.0088
BASO4	0.0	0.0000	0.4919	-0.3081
FEIICO3	0.4	0.0001	2.3889	0.3782
MGOH2	0.0	0.0000	5.9289	0.7730
SRCO3	0.0	0.0000	982.0007	2.9921
BACO3	0.0	0.0000	1.4998	0.1760
FEIIOH2	0.0	0.0000	0.4911	-0.3088

**Alkalinity - Point 3**

Brine Alkalinity not calculated.

**Output Brine, Gas and Oil - Point 4**

Temperature:	189.7	deg F
Pressure:	288.56	psia
pH:	8.93	
Ionic Strength:	0.3100	
Brine Density:	0.98	g/cc
Elec Conductivity:	0.6855E-01	1/ohm-cm
Water Activity:	0.9902E+00	

**Equilibrium Brine Composition**

Brine Flow: 2640.3 bbl/day

<b>Cations</b>	<b>mg/l</b>	<b>Anions</b>	<b>mg/l</b>
BAHCO3+	3.5909	OH-	7.1337
BA+2	13.5802	CL-	9737.0985
BAOH+	0.0052	CO3-2	205.0845
CAHCO3+	0.0242	FEIICO32-2	0.0443
CA+2	0.1774	HCO3-	662.3456
CAOH+	0.0015	HFEO2-	0.0003
FEII+2	0.0031	KSO4-	0.0359
FEIIOH+	0.0197	NACO3-	18.5722
K+	117.9023	NASO4-	0.2600
MGHCO3+	4.8849	SO4-2	2.9866
MG+2	17.3466		
MGOH+	1.1868		

NA+	6578.2258
BACL+	4.9862
SR+2	93.1487
SROH+	0.2693

<b>Neutrals</b>	<b>mg/l</b>
CO2	0.7624
BASO4	0.0065
BACO3	4.6007
FEIICO3	0.1514
FEO	0.0064
CACO3	0.4889
KCL	0.8618
MGCO3	25.1353
MGSO4	0.0206
NAHCO3	29.3608
CASO4	0.0001
SRSO4	0.0163

#### Brine Totals:

<b>Cations</b>	<b>mg/l</b>	<b>meq/l</b>
Na+1	6591.4554	286.7100
K+1	118.3647	3.0274
Ca+2	0.3839	0.0192
Mg+2	26.6862	2.1959
Sr+2	93.3820	2.1315
Ba+2	23.2397	0.3384
Fe+2	0.1104	0.0040

<b>Anions / Neutrals</b>	<b>mg/l</b>	<b>meq/l</b>
Cl-1	9738.5314	274.6885
SO4-2	3.2496	0.0677
HCO3-1	662.8632	10.8635
CO3-2	264.2433	8.8067

\*\*NOTE: Bicarbonate concentration does not represent alkalinity.

#### Scaling Tendencies and Solids - Point 4

<b>Scale Mineral</b>	<b>Maximum Scale</b> <b>mg/L</b>	<b>Ib/bbl</b>	<b>Scale Tendency(*) / Scale Index(**)</b> <b>pre-scale</b>	<b>pre-scale</b>
NACL	0.0	0.0000	0.0011	-2.9586
CACO3	269.3	0.0944	312.9323	2.4955
CASO4.2H2O	0.0	0.0000	0.88E-04	-4.0555
CASO4	0.0	0.0000	0.0002	-3.6990
SRSO4	0.0	0.0000	0.0106	-1.9747
BASO4	0.0	0.0000	0.4329	-0.3636
FEIICO3	0.4	0.0001	2.6567	0.4243
MGOH2	0.0	0.0000	11.3665	1.0556
SRCO3	0.0	0.0000	1026.8277	3.0115
BACO3	0.0	0.0000	1.5464	0.1893
FEIIOH2	0.0	0.0000	0.7539	-0.1227

#### Alkalinity - Point 4

Brine Alkalinity not calculated.

#### Output Brine, Gas and Oil - Point 5

Temperature:	206.2	deg F
Pressure:	353.08	psia
pH:	8.89	
Ionic Strength:	0.3099	
Brine Density:	0.97	g/cc
Elec Conductivity:	0.7443E-01	1/ohm-cm
Water Activity:	0.9902E+00	

### Equilibrium Brine Composition

Brine Flow:	2656.7	bbl/day	
<b>Cations</b>	<b>mg/l</b>	<b>Anions</b>	<b>mg/l</b>
BAHCO3+	4.4603	OH-	9.3705
BA+2	12.6488	CL-	9676.8702
BAOH+	0.0081	CO3-2	196.1553
CAHCO3+	0.0229	FEIICO32-2	0.0406
CA+2	0.1472	HCO3-	670.4202
CAOH+	0.0019	HFEO2-	0.0006
FEII+2	0.0026	KSO4-	0.0406
FEIOH+	0.0216	NACO3-	16.0127
K+	117.0929	NASO4-	0.1738
MGHCO3+	4.6374	SO4-2	3.0380
MG+2	16.7414		
MGOH+	1.6675		
NA+	6539.6962		
BACL+	4.9461		
SR+2	92.4556		
SROH+	0.4123		
<b>Neutrals</b>	<b>mg/l</b>		
CO2	0.9307		
BASO4	0.0062		
BACO3	4.9102		
FEIICO3	0.1250		
FEO	0.0104		
CACO3	0.4540		
KCL	1.0082		
MGCO3	25.9275		
MGSO4	0.0191		
NAHCO3	23.9956		
CASO4	0.0001		
SRSO4	0.0089		
<b>Brine Totals:</b>			
<b>Cations</b>	<b>mg/l</b>	<b>meq/l</b>	
Na+1	6550.7319	284.9387	
K+1	117.6334	3.0087	
Ca+2	0.3395	0.0169	
Mg+2	26.5213	2.1824	
Sr+2	92.8051	2.1184	
Ba+2	23.0961	0.3364	
Fe+2	0.1008	0.0036	
<b>Anions / Neutrals</b>	<b>mg/l</b>	<b>meq/l</b>	
Cl-1	9678.3646	272.9914	
SO4-2	3.2295	0.0672	
HCO3-1	658.7679	10.7964	
CO3-2	262.5382	8.7499	

\*\*NOTE: Bicarbonate concentration does not represent alkalinity.

### Scaling Tendencies and Solids - Point 5

Scale Mineral	Maximum Scale mg/L	Ib/bbl	Scale Tendency(*) / Scale Index(**) pre-scale	pre-scale
NACL	0.0	0.0000	0.0010	-3.0000
CACO3	267.7	0.0939	348.1648	2.5418
CASO4.2H2O	0.0	0.0000	0.93E-04	-4.0315
CASO4	0.0	0.0000	0.0002	-3.6990
SRSO4	0.0	0.0000	0.0114	-1.9431
BASO4	0.0	0.0000	0.3895	-0.4095
FEIICO3	0.4	0.0001	2.8731	0.4584
MGOH2	0.0	0.0000	20.9462	1.3211

SRCO3	0.0	0.0000	1079.1600	3.0331
BACO3	0.0	0.0000	1.5944	0.2026
FEIIOH2	0.0	0.0000	1.0931	0.0387

### Alkalinity - Point 5

Brine Alkalinity not calculated.

### Output Brine, Gas and Oil - Point 6

Temperature:	222.8	deg F
Pressure:	417.6	psia
pH:	8.84	
Ionic Strength:	0.3097	
Brine Density:	0.97	g/cc
Elec Conductivity:	0.8023E-01	1/ohm-cm
Water Activity:	0.9902E+00	

### Equilibrium Brine Composition

Brine Flow:	2674.5	bbl/day	
<b>Cations</b>	<b>mg/l</b>	<b>Anions</b>	<b>mg/l</b>
BAHCO3+	5.4956	OH-	11.9773
BA+2	11.6858	CL-	9612.6730
BAOH+	0.0120	CO3-2	185.7927
CACL+	0.0001	FEIICO32-2	0.0373
CAHCO3+	0.0218	HCO3-	678.7444
CA+2	0.1224	HFEO2-	0.0012
CAOH+	0.0024	KSO4-	0.0459
FEII+2	0.0021	NACO3-	13.8220
FEIIOH+	0.0234	NASO4-	0.1112
K+	116.2249	SO4-2	3.0674
MGHCO3+	4.4228		
MG+2	16.1891		
MGOH+	2.2894		
NA+	6498.0573		
BACL+	4.8531		
SR+2	91.6755		
SROH+	0.6122		

<b>Neutrals</b>	<b>mg/l</b>
CO2	1.1501
BASO4	0.0058
BACO3	5.1455
FEIICO3	0.1033
FEO	0.0162
CACO3	0.4181
KCL	1.1738
MGCO3	26.1781
MGSO4	0.0172
NAHCO3	19.7817
CASO4	0.0001
SRSO4	0.0041

<b>Brine Totals:</b>		
<b>Cations</b>	<b>mg/l</b>	<b>meq/l</b>
Na+1	6507.3209	283.0504
K+1	116.8538	2.9887
Ca+2	0.3002	0.0150
Mg+2	26.3456	2.1679
Sr+2	92.1901	2.1043
Ba+2	22.9430	0.3341
Fe+2	0.0951	0.0034
<b>Anions / Neutrals</b>	<b>mg/l</b>	<b>meq/l</b>
Cl-1	9614.2271	271.1823

SO4-2	3.2081	0.0668
HCO3-1	654.4023	10.7249
CO3-2	260.7376	8.6899

\*\*NOTE: Bicarbonate concentration does not represent alkalinity.

### Scaling Tendencies and Solids - Point 6

Scale Mineral	Maximum Scale mg/L	Maximum Scale lb/bbl	Scale Tendency(*) / Scale Index(**) pre-scale	Scale Tendency(*) / Scale Index(**) pre-scale
NACL	0.0	0.0000	0.0010	-3.0000
CACO3	266.1	0.0933	387.7799	2.5886
CASO4.2H2O	0.0	0.0000	0.99E-04	-4.0044
CASO4	0.0	0.0000	0.0003	-3.5229
SRSO4	0.0	0.0000	0.0124	-1.9066
BASO4	0.0	0.0000	0.3574	-0.4468
FEIICO3	0.4	0.0001	2.9987	0.4769
MGOH2	0.0	0.0000	37.1226	1.5696
SRCO3	0.0	0.0000	1136.9250	3.0557
BACO3	0.0	0.0000	1.6383	0.2144
FEIIOH2	0.0	0.0000	1.4861	0.1720

### Alkalinity - Point 6

Brine Alkalinity not calculated.

### Definitions

- \* Scale Tendency (ST):
  - ST < 1 ==> Brine is undersaturated.
  - ST > 1 ==> Brine is supersaturated.
  - ST = 1 ==> Brine is at equilibrium.
  - post-scale ==> Scale Tendency after solids precipitation
  - pre-scale ==> Scale Tendency before solids precipitation

\* Solids with a Scale Tendency < 1.0E-05 are not reported here.

\*\* Scale Index = Log10(Scale Tendency)

### C.3. SUMUR L5A-ZZZ

#### Brine Analysis Data

brine187	03/15/11
Well	L5A-ZZZ
Type of Water	Modified Water

#### Original Brine Analysis

	Conc, mg/L
<b>Cations</b>	
Na+1	7024.59
K+1	213.00
Ca+2	80.00
Mg+2	72.96
Sr+2	33.90
Ba+2	17.30
Fe+2	0.71
<b>Anions</b>	
Cl-1	9743.15
HCO3-1	2318.00
<b>Properties</b>	
Total Dissolved Solids, mg/L	19504.00
Measured Density, g/cc	1.02

### ***ElectroNeutrality Balance***

327.48 mg/L of Cl-1 added to balance charge

### ***Reconciliations***

Reconciliation Type - pH and Alkalinity.

Variables	Measured	Calculated	Units
Temperature	140.00		deg F
Pressure	150.00		psia
pH	8.18	8.18	
Alkalinity	2318.00	2315.87	as HCO3-, mg/L
HCl added		-36.11	mg/L
CO2 added		-45.93	mg/L
Density	1.02	1.00	g/cc
Electrical Conductivity		0.05	1/ohm-cm

### **Report**

Scal tendency187

03/15/11

### **Input Summary**

#### ***Analyses***

brine187	03/15/11
Well	L5A-ZZZ
Flowrate(bbl/day)	4993.00
Type of Water	Modified Water

#### ***Conditions***

Temperature deg F	Pressure psia	Description
140.00	150.00	surface
158.36	286.12	selected point
176.72	422.24	selected point
195.08	558.36	selected point
213.44	694.48	selected point
231.80	830.60	downhole

### ***Solids Selected as Possible Precipitants***

NaCl (Halite)  
CaCO3 (Calcite)  
FeCO3 (Siderite)

### **Output Summary**

#### ***Selected Plot Variables***

Pressure psia	CACO3 solid, mg/L	FEIICO3 solid, mg/L
290.00	193.10	1.11
398.12	193.47	1.17
506.24	193.46	1.22
614.36	193.13	1.25
722.48	192.51	1.28
830.60	191.62	1.29

### **Output Brine, Gas and Oil - Point 1**

Temperature:	140	deg F
Pressure:	290	psia
pH:	7.76	
Ionic Strength:	0.3260	
Brine Density:	1	g/cc
Elec Conductivity:	0.5270E-01	1/ohm-cm
Water Activity:	0.9887E+00	

### Equilibrium Brine Composition

Brine Flow: 4990.6 bbl/day

Cations	mg/l	Anions	mg/l
BAHCO3+	3.8176	OH-	0.1290
BA+2	11.6718	CL-	10039.6432
CAHCO3+	0.6420	CO3-2	32.5896
CA+2	2.2253	FEIICO32-2	0.0088
CAOH+	0.0002	HCO3-	1892.3755
FEIIHCO3+	0.0001	NACO3-	4.4631
FEII+2	0.0391		
FEIOH+	0.0046		
K+	212.6174		
MGHCO3+	50.0888		
MG+2	56.2681		
MGOH+	0.0516		
NA+	6979.3948		
BACL+	3.4605		
SR+2	33.9157		
SROH+	0.0011		
Neutrals	mg/l		
CO2	27.2682		
BACO3	0.3492		
FEIICO3	0.2720		
CACO3	0.5864		
KCL	0.9283		
MGCO3	8.4258		
NAHCO3	174.0628		

### Brine Totals:

Cations	mg/l	meq/l
Na+1	7028.2662	305.7101
K+1	213.1042	5.4505
Ca+2	2.7148	0.1355
Mg+2	72.9957	6.0066
Sr+2	33.9166	0.7742
Ba+2	17.3085	0.2521
Fe+2	0.1766	0.0063
Anions / Neutrals	mg/l	meq/l
Cl-1	10040.7948	283.2142
HCO3-1	2131.2550	34.9287
CO3-2	5.7700	0.1923

\*\*NOTE: Bicarbonate concentration does not represent alkalinity.

### Scaling Tendencies and Solids - Point 1

Scale Mineral	Maximum Scale mg/L	lb/bbl	Scale Tendency(*) / Scale Index(**)	
			pre-scale	pre-scale
NACL	0.0	0.0000	0.0012	-2.9208
CACO3	193.1	0.0677	70.7891	1.8500
FEIICO3	1.1	0.0004	4.5043	0.6536
MGOH2	0.0	0.0000	0.0397	-1.4012
SRCO3	0.0	0.0000	97.8826	1.9907
BACO3	0.0	0.0000	0.3011	-0.5213

FEIIOH2	0.0	0.0000	0.0143	-1.8447
---------	-----	--------	--------	---------

### Alkalinity - Point 1

Brine Alkalinity not calculated.

### Output Brine, Gas and Oil - Point 2

Temperature:	158.4	deg F
Pressure:	398.12	psia
pH:	7.73	
Ionic Strength:	0.3265	
Brine Density:	0.99	g/cc
Elec Conductivity:	0.5952E-01	1/ohm-cm
Water Activity:	0.9887E+00	

### Equilibrium Brine Composition

Brine Flow:	5016.6	bbl/day	
<b>Cations</b>	<b>mg/l</b>	<b>Anions</b>	<b>mg/l</b>
BAHCO3+	4.8096	OH-	0.2070
BA+2	10.8213	CL-	9987.4324
CACL+	0.0001	CO3-2	34.3335
CAHCO3+	0.5444	FEIICO32-2	0.0084
CA+2	1.7129	HCO3-	1904.7675
CAOH+	0.0003	NACO3-	3.9899
FEIIHC03+	0.0001		
FEII+2	0.0298		
FEIIOH+	0.0055		
K+	211.4075		
MGHCO3+	47.5991		
MG+2	56.0832		
MGOH+	0.0908		
NA+	6954.1027		
BACL+	3.4963		
SR+2	33.7389		
SROH+	0.0020		
<b>Neutrals</b>	<b>mg/l</b>		
CO2	30.0642		
BACO3	0.4144		
FEIICO3	0.2207		
CACO3	0.5620		
KCL	1.1264		
MGCO3	10.1334		
NAHCO3	133.6788		

### Brine Totals:

Cations	mg/l	meq/l
Na+1	6991.7913	304.1236
K+1	211.9983	5.4222
Ca+2	2.1541	0.1075
Mg+2	72.6169	5.9755
Sr+2	33.7406	0.7702
Ba+2	17.2186	0.2508
Fe+2	0.1432	0.0051
<b>Anions / Neutrals</b>	<b>mg/l</b>	<b>meq/l</b>
Cl-1	9988.6856	281.7444
HCO3-1	2120.1944	34.7474
CO3-2	4.8866	0.1629

\*\*NOTE: Bicarbonate concentration does not represent alkalinity.

### Scaling Tendencies and Solids - Point 2

Scale Mineral	Maximum Scale mg/L	Ib/bbl	Scale Tendency(*) / Scale Index(**) pre-scale	pre-scale
NACL	0.0	0.0000	0.0012	-2.9208
CACO3	193.5	0.0678	78.6043	1.8954
FEIICO3	1.2	0.0004	5.4601	0.7372
MGOH2	0.0	0.0000	0.0906	-1.0429
SRCO3	0.0	0.0000	95.1806	1.9785
BACO3	0.0	0.0000	0.2912	-0.5358
FEIOH2	0.0	0.0000	0.0269	-1.5702

### Alkalinity - Point 2

Brine Alkalinity not calculated.

### Output Brine, Gas and Oil - Point 3

Temperature:	176.7	deg F
Pressure:	506.24	psia
pH:	7.72	
Ionic Strength:	0.3268	
Brine Density:	0.99	
Elec Conductivity:	0.6636E-01	g/cc
Water Activity:	0.9887E+00	1/ohm-cm

### Equilibrium Brine Composition

Brine Flow: 5045.7 bbl/day

Cations	mg/l	Anions	mg/l
BAHCO3+	5.9681	OH-	0.3245
BA+2	9.8991	CL-	9929.6950
BAOH+	0.0001	CO3-2	36.0754
CACL+	0.0002	FEIICO32-2	0.0082
CAHCO3+	0.4607	HCO3-	1907.9667
CA+2	1.2996	NACO3-	3.6295
CAOH+	0.0004		
FEII+2	0.0225		
FEIOH+	0.0064		
K+	210.0636		
MGHCO3+	45.3301		
MG+2	55.7150		
MGOH+	0.1567		
NA+	6922.1033		
BACL+	3.4607		
SR+2	33.5427		
SROH+	0.0038		
Neutrals	mg/l		
CO2	33.0519		
BACO3	0.4848		
FEIICO3	0.1790		
CACO3	0.5304		
KCL	1.3565		
MGCO3	12.0647		
NAHCO3	103.5555		

### Brine Totals:

Cations	mg/l	meq/l
Na+1	6951.4483	302.3687
K+1	210.7750	5.3909
Ca+2	1.6951	0.0846
Mg+2	72.1979	5.9410
Sr+2	33.5459	0.7657
Ba+2	17.1193	0.2493
Fe+2	0.1164	0.0042

Anions / Neutrals	mg/l	meq/l
-------------------	------	-------

Cl-1	9931.0503	280.1188
HCO3-1	2107.9607	34.5470
CO3-2	4.1618	0.1387

\*\*NOTE: Bicarbonate concentration does not represent alkalinity.

### Scaling Tendencies and Solids - Point 3

Scale Mineral	Maximum Scale mg/L	lb/bbl	Scale Tendency(*) / Scale Index(**) pre-scale	pre-scale
NACL	0.0	0.0000	0.0011	-2.9586
CACO3	193.5	0.0678	91.7264	1.9625
FEIICO3	1.2	0.0004	6.5567	0.8167
MGOH2	0.0	0.0000	0.2121	-0.6735
SRCO3	0.0	0.0000	100.6348	2.0027
BACO3	0.0	0.0000	0.2973	-0.5268
FEIIOH2	0.0	0.0000	0.0497	-1.3036

### Alkalinity - Point 3

Brine Alkalinity not calculated.

### Output Brine, Gas and Oil - Point 4

Temperature:	195.1	deg F
Pressure:	614.36	psia
pH:	7.71	
Ionic Strength:	0.3270	
Brine Density:	0.98	g/cc
Elec Conductivity:	0.7317E-01	1/ohm-cm
Water Activity:	0.9887E+00	

### Equilibrium Brine Composition

Brine Flow:	5077.9	bbl/day
<b>Cations</b>	<b>mg/l</b>	
BAHCO3+	7.2777	
BA+2	8.9176	
BAOH+	0.0002	
CACL+	0.0003	
CAHCO3+	0.3893	
CA+2	0.9744	
CAOH+	0.0006	
FEII+2	0.0168	
FEIIOH+	0.0074	
K+	208.5894	
MGHCO3+	43.1989	
MG+2	55.1960	
MGOH+	0.2652	
NA+	6884.3555	
BACL+	3.3545	
SR+2	33.3277	
SROH+	0.0069	

<b>Neutrals</b>	<b>mg/l</b>
CO2	36.2677
BACO3	0.5576
FEIICO3	0.1450
FEO	0.0002
CACO3	0.4939
KCL	1.6222
MGCO3	14.1636
NAHCO3	80.9020

### Brine Totals:

<b>Cations</b>	<b>mg/l</b>	<b>meq/l</b>
Na+1	6907.4240	300.4538
K+1	209.4402	5.3568
Ca+2	1.3271	0.0662
Mg+2	71.7406	5.9034
Sr+2	33.3334	0.7609
Ba+2	17.0109	0.2477
Fe+2	0.0952	0.0034
<b>Anions / Neutrals</b>	<b>mg/l</b>	<b>meq/l</b>
Cl-1	9868.1558	278.3447
HCO3-1	2094.6108	34.3282
CO3-2	3.5786	0.1193

\*\*NOTE: Bicarbonate concentration does not represent alkalinity.

#### Scaling Tendencies and Solids - Point 4

<b>Scale Mineral</b>	<b>Maximum Scale mg/L</b>	<b>lb/bbl</b>	<b>Scale Tendency(*) / Scale Index(**)</b>	<b>pre-scale</b>	<b>pre-scale</b>
NACL	0.0	0.0000	0.0011	-2.9586	
CACO3	193.1	0.0677	107.7050	2.0322	
FEIICO3	1.3	0.0004	7.8219	0.8933	
MGOH2	0.0	0.0000	0.4828	-0.3162	
SRCO3	0.0	0.0000	108.2397	2.0344	
BACO3	0.0	0.0000	0.3048	-0.5160	
FEIIOH2	0.0	0.0000	0.0894	-1.0487	

#### Alkalinity - Point 4

Brine Alkalinity not calculated.

#### Output Brine, Gas and Oil - Point 5

Temperature:	213.4	deg F
Pressure:	722.48	psia
pH:	7.71	
Ionic Strength:	0.3272	
Brine Density:	0.97	g/cc
Elec Conductivity:	0.7990E-01	1/ohm-cm
Water Activity:	0.9887E+00	

#### Equilibrium Brine Composition

Brine Flow: 5113.1 bbl/day

<b>Cations</b>	<b>mg/l</b>	<b>Anions</b>	<b>mg/l</b>
BAHCO3+	8.7038	OH-	0.7480
BA+2	7.8988	CL-	9798.7115
BAOH+	0.0004	CO3-2	39.6005
CACL+	0.0005	FEIICO32-2	0.0082
CAHCO3+	0.3287	HCO3-	1894.7529
CA+2	0.7237	NACO3-	3.1339
CAOH+	0.0008		
FEII+2	0.0125		
FEIIOH+	0.0084		
K+	206.9889		
MGHCO3+	41.1416		
MG+2	54.5594		
MGOH+	0.4402		
NA+	6841.6090		
BACL+	3.1838		
SR+2	33.0939		
SROH+	0.0122		

<b>Neutrals</b>	<b>mg/l</b>
CO2	39.7499

BACO3	0.6292
FEIICO3	0.1176
FEO	0.0003
CACO3	0.4548
KCL	1.9272
MGCO3	16.3363
NAHCO3	63.7157

**Brine Totals:**

Cations	mg/l	meq/l
Na+1	6859.9139	298.3872
K+1	207.9996	5.3199
Ca+2	1.0369	0.0517
Mg+2	71.2472	5.8628
Sr+2	33.1042	0.7556
Ba+2	16.8939	0.2460
Fe+2	0.0785	0.0028
Anions / Neutrals	mg/l	meq/l
Cl-1	9800.2815	276.4302
HCO3-1	2080.2038	34.0920
CO3-2	3.1160	0.1038

\*\*NOTE: Bicarbonate concentration does not represent alkalinity.

**Scaling Tendencies and Solids - Point 5**

Scale Mineral	Maximum Scale mg/L	Ib/bbl	Scale Tendency(*) / Scale Index(**) pre-scale	pre-scale
NACL	0.0	0.0000	0.0011	-2.9586
CACO3	192.5	0.0675	127.0502	2.1040
FEIICO3	1.3	0.0004	9.2461	0.9660
MGOH2	0.0	0.0000	1.0712	0.0299
SRCO3	0.0	0.0000	118.1857	2.0726
BACO3	0.0	0.0000	0.3127	-0.5049
FEIIOH2	0.0	0.0000	0.1563	-0.8060

**Alkalinity - Point 5**

Brine Alkalinity not calculated.

**Output Brine, Gas and Oil - Point 6**

Temperature:	231.8	deg F
Pressure:	830.6	psia
pH:	7.72	
Ionic Strength:	0.3273	
Brine Density:	0.97	g/cc
Elec Conductivity:	0.8649E-01	1/ohm-cm
Water Activity:	0.9888E+00	

**Equilibrium Brine Composition**

Brine Flow:	5151.2	bbl/day
<b>Cations</b>	<b>mg/l</b>	<b>Anions</b>
BAHCO3+	10.1947	OH-
BA+2	6.8732	CL-
BAOH+	0.0007	CO3-2
CACL+	0.0006	FEIICO32-2
CAHCO3+	0.2775	HCO3-
CA+2	0.5337	NACO3-
CAOH+	0.0010	
FEII+2	0.0093	
FEIIOH+	0.0093	
K+	205.2658	
MGHCO3+	39.1116	

MG+2	53.8379
MGOH+	0.7163
NA+	6794.4558
BACL+	2.9597
SR+2	32.8413
SROH+	0.0212

<b>Neutrals</b>	<b>mg/l</b>
CO2	43.5410
BACO3	0.6956
FEIICO3	0.0953
FEO	0.0006
CACO3	0.4149
KCL	2.2757
MGCO3	18.4513
NAHCO3	50.5602

#### Brine Totals:

<b>Cations</b>	<b>mg/l</b>	<b>meq/l</b>
Na+1	6809.1126	296.1775
K+1	206.4593	5.2805
Ca+2	0.8109	0.0405
Mg+2	70.7196	5.8193
Sr+2	32.8590	0.7500
Ba+2	16.7688	0.2442
Fe+2	0.0655	0.0023

<b>Anions / Neutrals</b>	<b>mg/l</b>	<b>meq/l</b>
Cl-1	9727.7052	274.3831
HCO3-1	2064.7988	33.8396
CO3-2	2.7526	0.0917

\*\*NOTE: Bicarbonate concentration does not represent alkalinity.

#### Scaling Tendencies and Solids - Point 6

<b>Scale Mineral</b>	<b>Maximum Scale</b> mg/L	<b>lb/bbl</b>	<b>Scale Tendency(*) / Scale Index(**)</b>	
			<b>pre-scale</b>	<b>pre-scale</b>
NACL	0.0	0.0000	0.0011	-2.9586
CACO3	191.6	0.0672	150.3277	2.1770
FEIICO3	1.3	0.0004	10.7941	1.0332
MGOH2	0.0	0.0000	2.3210	0.3657
SRCO3	0.0	0.0000	130.7421	2.1164
BACO3	0.0	0.0000	0.3202	-0.4946
FEIIOH2	0.0	0.0000	0.2649	-0.5769

#### Alkalinity - Point 6

Brine Alkalinity not calculated.

#### Definitions

- \* Scale Tendency (ST):
  - ST < 1 ==> Brine is undersaturated.
  - ST > 1 ==> Brine is supersaturated.
  - ST = 1 ==> Brine is at equilibrium.
  - post-scale ==> Scale Tendency after solids precipitation
  - pre-scale ==> Scale Tendency before solids precipitation

\* Solids with a Scale Tendency < 1.0E-05 are not reported here.

\*\* Scale Index = Log10(Scale Tendency)

#### C.4. SUMUR L5A-RRR

##### Brine Analysis Data

**BRINE** 03/15/11  
**Well** L5A-RRR  
**Type of Water** Modified Water

### Original Brine Analysis

	Conc, mg/L
<b>Cations</b>	
Na+1	7035.00
K+1	150.60
Ca+2	131.40
Mg+2	31.80
Sr+2	90.33
Ba+2	28.70
Fe+2	0.95
<b>Anions</b>	
Cl-1	10102.72
SO4-2	20.93
HCO3-1	1022.73
<b>Properties</b>	
Total Dissolved Solids, mg/L	18615.00
Measured Density, g/cc	1.01

### ElectroNeutrality Balance

687.24 mg/L of Cl-1 added to balance charge

### Reconciliations

Reconciliation Type - pH and Alkalinity.

Variables	Measured	Calculated	Units
Temperature	140.00	8.90	deg F
Pressure	180.00	1024.20	psia
pH	8.90	-13.42	as HCO3-, mg/L
Alkalinity	1022.73	-145.64	mg/L
HCl added		1.00	g/cc
CO2 added		0.05	1/ohm-cm
Density	1.01		
Electrical Conductivity			

### Report

**CALCULATE**

03/15/11

### Input Summary

#### Analyses

**BRINE** 03/15/11  
**Well** L5A-RRR  
**Flowrate(bbl/day)** 6026.00  
**Type of Water** Modified Water

#### Conditions

Temperature deg F	Pressure psia	Description
140.00	180.00	surface
156.20	406.68	selected point
172.40	633.36	selected point
188.60	860.04	selected point
204.80	1086.72	selected point
221.00	1313.40	bottomhole

### **Solids Selected as Possible Precipitants**

NaCl (Halite)  
 CaCO<sub>3</sub> (Calcite)  
 CaSO<sub>4</sub>.2H<sub>2</sub>O (Gypsum)  
 CaSO<sub>4</sub> (Anhydrite)  
 SrSO<sub>4</sub> (Celestite)  
 BaSO<sub>4</sub> (Barite)  
 FeCO<sub>3</sub> (Siderite)

### **Output Summary**

#### **Selected Plot Variables**

Pressure psia	BASO <sub>4</sub> solid, mg/L	CACO <sub>3</sub> solid, mg/L	FEIICO <sub>3</sub> solid, mg/L
180.00	29.41	320.33	1.57
406.68	27.44	319.94	1.61
633.36	25.64	319.34	1.65
860.04	24.01	318.52	1.68
1086.72	22.58	317.48	1.69
1313.40	21.33	316.23	1.71

### **Output Brine, Gas and Oil - Point 1**

Temperature:	140	deg F
Pressure:	180	psia
pH:	8.19	
Ionic Strength:	0.3241	
Brine Density:	1	g/cc
Elec Conductivity:	0.5363E-01	1/ohm-cm
Water Activity:	0.9893E+00	

### **Equilibrium Brine Composition**

Brine Flow:	6025.2	bbl/day	
<b>Cations</b>	<b>mg/l</b>	<b>Anions</b>	<b>mg/l</b>
BAHCO <sub>3</sub> <sup>+</sup>	0.8244	OH <sup>-</sup>	0.3436
BA <sup>+2</sup>	8.5527	CL <sup>-</sup>	10777.4633
CACL <sup>+</sup>	0.0001	CO <sub>3</sub> <sup>-2</sup>	25.0640
CAHCO <sub>3</sub> <sup>+</sup>	0.2373	FEIICO <sub>3</sub> <sup>-2</sup>	0.0067
CA <sup>+2</sup>	2.8207	HCO <sub>3</sub> <sup>-</sup>	546.7705
CAOH <sup>+</sup>	0.0007	KSO <sub>4</sub> <sup>-</sup>	0.0833
FEI <sup>+2</sup>	0.0502	NACO <sub>3</sub> <sup>-</sup>	3.4797
FEIIOH <sup>+</sup>	0.0157	NASO <sub>4</sub> <sup>-</sup>	1.7872
K <sup>+</sup>	150.2265	SO <sub>4</sub> <sup>-2</sup>	7.1976
MGHCO <sub>3</sub> <sup>+</sup>	7.5498		
MG <sup>+2</sup>	28.6213		
MGOH <sup>+</sup>	0.0711		
NA <sup>+</sup>	7020.6545		
BACL <sup>+</sup>	2.6774		
SR <sup>+2</sup>	90.2843		
SROH <sup>+</sup>	0.0076		
<b>Neutrals</b>	<b>mg/l</b>		
CO <sub>2</sub>	2.9667		
BASO <sub>4</sub>	0.0105		
BACO <sub>3</sub>	0.2000		
FEIICO <sub>3</sub>	0.2695		
FEO	0.0002		
CACO <sub>3</sub>	0.5778		
KCL	0.7034		
MGCO <sub>3</sub>	3.3780		
MGSO <sub>4</sub>	0.0823		
NAHCO <sub>3</sub>	51.0067		

CASO4	0.0025
SRSO4	0.1069

**Brine Totals:**

Cations	mg/l	meq/l
Na+1	7035.9223	306.0431
K+1	150.6195	3.8523
Ca+2	3.1474	0.1571
Mg+2	31.8041	2.6171
Sr+2	90.3417	2.0621
Ba+2	11.3969	0.1660
Fe+2	0.1945	0.0070

Anions / Neutrals	mg/l	meq/l
Cl-1	10778.3472	304.0179
SO4-2	8.8265	0.1838
HCO3-1	596.4846	9.7757
CO3-2	27.8240	0.9273

\*\*NOTE: Bicarbonate concentration does not represent alkalinity.

**Scaling Tendencies and Solids - Point 1**

Scale Mineral	Maximum Scale mg/L	Ib/bbl	Scale Tendency(*) / Scale Index(**) pre-scale	pre-scale
NACL	0.0	0.0000	0.0013	-2.8861
CACO3	320.3	0.1123	170.4756	2.2317
CASO4.2H2O	0.0	0.0000	0.0008	-3.0969
CASO4	0.0	0.0000	0.0011	-2.9586
SRSO4	0.0	0.0000	0.0523	-1.2815
BASO4	29.4	0.0103	5.8192	0.7649
FEIICO3	1.6	0.0006	5.7788	0.7618
MGOH2	0.0	0.0000	0.5352	-0.2715
SRCO3	0.0	0.0000	398.8574	2.6008
BACO3	0.0	0.0000	0.8405	-0.0755
FEIIOH2	0.0	0.0000	0.3356	-0.4742

**Alkalinity - Point 1**

Brine Alkalinity not calculated.

**Output Brine, Gas and Oil - Point 2**

Temperature:	156.2	deg F
Pressure:	406.68	psia
pH:	8.13	
Ionic Strength:	0.3242	
Brine Density:	0.99	g/cc
Elec Conductivity:	0.5972E-01	1/ohm-cm
Water Activity:	0.9893E+00	

**Equilibrium Brine Composition**

Brine Flow: 6050.5 bbl/day

Cations	mg/l	Anions	mg/l
BAHCO3+	1.1468	OH-	0.4877
BA+2	9.0457	CL-	10732.3286
BAOH+	0.0001	CO3-2	24.6446
CACL+	0.0002	FEIICO32-2	0.0061
CAHCO3+	0.2237	HCO3-	551.2932
CA+2	2.4356	KSO4-	0.1011
CAOH+	0.0010	NACO3-	2.9504
FEII+2	0.0429	NASO4-	1.4470
FEIIOH+	0.0186	SO4-2	8.1741

K+	149.5227
MGHCO3+	7.1589
MG+2	28.4857
MGOH+	0.1083
NA+	6994.3730
BACL+	3.0409
SR+2	89.9060
SROH+	0.0126

<b>Neutrals</b>	<b>mg/l</b>
CO2	3.4699
BASO4	0.0138
BACO3	0.2462
FEIICO3	0.2265
FEO	0.0003
CACO3	0.5667
KCL	0.8366
MGCO3	3.6890
MGSO4	0.0953
NAHCO3	40.4852
CASO4	0.0028
SRSO4	0.1007

#### Brine Totals:

<b>Cations</b>	<b>mg/l</b>	<b>meq/l</b>
Na+1	7006.5491	304.7655
K+1	149.9907	3.8362
Ca+2	2.7528	0.1374
Mg+2	31.6713	2.6062
Sr+2	89.9645	2.0535
Ba+2	12.4362	0.1811
Fe+2	0.1686	0.0060

<b>Anions / Neutrals</b>	<b>mg/l</b>	<b>meq/l</b>
Cl-1	10733.3505	302.7487
SO4-2	9.5499	0.1988
HCO3-1	593.9945	9.7349
CO3-2	27.1097	0.9035

\*\*NOTE: Bicarbonate concentration does not represent alkalinity.

#### Scaling Tendencies and Solids - Point 2

Scale Mineral	Maximum Scale mg/L	lb/bbl	Scale Tendency(*) / Scale Index(**)	
			pre-scale	pre-scale
NACL	0.0	0.0000	0.0012	-2.9208
CACO3	319.9	0.1121	178.6805	2.2521
CASO4.2H2O	0.0	0.0000	0.0008	-3.0969
CASO4	0.0	0.0000	0.0013	-2.8861
SRSO4	0.0	0.0000	0.0508	-1.2941
BASO4	27.4	0.0096	4.5972	0.6625
FEIICO3	1.6	0.0006	6.6184	0.8208
MGOH2	0.0	0.0000	1.0022	0.0010
SRCO3	0.0	0.0000	368.9211	2.5669
BACO3	0.0	0.0000	0.7947	-0.0998
FEIIOH2	0.0	0.0000	0.5431	-0.2651

#### Alkalinity - Point 2

Brine Alkalinity not calculated.

#### Output Brine, Gas and Oil - Point 3

Temperature:	172.4	deg F
Pressure:	633.36	psia

pH:	8.08
Ionic Strength:	0.3243
Brine Density:	0.99
Elec Conductivity:	0.6583E-01
Water Activity:	0.9893E+00

### Equilibrium Brine Composition

Brine Flow: 6078.6 bbl/day

Cations	mg/l	Anions	mg/l
BAHCO3+	1.5629	OH-	0.6780
BA+2	9.3887	CL-	10682.6242
BAOH+	0.0003	CO3-2	24.1270
CACL+	0.0003	FEIICO32-2	0.0056
CAHCO3+	0.2108	HCO3-	553.7114
CA+2	2.0837	KSO4-	0.1215
CAOH+	0.0013	NACO3-	2.5306
FEII+2	0.0365	NASO4-	1.1072
FEIOH+	0.0216	SO4-2	9.0806

Neutrals	mg/l
CO2	4.0589
BASO4	0.0172
BACO3	0.2963
FEIICO3	0.1902
FEO	0.0006
CACO3	0.5485
KCL	0.9888
MGCO3	3.9812
MGSO4	0.1045
NAHCO3	32.3575
CASO4	0.0032
SRSO4	0.0834

### Brine Totals:

Cations	mg/l	meq/l
Na+1	6974.1944	303.3581
K+1	149.2981	3.8185
Ca+2	2.3890	0.1192
Mg+2	31.5251	2.5941
Sr+2	89.5491	2.0440
Ba+2	13.3664	0.1947
Fe+2	0.1470	0.0053

Anions / Neutrals	mg/l	meq/l
Cl-1	10683.7862	301.3507
SO4-2	10.1966	0.2123
HCO3-1	591.2515	9.6899
CO3-2	26.4364	0.8811

\*\*NOTE: Bicarbonate concentration does not represent alkalinity.

### Scaling Tendencies and Solids - Point 3

Scale Mineral	Maximum Scale mg/L	lb/bbl	Scale Tendency(*) / Scale Index(**) pre-scale	pre-scale
NaCL	0.0	0.0000	0.0012	-2.9208
CACO3	319.3	0.1119	195.2665	2.2906

CASO4.2H2O	0.0	0.0000	0.0009	-3.0458
CASO4	0.0	0.0000	0.0016	-2.7959
SRSO4	0.0	0.0000	0.0534	-1.2725
BASO4	25.6	0.0090	3.9440	0.5959
FEIICO3	1.6	0.0006	7.4509	0.8722
MGOH2	0.0	0.0000	1.9126	0.2816
SRCO3	0.0	0.0000	368.0442	2.5659
BACO3	0.0	0.0000	0.7930	-0.1007
FEIIOH2	0.0	0.0000	0.8508	-0.0702

### Alkalinity - Point 3

Brine Alkalinity not calculated.

### Output Brine, Gas and Oil - Point 4

Temperature:	188.6	deg F
Pressure:	860.04	psia
pH:	8.04	
Ionic Strength:	0.3244	
Brine Density:	0.98	g/cc
Elec Conductivity:	0.7193E-01	1/ohm-cm
Water Activity:	0.9894E+00	

### Equilibrium Brine Composition

Brine Flow:	6109.4	bbl/day	
<b>Cations</b>	<b>mg/l</b>	<b>Anions</b>	<b>mg/l</b>
BAHCO3+	2.0884	OH-	0.9244
BA+2	9.5732	CL-	10628.6044
BAOH+	0.0004	CO3-2	23.5304
CACL+	0.0005	FEIICO32-2	0.0052
CAHCO3+	0.1987	HCO3-	554.4669
CA+2	1.7694	KSO4-	0.1445
CAOH+	0.0018	NACO3-	2.1919
FEII+2	0.0309	NASO4-	0.8003
FEIIOH+	0.0247	SO4-2	9.8832
K+	147.8941		
MGHCO3+	6.5241		
MG+2	28.1229		
MGOH+	0.2394		
NA+	6931.1355		
BACL+	3.6546		
SR+2	89.0420		
SROH+	0.0321		
<b>Neutrals</b>	<b>mg/l</b>		
CO2	4.7513		
BASO4	0.0208		
BACO3	0.3489		
FEIICO3	0.1596		
FEO	0.0010		
CACO3	0.5249		
KCL	1.1616		
MGCO3	4.2388		
MGSO4	0.1090		
NAHCO3	26.0382		
CASO4	0.0035		
SRSO4	0.0599		
<b>Brine Totals:</b>			
<b>Cations</b>	<b>mg/l</b>	<b>meq/l</b>	
Na+1	6939.0229	301.8283	
K+1	148.5451	3.7993	

Ca+2	2.0609	0.1028
Mg+2	31.3661	2.5810
Sr+2	89.0975	2.0337
Ba+2	14.1793	0.2065
Fe+2	0.1292	0.0046

Anions / Neutrals	mg/l	meq/l
Cl-1	10629.9069	299.8310
SO4-2	10.7610	0.2240
HCO3-1	588.2698	9.6410
CO3-2	25.8116	0.8603

\*\*NOTE: Bicarbonate concentration does not represent alkalinity.

#### Scaling Tendencies and Solids - Point 4

Scale Mineral	Maximum Scale mg/L	Ib/bbl	Scale Tendency(*) / Scale Index(**) pre-scale	pre-scale
NACL	0.0	0.0000	0.0012	-2.9208
CACO3	318.5	0.1116	214.0646	2.3305
CASO4.2H2O	0.0	0.0000	0.0009	-3.0458
CASO4	0.0	0.0000	0.0020	-2.6990
SRSO4	0.0	0.0000	0.0564	-1.2487
BASO4	24.0	0.0084	3.4647	0.5397
FEIICO3	1.7	0.0006	8.2613	0.9170
MGOH2	0.0	0.0000	3.5233	0.5469
SRCO3	0.0	0.0000	370.4886	2.5688
BACO3	0.0	0.0000	0.7948	-0.0997
FEIIOH2	0.0	0.0000	1.2802	0.1073

#### Alkalinity - Point 4

Brine Alkalinity not calculated.

#### Output Brine, Gas and Oil - Point 5

Temperature:	204.8	deg F
Pressure:	1086.7	psia
pH:	8.00	
Ionic Strength:	0.3244	
Brine Density:	0.98	g/cc
Elec Conductivity:	0.7799E-01	1/ohm-cm
Water Activity:	0.9894E+00	

#### Equilibrium Brine Composition

Brine Flow:	6142.9	bbl/day	
Cations	mg/l	Anions	mg/l
BAHCO3+	2.7369	OH-	1.2369
BA+2	9.5951	CL-	10570.5239
BAOH+	0.0007	CO3-2	22.8667
CACL+	0.0008	FEIICO32-2	0.0049
CAHCO3+	0.1876	HCO3-	553.8849
CA+2	1.4940	KSO4-	0.1702
CAOH+	0.0023	NACO3-	1.9140
FEII+2	0.0261	NASO4-	0.5466
FEIIOH+	0.0279	SO4-2	10.5587
K+	146.9745		
MGHCO3+	6.2507		
MG+2	27.9070		
MGOH+	0.3472		
NA+	6894.7927		
BACL+	3.8818		
SR+2	88.5527		
SROH+	0.0497		

<b>Neutrals</b>	<b>mg/l</b>
CO2	5.5688
BASO4	0.0244
BACO3	0.4020
FEIICO3	0.1338
FEO	0.0017
CACO3	0.4973
KCL	1.3570
MGCO3	4.4449
MGSO4	0.1089
NAHCO3	21.0904
CASO4	0.0039
SRSO4	0.0367

**Brine Totals:**

<b>Cations</b>	<b>mg/l</b>	<b>meq/l</b>
Na+1	6901.2002	300.1831
K+1	147.7355	3.7786
Ca+2	1.7707	0.0884
Mg+2	31.1951	2.5670
Sr+2	88.6118	2.0226
Ba+2	14.8702	0.2166
Fe+2	0.1149	0.0041

<b>Anions / Neutrals</b>	<b>mg/l</b>	<b>meq/l</b>
Cl-1	10571.9661	298.1967
SO4-2	11.2397	0.2340
HCO3-1	585.0633	9.5885
CO3-2	25.2385	0.8412

\*\*NOTE: Bicarbonate concentration does not represent alkalinity.

**Scaling Tendencies and Solids - Point 5**

<b>Scale Mineral</b>	<b>Maximum Scale</b>		<b>Scale Tendency(*) / Scale Index(**)</b>	
	<b>mg/L</b>	<b>lb/bbl</b>	<b>pre-scale</b>	<b>pre-scale</b>
NACL	0.0	0.0000	0.0012	-2.9208
CACO3	317.5	0.1113	235.0967	2.3712
CASO4.2H2O	0.0	0.0000	0.0010	-3.0000
CASO4	0.0	0.0000	0.0025	-2.6021
SRSO4	0.0	0.0000	0.0599	-1.2226
BASO4	22.6	0.0079	3.1076	0.4924
FEIICO3	1.7	0.0006	8.9827	0.9534
MGOH2	0.0	0.0000	6.2629	0.7968
SRCO3	0.0	0.0000	375.3972	2.5745
BACO3	0.0	0.0000	0.7975	-0.0983
FEIOH2	0.0	0.0000	1.8426	0.2654

**Alkalinity - Point 5**

Brine Alkalinity not calculated.

**Output Brine, Gas and Oil - Point 6**

Temperature:	221	deg F
Pressure:	1313.4	psia
pH:	7.97	
Ionic Strength:	0.3244	
Brine Density:	0.97	g/cc
Elec Conductivity:	0.8396E-01	1/ohm-cm
Water Activity:	0.9894E+00	

**Equilibrium Brine Composition**

Brine Flow:	6178.9	bbl/day	
<b>Cations</b>	<b>mg/l</b>	<b>Anions</b>	
BAHCO3+	3.5169	OH-	1.6253
BA+2	9.4545	CL-	10508.6372
BAOH+	0.0012	CO3-2	22.1437
CACL+	0.0011	FEIICO32-2	0.0046
CAHCO3+	0.1774	HCO3-	552.1986
CA+2	1.2565	KSO4-	0.1988
CAOH+	0.0029	NACO3-	1.6823
FEII+2	0.0220	NASO4-	0.3530
FEIIOH+	0.0312	SO4-2	11.0965
K+	145.9881		
MGHCO3+	5.9921		
MG+2	27.6724		
MGOH+	0.4951		
NA+	6855.6537		
BACL+	4.0434		
SR+2	88.0221		
SROH+	0.0754		
<b>Neutrals</b>	<b>mg/l</b>		
CO2	6.5378		
BASO4	0.0280		
BACO3	0.4532		
FEIICO3	0.1122		
FEO	0.0027		
CACO3	0.4670		
KCL	1.5768		
MGCO3	4.5832		
MGSO4	0.1047		
NAHCO3	17.1880		
CASO4	0.0043		
SRSO4	0.0190		
<b>Brine Totals:</b>			
<b>Cations</b>	<b>mg/l</b>	<b>meq/l</b>	
Na+1	6860.8916	298.4298	
K+1	146.8726	3.7565	
Ca+2	1.5178	0.0757	
Mg+2	31.0129	2.5520	
Sr+2	88.0943	2.0108	
Ba+2	15.4361	0.2248	
Fe+2	0.1036	0.0037	
<b>Anions / Neutrals</b>	<b>mg/l</b>	<b>meq/l</b>	
Cl-1	10510.2173	296.4549	
SO4-2	11.6306	0.2421	
HCO3-1	581.6460	9.5325	
CO3-2	24.7165	0.8238	

\*\*NOTE: Bicarbonate concentration does not represent alkalinity.

### Scaling Tendencies and Solids - Point 6

Scale Mineral	Maximum Scale mg/L	lb/bbl	Scale Tendency(*) / Scale Index(**)	
			pre-scale	pre-scale
NACL	0.0	0.0000	0.0012	-2.9208
CACO3	316.2	0.1108	258.3735	2.4122
CASO4.2H2O	0.0	0.0000	0.0011	-2.9586
CASO4	0.0	0.0000	0.0032	-2.4949
SRSO4	0.0	0.0000	0.0638	-1.1952
BASO4	21.3	0.0075	2.8392	0.4532
FEIICO3	1.7	0.0006	9.5340	0.9793
MGOH2	0.0	0.0000	10.7432	1.0311
SRCO3	0.0	0.0000	382.0401	2.5821
BACO3	0.0	0.0000	0.7986	-0.0977

FEIOOH2	0.0	0.0000	2.5266	0.4025
---------	-----	--------	--------	--------

### Alkalinity - Point 6

Brine Alkalinity not calculated.

### Definitions

- \* Scale Tendency (ST):  
ST < 1 ==> Brine is undersaturated.  
ST > 1 ==> Brine is supersaturated.  
ST = 1 ==> Brine is at equilibrium.  
post-scale ==> Scale Tendency after solids precipitation  
pre-scale ==> Scale Tendency before solids precipitation

\* Solids with a Scale Tendency < 1.0E-05 are not reported here.

\*\* Scale Index = Log10(Scale Tendency)

## C.5. SUMUR L5A-GGG

### Brine Analysis Data

brine051  
Well  
Type of Water

03/15/11  
L5A-GGG  
Modified Water

### *Original Brine Analysis*

	Conc, mg/L
<b>Cations</b>	
Na+1	4685.48
K+1	89.00
Ca+2	180.00
Mg+2	48.64
Sr+2	25.80
Ba+2	11.10
Fe+2	0.81
<b>Anions</b>	
Cl-1	6097.48
HCO3-1	2196.00
<b>Properties</b>	
Total Dissolved Solids, mg/L	13334.00
Measured Density, g/cc	1.02

### *ElectroNeutrality Balance*

420.78 mg/L of Cl-1 added to balance charge

### *Reconciliations*

Reconciliation Type - pH and Alkalinity.

Variables	Measured	Calculated	Units
Temperature	140.00		deg F
Pressure	120.00		psia
pH	7.97	7.97	
Alkalinity	2196.00	2194.14	as HCO3-, mg/L
HCl added		-32.28	mg/L
CO2 added		-13.59	mg/L
Density	1.02	0.99	g/cc
Electrical Conductivity		0.04	1/ohm-cm

**Report**

scalentend051

03/15/11

**Input Summary****Analyses**

brine051	03/15/11
Well	L5A-GGG
Flowrate(bbl/day)	1600.00
Type of Water	Modified Water

**Conditions**

Temperature deg F	Pressure psia	Description
140.00	120.00	surface
156.20	202.00	selected point
172.40	284.00	selected point
188.60	366.00	selected point
204.80	448.00	selected point
221.00	530.00	downhole

**Solids Selected as Possible Precipitants**

NaCl (Halite)  
CaCO<sub>3</sub> (Calcite)  
FeCO<sub>3</sub> (Siderite)

**Output Summary****Selected Plot Variables**

Pressure psia	CACO <sub>3</sub> solid, mg/L	FEIICO <sub>3</sub> solid, mg/L	Temperature deg F
120.00	416.12	0.97	140.00
202.00	421.97	1.12	156.20
284.00	426.03	1.23	172.40
366.00	428.49	1.32	188.60
448.00	429.59	1.38	204.80
530.00	429.56	1.42	221.00

CACO <sub>3</sub> pScalTend
117.85
130.27
150.40
174.83
204.35
239.85

**Output Brine, Gas and Oil - Point 1**

Temperature:	140	deg F
Pressure:	120	psia
pH:	7.03	
Ionic Strength:	0.2165	
Brine Density:	0.99	g/cc
Elec Conductivity:	0.3601E-01	1/ohm-cm
Water Activity:	0.9922E+00	

**Equilibrium Brine Composition**

Brine Flow:	1600	bbl/day	
<b>Cations</b>	<b>mg/l</b>	<b>Anions</b>	<b>mg/l</b>
BAHCO3+	2.4849	OH-	0.0233
BA+2	7.8611	CL-	6486.4422
CACL+	0.0003	CO3-2	4.3227
CAHCO3+	3.2842	FEIICO32-2	0.0012
CA+2	11.8359	HCO3-	1622.6688
CAOH+	0.0002	NACO3-	0.4862
FEIICL+	0.0001		
FEIIHCO3+	0.0007		
FEII+2	0.2054		
FEIOH+	0.0049		
H+	0.0001		
K+	88.8558		
MGHCO3+	32.7022		
MG+2	39.0109		
MGOH+	0.0069		
NA+	4655.0135		
BACL+	1.8707		
SR+2	25.8001		
SROH+	0.0002		
<b>Neutrals</b>	<b>mg/l</b>		
CO2	135.2115		
BACO3	0.0455		
FEIICO3	0.2745		
CACO3	0.5868		
KCL	0.2761		
MGCO3	1.0746		
NAHCO3	111.0543		
<b>Brine Totals:</b>			
<b>Cations</b>	<b>mg/l</b>	<b>meq/l</b>	
Na+1	4685.5400	203.8080	
K+1	89.0007	2.2763	
Ca+2	13.3731	0.6674	
Mg+2	48.6404	4.0025	
Sr+2	25.8002	0.5889	
Ba+2	11.1001	0.1617	
Fe+2	0.3423	0.0123	
<b>Anions / Neutrals</b>	<b>mg/l</b>	<b>meq/l</b>	
Cl-1	6486.9576	182.9734	
HCO3-1	1922.9756	31.5153	

\*\*NOTE: Bicarbonate concentration does not represent alkalinity.

### Scaling Tendencies and Solids - Point 1

Scale Mineral	Maximum Scale mg/L	Ib/bbl	Scale Tendency(*) / Scale Index(**) pre-scale	pre-scale
NACL	0.0	0.0000	0.0006	-3.2218
CACO3	416.1	0.1459	117.8481	2.0713
FEIICO3	1.0	0.0003	5.0150	0.7003
MGOH2	0.0	0.0000	0.0106	-1.9747
SRCO3	0.0	0.0000	53.9873	1.7323
BACO3	0.0	0.0000	0.1428	-0.8453
FEIOH2	0.0	0.0000	0.0093	-2.0315

### Alkalinity - Point 1

Brine Alkalinity not calculated.

### Output Brine, Gas and Oil - Point 2

Temperature:	156.2	deg F
Pressure:	202	psia
pH:	7.03	
Ionic Strength:	0.2166	
Brine Density:	0.99	g/cc
Elec Conductivity:	0.4014E-01	1/ohm-cm
Water Activity:	0.9922E+00	

#### Equilibrium Brine Composition

Brine Flow: 1607.4 bbl/day

Cations	mg/l	Anions	mg/l
BAHCO3+	3.0400	OH-	0.0372
BA+2	7.3772	CL-	6456.6387
CACL+	0.0005	CO3-2	4.7152
CAHCO3+	2.6927	FEIICO32-2	0.0012
CA+2	8.9103	HCO3-	1622.3618
CAOH+	0.0003	NACO3-	0.4606
FEIICL+	0.0001		
FEIIHCO3+	0.0006		
FEII+2	0.1527		
FEIIOH+	0.0057		
H+	0.0001		
K+	88.4201		
MGHCO3+	31.2486		
MG+2	39.1219		
MGOH+	0.0121		
NA+	4640.0057		
BACL+	1.9228		
SR+2	25.6815		
SROH+	0.0003		
Neutrals	mg/l		
CO2	138.5116		
BACO3	0.0558		
FEIICO3	0.2282		
CACO3	0.5651		
KCL	0.3282		
MGCO3	1.3413		
NAHCO3	87.3518		

#### Brine Totals:

Cations	mg/l	meq/l
Na+1	4664.0385	202.8728
K+1	88.5923	2.2659
Ca+2	10.2046	0.5092
Mg+2	48.4172	3.9841
Sr+2	25.6818	0.5862
Ba+2	11.0491	0.1609
Fe+2	0.2678	0.0096
Anions / Neutrals	mg/l	meq/l
Cl-1	6457.1896	182.1338
HCO3-1	1909.3411	31.2918

\*\*NOTE: Bicarbonate concentration does not represent alkalinity.

#### Scaling Tendencies and Solids - Point 2

Scale Mineral	Maximum Scale mg/L	lb/bbl	Scale Tendency(*) / Scale Index(**)	
			pre-scale	pre-scale
NACL	0.0	0.0000	0.0005	-3.3010
CACO3	422.0	0.1479	130.2690	2.1148
FEIICO3	1.1	0.0004	5.9953	0.7778
MGOH2	0.0	0.0000	0.0227	-1.6440

SRCO3	0.0	0.0000	52.6954	1.7218
BACO3	0.0	0.0000	0.1387	-0.8579
FEIIOH2	0.0	0.0000	0.0169	-1.7721

### Alkalinity - Point 2

Brine Alkalinity not calculated.

### Output Brine, Gas and Oil - Point 3

Temperature:	172.4	deg F
Pressure:	284	psia
pH:	7.04	
Ionic Strength:	0.2166	
Brine Density:	0.98	g/cc
Elec Conductivity:	0.4429E-01	1/ohm-cm
Water Activity:	0.9922E+00	

### Equilibrium Brine Composition

Brine Flow: 1615.6 bbl/day

Cations	mg/l	Anions	mg/l
BAHCO3+	3.6823	OH-	0.0587
BA+2	6.8523	CL-	6423.9123
CAACL+	0.0007	CO3-2	5.1664
CAHCO3+	2.1929	FEIICO32-2	0.0012
CA+2	6.5867	HCO3-	1618.6761
CAOH+	0.0004	NACO3-	0.4454
FEIICL+	0.0001		
FEIIHCO3+	0.0005		
FEII+2	0.1118		
FEIIOH+	0.0066		
H+	0.0001		
K+	87.9404		
MGHCO3+	29.9775		
MG+2	39.1378		
MGOH+	0.0211		
NA+	4621.3348		
BACL+	1.9425		
SR+2	25.5513		
SROH+	0.0006		
Neutrals	mg/l		
CO2	141.1426		
BACO3	0.0682		
FEIICO3	0.1895		
CACO3	0.5375		
KCL	0.3877		
MGCO3	1.6732		
NAHCO3	69.3011		

### Brine Totals:

Cations	mg/l	meq/l
Na+1	4640.4236	201.8456
K+1	88.1437	2.2544
Ca+2	7.6720	0.3829
Mg+2	48.1720	3.9640
Sr+2	25.5518	0.5832
Ba+2	10.9932	0.1601
Fe+2	0.2089	0.0075
Anions / Neutrals	mg/l	meq/l
Cl-1	6424.4956	181.2116

HCO3-1	1895.8337	31.0704
--------	-----------	---------

\*\*NOTE: Bicarbonate concentration does not represent alkalinity.

### Scaling Tendencies and Solids - Point 3

Scale Mineral	Maximum Scale mg/L	Ib/bbl	Scale Tendency(*) / Scale Index(**) pre-scale	pre-scale
NACL	0.0	0.0000	0.0005	-3.3010
CACO3	426.0	0.1493	150.4033	2.1773
FEIICO3	1.2	0.0004	7.0887	0.8506
MGOH2	0.0	0.0000	0.0491	-1.3089
SRCO3	0.0	0.0000	55.3210	1.7429
BACO3	0.0	0.0000	0.1406	-0.8520
FEIIOH2	0.0	0.0000	0.0295	-1.5302

### Alkalinity - Point 3

Brine Alkalinity not calculated.

### Output Brine, Gas and Oil - Point 4

Temperature:	188.6	deg F
Pressure:	366	psia
pH:	7.06	
Ionic Strength:	0.2167	
Brine Density:	0.98	g/cc
Elec Conductivity:	0.4843E-01	1/ohm-cm
Water Activity:	0.9922E+00	

### Equilibrium Brine Composition

Brine Flow:	1624.5	bbl/day
<b>Cations</b>	<b>mg/l</b>	
BAHCO3+	4.4078	Anions
BA+2	6.2906	<b>mg/l</b>
CACL+	0.0009	OH-
CAHCO3+	1.7759	CL-
CA+2	4.7937	CO3-2
CAOH+	0.0006	FEIICO32-2
FEIIHC03+	0.0004	HCO3-
FEII+2	0.0808	NACO3-
FEIIOH+	0.0076	
H+	0.0001	
K+	87.4177	
MGHCO3+	28.8335	
MG+2	39.0719	
MGOH+	0.0362	
NA+	4599.4904	
BACL+	1.9281	
SR+2	25.4097	
SROH+	0.0010	
<b>Neutrals</b>	<b>mg/l</b>	
CO2	143.2114	
BACO3	0.0826	
FEIICO3	0.1573	
CACO3	0.5059	
KCL	0.4556	
MGCO3	2.0783	
NAHCO3	55.4341	

### Brine Totals:

Cations	mg/l	meq/l
---------	------	-------

Na+1	4614.7823	200.7302
K+1	87.6566	2.2420
Ca+2	5.7012	0.2845
Mg+2	47.9058	3.9421
Sr+2	25.4106	0.5800
Ba+2	10.9325	0.1592
Fe+2	0.1631	0.0058

Anions / Neutrals	mg/l	meq/l
Cl-1	6388.9962	180.2103
HCO3-1	1882.3733	30.8498

\*\*NOTE: Bicarbonate concentration does not represent alkalinity.

#### Scaling Tendencies and Solids - Point 4

Scale Mineral	Maximum Scale mg/L	Ib/bbl	Scale Tendency(*) / Scale Index(**) pre-scale	pre-scale
NACL	0.0	0.0000	0.0005	-3.3010
CACO3	428.5	0.1502	174.8317	2.2426
FEIICO3	1.3	0.0005	8.3530	0.9218
MGOH2	0.0	0.0000	0.1040	-0.9830
SRCO3	0.0	0.0000	59.0213	1.7710
BACO3	0.0	0.0000	0.1434	-0.8435
FEIIOH2	0.0	0.0000	0.0508	-1.2941

#### Alkalinity - Point 4

Brine Alkalinity not calculated.

#### Output Brine, Gas and Oil - Point 5

Temperature:	204.8	deg F
Pressure:	448	psia
pH:	7.09	
Ionic Strength:	0.2167	
Brine Density:	0.97	g/cc
Elec Conductivity:	0.5254E-01	1/ohm-cm
Water Activity:	0.9923E+00	

#### Equilibrium Brine Composition

Brine Flow:	1634.3	bbl/day
-------------	--------	---------

Cations	mg/l	Anions	mg/l
BAHCO3+	5.2044	OH-	0.1405
BA+2	5.7004	CL-	6350.1768
CACL+	0.0012	CO3-2	6.2718
CAHCO3+	1.4318	FEIICO32-2	0.0014
CA+2	3.4444	HCO3-	1604.3174
CAOH+	0.0007	NACO3-	0.4384
FEIIHC03+	0.0003		
FEII+2	0.0578		
FEIIOH+	0.0085		
H+	0.0001		
K+	86.8535		
MGHCO3+	27.7691		
MG+2	38.9349		
MGOH+	0.0616		
NA+	4574.8549		
BACL+	1.8799		
SR+2	25.2572		
SROH+	0.0019		

Neutrals	mg/l
----------	------

CO2	144.8446
BACO3	0.0992
FEIICO3	0.1306
CACO3	0.4717
KCL	0.5326
MGCO3	2.5603
NAHCO3	44.6845

**Brine Totals:**

Cations	mg/l	meq/l
Na+1	4587.2050	199.5307
K+1	87.1328	2.2286
Ca+2	4.2021	0.2097
Mg+2	47.6196	3.9185
Sr+2	25.2587	0.5766
Ba+2	10.8671	0.1583
Fe+2	0.1279	0.0046

Anions / Neutrals	mg/l	meq/l
Cl-1	6350.8164	179.1334
HCO3-1	1868.8567	30.6283

\*\*NOTE: Bicarbonate concentration does not represent alkalinity.

**Scaling Tendencies and Solids - Point 5**

Scale Mineral	Maximum Scale mg/L	Ib/bbl	Scale Tendency(*) / Scale Index(**)
			pre-scale
NACL	0.0	0.0000	0.0005
CACO3	429.6	0.1506	204.3465
FEIICO3	1.4	0.0005	9.7939
MGOH2	0.0	0.0000	0.2165
SRCO3	0.0	0.0000	63.8957
BACO3	0.0	0.0000	0.1466
FEIOH2	0.0	0.0000	0.0857

**Alkalinity - Point 5**

Brine Alkalinity not calculated.

**Output Brine, Gas and Oil - Point 6**

Temperature:	221	deg F
Pressure:	530	psia
pH:	7.12	
Ionic Strength:	0.2167	
Brine Density:	0.97	g/cc
Elec Conductivity:	0.5659E-01	1/ohm-cm
Water Activity:	0.9923E+00	

**Equilibrium Brine Composition**

Brine Flow:	1644.8	bbl/day	
Cations	mg/l	Anions	mg/l
BAHCO3+	6.0521	OH-	0.2132
BA+2	5.0942	CL-	6309.4210
BAOH+	0.0001	CO3-2	6.9354
CACL+	0.0015	FEIICO32-2	0.0015
CAHCO3+	1.1509	HCO3-	1594.4909
CA+2	2.4502	NACO3-	0.4438
CAOH+	0.0009		
FEIIHCO3+	0.0002		
FEII+2	0.0411		
FEIOH+	0.0094		

H+	0.0001
K+	86.2490
MGHCO3+	26.7447
MG+2	38.7364
MGOH+	0.1033
NA+	4547.7347
BACL+	1.8004
SR+2	25.0940
SROH+	0.0033

<b>Neutrals</b>	<b>mg/l</b>
CO2	146.1744
BACO3	0.1177
FEIICO3	0.1084
FEO	0.0001
CACO3	0.4364
KCL	0.6197
MGCO3	3.1168
NAHCO3	36.2764

#### Brine Totals:

<b>Cations</b>	<b>mg/l</b>	<b>meq/l</b>
Na+1	4557.7852	198.2510
K+1	86.5740	2.2143
Ca+2	3.0826	0.1538
Mg+2	47.3141	3.8934
Sr+2	25.0967	0.5729
Ba+2	10.7974	0.1572
Fe+2	0.1012	0.0036

<b>Anions / Neutrals</b>	<b>mg/l</b>	<b>meq/l</b>
Cl-1	6310.0858	177.9845
HCO3-1	1855.1793	30.4042

\*\*NOTE: Bicarbonate concentration does not represent alkalinity.

#### Scaling Tendencies and Solids - Point 6

<b>Scale Mineral</b>	<b>Maximum Scale</b> mg/L	<b>Ib/bbl</b>	<b>Scale Tendency(*) / Scale Index(**)</b>	
			<b>pre-scale</b>	<b>pre-scale</b>
NACL	0.0	0.0000	0.0005	-3.3010
CACO3	429.6	0.1506	239.8495	2.3799
FEIICO3	1.4	0.0005	11.4051	1.0571
MGOH2	0.0	0.0000	0.4436	-0.3530
SRCO3	0.0	0.0000	70.0879	1.8456
BACO3	0.0	0.0000	0.1501	-0.8236
FEIOOH2	0.0	0.0000	0.1419	-0.8480

#### Alkalinity - Point 6

Brine Alkalinity not calculated.

#### Definitions

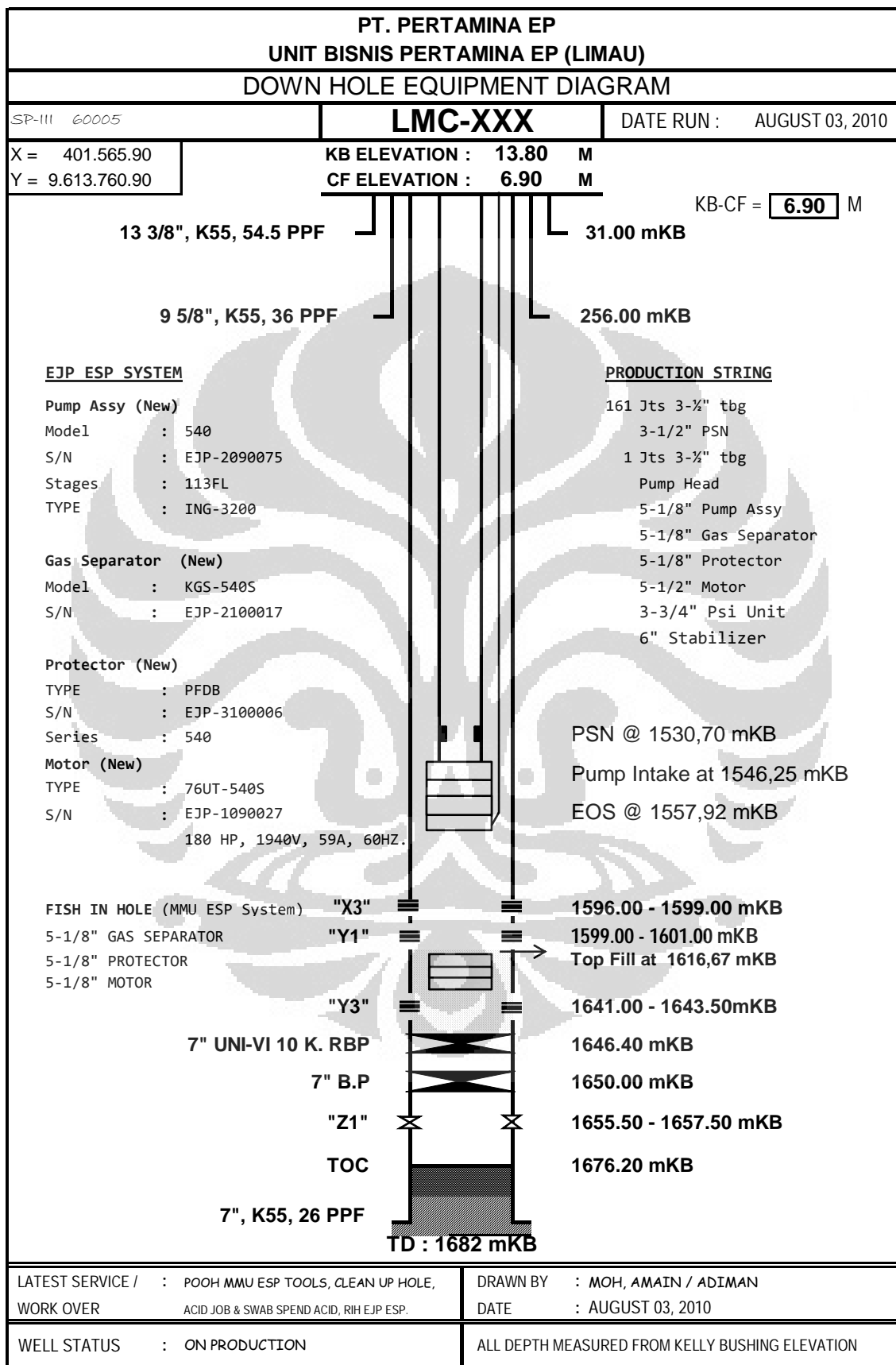
- \* Scale Tendency (ST):
  - ST < 1 ==> Brine is undersaturated.
  - ST > 1 ==> Brine is supersaturated.
  - ST = 1 ==> Brine is at equilibrium.
  - post-scale ==> Scale Tendency after solids precipitation
  - pre-scale ==> Scale Tendency before solids precipitation

\* Solids with a Scale Tendency < 1.0E-05 are not reported here.

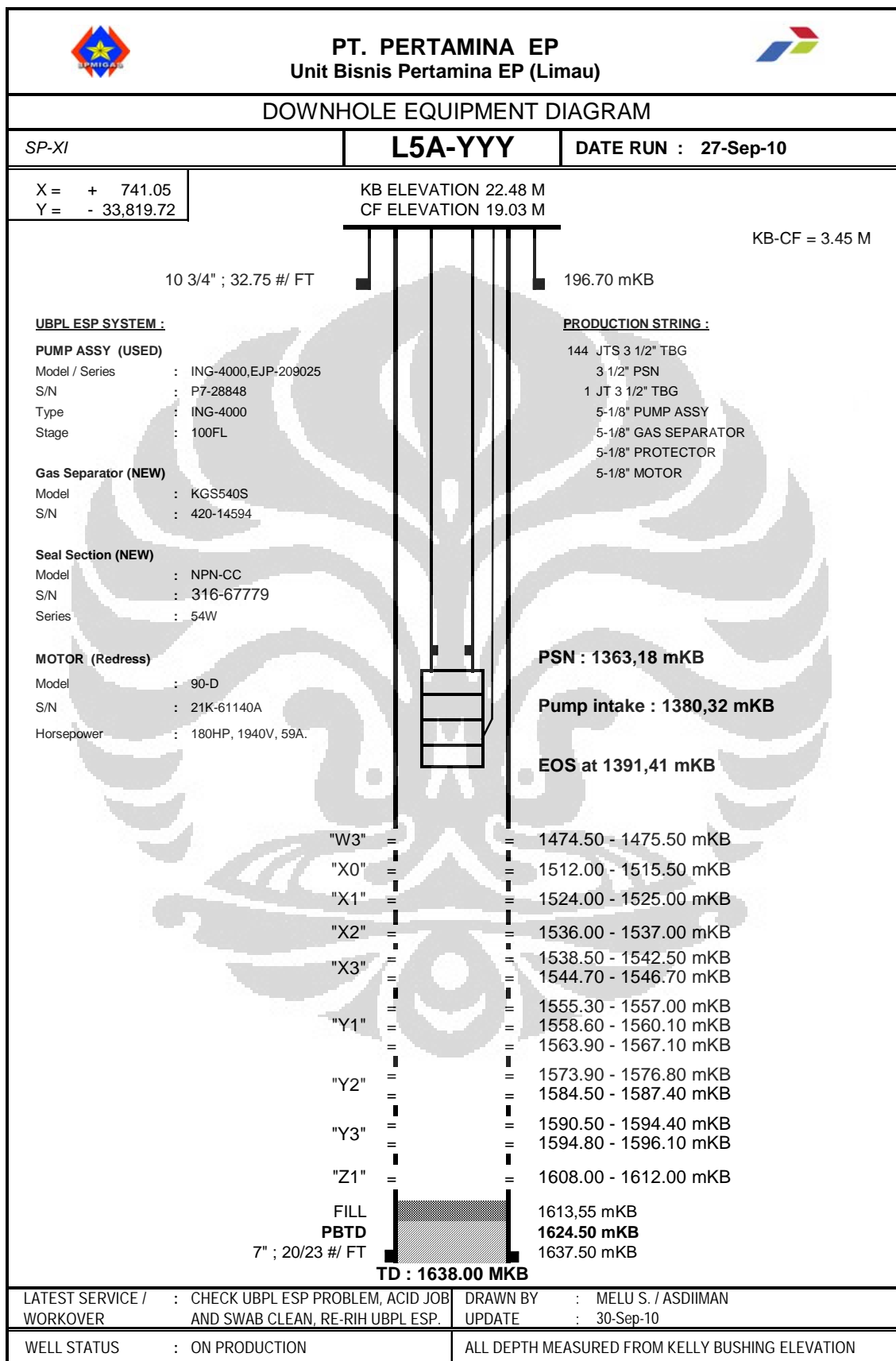
\*\* Scale Index = Log10(Scale Tendency)

**LAMPIRAN D**  
***DOWNHOLE DIAGRAM SUMUR PRODUKSI***

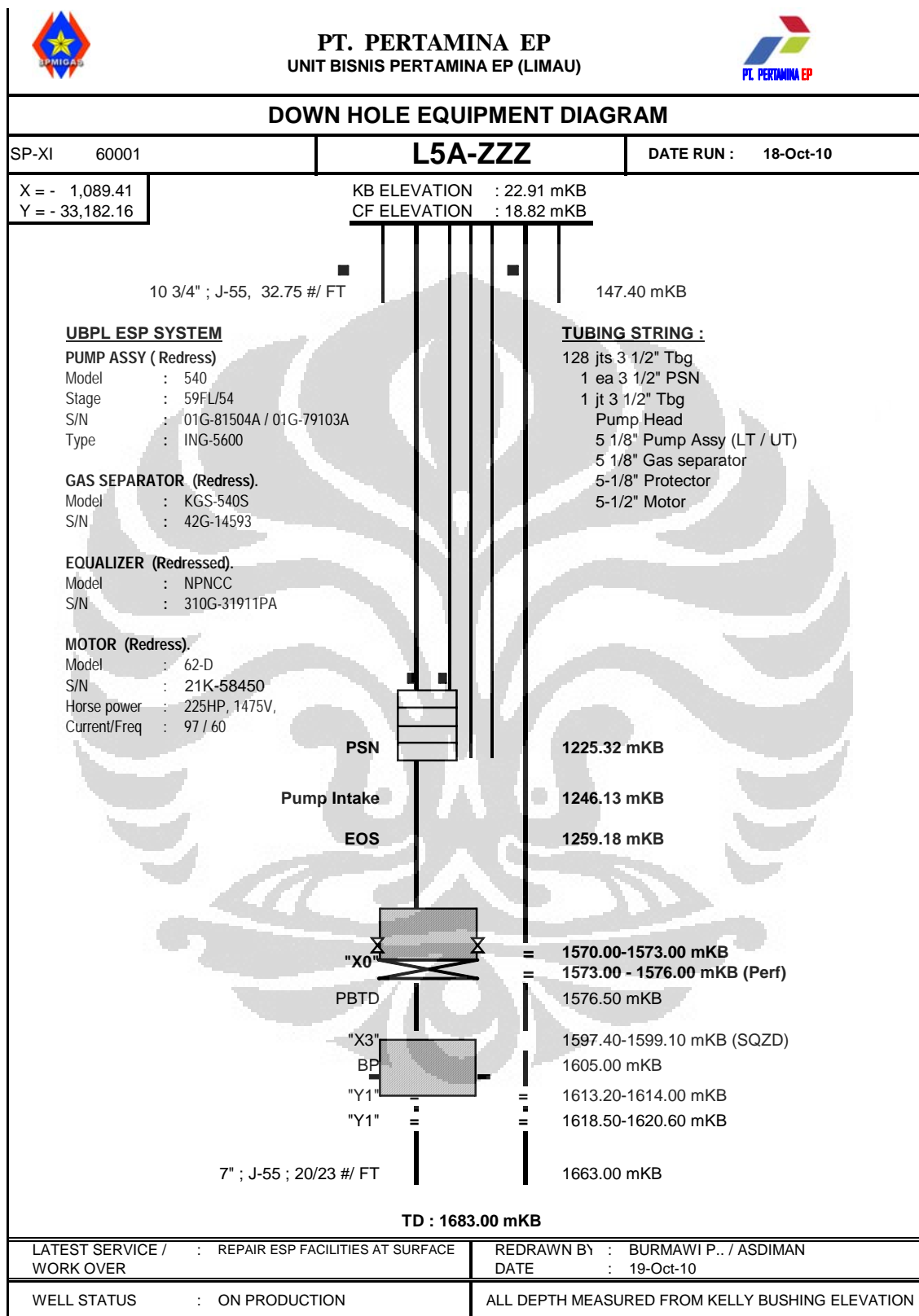
### D.1. Sumur Produksi LMC-XXX



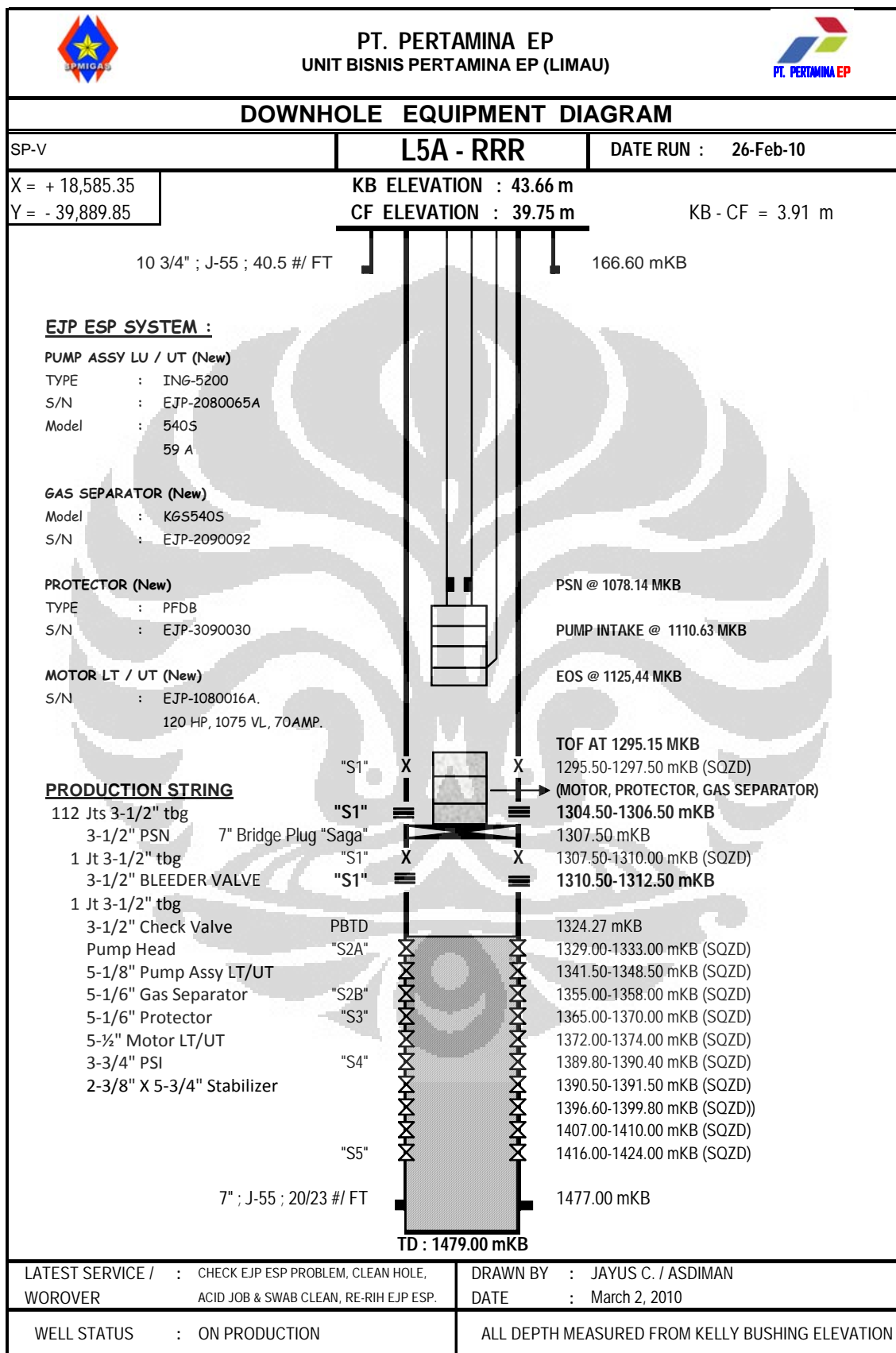
## D.2. Sumur Produksi L5A-YYY



### D.3. Sumur Produksi L5A-ZZZ



#### D.4. Sumur Produksi L5A-RRR



#### **D.5. Sumur Produksi L5A-GGG**

